

UNIVERSITATEA „ALEXANDRU IOAN CUZA” IAȘI
FACULTATEA DE FIZICĂ

ALEXANDRU
VLAHOVICI

**METODE
OPTICE
ȘI
SPECTRALE
DE
ANALIZĂ**

11-20.037

EDITURA UNIVERSITĂȚII



„ALEXANDRU IOAN CUZA”

BIBL. CENTR. UNIV.
„M. EMINESCU“ IASI
FIZICA

11-20.037

2007
F18 16,50 lei

UNIVERSITATEA „AL. I. CUZA” IAȘI
FACULTATEA DE FIZICĂ

ALEXANDRU VLAHOVICI

METODE OPTICE ȘI SPECTRALE DE
ANALIZĂ



135399
B.C.U. - IASI

EDITURA UNIVERSITĂȚII „AL. I. CUZA”
IAȘI – 2002

Referenți:

Prof. dr. M. Strat

Lect. dr. D. Creangă

Tehnoredactare computerizată:

Foca Florin

Cuprins.

Prefață	7
Partea întâi. Metode optice de analiză.	
Cap. I Refractometria.....	9
I.1. Considerații generale.....	9
I.2. Procedee de bază în analiza refractometrică.....	13
I.3. Probleme practice de laborator.....	15
Cap. II Polarimetria.....	17
II.1. Introducere.....	17
II.2. Considerații privind metoda polarimetrică de analiză (metodă în care se măsoară unghiul de rotire α pentru radiații din domeniul vizibil, de obicei pentru linia D a sodiului).....	23
II.3. Considerații privind metoda dispersiei optice rotatorii și cea a dicroismului optic circular.....	26
II.4. Tehnica înregistrării curbelor de dispersie optică rotatorie și a celor de dicroism optic circular.....	31
II.5. Problemă practică de laborator. Dozarea hecogeninei (I), utilizată la fabricarea cortizonului, din amestecul său cu tegogenina (II), împreună cu care se extrage din plante.....	35
Cap. III . Nefelometria și turbidimetria.....	37
III.1. Principiile metodelor nefelometrice și turbidimetrice.....	37
III.2. Modul de efectuare a analizelor. Aplicații.....	40
III.3 Probleme practice de laborator.....	43
III.3.1 Efectuarea testului de disproteinemie utilizând metoda turbidimetrică - testul Mac Lagan (cu timol).....	43
III.3.2. Determinarea colesterolului total din ser prin metoda turbidimetrică.....	45
Cap. IV Microscopul. Observarea prin metoda contrastului de fază.....	47
IV.1. Considerații asupra imaginii unor obiecte de fază.....	47
IV.2. Metoda contrastului de fază.....	52
IV.3. Metoda câmpului întunecat (strioscopia).....	55

Partea a doua. Metode spectrale de analiză.

Cap. V. Considerații generale privind metodele spectrale de analiză.....	57
Cap. VI. Analiza spectrală utilizând spectrele atomice de emisie din domeniul vizibil și ultraviolet (UV-VIS).....	65
VI.1 Moduri de excitare a atomilor. Surse spectrale.....	65
VI.1.1 Flacăra.....	66
VI.1.2. Arcul și scânteia electrică.....	70
VI.1.3. Surse de excitare cu laseri.....	76
VI.2. Principiile și metodele analizei spectrale de emisie atomică.....	77
VI.2.1. Considerații privind analiza probelor solide.....	78
VI.2.2. Considerații privind analiza soluțiilor.....	82
VII.2.3. Problemă practică de laborator. Determinarea calciului din apa potabilă prin metoda fotometriei în flacăra.....	84
Cap. VII Analiza spectrală utilizând absorbția și fluorescența atomică (ASAA și ASFA).....	86
VII.1. Principiile metodelor ASAA și ASFA.....	86
VII.1.1.Principiul metodei ASAA.....	86
VII.1.2. Principiul metodei ASFA.....	92
VII.2. Tehnica de lucru în ASAA și ASFA. Avantajele și dezavantajele acestor metode de analiză spectrală.....	96
VII.3. Probleme practice de laborator. Determinarea metalelor în materialele biologice.....	101
VII.4. Descrierea spectrofotometrului de absorbție atomică AAS-1 și modul de lucru la acesta.....	104
Cap. VIII. Analiza bazată pe spectrele moleculare de absorbție din infraroșu (IR).....	110
VIII.1. Frecvențe caracteristice de grup și structura moleculară.....	110
VIII.2. Prepararea probelor. Alegerea solvenților.....	117
VIII.3 Analiza calitativă și cantitativă utilizând spectrele IR.....	122

VIII.4. Tehnica înregistrării spectrelor IR de absorbție: metoda dispersivă.	132
VIII.5. Probleme practice de laborator.	135
VIII.5.1 Exemplu pentru determinarea structurii unui compus necunoscut (pur) utilizând spectrul IR de absorbție.	135
VIII.5.2 Determinarea concentrației de alcool etilic (ca „impuritate”) din tetraclorura de carbon.	138
VIII.6. Cele mai importante reguli pentru lucrul la spectrofotometrul pentru infraroșu UR-20.	139
VIII.7. Spectroscopia IR cu transformată Fourier (FTIR).	144
Cap.IX. Analiza spectrală utilizând spectrele electronice moleculare de absorbție și emisie din ultravioletul apropiat și vizibil (UV-VIS).	153
IX.1. Stările energetice ale moleculelor organice poliatomice.	153
IX.2. Tranzițiile și spectrele electronice ale moleculelor organice poliatomice aflate în soluție.	157
IX.3. Considerații generale privind analiza calitativă utilizând spectrele electronice din UV-VIS.	167
IX.4. Considerații privind analiza cantitativă ce utilizează spectrele electronice din UV-VIS.	170
IX.4.1. Analiza cantitativă utilizând spectrele de absorbție.	170
IX.4.2. Analiza cantitativă utilizând spectrele de fotoluminescență.	171
IX.5. Analiza unor substanțe plecând de la complexii acestora cu diverși reactivi.	176
IX.5.1. Analiza unor ioni metalici.	176
IX.5.2. Analiza unor compuși ce, sau nu prezintă benzi de absorbție și fluorescență în domeniul vizibil și ultraviolet apropiat, sau aceste benzi au o intensitate mică.	179
IX.6. Obținerea și înregistrarea spectrelor electronice din UV-VIS.	180
X.6. Probleme practice de laborator.	184
X.6.1. Dozarea proteinei totale din serul sanguin prin metoda fotometrică. Metoda Biuret.	184

X.6.2. Dozarea fierului seric. Metoda fotometrică Helmeier-Plaetner.....	185
X.6.3. Determinarea tetraciclinei din ser prin metoda fluorometrică.....	186
X.6.4. Determinarea fluorometrică a histaminei din țesut prin metoda Shore.....	187
X.7. Schema optică a spectrofotometrului VSU-2P și cele mai importante reguli pentru lucrul la aparat.....	188
Cap.X. Analiza spectrală utilizând spectrele Raman de vibrație ale moleculelor.....	194
X.1. Noțiuni generale despre spectrele Raman de vibrație ale moleculelor.....	194
X.1.1. Efectul Raman normal.....	194
X.1.2. Considerații privind explicarea clasică și cuantică a efectului Raman normal.....	196
X.1.3. Efectul Raman de rezonanță.....	199
X.1.4. Comparatie între spectrele IR și cele Raman cât și în ce privește aplicațiile lor.....	201
X.2. Obținerea spectrelor Raman. Utilizarea acestor spectre pentru efectuarea analizelor calitative și cantitative.....	206
Cap. XI. Spectroscopia de rezonanță magnetică nucleară (RMN).....	211
XI.1. Principiile spectroscopiei de rezonanță magnetică nucleară.....	211
XI. 2. Deplasarea chimică și structura moleculară.....	218
XI. 3. Structura fină a spectrelor RMN.....	225
XI. 4. Tehnici RMN în puls.....	229
XI. 5. Analiza calitativă și cantitativă utilizând spectrele RMN.....	234
Anexa I. Date relative la compoziția normală a unor lichide biologice din corpul uman.....	238
Bibliografie.....	242

Prefață

Acest manual se adresează în primul rând studenților de la secțiile de Biofizică și Fizică medicală, de la Facultatea de Fizică, constituind, cu unele completări, cursul de metode optice și spectrometrice de analiză predat acestor studenți.

Din multitudinea metodelor optice și spectrale de analiză am prezentat doar câteva dintre ele, cele mai cunoscute și mai utilizate în diverse laboratoare fizico-chimice. Alegerea acestor metode am făcut-o și în funcție de dotarea laboratoarelor facultății, deoarece disciplina la care se adresează această carte prevede și lucrări practice. În acest sens, la sfârșitul fiecărui capitol, am prezentat unele probleme practice de laborator, fără pretenția de a fi referate propriu-zise.

Desigur că în lucrare se dau doar informații generale despre unele metode de analiză, prezentându-se și unele considerații teoretice despre fenomenul fizic ce stă la baza fiecărei metode. Pentru efectuarea practică a analizelor este nevoie de o documentare suplimentară. În acest sens cel interesat găsește la bibliografia lucrării tratatele existente la Biblioteca Centrală a Universității.

Consider că această carte va fi utilă nu numai studenților de la secțiile de Biofizică și Fizică Medicală ci și tuturor celor interesați de metode optice și spectrale de analiză, măcar pentru informare generală.

Partea întâi. Metode optice de analiză.

Cap. I. Refractometria.

I.1. Considerații generale.

Refractometria reprezintă o metodă de analiză bazată pe măsurarea indicelui de refracție al unei substanțe sau amestecuri de substanțe, de preferință când acestea se află în starea lichidă sau gazoasă. Această metodă se utilizează în practica diverselor laboratoare uzinale sau de cercetare încă din secolul trecut. Ea și-a păstrat actualitatea și în prezent ca metodă de analiză a amestecurilor, de studiu a structurii moleculare și interacțiunilor moleculare în diverse sisteme chimice și biologice.

Indicele de refracție al unei substanțe depinde de o serie de factori cum ar fi: starea sa de agregare, temperatură, presiune (în cazul gazelor), lungimea de undă a radiațiilor utilizate etc.

De obicei indicii de refracție se determină pentru următoarele lungimi de undă:

- linia galbenă a sodiului (linia D); $\lambda_D = 589,3 \text{ nm}$ (n_D),
- linia roșie a hidrogenului (H_α , notată uneori și cu C);
 $\lambda_\alpha = 656,3 \text{ nm}$ (n_α),
- linia albastră-violet a hidrogenului (H_β , notată uneori și cu F);
 $\lambda_\beta = 486,1 \text{ nm}$ (n_β),
- linia violet-indigo a hidrogenului (H_γ , notată uneori și cu G);
 $\lambda_\gamma = 434,1 \text{ nm}$ (n_γ).

În diverse tabele se găsesc, pentru lichide, mai ales indicii de refracție pentru radiația D și temperatura de 20°C : n_D^{20} . În cazul gazelor indicii sunt dați pentru condițiile normale de presiune și temperatură ($p=760 \text{ mmHg}$, $t=0^\circ \text{C}$): n_D^{NPT} .

În cazul apei, cel mai important lichid biologic, indicele de refracție variază destul de mult cu temperatura (avându-se în vedere

precizia mare cu care poate fi el măsurat) conform tabelului 1.

Tabelul 1. Indicele de refracție al apei distilate (n_D) la diverse temperaturi.

$t(^{\circ}C)$	n_D	$t(^{\circ}C)$	n_D
10	1,33370	21	1,33291
11	1,33364	22	1,33282
12	1,33358	23	1,33272
13	1,33352	24	1,33262
14	1,33346	25	1,33252
15	1,33339	26	1,33242
16	1,33331	27	1,33231
17	1,33324	28	1,33220
18	1,33316	29	1,33208
19	1,33308	30	1,33196
20	1,33300		

Lichidele biologice au indicele de refracție mai mare decât cel al apei. De exemplu indicele de refracție al serului sanguin, la temperatura de $17,5^{\circ}C$, este cuprins, în condiții normale, între 1,3487 și 1,3517, în cazul urinei între 1,3300 și 1,3400.

Deoarece indicele de refracție al unei substanțe variază foarte mult în funcție de densitatea ρ a acesteia (densitate ce depinde de starea de agregare a substanței și de temperatură) s-a introdus mărimea fizică numită refracție molară (R), mărime ce depinde de n și ρ dar păstrează o valoare constantă pentru un anumit compus chimic, independentă de temperatură și de starea de agregare a acesteia.

Cea mai des utilizată formulă pentru refracția molară este cea dedusă de Lorentz-Lorentz:

$$R = \frac{n^2 - 1}{n^2 + 2} \frac{M}{\rho},$$

M fiind masa molară a compusului.

În teoria dielectricilor se arată că refracția molară este aproximativ egală cu volumul real ocupat cu moleculele dintr-un mol.

Deoarece se poate considera că volumul unei molecule este suma volumelor atomilor constituenți, acestora li se pot atribui refracții atomice caracteristice, din a căror însumare rezultă refracția molară.

Din valorile experimentale ale refracțiilor molare ale diversilor compuși (s-a plecat de la cei mai simpli la care s-au adăugat diverși atomi sau grupuri de atomi) s-au determinat refracțiile atomice pentru diferiți atomi (vezi tabelul 2). S-a constatat că refracțiile atomice depind în unele cazuri și de modul de legare al aceluși atom în moleculă; de exemplu pentru refracția atomului de oxigen există trei valori: pentru oxigenul carbonilic $O=$ (din aldehide, cetone, acizi), hidroxilic $-O-$ (din alcoolii) și eteric O (din eteri). S-a mai constatat că în cazul existenței unor duble și triple legături, la refracția molară, calculată prin însumarea refracțiilor atomice, trebuie adăugat un așa-numit increment de refracție.

Tabelul 2. Refracții atomice și incrementele de refracție, în cm^3 .

Atomul sau legătura	R_α $\lambda = 656,3nm$	R_D $\lambda = 589,3nm$	R_β $\lambda = 486,1nm$	R_γ $\lambda = 434,1nm$
C	2,413	2,418	2,438	2,466
H	1,092	1,100	1,115	1,122
$O=$	2,189	2,211	2,247	2,267
$-O-$ (hidroxil)	1,522	1,525	1,531	1,541
O (eteri)	1,639	1,643	1,649	1,662
F	0,984	0,997	1,011	1,024
Cl	5,933	5,967	6,043	6,101
Br	8,803	8,865	8,999	9,152
I	15,757	13,900	14,224	14,520
$=$:leg. dublă	1,686	1,733	1,824	1,893
\equiv :leg. triplă	2,328	2,398	2,506	2,538
$N-(C)$	2,309	2,322	2,368	2,397
$(C)-N_{(C)}^{(C)}$	2,807	2,840	2,940	3,000
$N\equiv(C)$	3,054	3,070	3,108	3,129
$-S-$	7,630	7,690	7,830	7,980

Alături de refracțiile atomice se utilizează și așa-numitele refracții de legătură. Aceste refracții, spre deosebire de primele, oglindesc interacțiunile dintre atomi și legăturile lor și conțin astfel unele incremente din sistemul refracțiilor atomice. Refracția unei legături $A-X$ a fost dedusă din refracția compusului AX_n , împărțind-o la n . Astfel, refracția legăturii $C-H(R_{C-H})$ a rezultat divizând refracția metanului $R_{CH_4} = 6,60\text{cm}^3$ prin 4, adică: $R_{C-H} = \frac{6,60}{4} = 1,60\text{cm}^3$. Plecând de la hidrocarburi superioare se obține valoarea preferabilă: $R_{C-H} = 1,676\text{cm}^3$.

Refracțiile de legătură ale compușilor organici sunt date în tabelul 3.

Tabelul 3. Refracții de legătură ale compușilor organici.

Legătura	R_D, cm^3	Legătura	R_D, cm^3
$C-H$	1,676	$C-O$ metilcetone	3,49
$C-C$	1,296	$C-S$	4,61
$C-C$ în ciclopropan	1,50	$C=S$	11,91
$C-C$ în ciclobutan	1,38	$C-N$	1,57
$C-C$ în ciclopentan	1,26	$C=N$	3,75
$C-C$ în ciclohexan	1,27	$C \equiv N$	4,82
$C-C$ aromatic	2,69	$N-N$	1,99
$C=C$	4,17	$O-H$ în alcooli	1,66
$C \equiv C$	5,87	$O-H$ în acizi	1,80
$C-F$	1,55	$S-H$	4,80
$C-Cl$	6,51	$S-S$	8,11
$C-Br$	9,39	$S-O$	4,91
$C-I$	14,61	$N-H$	1,76
$C-O$ în eteri	1,54	$N-O$	3,43
$C-O$ în acetali	1,46	$N=O$	4,00
$C=O$	3,32	$N=N$	4,12

Utilizând datele din tabelele 2 sau 3 se pot calcula refracțiile

molare ale diverșilor compuși organici, valorile astfel obținute trebuind să fie egale sau apropiate de cele măsurate experimental. Este deci posibilă, determinarea refracțiilor combinațiilor complexe fără a efectua măsurători experimentale, fapt deosebit de important în aplicațiile practice ale refractometriei.

1.2. Procedee de bază în analiza refractometrică.

Aditivitatea refracțiilor atomice și de legătură este utilizată în chimia organică ca metodă simplă și eficace pentru verificarea formulelor de structură.

Prin metoda refractometrică nu se poate face însă o analiză calitativă sigură a substanțelor, adică de a stabili natura lor (formula lor chimică) doar pe baza comparării refracțiilor măsurate cu valorile refracțiilor, tabelate, ale diverșilor compuși chimici. Refractometria este utilizată însă cu succes la analiza cantitativă a unor amestecuri de lichide organice a căror refracții molare sunt cunoscute. Metoda se bazează pe faptul că refracția molară a unui amestec, în care interacțiunile moleculare sunt neglijabile, se compune aditiv din suma refracțiilor molare ale componentelor amestecului. În locul refracției molare este de preferat, în acest caz, refracția specifică R' :

$$R' = \frac{n^2 - 1}{n^2 + 2} \frac{1}{\rho},$$

care se bucură de aceeași proprietate, prezentând însă avantajul că este accesibilă măsurătorilor experimentale deoarece în relația de definiție lipsește masa molară.

În cazul unui amestec format din n componente, de refracții specifice R'_1, R'_2, \dots, R'_n , fracțiile molare corespunzătoare fiind x_1, x_2, \dots, x_n , vom avea:

$$x_1 R'_1 + x_2 R'_2 + \dots + x_n R'_n = R',$$

$$x_1 + x_2 + \dots + x_n = 1,$$

R' fiind refracția specifică a amestecului, determinată experimental.

Din cele două ecuații de mai sus se pot deduce două din fracțiile molare dacă cele n refracții specifice și $n - 2$ fracții molare sunt cunoscute.

Pentru un amestec binar vom avea următoarele ecuații:

$$x_1 R'_1 + x_2 R'_2 = R',$$

$$x_1 + x_2 = 1,$$

din care rezultă : $x_1 = \frac{R' - R'_2}{R'_1 - R'_2}, \quad x_2 = \frac{R'_1 - R'}{R'_1 - R'_2}$

Cunoscând refracțiile specifice R'_1 și R'_2 și măsurând refracția specifică R' a amestecului se poate face analiza cantitativă a acestuia.

Când nu se cunosc cele $n-2$ refracții molare ale unui amestec cu n componente, pentru a obține numărul necesar de ecuații se fac măsurători de indici de refracție la mai multe lungimi de undă.

În cazul soluțiilor binare cum ar fi soluțiile apoase de alcool, zahăr, acizi, săruri etc. se aplică de obicei metoda curbei de etalonare care se construiește în coordonatele: indice de refracție-concentrația soluției.

Analiza pe o cale asemănătoare a soluțiilor ternare e mai complicată deoarece în paralel cu determinarea indicelui de refracție este necesar de a determina încă o proprietate a sistemului: densitate, vâscozitate etc. O largă răspândire o are metoda refracto-densitometrică, bazată pe măsurarea indicelui de refracție și a densității. Analiza conform acestei metode prevede construirea diagramei triunghiulare a componentelor, pe care se introduc datele experimentale pentru soluțiile standard, pentru liniile cu același indice de refracție și liniile cu aceeași densitate. Indicele de refracție și densitatea soluției analizate se introduc în triunghiul compozițiilor pentru a găsi punctul ce corespunde acestor mărimi. Coordonatele acestui punct vor indica direct compoziția soluției analizate. În prezent cu ajutorul acestei metode sunt studiate zeci de sisteme ternare, cum ar fi: metanol-etanol-apă, metanol-etanol-acetonă etc.

I.3. Probleme practice de laborator.

a) Determinarea refracțiilor molare ale apei, alcoolului etilic și acidului acetic utilizând datele din tabelele 2 și 3 și compararea lor cu valorile experimentale.

Refracțiile molare ale celor trei compuși se calculează astfel:

Apă $\text{H}-\text{O}-\text{H}$

După tabelul 2: $R_{\text{apa}} = 2R_{\text{H}} + R_{\text{O-}} = 3,725 \text{ cm}^3$.

După tabelul 3: $R_{\text{apa}} = 2R_{\text{O-H in acizi}} = 3,600 \text{ cm}^3$.

Alcool etilic $\begin{array}{c} \text{H} \quad \text{H} \\ | \quad | \\ \text{H}-\text{C}-\text{C}-\text{OH} \\ | \quad | \\ \text{H} \quad \text{H} \end{array}$

După tabelul 2: $R_{\text{alc}} = 6R_{\text{H}} + 2R_{\text{C}} + R_{\text{O-}} = 12,961 \text{ cm}^3$.

După tabelul 3:

$R_{\text{alc}} = 5R_{\text{C-H}} + R_{\text{C-C}} + R_{\text{C-O in acetali}} + R_{\text{O-H in alcooli}} = 12,796 \text{ cm}^3$.

Acid acetic $\begin{array}{c} \text{H} \\ | \\ \text{H}-\text{C}-\text{C}=\text{O} \\ | \quad | \\ \text{H} \quad \text{OH} \end{array}$

După tabelul 2: $R_{\text{acid}} = 4R_{\text{H}} + 2R_{\text{C}} + R_{\text{O=}} + R_{\text{O-}} = 12,976 \text{ cm}^3$.

După tabelul 3:

$R_{\text{acid}} = 3R_{\text{C-H}} + R_{\text{C-C}} + R_{\text{C=O}} + R_{\text{C-O in acetali}} + R_{\text{O-H in acizi}} = 12,904 \text{ cm}^3$.

Determinările de indici de refracție se vor face cu ajutorul refractometrului Abbe la 20°C . Pentru realizarea acestei temperaturi carcasa în care sunt montate prismele de măsură se va cupla la un termostat. Densitățile se vor scoate din tabele.

b) Determinarea concentrației proteinelor din serul sangvin.

Principala aplicație a refractometriei în laboratorul clinic se bazează pe observația după care indicele de refracție al serului depinde de concentrația sa în proteine. Metoda se aplică și pentru exsudate sau transsudate, adică pentru proteinele din salivă și urină. Determinările se pot face rapid dacă se utilizează tabelul 4 în care se prezintă valorile indicelui de refracție n_D , măsurat la $17,5^{\circ}\text{C}$ ($n_D^{17,5}$) în funcție de concentrația proteinelor.

Tabelul 4. Indicele de refracție în funcție de concentrația proteinelor
pentru $t = 17,5^{\circ}\text{C}$.

Concentrația proteinelor serice ($\text{g}^{\circ}/_{\infty}$)	Concentrația proteinelor din exsudate sau transsudate ($\text{g}^{\circ}/_{\infty}$)	$n_D^{17.5}$	Concentrația proteinelor serice ($\text{g}^{\circ}/_{\infty}$)	Concentrația proteinelor din exsudate sau transsudate ($\text{g}^{\circ}/_{\infty}$)	$n_D^{17.5}$
6,3	7,7	1,33705	56,8	55	1,34575
8,6	9,7	1,33743	59	57	1,34612
10,8	11,8	1,33781	61,2	59	1,34650
13	13	1,33820	63,4	61,1	1,34687
15,2	15,9	1,33858	65,5	63,1	1,34724
17,4	17	1,33896	67,7	65,1	1,34761
19,6	20,1	1,33934	69,8	67,1	1,34798
21,8	22,1	1,33972	72	69,1	1,34836
24	24,2	1,34010	74,2	71,2	1,34873
26,2	26,2	1,34048	76,9	73,2	1,34910
28,4	28,3	1,34086	78,5	75,2	1,34947
30,6	30,4	1,34124	80,6	77,2	1,34984
32,8	32,4	1,34162	82,8	79,2	1,35021
35	34,5	1,34199	84,9	81,2	1,35058
37,2	36,5	1,34237	87,1	83,2	1,35095
39,4	38,6	1,34275	89,2	85,2	1,35132
41,6	40,7	1,34313	91,4	87,2	1,35169
43,8	42,7	1,34350	93,5	89,2	1,35205
46	44,8	1,34388	95,7	91,2	1,35242
48,1	46,8	1,34426	97,8	93,2	1,35279
50,3	48,9	1,34463	99,9	95,2	1,35316
52,5	51	1,34500	102	97,2	1,35352
54,7	53	1,34537	104,1	99,1	1,35388

Se va lucra cu refractometrul Abbe, termostațat la $17,5^{\circ}\text{C}$. Ca agent de termostatare se va utiliza apa răcită cu gheață.

Cap. II. Polarimetria.

II.1. Introducere.

În înțelesul mai larg polarimetria cuprinde cele trei metode de analiză ce se bazează pe fenomenul de activitate optică (adică de rotire naturală a planului de polarizare a luminii):

- a) polarimetria propriu-zisă, metodă în care unghiul de rotire se măsoară de obicei pentru radiația D a sodiului sau pentru o radiație ce se află în afara benzilor de absorbție ale compuşilor analizați,
- b) dispersia optică rotatorie, metodă în care unghiul de rotire se măsoară pentru radiațiile din banda de absorbție a compuşilor analizați,
- c) dicroismul optic circular, metodă ce se bazează pe măsurarea diferenței absorbțiilor celor două componente circular polarizate ce se propagă prin mediul optic activ, măsurătorile făcându-se, ca și în cazul anterior, pentru radiații din banda de absorbție.

Activitatea optică este asociată cu două tipuri de specii:

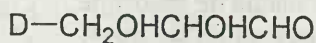
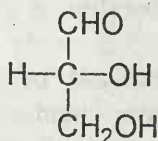
- a) compuși cristalini care își pierd activitatea atunci când cristalul e transformat în lichid, gaz sau soluție,
- b) compuși pentru care activitatea optică este determinată de particularitățile de structură ale moleculelor (de exemplu lipsa la ele a unui centru sau a unui plan de simetrie) și care se manifestă indiferent de starea de agregare a acestor compuși.

În continuare ne vom limita doar la compușii din a doua categorie, starea cea mai potrivită pentru măsurători fiind fie faza lichidă fie așa-numita fază condensată : soluția compusului într-un solvent potrivit ales.

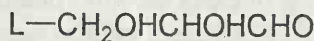
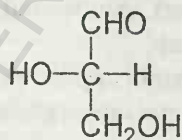
Substanțele ce rotesc planul de polarizare spre dreapta (când se privește prin ocularul polarimetrului în sens invers propagării luminii), adică în sensul acelor de ceas, se numesc dextrogire (d), unghiul de rotire considerându-se pozitiv ($+\alpha$). Substanțele ce rotesc planul de polarizare spre stânga, adică în sens invers acelor de ceas, au fost denumite levogire

(l) unghiul de rotire considerându-se negativ ($-\alpha$). Amestecul echimolecular de izomeri d și l nu posedă activitate optică, el fiind denumit amestec racemic.

Înainte, uneori după formula sau denumirea unei substanțe ce prezintă activitate optică, se pun fie literele d sau l, fie (+) sau (-). Pentru un amestec racemic se utilizează ambele litere, d și l. De exemplu racemul acidului maleic se numește acid maleic dl. Literele majuscule D și L, care se pun înaintea denumirilor sau formulelor substanțelor cu activitate optică (de obicei monozaharide, α -aminoacizi) indică apartenența lor la seriile sterice D- sau L- ale aldehidei glicerice, luată drept substanță de referință. La seria D- se referă substanțele care pot fi obținute din forma D- a aldehidei glicerice, iar la seria L- din forma ei L-:



(D-gliceroză)



(L-gliceroză)

Rotirea planului de polarizare se poate observa cel mai simplu, dacă substanța optic activă este plasată între doi polarizori P și A „în cruce” (la extincție), sistemul fiind iluminat cu radiația D a sodiului. Polarizorul P, care produce lumina liniar polarizată, este fix iar analizorul A se poate roti în jurul direcției luminii ce traversează sistemul.

Fie OP, direcția de transmisie a polarizorului, adică direcția pe care o are vectorul intensitate a câmpului electric \vec{E}_p în fasciculul de radiații ce a ieșit din polarizor (fig. 1). Planul în care oscilează vectorul \vec{E}_p (planul normal pe planul figurii) a primit denumirea de plan de oscilație, iar planul perpendicular pe acesta, în care oscilează vectorul \vec{B} , se numește plan de polarizare. Fie OA direcția de transmisie a analizorului. În lipsa substanței optic active, câmpul radiațiilor ce ies din

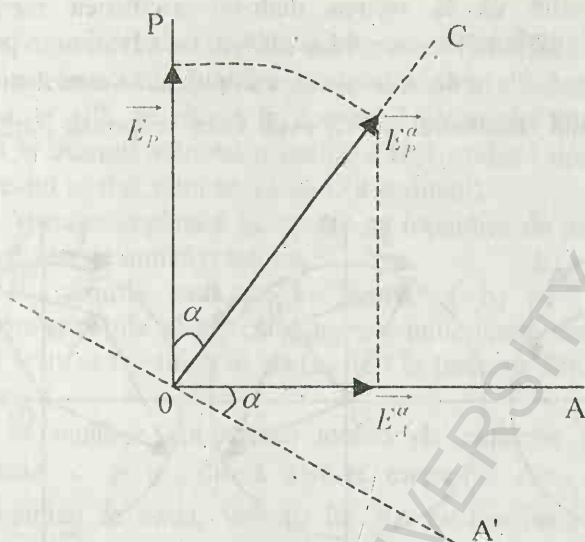


Fig.1. Polarizor și analizor "în cruce" (la extincție)

analizor va fi întunecat, proiecția lui \vec{E}_p pe direcția lui OA fiind nulă. În urma rotirii planului de polarizare de către substanța optic activă cu unghiul α , direcția de oscilație a câmpului electric se rotește și ea cu același unghi. În acest caz câmpul radiațiilor ce ies din analizor va deveni luminos datorită componentei \vec{E}_p^α . Pentru a restabili extincția (câmp întunecat) analizorul trebuie să fie rotit cu un același unghi α , unghi ce poate fi măsurat.

Explicarea generală a rotirii planului de polarizare aparține lui Fresnel. Acesta a plecat de la faptul cunoscut după care o radiație liniar polarizată se poate descompune în două radiații coerente circular polarizate, una de tip d (cu sens de rotație dextrogir) și alta de tip l (cu sens de rotație levogir). Vectorii „luminoși” (vectorii \vec{E}) ai celor două tipuri de radiații, de amplitudine jumătate din acela al radiației inițiale, se rotesc cu frecvențe egale cu frecvența luminii.

În medii optic inactive cele două componente l și d (ne referim la câmpul electric \vec{E} al unei electromagnetice) se propagă riguros cu

aceeași viteză astfel că la ieșirea dintr-un asemenea mediu, prin compunerea lor (interferență), se obține tot o radiație liniar polarizată: fig. 2 a). Deoarece în unda luminoasă câmpul \vec{E} variază sinusoidal, evident că modulul rezultantei \vec{R} va avea valori cuprinse între E_{\max} și E_{\min} .

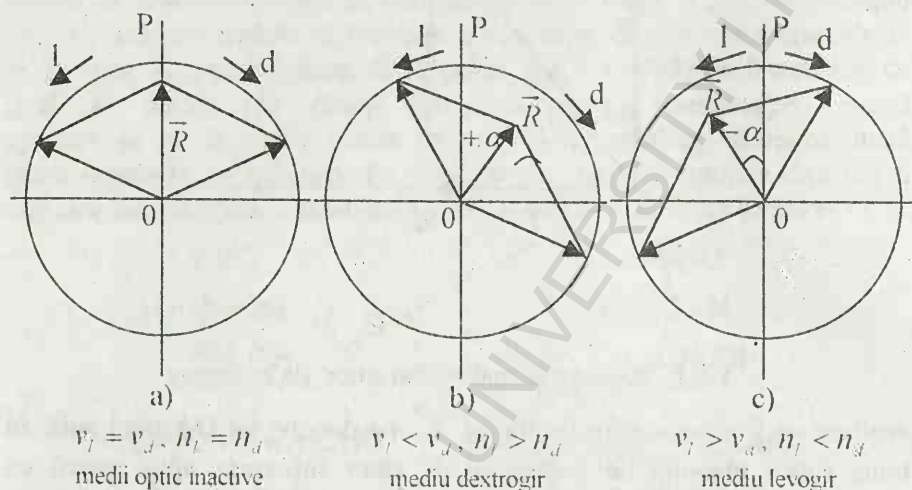


Fig. 2. Recompunerea luminii liniar polarizate din componentele l și d în cazul mediilor optice inactive (a), în cazul unui mediu dextrogir (b) și a unui levogir (c)

Într-un mediu optic activ vitezele v_l și v_d a celor două componente, respectiv indicii de refracție n_l și n_d ai mediului pentru cele două componente, pot să difere astfel că rezultanta \vec{R} va fi rotită față de direcția inițială OP. Cazul substanțelor dextrogire este prezentat în fig. 2 b) iar al celor levogire în fig. 2 c).

Fresnel a dedus pentru unghiul α de rotire a planului de polarizare formula:

$$(1) \quad \alpha = \frac{\pi}{\lambda} (n_d - n_l) l \text{ (rad.)},$$

unde λ este lungimea de undă a radiațiilor iar l grosimea stratului

absorbant.

Formula (1) se verifică doar pentru radiațiile a căror lungime de undă λ nu este situată în banda de absorbție a substanței optic active, bandă ce se află de obicei în domeniul ultraviolet (trebuie precizat, de altfel, că la început activitatea optică a fost studiată doar pentru radiațiile din domeniul vizibil, cum ar fi linia D a sodiului).

Variația unghiului de rotație cu lungimea de undă a radiațiilor se numește dispersie optică rotatorie.

În cazurile analizate în figurile 2 b) și 2 c) s-au luat în considerare situațiile ideale când amplitudinile componentelor I și d nu se modifică (sau se modifică în același fel) la trecerea radiațiilor prin mediul optic activ.

În realitate coeficienții molari de extincție pentru cele două componente, ε_l și ε_d , diferă între ei, diferența: $\Delta\varepsilon = \varepsilon_l - \varepsilon_d$ depinzând și de lungimea de undă. Variația lui $\Delta\varepsilon$ cu lungimea de undă a primit denumirea de dicroism optic circular.

Datorită absorbției diferite a celor două componente circular polarizate, se vor modifica și amplitudinile lor astfel că prin compunerea lor, la ieșirea din mediul optic activ, nu se va mai obține o radiație liniar polarizată ci una eliptic polarizată, unghiul α de rotire „a planului de polarizare” va fi de data aceasta unghiul dintre direcția OP și axa mare OB a elipsei. În fig. 3 este prezentată, pentru ilustrare, situația când $\varepsilon_d > \varepsilon_l$ și $n_l > n_d$ ($v_l < v_d$).

Se arată că între elipticitatea elipsei, θ , definită prin relația: $\theta = \text{tg } OC/OB$, și $\Delta\varepsilon$ există o relație de proporționalitate: $\theta \approx \Delta\varepsilon = \varepsilon_l - \varepsilon_d$, adică cu cât diferența $\Delta\varepsilon$ va fi mai mare, elipsa va fi mai puțin turtită, adică va avea elipticitate mai mare. Pentru $\varepsilon_l = \varepsilon_d$, $\theta = 0$, elipsa se transformă într-o dreaptă, ceea ce corespunde luminii liniar polarizate.

Deci pentru radiațiile din domeniul benzii de absorbție a substanței optic active, radiații pentru care apare fenomenul de dicroism, la rotirea analizorului cu unghiul α , câmpul nu va mai fi întunecat ci va avea luminozitatea cea mai mică. Acest lucru permite măsurarea

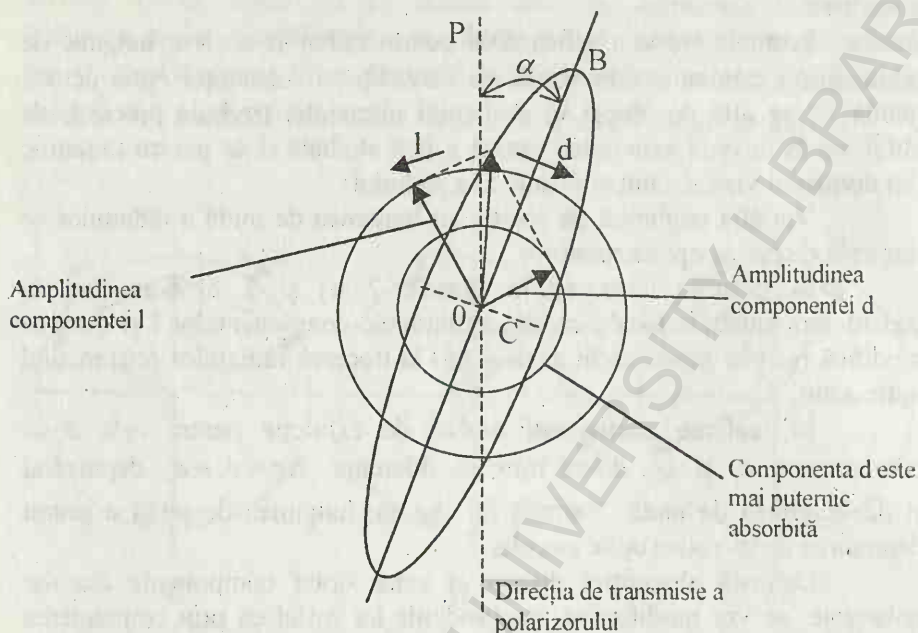


Fig. 3. Polarizarea eliptică a radiațiilor în urma traversării unui mediu optic activ pentru care $\varepsilon_d > \varepsilon_l$ și $n_c > n_d$.

unghiului α , nu însă prin metode vizuale, cum vom vedea mai jos.

Trebuie de precizat faptul că mărimea unghiului α depinde doar de diferența indicilor de refracție, conform formulei (1), și nu depinde de dicroismul optic circular. Acest fapt este deosebit de important pentru efectuarea analizelor deoarece dependențele (curbele de variație) a lui α și $\Delta\varepsilon$ în funcție de lungimea de undă a radiațiilor, vor fi independente una de alta. Aceste dependențe descriind două comportări diferite ale substanțelor optic active se vor completa una pe alta mărind precizia determinărilor. Precizia crește și prin faptul că pentru același domeniu spectral, pentru care se obțin dependențele pomenite mai sus, avem la dispoziție și curba (spectrul) de absorbție din ultraviolet și vizibil (amănunte despre spectrele electronice de absorbție: Cap. IX)

II.2. Considerații privind metoda polarimetrică de analiză (metodă în care se măsoară unghiul de rotire α pentru radiații din domeniul vizibil, de obicei pentru linia D a sodiului).

Aceasta este metoda cea mai veche pentru analiza substanțelor optic active, utilizându-se încă din secolul trecut, metodă ce se aplică cu succes și în prezent în diverse laboratoare, în special în cazul lichidelor și al soluțiilor.

Metoda se bazează pe legea lui Biot, după care:

$$(1) \quad \alpha = [\alpha]_D' l \rho,$$

în cazul lichidelor pure, și:

$$(2) \quad \alpha = [\alpha]_D' l c,$$

în cazul soluțiilor.

Semnificația mărimilor ce intervin în (1) și (2) este următoarea:

l = lungimea coloanei de lichid sau soluție,

ρ = densitatea lichidului,

c = concentrația soluției,

$[\alpha]_D'$ = puterea rotatorie specifică, numită și rotație specifică.

În cazul lichidelor pure rotația specifică depinde de lungimea de undă λ a radiațiilor și de temperatura t . În cazul soluțiilor $[\alpha]$ depinde, pe lângă λ și t , și de concentrația soluției cât și de solventul utilizat.

Cu ajutorul polarimetrelor uzuale $[\alpha]$ se determină pentru radiația galbenă a sodiului: $[\alpha]_D'$. Pentru substanțele optic active dextrogire semnul lui $[\alpha]$ se consideră pozitiv iar pentru cele levogire negativ.

Constanta $[\alpha]_D'$ a substanțelor pure sau a soluțiilor acestora este una din constantele fizice de bază pentru identificarea acestora, alături de punctul de topire, de cel de fierbere, indicele de refracție etc.

Deoarece activitatea optică este caracteristică pentru mai mulți compuși de interes biomedical cum ar fi proteinele, aminoacizii, steroizii, alcaloizii și carbohidrații, polarimetria reprezintă o metodă utilă pentru identificarea lor. În tabelul 1 se prezintă rotațiile specifice pentru o serie

de lichide organice pure iar în tabelul 2 pentru soluțiile unor substanțe organice de interes biomedical.

Tabelul 1. Rotații specifice $[\alpha]_D'$ pentru lichide organice pure.

Denumire	Formulă	$t^{\circ}C$	$[\alpha]_D'$
Limonen	$C_{10}H_{16}$	21	115,9
(+)-Tartrat de metil	$C_6H_{10}O_3$	20	2,14
Alcool sec-octilic	$C_8H_{18}O$	20	9,84
(-)-Mentol	$C_{10}H_{20}O$	46	-49,9
(+)-Carvonă	$C_{10}H_{14}O$	18	62,93
(+)-sec-Butilamină	$C_4H_{11}N$	15	7,80
(-)-Nicotină	$C_{10}H_{14}N_2$	20	-168,6

Tabelul 2. Rotații specifice $[\alpha]_D'$ pentru soluțiile unor substanțe organice
($p = g$ substanță în 100 g soluție; $c = g$ substanță în 100 cm^3 soluție).

Denumire	Dizolvant	Concentrație	$t^{\circ}C$	$[\alpha]_D'$
Acid L-ascorbic	H_2O	$c = 3$	19	+24
d-Borneol	C_2H_5OH	$p = 2,736$	25	+25,8
Chinidină	C_2H_5OH	$c = 1$	-	+233,6
Codeină	C_2H_5OH	$p = 5$	-	-135,8
Nicotină	C_2H_5OH	$c = 21,2$	20	-30
Glucoză	H_2O	$c = 1$	20	+52,74
Fructoză	H_2O	$c = 1$	20	-93,78
Galactoză	H_2O	$c = 1$	20	+80,7
Maltoză	H_2O	$c = 1$	20	+136,90
Zaharoză	H_2O	$c = 26$	20	+66,45
Lactoză	H_2O	$c = 1$	20	+55,30
Manoză	H_2O	$c = 1$	20	+14,5

Tabelul 2, continuare.

Arabinoză	H_2O	$c = 1$	20	+105
Celobioză	H_2O	$c = 1$	20	+35
Xiloză	H_2O	$c = 4,08$	13	+17,6
Rafinoză	H_2O	$c = 10,014$	20	+123,23
Mentol	C_2H_5OH	$c = 9,6$	-	-50,6
Acid mandelic	H_2O	$p = 2,01$	-	+155,5
Acid (+)-lactic	H_2O	$p = 10,05$	-	+3,8

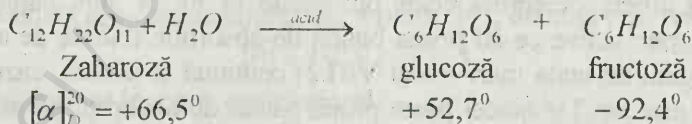
Obs. Uneori, în loc de $[\alpha]$ se utilizează așa-numita putere rotatorie molară definită prin relația:

$$(3) \quad [M]_L = M \frac{[\alpha]_d}{100},$$

M fiind masa molară a compusului respectiv.

Analiza cantitativă a compușilor optic activi se poate face relativ simplu, utilizând metoda polarimetrică, pe baza curbelor de etalonare α_D în funcție de concentrație, curbe care pot fi liniare, parabolice sau hiperbolice.

Metoda polarimetrică se aplică curent în industria zahărului. Dacă, de exemplu, singurul constituent optic activ este zaharoza, concentrația sa se poate determina din măsurători polarimetrice simple ale soluțiilor în apă ale probei, concentrația fiind direct proporțională cu unghiul de rotire. Dacă în soluția de măsură sunt prezenți și alți compuși optic activi atunci se recurge la hidroliza zaharozei conform ecuației de mai jos, cunoscută sub denumirea de „invertire a zaharozei”:



Compușii de reacție vor determina împreună o inversare a semnului rotației. Concentrația zaharozei va fi direct proporțională cu diferența celor două unghiuri de rotație, cel de dinaintea și cel de după hidroliză.

II.3. Considerații privind metoda dispersiei optice rotatorii și cea a dicroismului optic circular.

Vom analiza în paralel aceste metode deoarece ele se bazează pe interacțiunea radiației circular polarizate cu speciile optic active, utilizând niște mărimi caracteristice acestor specii (α și $\Delta\varepsilon$), măsurate pentru radiații din banda lor de absorbție.

Înregistrarea dispersiei optice rotatorii în domeniul uzual 250–750 $m\mu$ poate conduce la două tipuri de curbe și anume la așa-zisele curbe „normale” și la curbe „anormale” care corespund efectului Cotton. Curbele normale reflectă dependența lui α (sau $[\alpha]$) de λ , conform formulei (1), în afara benzii de absorbție; ele sunt curbe fără nici un maxim sau minim, $|\alpha|$ scăzând cu creșterea lui λ . Aceste curbe sunt utilizate mai rar în scop analitic.

Curbele „anormale”, mult mai utile în scopuri analitice, pot fi de două feluri și anume:

- curbe cu efect Cotton pozitiv - când ele trec printr-un maxim situat la lungimi de undă mai mari, după care descresc brusc spre λ mici trecând printr-un minim (fig. 4 a)),
- curbe cu efect Cotton negativ - când trec printr-un minim la lungimi de undă mari după care cresc brusc trecând printr-un maxim la lungimi de undă mici (fig. 4 b)).

Curbele „cu efect Cotton” seamănă cu cele ale dispersiei anormale (lucru de așteptat), respectiv cu cele de variație a indicelui de refracție cu lungimea de undă în domeniul benzii de absorbție al mediului optic respectiv.

Curbele de forma celor prezentate în fig. 4 sunt caracteristice mediilor optic active ce au prima bandă de absorbție (banda de absorbție de la lungimi de undă mari - vezi VIII.2) continuă și izolată, cazuri ce se întâlnesc mai rar. De obicei peste prima bandă de absorbție se suprapune a doua bandă de absorbție iar în aceste cazuri curbele nu vor mai avea forma simplă din fig. 4 - vezi exemplele prezentate mai jos.

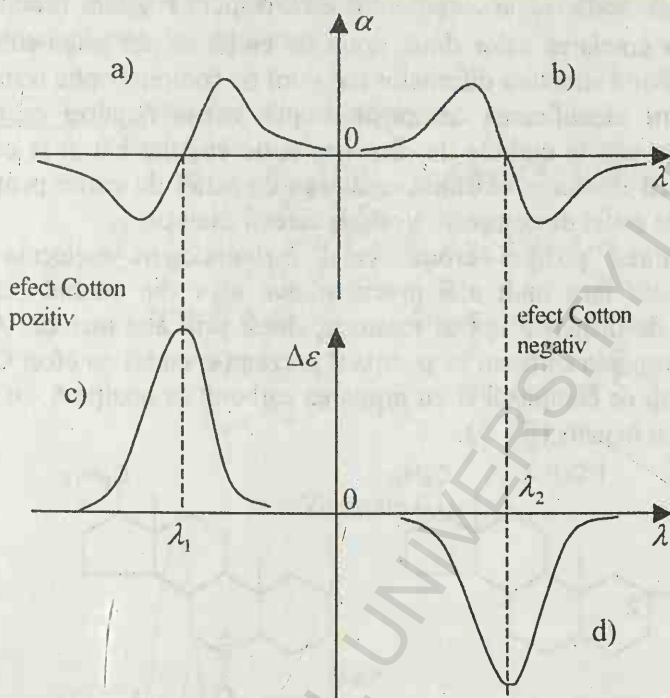


Fig. 4. Curbe schematice de dispersie optică rotatorie (a, b) și de dicroism optic circular (c, d).

Curbele c) și d) din fig. 4 reprezintă curbele de dicroism optic circular corespunzătoare aceluiași medii optice active pentru care s-au trasat curbele de dispersie optică rotatorie.

Curbele de dicroism optic circular se trasează uneori luând în ordonată așa-numita elipticitate molară, $[\theta]$, definită prin relația:

$$[\theta] = 3305(\epsilon_l - \epsilon_d),$$

ea măsurându-se în $\text{grade} \cdot \text{cm}^2 / \text{decimol}$.

Se observă că curbele de dicroism optic circular prezintă un maxim, atunci când curbele de dispersie optică rotatorie prezintă efect Cotton pozitiv și un minim când efectul Cotton este negativ. Se mai observă că maximum curbei c), respectiv minimumul curbei d), se realizează

la lungimile de undă λ_1 și λ_2 , pentru care dispersia optică rotatorie se anulează. Din corelarea celor două tipuri de curbe se pot trage concluzii importante privind structura diferitelor categorii de compuși optic activi.

Pentru identificarea compușilor optic activi (analize calitative) se poate apela atât la curbele de dicroism optic circular cât și la cele de dispersie optică rotatorie, existând cataloage cu astfel de curbe pentru un număr mare de astfel de compuși. Vom da câteva exemple.

Stabilirea poziției cromoforului carbonilic în molecula unui steroid se poate face mult mai precis și mai ușor din studiul curbelor caracteristice de dispersie optică rotatorie, decât prin alte metode. Astfel, cetona I cu gruparea carbonil în poziția 2 prezintă o curbă cu efect Cotton pozitiv, în timp ce compusul II cu gruparea carbonil în poziția 6 - o curbă cu efect Cotton negativ (fig. 5).

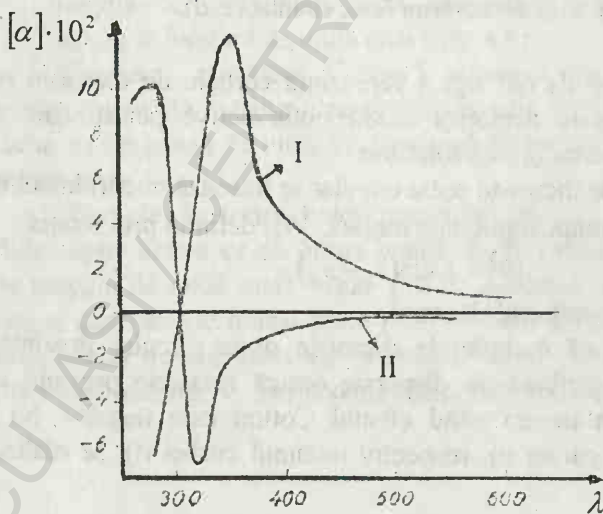
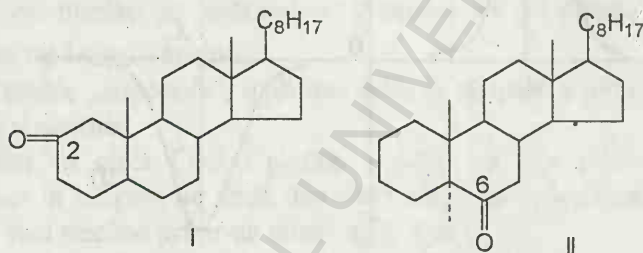
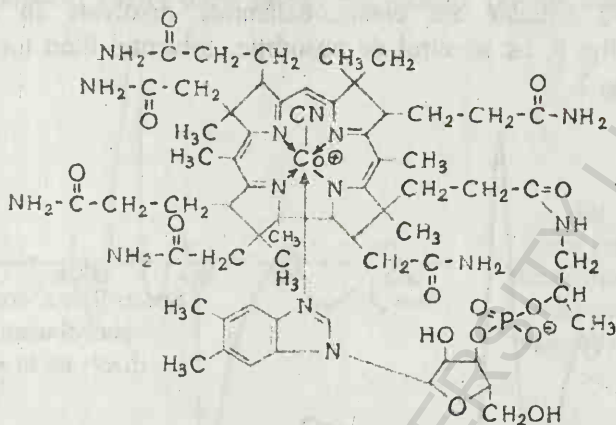


Fig. 5.
Curbele de
dispersie optică
rotatorie ale
cetonei I și II.

Un alt exemplu îl constituie cianocobalamina (vitamina B₁₂) a
cărei structură este dată mai jos:



Vitamină B₁₂

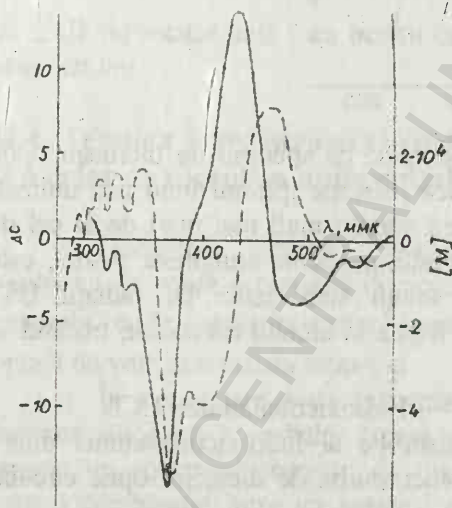


Fig. 6.
Curba (spectrul) de dispersie
optică rotatorie (linie
întreruptă) și cea de dicroism
optic circular (linie continuă)
pentru cianocobalamină
dizolvată în apă.

Curbele (spectrele) de dispersie optică rotatorie și cele de dicroism optic circular ale cianocobalaminei dizolvate în apă sunt prezentate în fig. 6, iar spectrul de absorbție, solventul fiind tot apa, este prezentat în fig. 7.

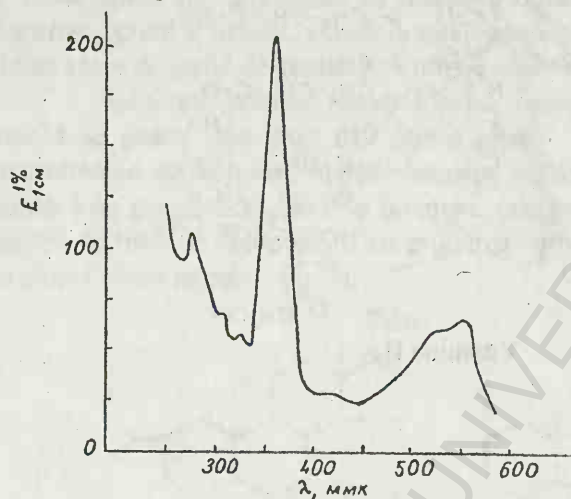
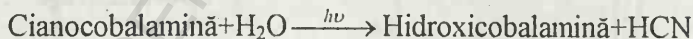


Fig. 7.
Spectrul de absorbție al
cianocobalaminei
dizolvată în apă.

Se constată, pentru acest compus, că spectrul de dicroism optic circular (cât și cel de dispersie optică rotatorie, primul fiind mai utilizat) este mult mai „sensibil”, adică suferă variații mult mai mari decât cel de absorbție, la unele modificări ale acestei molecule complexe. Astfel, este cunoscut că prin iradierea unei soluții slab acide cu radiații UV, cianocobalamina pierde grupa cian, legată la atomul de cobalt, trecând în hidroxicobalamină.



În timp ce spectrul de absorbție al hidroxicobalaminei diferă foarte puțin de cel al cianocobalaminei, curba de dicroism optic circular diferă foarte mult (fig. 8)

Analiza cantitativă a unui amestec de compuși optic activi, utilizând spectrele de dispersie optică rotatorie și de dicroism optic circular, se face în mod asemănător cu aceea care utilizează spectrele electronice de absorbție din ultraviolet și vizibil (vezi IX.4.1),

coeficientul de extincție molară ε fiind înlocuit fie cu $[\alpha]$ fie cu $\Delta\varepsilon$. Precizia analizei crește dacă substanțele dozate posedă măcar o lungime

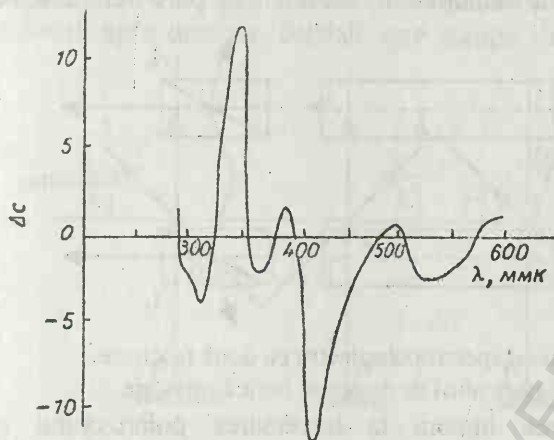


Fig. 8.
Curba (spectrul)
dicroismului optic
circular a
aquacobalaminei.

de undă de rotație nulă (sau pentru care $\Delta\varepsilon = 0$) în domeniul de cercetat al spectrului.

II.4. Tehnica înregistrării curbelor de dispersie optică rotatorie și a celor de dicroism optic circular.

Deoarece tehnica (aparatura) utilizată pentru măsurarea unghiului de rotire a planului de polarizare pentru o anumită radiație (de exemplu α_D) - polarimetrul obișnuit, este cunoscută de la cursul de optică nu vom mai insista asupra ei.

În continuare vom prezenta mai întâi tehnica utilizată pentru trasarea automată a curbelor (spectrelor) de dispersie optică rotatorie și anume un spectropolarimetru de tip „dublu fascicul”. Acest dispozitiv este o combinație între un spectrofotometru pentru ultraviolet și vizibil, cu două fascicule (vezi IX.6), și două polarimetre identice cu optica de cuarț pentru a permite lucrul în ultraviolet. Polarimetrele se plasează în locul cuvelor pentru solvent, respectiv soluție. Între nicolii celor două polarimetre se introduc două cuve identice, umplute cu aceeași soluție a substanței optic active (Fig. 9).

Domeniul spectral de interes pentru dispersia optică rotatorie este în apropierea maximelor de absorbție ale substanței active, pentru care atenuarea fascicului de radiații este maximă. În plus trebuie luată

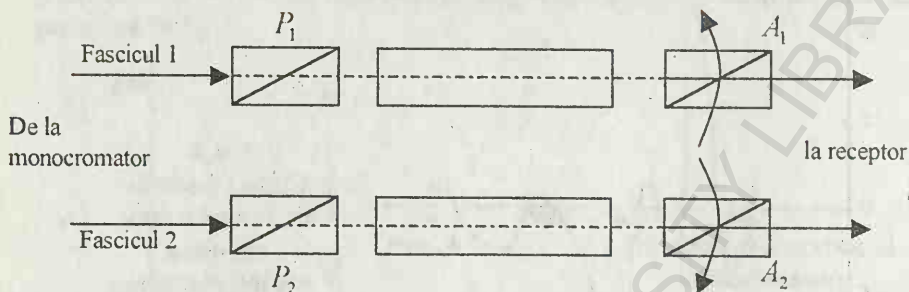


Fig. 9. Schema de principiu a unui spectropolarimetru cu două fascicule pentru înregistrarea curbei (spectrului) de dispersie optică rotatorie.

în considerare și atenuarea luminii la traversarea polarizorului și analizorului. Datorită acestor aspecte, sursa de radiații ce echipază un spectropolarimetru trebuie să fie foarte intensă; se utilizează de obicei lămpi cu xenon de putere.

Polarizoarele se dispun astfel încât direcțiile lor de transmisie, OP, să fie paralele iar analizoarele astfel încât direcțiile lor de transmisie, OA, să formeze unghiuri egale, θ , de circa 60° cu cele ale polarizoarelor dar orientate în sensuri diferite - spre dreapta în polarimetrul din dreapta și spre stânga în polarimetrul din stânga: vezi fig. 10; aici \vec{E}_1 și \vec{E}_2 reprezintă vectorii luminii polarizate ce au străbătut cele două cuve, ei fiind egali ca mărime.

În absența unei rotații, componentele \vec{E}_1^1 și \vec{E}_2^1 ce se obțin în planurile celor doi analizori vor fi egale ca mărime astfel încât cele două polarimetre vor fi străbătute de fluxuri egale ce se compensează.

În cazul apariției unei rotații optice, vectorii \vec{E}_1 și \vec{E}_2 vor fi roțiți sau spre dreapta (fig. 10 (b)) sau spre stânga (fig. 10 (c)) cu același unghi α , astfel că proiecțiile celor doi vectori în planul analizorului nu se vor mai compensa (se știe că măsurătorile la un spectrofotometru se fac prin așa-numita metodă „de zero”, adică se caută să se aducă la egalitate

intensitățile celor două fascicule ce ajung la detector - vezi VIII.4.).

Compensarea celor două fluxuri, astfel ca transmisia să fie de exemplu 50%, se face automat, prin rotirea celor doi analizori cu unghiul α , unul spre dreapta, celălalt spre stânga. În acest mod, la fel cum în

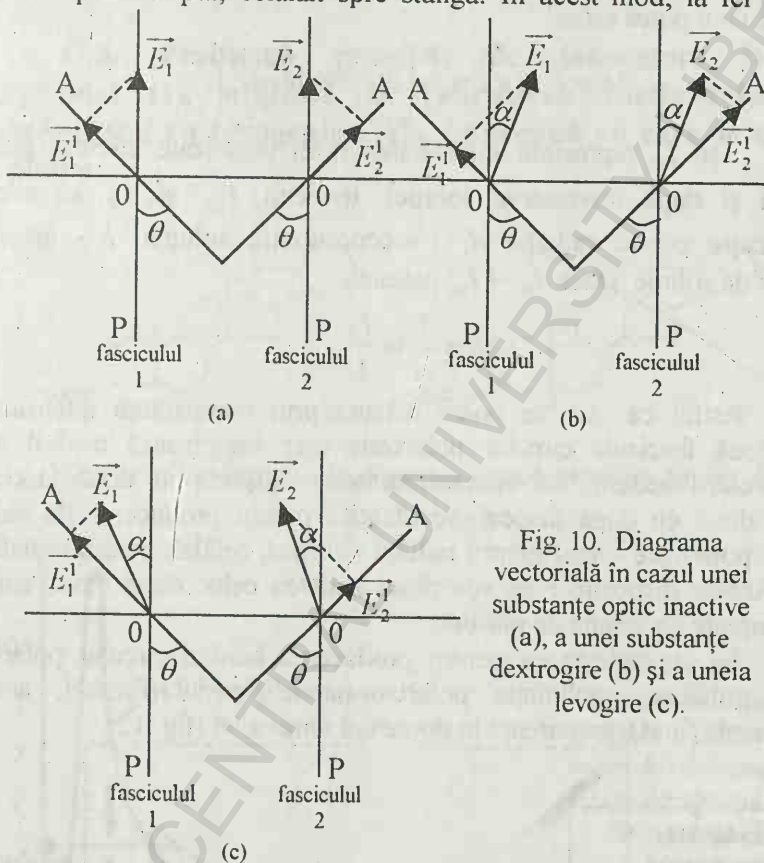


Fig. 10. Diagrama vectorială în cazul unei substanțe optic inactive (a), a unei substanțe dextrogire (b) și a uneia levogire (c).

cazul unui spectrofotometru se trasează curba extincției E în funcție de λ , în acest caz se va trasa curba de variație a lui α tot în funcție de λ .

Curbele (spectrele) de dicroism optic circular se pot trasa și ele cu ajutorul unui spectrofotometru pentru ultraviolet și vizibil adaptat în mod corespunzător.

Din legea lui Lambert-Beer, adaptată măsurătorilor

spectrofotometrice: $I = I_0 10^{-\varepsilon l}$, se obține:

$$\varepsilon = \frac{1}{cl} \lg \frac{I_0}{I},$$

astfel că vom putea scrie:

$$\Delta\varepsilon = \varepsilon_l - \varepsilon_d = \frac{1}{cl} \left(\lg \frac{I_{0l}}{I_l} - \lg \frac{I_{0d}}{I_d} \right),$$

unde I_{0l} și I_l reprezintă intensitatea razei polarizate circular stânga, înaintea și după traversarea soluției; termenii I_{0d} și I_d au aceeași semnificație pentru radiația d ; c = concentrația soluției, l - grosimea stratului de soluție. Dacă $I_{0l} = I_{0d}$, atunci:

$$(4) \quad \Delta\varepsilon = \frac{1}{cl} \lg \frac{I_d}{I_l}.$$

Astfel că $\Delta\varepsilon$ se poate măsura prin compararea intensităților celor două fascicule circular polarizate care traversează mediul optic activ. Pentru aceasta, un spectrofotometru obișnuit cu două fascicule, trebuie dotat cu două dispozitive identice pentru producerea de radiații circular polarizate - unul pentru radiații de tip d , celălalt pentru radiații de tip l . Aceste dispozitive se vor plasa înaintea celor două cuve, ambele fiind umplute cu soluția de măsură.

Se obișnuiește ca pentru producerea luminii circular polarizate să se utilizeze combinația polarizor-paralelipipedul Fresnel, ambele componente fiind transparente în domeniul ultraviolet (fig. 12).

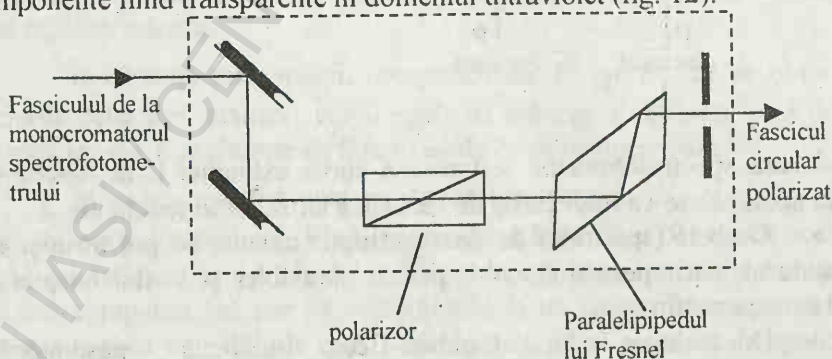
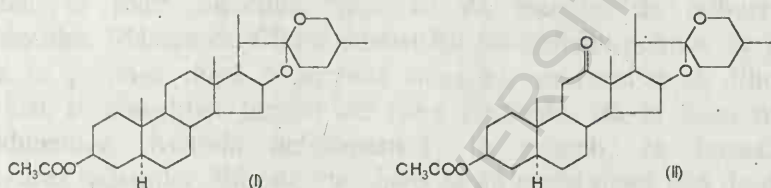


Fig. 12. Dispozitiv pentru producerea luminii circular polarizate.

Dacă se reglează spectrofotometrul astfel că pentru fasciculul d extincția să fie zero (punând în calea fasciculului l cuva goală), atunci extincția E dată de aparat, în cazul când și în cuva din calea fasciculului l se pune soluție de măsură, va fi: $E = \Delta \varepsilon \cdot c \cdot l$.

II.5. Problemă practică de laborator. Dozarea hecogeninei (I), utilizată la fabricarea cortizonului, din amestecul său cu tegogenina (II), împreună cu care se extrage din plante.



Se vor utiliza curbele de dispersie optică rotatorie din fig. 13.

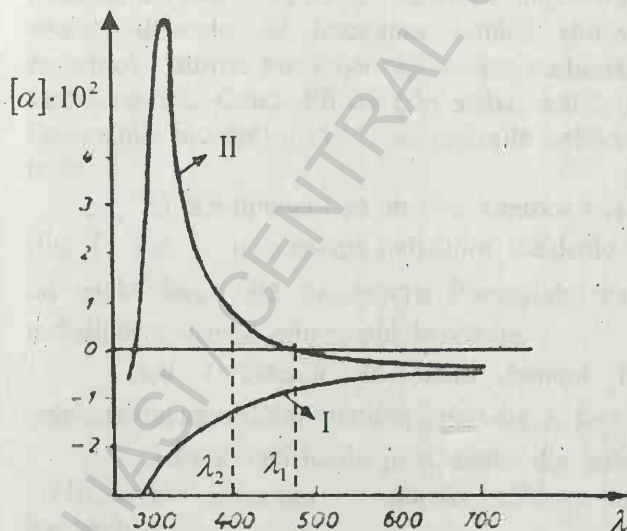


Fig. 13.
Curbele de dispersie
optică rotatorie ale
acetatului de tigogenină
(I) și ale acetatului de
hecogenină (II).

Deoarece „optica” unui polarimetru obișnuit nu este transparentă în ultraviolet, măsurarea unghiurilor α , de rotire a planului de polarizare, se va face la două lungimi de undă λ_1 și λ_2 situate în domeniul vizibil al spectrului, λ_1 fiind radiația pentru care $[\alpha]'' = 0$. Deci vom putea scrie:

$$\begin{cases} \alpha_{\lambda_1} = [\alpha]_{\lambda_1}' lc_1, \\ \alpha_{\lambda_2} = \alpha_{\lambda_2}' + \alpha_{\lambda_2}'' = [\alpha]_{\lambda_2}' lc_1 + [\alpha]_{\lambda_2}'' lc_2. \end{cases}$$

Măsurând α_{λ_1} și α_{λ_2} se pot calcula concentrațiile c_1 și c_2 , puterile rotatorii specifice fiind scoase din graficele corespunzătoare.

Cap. III . Nefelometria și turbidimetria.

III.1. Principiile metodelor nefelometrice și turbidimetrice.

Nefelometria și turbidimetria sunt metode de analiză înrudite care sunt bazate pe fenomenul de difuzie a radiațiilor de către soluțiile ce conțin particule materiale dispersate, solide sau coloidale, soluții numite și tulburi (suspensii, emulsii). Când lumina traversează un mediu transparent în care se află astfel de particule, o parte a radiațiilor este difuzată în toate direcțiile, ceea ce dă aspectul de turbureală al amestecului. Măsurarea slăbirii intensității fasciculului colimat de radiații (care se propagă după o anumită direcție), ca rezultat al difuziei și eventual al absorbției luminii de către particule, stă la baza metodei turbidimetrice. Metoda nefelometrică, în schimb, se bazează pe măsurarea radiațiilor difuzate, de obicei la un unghi drept față de direcția fasciculului incident.

Nefelometria este în general mai sensibilă decât turbidimetria din aceleași motive pentru care fluorometria este mai sensibilă decât fotometria (vezi Cap.IX). Alegerea uneia din cele două metode de analiză depinde de fracțiunea luminii difuzate. Când difuzia este puternică, datorită prezenței mai multor particule, se preferă măsurătorile turbidimetrice. Când difuzia este slabă, astfel că diminuarea intensității fasciculului incident e mică, măsurătorile nefelometrice dau rezultate mai bune.

Să presupunem că un flux luminos trece printr-o soluție tulbure (fig. 1). Fie I_0 intensitatea radiațiilor incidente, I_r a celor difuzate sub un unghi drept față de direcția fasciculului incident și I_t intensitatea radiațiilor transmise prin stratul de soluție.

Cu cercetarea intensității luminii difuzate I_r se ocupă nefelometria iar a slăbirii luminii transmise I_t față de I_0 , turbidimetria.

Dacă dimensiunile particulelor din soluție sunt mai mici decât $\lambda/10$ atunci intensitatea radiațiilor difuzate este dată de formula lui Rayleigh:

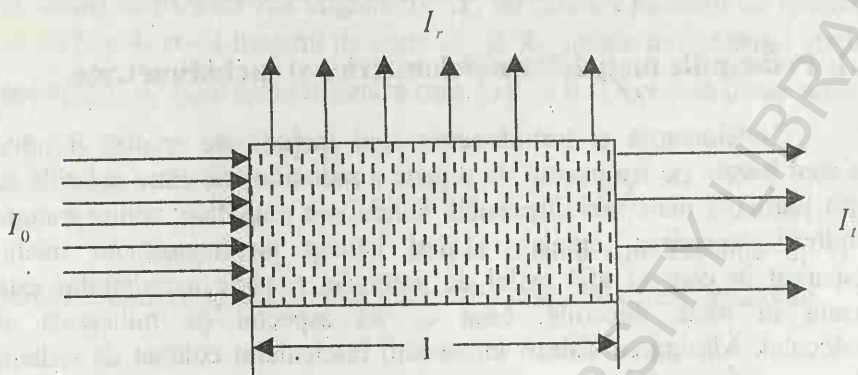


Fig.1. Difuzia luminii de un mediu turbid.

$$(1) \quad I_r = I_0 \left[\frac{n_e^2 - n^2}{n^2} \frac{Nv^2}{\lambda^4 r^2} (1 + \cos^2 \beta) \right],$$

unde n_e și n sunt indicii de refracție ai particulelor și ai mediului, N - numărul total de particule, V - volumul particulei, λ - lungimea de undă a luminii incidente, r - distanța până la observator, β - unghiul format de lumina incidentă și cea difuzată.

În cazul analizelor nefelometrice mărimile n , n_e , r și β rămân constante, de aceea ecuația lui Rayleigh poate fi scrisă sub forma simplificată:

$$(2) \quad I_r = I_0 K \frac{NV^2}{\lambda^4},$$

K fiind un coeficient de proporționalitate.

Factorul $\frac{1}{\lambda^4}$ ne arată că intensitatea luminii difuzate crește repede cu micșorarea lungimii de undă. Dacă suspensia de analizat este iluminată cu lumină albă atunci, în urma difuzării mult mai puternice a undelor scurte, lumina difuzată are o nuanță albastruie, în timp ce lumina transmisă are o nuanță roșietică.

Faptul că intensitatea radiațiilor difuzate depinde nu numai de numărul de particule dar și de dimensiunile lor complică destul de mult realizarea practică a analizei nefelometrice.

Dacă dimensiunile particulelor sunt de ordinul lungimii de undă, λ , intensitatea radiațiilor difuzate este proporțională cu $\frac{1}{\lambda^2}$, iar în cazul când aceste dimensiuni sunt mult mai mari decât λ , intensitatea radiațiilor difuzate nu mai depinde de λ , adică toate culorile sunt egal împrăștiate (efect Tyndal). Rezultă deci că în funcție de mărimea particulelor difuzante avem alte dependențe a lui I_r în funcție de I_0 .

O variantă a formulei lui Rayleigh pentru soluțiile coloidale pe care le dau proteinele, având aplicații la determinarea masei lor moleculare, este următoarea:

$$I_r = I_0 \frac{2\pi^2 (1 + \cos^2 \beta) n_0^2 \left(\frac{dn}{dc} \right)^2 Mc}{N_A \lambda^4 r^2},$$

unde: n_0 și n sunt indicii de refracție a soluției și respectiv a solventului, c - concentrația proteinei, λ - lungimea de undă, în nm, a luminii incidente, N_A - numărul lui Avogadro, M - masa moleculară a proteinei.

Intensitatea radiațiilor transmise, I_t , prin stratul tulbure, având grosimea l , în cazul concentrațiilor mici a suspensiilor, este dată de o relație analoagă ecuației lui Lambert-Beer:

$$I_t = I_0 e^{-\tau l},$$

unde τ este coeficientul de turbulență al soluției.

Coeficientul τ este proporțional cu concentrația particulelor în suspensie, de aceea pentru turbidimetrie ecuația fundamentală are forma:

$$I_t = I_0 10^{-Klc} \quad \text{sau:} \quad \lg \frac{I_0}{I_t} = K/c = E \quad (\text{extincția}),$$

unde $K = 2,303 \frac{\tau}{c}$ reprezintă coeficientul molar al turbulenței soluției, iar c concentrația exprimându-se în *moli / litru*.

Experimental s-a stabilit că coeficientul de turbulență variază cu lungimea de undă a radiațiilor după legea: $\tau = s \cdot \lambda^{-1}$, unde s este o constantă pentru sistemul dat. Coeficientul l este dependent de mărimea particulelor și are valoarea 4 când particulele difuzante au dimensiunea mult mai mică decât lungimea de undă a radiațiilor (difuzia Rayleigh); pentru particule având dimensiuni comparabile cu a lunginii de undă (situația obișnuită în analizele turbidimetrice): $l \approx 2$.

III.2. Modul de efectuare a analizelor. Aplicații.

La analiza nefelometrică și turbidimetrică trebuie să se respecte o serie de condiții, care determină succesul lucrării:

- a) Ca urmare a faptului că la nefelometrare se folosesc de obicei soluții foarte diluate, suspensiile ce se obțin („precipitatele”) trebui să aibă o solubilitate foarte mică.
- b) Conform ecuației lui Rayleigh, cantitatea de lumină difuzată crește cu mărirea dimensiunilor particulelor, la o aceeași cantitate totală de substanță în suspensie. Deci, obținerea rezultatelor corecte din analiza suspensiilor depinde de metoda de obținere a suspensiilor și de reproductibilitatea proprietăților lor optice. Asupra dimensiunilor particulelor și a proprietăților optice ale suspensiilor influențează următorii factori:

- concentrația ionilor care formează precipitatul,
- relația dintre concentrațiile soluțiilor ce se amestecă,
- ordinea amestecării soluțiilor,
- viteza de amestecare,
- timpul necesar pentru obținerea turbulenței maxime,
- stabilitatea dispersiei,
- prezența electroliților străini,
- prezența neelectroliților,
- prezența coloizilor de protecție,
- temperatura și pH-ul soluției.

Astfel, studierea tuturor acestor factori și standardizarea condițiilor de preparare a substanței sunt condiții indispensabile pentru o analiză corectă.

- c) Suspensiile trebuie să fie stabile în timp și să nu se depună când stau în repaus. Pentru mărirea stabilității suspensiilor se folosesc uneori coloizi de protecție cum ar fi gelatina.

Ținând seama de cele de mai sus rezultă că metodele nefelometrice și turbidimetrice se utilizează doar pentru efectuarea unor analize cantitative. În acest scop se trasează curbe de etalonare utilizând serii de soluții etalon cu concentrații c_i cunoscute ale substanței ce urmează să fie determinată, respectiv curbele : I_i , în funcție de c_i sau

$$E = \log \frac{I_0}{I_i} \text{ în funcție de } c_i.$$

Aplicarea metodei seriilor de soluții etalon este destul de limitată deoarece necesită soluții etalon stabile în timp, adică particulele să rămână de aceeași mărime și să nu formeze un precipitat. Aceasta impune ca, în majoritatea cazurilor, să se folosească soluții etalon proaspăt preparate, ceea ce îngreunează aplicarea acestei metode. De aceea se utilizează uneori serii de medii imitatoare cum ar fi plăci de sticlă mată cu diferite grade de turbulență sau suspensiile stabile în timp ale unor compuși.

Astfel de suspensii formează, de exemplu, sulfatul de bariu dintr-o soluție de clorură de bariu în acid sulfuric diluat. Plecând de la această soluție Mac Lagan a creat o scară de turbiditate ce-i poartă numele, unitățile acestei scări numindu-se unități Mac Lagan. Această scară este utilizată pentru a exprima gradul de turbulență a unor suspensii întâlnite în laboratoarele medicale (vezi III.3.1).

Metodele turbidimetrice și nefelometrice sunt pe larg utilizate la analiza apei, pentru determinarea transparenței și pentru controlul proceselor de tratare a acesteia. Pe lângă aceasta se mai poate determina concentrația unei varietăți de ioni prin utilizarea unor reactivi de precipitare potriviți.

În tabelul I se prezintă câteva specii ce pot fi determinate prin metodele turbidimetrice sau nefelometrice.

Tabel 1. Specii chimice ce pot fi determinate prin metode turbidimetrice și nefelometrice.

Specii	Metoda	Suspensii	Reactiv	Interferențe
Ag	T, N	$AgCl$	$NaCl$	-
As	T	As	KH_2PO_2	Se, Te
Au	T	Au	$SnCl_2$	Ag, Hg, Pd, Pt, Ru, Se, Te
Ca	T	CaC_2O_4	$H_2C_2O_4$	Mg, Na, SO_4^{2-} (în concentrații mari)
Cl^-	T, N	$AgCl$	$AgNO_3$	Br^- , I^-
K	T	$K_2NaCo(NO_2)_6$	$Na_3Co(NO_2)_6$	SO_4^{2-}
Na	T, N	$NaZn(UO_2)_3(OAc)_9$	$Zn(OAc)_2$ și $UO_2(OAc)_2$	Li
SO_4^{2-}	T, N	$BaSO_4$	$BaCl_2$	Pb
Se	T	Se	$SnCl_2$	Te
Te	T	Te	NaH_2PO_2	Se, As

T= turbidimetrie; N= nefelometrie.

Metodele nefelometrice permit determinări de concentrații mai mici de câțiva ppm. cu o precizie între 1 și 5%. Metodele turbidimetrice au aceeași precizie doar în cazul soluțiilor mai concentrate.

Aparatura utilizată pentru măsurători nefelometrice este similară cu cea folosită în fluorometrie (vezi IX.5). Măsurătorile de turbiditate se fac de obicei la un spectrofotometru pentru UV-VIS (vezi IX.5) unde se citește extincția E $\left(E = \lg \frac{I_0}{I_t} \right)$ față de proba martor, la o lungime de undă unde absorbția particulelor (dacă ea există) este minimă.

III.3 Probleme practice de laborator.

III.3.1 Efectuarea testului de disproteinemie utilizând metoda turbidimetrică - testul Mac Lagan (cu timol).

Disproteinemie reprezintă termenul prin care se înțelege o modificare calitativă și cantitativă a proteinelor sanguine, datorită unor anumite afecțiuni.

Prin testele de disproteinemie se înțelege un ansamblu de reacții care se traduc prin apariția unei turbidități (sau a unei floculări) după aditia la ser a diferiților reactivi, ca urmare a dezechilibrului calitativ și cantitativ al diferitelor fracțiuni proteice. El poate fi rezultatul diminuării unor factori stabilizanți (albumine) sau creșterii unor factori precipitanți (γ -globuline).

Testul Mac Lagan se bazează pe faptul că o soluție tampon $pH = 7,8$ saturată cu timol floculează globulinele din ser, când acestea sunt crescute peste o anumită concentrație, formând un complex globulină-timol-colesterol-fosfolipide.

Reactivi necesari (pentru circa 50 analize):

1. Soluție timol (soluție stoc):

- timol cristalizat p.a. 5 g
- alcool etilic 96° 50 ml
- tampon veronal $pH = 7,8$:

- acid dietilbarbituric (veronal) 1,38 g

- dietilbarbiturat de sodiu 1,03 g

- apă distilată 500 ml

2. Soluție de clorură de bariu pentru scara turbidimetrică

- clorură de bariu cristalizată $\cdot 2H_2O$ 1,15 g

- apă distilată 100 ml

3. Acid sulfuric 0,2 N

Modul de lucru:

Într-un balon cotat de 50 ml se pune 0,5 ml soluție de timol și 45 ml tampon veronal $pH = 7,8$. Se încălzește pe baie de apă la 70-80 °C, agitând până la solvirea completă a timolului. După răcire se completează

la semn cu soluție tampon. În felul acesta se obține reactivul timol ce va produce turbiditatea serului.

Pentru a face măsurători la ser se pipetează în două eprubete:

	Probă	Martor
Ser nehemolizat	0,05 ml	-
Reactiv timol	3 ml	3 ml
Apă	-	0,05 ml

Se agită și se citește, după 30 minute, extincția E, de la temperatura laboratorului, pentru $\lambda = 470 m\mu$, în cuva de 1 cm. Această extincție va fi exprimată apoi în unități Mac Lagan, utilizând curba de etalonare trasată cu etaloanele de turbiditate.

Pentru pregătirea etaloanelor de turbiditate se pleacă de la o soluție standard ce conține 3 ml din soluția 2, de clorură de bariu și 97 ml acid sulfuric 0,2 N. Prin convenție s-a stabilit că soluția respectivă prezintă o turbiditate de 20 unități Mac Lagan (M.L.). Din această soluție se prepară apoi etaloanele de turbiditate prin diluare cu acid sulfuric 0,2N, conform tabelului.

Etalon	ml. soluție standard	ml. acid sulfuric 0,2 N	Unități Mac Lagan (ML)
1	10	-	20
2	9	1	18
3	8	2	16
4	7	3	14
5	6	4	12
6	5	5	10
7	4	6	8
8	3	7	6
9	2	8	4
10	1	9	2

Aceste soluții pot fi utilizate un timp îndelungat dacă eprubetele în care se păstrează sunt închise la flacără sau dacă după astupare se parafinează. Înainte de utilizare se agită bine.

Pentru fiecare soluție etalon se citește extincția la lungimea de undă $\lambda = 470 \text{ nm}$, în cuva de 1 cm, în cuva martor punându-se apă distilată. Cu valorile extincțiilor astfel obținute se trasează curba extincțiilor în funcție de unitățile ML. Această curbă va servi la determinarea numărului de unități ML corespunzătoare probei.

Valorile normale ale turbidității serului sanguin: 0-4 unit. ML.

III.3.2. Determinarea colesterolului total din ser prin metoda turbidimetrică.

Colesterolul total din serul sanguin poate fi determinat prin măsurarea turbidității provocate în urma adității alcoolatului de sodiu la ser. Reactivi necesari:

1. Soluție alcoolat de sodiu
 - alcool etilic absolut.....45 ml
 - NaOH 3%.....1 ml
 - apă distilată..... 35 ml
2. Soluție NaCl 9 g‰
3. Soluție etalon
 - colesterol.....0,3 g
 - alcool etilic.....100 ml

Se pipetează în patru eprubete următoarele cantități:

	Probă	Martor probă	Etalon	Martor etalon
Ser fiziologic	1 ml	6 ml	1 ml	6 ml
Ser	0,2 ml	0,2 ml	-	-
Etalon colesterol	-	-	0,2 ml	0,2 ml
Alcoolat de sodiu	5 ml	-	5 ml	-

Se agită și se lasă în repaus la temperatura laboratorului 10 minute. Se măsoară apoi extincția probei E_p față de martorul-probă și extincția E_e a etalonului față de martorul-etalon, pentru lungimea de undă $\lambda = 550 \text{ m}\mu$. Concentrația colesterolului din ser se va calcula cu relația:

$$C(\text{grame colesterol la } 1000\text{ml ser}) = \frac{E_p}{E_c} 0,3.$$

Valorile normale ale colesterolului total din ser sunt între 220 și 300 mg/100 ml.

Cap. IV. Microscopul. Observarea prin metoda contrastului de fază.

IV.1. Considerații asupra imaginii unor obiecte de fază.

De multe ori în practica biologică se cere observarea unor microorganisme sau țesuturi care sunt complet sau aproape complet transparente. Cu un microscop obișnuit astfel de observații nu se pot efectua, cu excepția cazului când se utilizează un colorant „de vizualizare”. Coloranții, însă, pot produce degradarea sau chiar moartea țesutului sau microorganismelor, astfel că ei trebuie evitați.

Preparatele biologice transparente, ca cele pomenite mai sus, prezintă de fapt neomogenități de drum optic, fie datorită variației Δh a grosimii geometrice, fie variației Δn a indicelui de refracție, fie variației ambelor mărimi n și h , care determină mărimea drumului optic $\Delta = nh$. Aceste neomogenități de drum optic vor produce modificări de fază ale undelor ce îl traversează, modificări ce nu pot fi puse în evidență în mod obișnuit. Aceasta deoarece ochiul sau alți receptori fizici (fotoelectrici, fotografici etc) pot sesiza doar variațiile de intensitate a undelor luminoase dar nu și variațiile de fază.

Un obiect transparent care modifică faza unei care trece prin el, dar nu modifică și amplitudinea unei (de care depinde intensitatea ei) se numește obiect de fază.

Pentru punerea în evidență a neomogenităților de drum optic ale obiectelor de fază trebuie să obținem imagini în care diferențele de fază ale undelor care trec prin diferite porțiuni (puncte) ale obiectului să fie transformate în variații de intensitate (iluminare) ale imaginilor aceluiași porțiuni (puncte) ale obiectului.

Să considerăm drept obiect de fază un strat subțire transparent S , de grosime h și de indice de refracție n , situat în planul obiect π al obiectivului Ob al unui microscop (fig. 1).

Presupunem că obiectul fază S este iluminat, sub incidență normală, cu un fascicul de raze paralele care provin de la o sursă punctiformă I , situată în focarul principal F al lentilei colimator Lc .

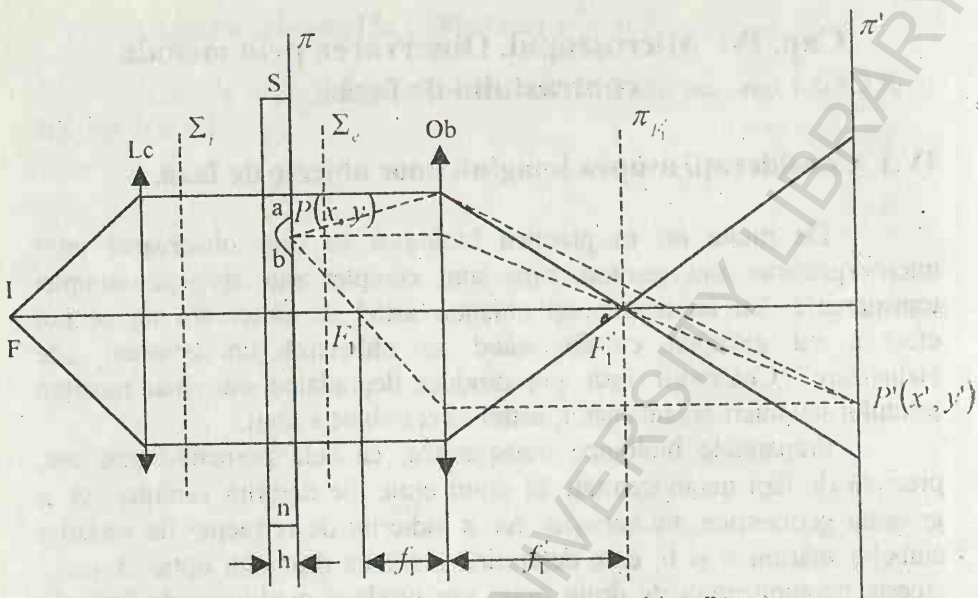


Fig. 1. Imaginea în obiectiv a unui punct obiect $P(x, y)$.

În acest fel radiațiilor care ajung în orice punct al unei suprafețe de undă Σ_i a fascicului incident pe eșanționul S provin din aceleași procese de emisie care au loc în sursa punctiformă I. O astfel de iluminare a eșanționului se numește iluminare coerentă.

Suprafața de undă Σ_i a fascicului incident este plană și perpendiculară pe razele fascicului. Dacă stratul de substanță S are o grosime optică constantă atunci și suprafața de undă Σ_e a fascicului emergent va fi de asemenea plană și perpendiculară pe razele fascicului. Dacă stratul de substanță prezintă o neomogenitate de drum optic suprafața de undă a fascicului emergent se deformează în mod corespunzător.

Dacă stratul de substanță (lama S) este omogen și transparent putem exprima intensitatea câmpului electric al undei într-un punct oarecare $P(x, y)$ de pe suprafața posterioară a lamei (de ieșire din lamă) prin relația:

$$(1) \quad E_c(x, y) = E_0 e^{i(\cos + \Psi_0)},$$

unde E_0 este amplitudinea intensității câmpului electric al unde incidente iar Ψ_0 este faza inițială a unde.

Să considerăm că în vecinătatea punctului $P(x, y)$ lama prezintă o neomogenitate parțial transparentă, caracterizată prin coeficientul de transmisie $\tau(x, y)$ pentru intensitățile de câmp electric și prin variația de fază:

$$(2) \quad \Delta\Psi(x, y) = \frac{2\pi}{\lambda} \Delta(n, h).$$

În aceste condiții intensitatea câmpului electric al unde după trecerea prin zona cu neomogenitate poate fi exprimată prin relația:

$$(3) \quad E_c'(x, y) = \tau(x, y) E_0 \cdot e^{i[\cos + \Psi_0 + \Delta\Psi(x, y)]}$$

Pentru a caracteriza acțiunea neomogenității din lamă asupra fasciculului de lumină transmis vom introduce funcția $I'(x, y)$ numită funcție de transfer și care este definită prin relația:

$$(4) \quad I'(x, y) = \frac{E_c'(x, y)}{E_c(x, y)} = \tau(x, y) \cdot e^{i\Delta\Psi(x, y)}$$

În continuare vom neglija pierderile de energie prin reflexie și prin refracție provocate de piesele optice ale obiectivului. Pe de altă parte, se știe că variația fazei între punctele obiect și punctele imagine corespunzătoare obiectivului este aceeași pentru toate punctele conjugate, obiectivul putând fi considerat un sistem aplanatic. Din aceste motive vom putea considera funcția de transfer a obiectivului (ce se poate defini printr-o relație asemănătoare cu (4)) drept o constantă, iar pentru simplificarea calculelor vom lua această constantă egală cu 1.

Distribuția intensității în planul π' , în limitele imaginii $P'(x', y')$ a punctului $P(x, y)$, va fi:

$$(5) \quad I(x', y') \cong E_c'^* E_c' = \tau^2(x, y) E_0^2$$

Relația (5) ne arată că distribuția intensității, în limitele imaginii punctului $P(x, y)$, depinde doar de τ și de $\Delta\Psi$. Astfel că, în condițiile obișnuite de observare cu microscopul, variațiile de fază produse de

obiect nu produc și variații de intensitate în planul imagine. Imaginile obiectelor vor putea fi observate doar dacă pentru acestea coeficientul de transmisie $\tau(x, y)$ diferă de cel al domeniilor învecinate.

Să presupunem, în continuare, că neomogenitatea ab, de pe lama S este și ea un obiect de fază (ca și lama), adică și pentru ea $\tau(x, y) = 1$. În aceste condiții funcția (3) se poate scrie astfel:

$$(6) \quad \begin{aligned} E'_e(x, y) &= E_0 e^{i[\omega t + \Psi_0 + \Delta\Psi(x, y)]} = E_0 e^{i(\omega t + \Psi_0)} e^{i\Delta\Psi(x, y)}, \\ E'_e(x, y) &= E_0 e^{i(\omega t + \Psi_0)} [\cos \Delta\Psi(x, y) + i \sin \Delta\Psi(x, y)] \end{aligned}$$

Pentru $\Delta\Psi(x, y)$ de valoare mică (cum se întâmplă de obicei) avem: $\cos \Delta\Psi(x, y) \cong 1$ și: $\sin \Delta\Psi(x, y) \cong \Delta\Psi(x, y)$, astfel că putem scrie relația (6) sub forma:

$$(7) \quad E'_e(x, y) = \underbrace{E_0 e^{i(\omega t + \Psi_0)}}_{E_e(x, y)} + \underbrace{E_0 |\Delta\Psi(x, y)| e^{i(\omega t + \Psi_0 \pm \frac{\pi}{2})}}_{\Delta E(x, y)},$$

unde $|\Delta\Psi(x, y)|$ este valoarea absolută a diferenței de fază $\Delta\Psi(x, y)$, care poate fi atât pozitivă cât și negativă. Luând pentru $\Delta\Psi$ valoarea absolută trebuie să introducem la exponent, în cazul funcției $\Delta E(x, y)$, un termen suplimentar $\pm \frac{\pi}{2}$, asta deoarece:

$$e^{i(\omega t + \Psi_0 \pm \frac{\pi}{2})} = e^{i(\omega t + \Psi_0)} e^{\pm i \frac{\pi}{2}} = e^{\pm i(\omega t + \Psi_0)}.$$

Relația (7) ne arată că la ieșirea din obiectul de fază ab, unda emergentă poate fi considerată ca rezultanta a două unde și anume: unda „principală”, cu intensitatea de câmp electric $E_e(x, y)$, neafectată de diferența de fază $\Delta\Psi$, introdusă de obiect, și o undă secundară, cu intensitatea de câmp electric:

$$(8) \quad \Delta E = E_0 |\Delta\Psi(x, y)| e^{i(\omega t + \Psi_0 \pm \frac{\pi}{2})},$$

a cărei amplitudine e mică și variază direct proporțional cu valoarea diferenței de fază $\Delta\Psi(x, y)$. Cele două unde sunt defazate cu $\pm \frac{\pi}{2}$.

Deoarece, așa cum ne arată relația (5), intensitatea în punctul $P'(x', y')$ din planul imagine depinde doar de amplitudinea E_0 a undei principale, pentru a face ca această intensitate să depindă și de amplitudinea $E_0 |\Delta\Psi(x, y)|$ trebuie ca între cele două unde să se introducă o diferență de fază suplimentară de $\pm \frac{\pi}{2}$, astfel încât vectorii $\vec{E}(x, y)$ și $\vec{\Delta E}(x, y)$ să fie coliniari.

Pentru a ne lămurii cum se poate face această vom analiza o serie de probleme legate de mersul razelor prin obiectiv și de difracția acestora.

Se poate, formal, considera că razele undei principale aparțin fascicului de raze paralele, incidente pe lăma S, în timp ce razele undei secundare sunt emise din P sub forma unui fascicul divergent. Fasciculul de raze paralele va fi focalizat în I_1' în timp ce razele fascicului divergent vor fi focalizate în P' (razele figurate cu linii întrerupte în fig. 1). Se observă că, în timp ce primele raze determină în planul focal al obiectivului, π_{F_1} , un punct luminos, celelalte vor determina o zonă luminoasă mai întinsă (ce corespunde intersecției acestor raze cu planul π_{F_1}).

Să luăm în considerare și fenomenul de difracție a luminii și să analizăm cum influențează aceasta distribuția intensității luminoase în planul focal π_{F_1} al obiectivului.

În urma difracției razelor paralele ce cad pe obiectiv se obține o figură de difracție formată din zone circulare (inele) alternativ luminoase și întunecate, concentrice, cu centrul în I_1' . Maximul principal de difracție, în care ajunge cea mai mare parte din energia radiantă a fascicului incident ($\approx 80\%$), se vede din centrul optic al obiectivului sub unghiul solid:

$$2\theta \approx 2 \frac{1,22\lambda}{D},$$

D fiind diametrul obiectivului, mai exact a diafragmei de apertură care

limitează deschiderea activă a obiectivului. Deoarece D este mare unghiul 2θ va fi mic.

Se poate considera că și neomogenitatea ab se comportă ca un orificiu (sau ca un ecran) care difractează lumina (difracție Fraunhofer). Diametrul unghiular al maximumului central de difracție din planul focal π_{F_1} va fi:

$$2\theta' \cong 2 \frac{1,22\lambda}{ab},$$

adică neomogenitatea formează în planul π_{F_1} o figură de difracție de dimensiuni mari, ab fiind mic.

Din cele de mai sus rezultă că energia radiantă corespunzătoare unei principale se găsește distribuită practic pe o arie foarte mică în jurul focarului I_1' (în planul π_{F_1}), în timp ce energia radiantă a unei secundare, care provine de la porțiunea neomogenă ab , se distribuie, în același plan π_{F_1} , pe o arie cu atât mai mare cu cât regiunea neomogenă are dimensiunile mai mici.

Această separare spațială a distribuției de energie radiantă permite modificarea intensităților de câmp ale unei principale fără să se afecțeze sensibil intensitățile de câmp ale undelor secundare produse de neomogenitățile obiectului. Aceste modificări se pot face în două moduri, și anume prin metoda contrastului de fază și prin metoda câmpului întunecat (strioscopia).

IV.2. Metoda contrastului de fază.

Această metodă a fost propusă de F. Zernike, pentru care a luat premiul Nobel pentru fizică în anul 1953.

Zernike a avut ideea să acopere partea centrală a figurii de difracție din planul focal imagine π_{F_1} al obiectivului cu o lamă numită

lamă de fază, astfel ca ea să introducă o diferență de fază de $\pm \frac{\pi}{2}$

(respectiv de $\frac{\pi}{2}$ sau $\frac{3\pi}{2}$) între cele două unde:

$$(9) \quad \Delta\Psi_0 = \frac{2\pi}{\lambda}(n_0 - 1)h_0 = \begin{cases} \pi/2 \\ 3\pi/2 \end{cases},$$

unde: n_0 - indicele de refracție, h_0 - grosimea lamei de fază iar $\lambda \cong 550 \text{ nm}$ (realizată, de exemplu, cu un filtru galben-verde).

Folosind (8) se poate scrie intensitatea de câmp electric produsă în câmpul imagine de către fasciculul de raze care trec prin vecinătatea focarului F_1 (deci prin lama de fază) sub forma:

$$(10) \quad E_L(x', y') = \tau_0 E_0 e^{i(\alpha x + \Psi_0 + \Delta\Psi_0)}$$

la fel cum s-a scris (3).

Majoritatea energiei radiante a fasciculului secundar, cu focarul în punctul $P(x, y)$ și care ajunge în punctul $P'(x', y')$ în condițiile date, trece pe lângă lama de fază astfel că, în primă aproximație, se poate considera că intensitatea de câmp electric $\Delta E(x', y')$ rămâne nemodificată la introducerea lamei de fază. În aceste condiții intensitatea câmpului electric rezultat din punctul $P'(x', y')$ va fi:

$$(11) \quad E_R(x', y') = E_L(x', y') + \Delta E(x', y'),$$

iar intensitatea radiației în același punct va fi:

$$I_R(x', y') \sim E_R(x', y') E_R^*(x', y')$$

După înlocuiri, ținând seama de (8), (9), (10) și (11), se obține:

$$(12) \quad I_R(x', y') \sim E_0^2 \left\{ \tau_0^2 + 2[\pm \tau_0 \sin \Delta\Psi(x, y) + 1 - \cos \Delta\Psi(x, y)] \right\},$$

în care semnul (+) se ia pentru $\Delta\Psi_0 = \pi/2$, iar semnul (-) pentru $\Delta\Psi_0 = 3\pi/2$.

Intensitatea corespunzătoare fondului (I_F), adică cea din punctele imagine corespunzătoare punctelor obiect situate în afara neomogenității (ab), se va obține din (12) pentru $\Delta\Psi(x, y) = 0$, adică:

$$(13) \quad I_F(x', y') = \tau_0^2(x, y) E_0^2.$$

Contrastul imaginii obiectului de fază (ab), ce ne arată cum se evidențiază acest obiect față de fond, va fi dat de relația:

$$(14) \quad \gamma(x', y') = \frac{I_F(x', y') - I_R(x', y')}{I_F(x', y')} = \frac{2[\pm \tau_0 \sin \Delta\Psi(x, y) - 1 + \cos \Delta\Psi(x, y)]}{\tau_0^2}$$

Deoarece γ depinde de coeficientul de transmisie al lamei de fază, alegând potrivit pe τ_0 se poate obține un contrast mare.

Metoda de observare cu contrast de fază este utilizată în special pentru observarea obiectelor de fază în care $\Delta\Psi(x, y)$ are valori mici. În aceste condiții se pot face aproximările:

$$\sin \Delta\Psi(x, y) \cong \Delta\Psi(x, y), \quad \cos \Delta\Psi(x, y) \cong 1,$$

astfel că relațiile (12) și (14) pot fi scrise, în primă aproximație, sub forma:

$$(15) \quad I_R(x', y') \sim I_0^2 \left[\tau_0^2 \pm 2\tau_0 \Delta\Psi(x, y) \right],$$

$$(16) \quad \gamma(x', y') = \pm \frac{2\Delta\Psi(x, y)}{\tau_0}$$

Relația (15) ne arată că pentru diferențe de fază mici intensitatea în punctele imagine variază liniar cu diferența de fază $\Delta\Psi(x, y)$. Relația (16) ne arată că și contrastul imaginii este proporțional cu $\Delta\Psi(x, y)$.

Metoda contrastului de fază ne poate da informații și asupra sensului de variație a drumului optic în obiect (relația (15)). Să admitem că folosim o lamă de fază cu $\Delta\Psi_0 = \pi/2$ astfel încât în relația (15) să avem semnul (+). În acest caz, dacă neomogenitatea produce un avans de fază al undei, astfel încât $\Delta\Psi(x, y) > 0$ (ceea ce corespunde la o cavitate în stratul subțire sau un indice de refracție mai mic decât al zonelor învecinate); conform cu (15) iluminarea imaginii neomogenității este mai mare decât a fondului.

În porțiunile din imagine care corespund neomogenităților care produc o întârziere de fază a undei, astfel încât $\Delta\Psi(x, y) < 0$, iluminarea este mai mică decât a fondului.

În cazul unei lame de fază cu $\Delta\Psi_0 = 3\pi/2$ (semnul (-) în (22)), contrastul este inversat față de cazul precedent.

De obicei se utilizează lame de fază cu $\Delta\Psi_0 = \pi/2$.

Contrastul imaginii poate fi mult mărit, în detrimentul

luminozității, folosind o lamă puternic absorbantă. Astfel, dacă lama de fază reduce intensitatea undei directe de N ori, amplitudinea acesteia se va reduce în raportul $\frac{1}{\sqrt{N}}$ (deci $\tau_0 = \frac{1}{\sqrt{N}}$) astfel că relațiile (15) și (16) devin:

$$I_R(x', y') \sim \frac{E_0^2}{N} [1 \pm 2\Delta\Psi(x, y)\sqrt{N}],$$

$$\gamma(x', y') \cong \pm 2\Delta\Psi(x, y)\sqrt{N}.$$

Pentru a obține imagini mai luminoase în locul unei surse punctiforme de radiații (I, fig. 1) se utilizează o sursă inelară iar lama de fază se realizează de asemenea sub formă inelară. Lățimea lamei de fază are o valoare mică astfel încât lama să acționeze numai asupra undei principale (fasciculul direct) și nu asupra undei secundare, adică asupra razelor difractate la nivelul neomogenităților pe care le prezintă obiectul de cercetat (obiectul de fază).

IV.3. Metoda câmpului întunecat (strioscopia).

Această metodă de observare a obiectelor de fază constă în utilizarea unui mic ecran circular, cu centrul în I_1' , de astfel de dimensiuni, încât să acopere maximum central de difracție și primele inele de difracție ale undei principale (considerând sursa I punctiformă).

În condițiile în care $\tau_0 = 0$ (ecran), din (12) se obține:

$$I(x', y') = 2E_0^2 [1 - \cos \Delta\Psi(x, y)].$$

Deoarece funcția $\Delta\Psi(x, y)$ are valori diferite de zero [$\cos \Delta\Psi(x, y) \neq 1$] numai în punctele obiect din domeniul neomogenității (ab), intensitatea $I(x', y')$ va fi diferită de zero numai în punctele imagine ale neomogenității. Ca urmare, imaginea obținută apare luminoasă pe un fond întunecat, de aceea se numește metoda de observare în câmp întunecat.

Această metodă indică doar prezența neomogenităților de drum optic, nu și sensul de creștere sau de scădere a drumului optic, deoarece

funcția cosinus este o funcție pară, astfel încât:

$$\cos \Delta \Psi(x, y) = \cos[-\Delta \Psi(x, y)].$$

Riguros vorbind fondul imaginii nu este complet întunecat deoarece ecranul, în funcție de dimensiunile sale, mai lasă să treacă o parte din energia radiantă a unei principale.

PARTEA A DOUA. METODE SPECTRALE DE ANALIZĂ.

Cap. V. Considerații generale privind metodele spectrale de analiză.

Analiza spectrală reprezintă o metodă fizică de analiză a compoziției unei substanțe (analiză nucleară, atomică și moleculară) pe baza spectrului său de radiații-emise sau absorbite.

În fizică (de fapt în spectroscopie) termenul de radiație (radiații) are un sens mai larg, prin el desemnându-se atât radiațiile electromagnetice (formate din fotoni, particule fără masă de repaus) cât și radiațiile corpusculare – formate din particule materiale: electroni, neutroni, protoni, particule α , ioni etc.

Ținând seama de acest înțeles al termenului de radiații putem defini spectrul radiațiilor emise de o substanță, de exemplu, ca dependentă (graficul) numărului de particule emise în unitatea de timp, de către unitatea de suprafață a "sursei" de radiații (număr de care depinde intensitatea radiațiilor emise de sursă) de energia E a particulelor individuale. În cazul radiațiilor electromagnetice din domeniul optic (radiații infraroșii, vizibile și ultraviolete) spectrul se reprezintă de obicei în coordonatele I, ν (uneori în coordonatele I, λ), ν fiind frecvența fotonilor (energia lor fiind $E = h\nu$). Intensitatea I se definește prin energia radiațiilor ce cad în unitatea de timp pe unitatea de suprafață a unui receptor, sau a unui mediu absorbant, perpendiculară pe direcția lor de propagare.

Vom prezenta în continuare două tipuri de spectre de emisie și anume un spectru de linii și un spectru continuu: fig. 1 și fig. 2.

Pentru a se înregistra spectrul radiațiilor absorbite de substanță pe aceasta se trimit, de obicei, niște radiații cu spectru continuu. Dacă se fac măsurători similare cu cele efectuate pentru înregistrarea spectrelor de emisie vom obține niște imagini ca în fig. 3 și 4.

Reprezentările spectrelor de absorbție, făcute mai sus, nu sunt avantajoase, preferându-se alte reprezentări, cum vom vedea mai târziu.

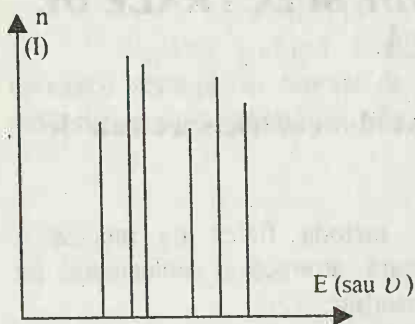


Fig. 1. Spectru de emisie de linii (spectru α , neutronic, de masă, de radiații γ , x, radiații optice etc.).

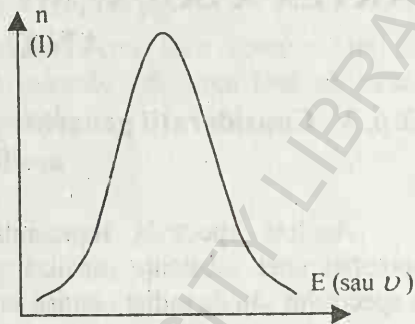


Fig. 2. Spectru de emisie continuu (radiații β , spectrul corpului negru, spectrul unei lămpi spectrale de Xe).

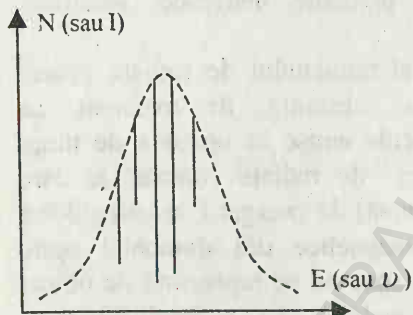


Fig. 3. Spectru de absorbție de linii,

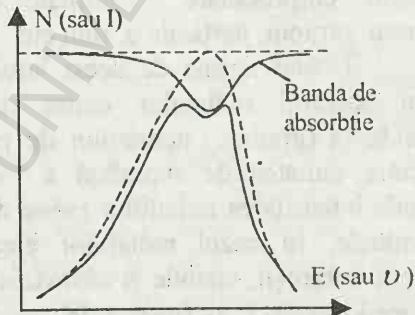


Fig. 4. Spectru de absorbție continuu (de bandă).

Fiindcă spectroscopia optică lucrează doar cu radiațiile electromagnetice din domeniul optic, în această ramură a spectroscopiei spectrul unei radiații (a unei surse de radiații) se definește ca un ansamblu de imagini ale fantei de intrare a unui aparat spectral cu prismă sau cu rețea de difracție (imagini numite linii spectrale), fiecare linie obținându-se cu radiații de o anumită frecvență (monocromatice). Numărul de linii spectrale ale unei radiații va fi deci egal cu numărul de componente monocromatice ale acelei radiații. Putem vorbi atât de linii de emisie, radiații prezente în sursă, cât și de linii de absorbție, radiații

lipsă.

Noțiunea de linie spectrală a căpătat un înțeles mai larg, ea desemnând fie o radiație monocromatică emisă sau absorbită (se vorbește, de exemplu, de linia galbenă a sodiului etc), adică un grup de fotoni de aceeași energie $h\nu$, fie un grup de particule având aceeași energie, de exemplu linie α , linie β , linie de masă (în cazul spectrometrelor de masă) etc.

Trebuie de precizat că analiza spectrală modernă nu se bazează doar pe înregistrarea spectrului radiațiilor emise sau absorbite de o substanță. În cazul radiațiilor optice, de exemplu, pe lângă intensitatea I se mai măsoară faza oscilațiilor, polarizarea, timpul de viață al stărilor excitate, studiindu-se de asemenea și modificările spectrului după diverși timpi scurși din momentul excitării substanței (timpi de ordinul nano sau femto secundelor) – obținându-se așa numitele spectre rezolvate în timp. Acestea sunt doar o parte din metodele de studiu care necesită aparatură specială foarte costisitoare.

Avantajele analizei spectrale sunt următoarele:

a) Are o mare sensibilitate permițând determinarea (identificarea și dozarea) unor compuși (atomici sau moleculari) prezenți într-o probă în cantități foarte mici – mergând până la concentrații de cca. 10^{-10} M/l și chiar mai mici. S-a ajuns până acolo încât o ședere, de o anumită durată de timp, a unei persoane într-o încăpere să poată fi pusă în evidență prin analiza spectrală a aerului din acea încăpere, în care au rămas urme ale mirosului specific, de fapt a unor compuși chimici volatili specifici fiecărei persoane ("amprenta de miros" sau "amprenta chimică"). Pe baza acestei amprente acționează de fapt și câinii polițiști, niște adevărați detectori naturali.

Această mare sensibilitate este necesară și pentru controlul poluării mediului cu diverse substanțe nocive. S-ar părea la prima vedere, că prezența unor cantități extrem de mici de astfel de substanțe în aer, apă, alimente etc nu ar putea avea efecte nocive asupra organismului. Așa este dacă ele acționează un timp relativ scurt (zile, luni). Dacă acțiunea este de lungă durată (și continuă) – de ordinul anilor, pot apărea boli foarte grave.

b) Necesită cantități mici din substanța cercetată, analiza putându-se

efectua chiar fără prelevări de mostre, de exemplu controlul topiturilor de oțel pentru controlul concentrației unor elemente, ca să se poată interveni imediat, localizarea unei tumori la creier etc.

c) Permite determinarea simultană aproape a tuturor elementelor chimice sau tipurilor de molecule prezente într-o probă dată.

d) Durata unei analize spectrale este foarte scurtă – de ordinul minutelor, secundelor și chiar mai mică, în funcție de aparatul spectral utilizat. S-a ajuns până acolo încât aparatele spectrale sunt plasate în avioane iar analizele (la plante, sol și apă) se fac în timp ce avionul zboară deasupra.

Mai nou, unele tipuri de spectrometre sunt utilizate pe post de radar în vederea detectării avioanelor “invizibile” pentru radarele obișnuite. Detectia se face pe baza spectrelor moleculare și atomice ale gazelor de ardere (CO , CO_2 , NO), spectre emise la temperatura acelor gaze ($1500\text{--}2000^\circ\text{C}$).

Ținând seama de marile ei avantaje, analiza spectrală a devenit o metodă indispensabilă de analiză și control în aproape toate activitățile umane (deocamdată în țările avansate): în medicină, biologie, agronomie, industria alimentară, industria chimică și de medicamente, industria grea, industria ușoară, geologie, artă, muzee, industria militară etc.

Clasificarea metodelor de analiză spectrală.

S-au elaborat un număr mare de metode spectrale de analiză (de ordinul zecilor) ce aparțin diverselor tipuri de spectroscopii (spectrometrii) și care sunt de fapt niște discipline de sine stătătoare ce s-au desprins din următoarele discipline mari: Fizica atomului, Fizica moleculei, Fizica nucleară, Fizica corpului solid. Toate acestea utilizează pe larg metodele Mecanicii (fizicii) cuantice. Desigur că în aceste spectroscopii se pun doar bazele teoretice și experimentale ale diverselor metode de analiză spectrală. Pentru a se efectua practic diverse analize trebuie să se apeleze la cărți suplimentare, ghiduri practice.

Clasificarea metodelor de analiză spectrală este mai greu de făcut deoarece există mai multe criterii cum ar fi: modul de obținere a spectrelor, modul de înregistrare a lor, domeniul frecvențelor (sau energiilor particulelor) în care apar spectrele, natura centrilor care emit

sau absorb (nucleele atomilor, atomii, ionii atomici, moleculele sau ionii moleculari etc).

În cazul spectroscopiilor clasificarea lor se face de obicei după natura radiațiilor utilizate (studiate) și după natura centrilor de emisie și absorbție.

După natura radiațiilor utilizate cele două clase mari ar corespunde prima, radiațiilor corpusculare și a doua, radiațiilor electromagnetice.

A) Spectrometria (spectroscopia) radiațiilor corpusculare.

1) Spectrometria radiațiilor emise de nucleele radioactive:

- a) spectrometria α ,
- b) spectrometria β ,
- c) spectrometria neutronică etc.

aplicații: punerea în evidență și dozarea diferitelor tipuri de elemente radioactive pe baza spectrelor respective. Această radioactivitate poate fi sau naturală sau indusă (artificială), o metodă des folosită în acest scop este "activarea" cu neutroni (reacții nucleare provocate de neutroni).

2) Spectroscopia fotoelectronică :

- utilizează electronii emiși de substanță prin iradierea ei cu radiații ultraviolete și X (efect fotoelectric extern),
- aplicații: punerea în evidență a diferitelor specii de atomi sau molecule într-o probă cunoscând energia fotonilor incidenti și măsurând energia fotoelectronilor emiși.

3) Spectrometria de masă :

- utilizează ioni atomici și moleculari a căror masă este măsurată cu o precizie mare.
- se folosește la analiza atomică și moleculară a probelor aduse în stare de vapori pentru a se putea realiza fascicule atomice sau moleculare.

B) Spectroscopia (spectrometria) radiațiilor electromagnetice.

În funcție de natura centrilor de emisie și absorbție întâlnim următoarele clase:

1) Spectrometria nucleară :

- a) Spectrometria γ de emisie și absorbție a nucleelor "libere" (situația obișnuită a nucleelor),

b) Spectrometria γ de emisie și absorbție a nucleelor "legate rigid" în rețeaua cristalină (situație întâlnită la răcirea cristalului la câțiva K) = spectrometria Mössbauer.

c) Spectrometria de rezonanță magnetică nucleară (RMN) ce utilizează tranzițiile de absorbție între nivelele Zeeman ale nucleelor impare (având un număr impar de protoni sau neutroni). Aceste tranziții sunt induse (produse) de radiații electromagnetice de radiofrecvență (de circa 10^6 Hz).

-spectrometriile a) și b) au cam aceleași aplicații ca cele amintite la A.1. În ce privește spectrometria de tip c) ea se aplică de obicei substanțelor ne radioactive, ea având numeroase aplicații pentru determinarea compuşilor ce conțin 1H , 2H și alte câteva nuclee (^{19}F , ^{13}C , ^{31}P).

2) Spectroscopia atomică :

a) Spectroscopia atomică de emisie și absorbție din vizibil și ultraviolet:

- utilizează liniile emise sau absorbite de atomii sau ionii atomici cu ocazia tranzițiilor dintre nivelele electronice ale acestora.
- aplicații: determinarea elementelor componente (atomii) ale probelor solide, lichide și gazoase.

a) Spectrometria de emisie din domeniul X :

- utilizează spectrele X de linii ale atomilor, excitarea atomilor făcându-se sau cu electroni (în tuburile de raze X) sau cu fotoni X sau γ în care caz se vorbește de fluorescența de raze X. Fluorescența de raze X este metoda cea mai utilizată la analizele spectrale.
- aplicații: analize foarte precise de elemente chimice (atomi) prezente într-o probă, indiferent de starea de agregare a substanței.

b) Spectroscopia de rezonanță electronică de spin (RES) :

- studiază tranzițiile de absorbție între nivelele Zeeman ale atomilor sau ionilor monoatomici la care momentul cinetic orbital este nul, dar care posedă un singur electron pe pătura exterioară s. RES se aplică și în cazul ionilor elementelor tranziționale cât și la electronii

cu spin necompensat ai defectelor de structură (exemple: atomii de dopare a semiconductorilor)

3) Spectroscopia moleculară:

a) Spectroscopia moleculară de absorbție și emisie din domeniul microundelor și IR îndepărtat.

- studiază tranzițiile dintre nivelele de rotație ale moleculelor aflate în starea electronică fundamentală și pe nivelul de vibrație cel mai coborât (tranziții de rotație).

- necesită tehnici speciale și e mai dificil de utilizat.

b) Spectroscopia moleculară de absorbție din infraroșu (IR):

- studiază tranzițiile dintre nivelele de vibrație ale moleculelor aflate în starea electronică fundamentală (tranziții de vibrație- rotație)

- este folosită la analiza moleculară a substanțelor gazoase, lichide, solide (sub formă de pulberi sau filme subțiri) cât și a acelor aflate în faza condensată (soluții).

Metoda de analiză utilizând spectroscopia moleculară de absorbție din IR este una din cele mai utilizate metode la efectuarea de analize moleculare. În chimie, de exemplu, analiza unui nou compus nu se poate concepe fără înregistrarea spectrului IR de absorbție și a celui RMN. În ultimul timp, odată cu perfecționarea receptorilor de radiații din IR cât și a surselor de excitare (laserii), a început să se dezvolte și spectroscopia moleculară de emisie din IR.

c) Spectroscopia Raman:

- este o metodă de studiu a tranzițiilor de vibrație- rotație ale moleculelor utilizând în loc de radiații din IR, radiații din domeniul vizibil sau UV , ea bazându-se pe efectul Raman (difuzia combinată a luminii)

- este folosită la fel ca și spectroscopia de la punctul b) la diverse analize, ea pretându-se în special la substanțe în stare lichidă (sau soluții) cât și în stare gazoasă sau solidă.

d) Spectroscopia moleculară de absorbție din UV și VIS :

- studiază tranzițiile dintre nivelele electronice ale moleculelor - tranziții electronice de vibrație- rotație.

- este foarte mult utilizată în cele mai diverse domenii pentru analize moleculare ale substanțelor aflate în toate stările de agregare în special în soluții (faza condensată). Este o metodă relativ simplă necesitând aparatură nu prea costisitoare.

a) Spectroscopia moleculară de emisie din UV și VIS (de luminescență):

- studiază spectrele de emisie ale moleculelor excitate pe nivelele electronice superioare (tranzițiile electronice de vibrație- rotație).

În funcție de modul de excitare a luminescenței s-au creat următoarele subramuri:

- Fotoluminescența (spectroscopia de fotoluminescență) – excitarea se face sub acțiunea radiațiilor electromagnetice

- Electroluminescența – excitarea se face cu câmpuri electrice,

- Catodoluminescența – excitare cu electroni,

- Radioluminescența – excitare cu radiații nucleare,

- Sonoluminescența – apare de obicei în lichide supuse influenței unor unde sonore intense

- Chemiluminescența – energia de excitare apare în urma unor reacții chimice cum ar fi oxidarea lentă a unor substanțe organice. O manifestare deosebită (specială) a chemiluminescenței o reprezintă termoluminescența care apare în cazul când reacția chimică, necesară “activării” luminescenței, are loc în urma încălzirii aparatului. Fenomenul de chemiluminescență ce apare în substanțe biologice (organisme vii) a primit denumirea de bioluminescență – ex: licurici, viermi, moluște, etc.

b) Spectroscopia de rezonanță electronică de spin (RES):

-studiază tranzițiile dintre nivelele Zeeman corespunzătoare radicalilor moleculari având un electron cu spinul necompensat (substanțe paramagnetice).

Din marea varietate a metodelor de analiză spectrală, aplicații directe ale diverselor tipuri de spectroscopii, vom studia doar câteva, mai accesibile laboratoarelor obișnuite, având o dotare medie.

Cap. VI. Analiza spectrală utilizând spectrele atomice de emisie din domeniul vizibil și ultraviolet.

VI.1 Moduri de excitare a atomilor. Surse spectrale.

Principalele moduri de excitare a atomilor sunt ciocnirile lor cu electroni, ioni, atomi și fotoni. Excitarea cu primele trei tipuri de particule se face în așa-numitele surse spectrale (un fel de “cuve” cu atomi, în care sunt prezente și particulele excitatoare, de aceea le putem numi și “cuve cu plasmă”) cum ar fi: flacăra, arcul electric, scânteia electrică etc. Se consideră că în astfel de surse se realizează echilibrul termodinamic, adică temperatura se stabilește la o anumită valoare constantă, T .

Atomii prezenți în cuva cu plasmă se excită pe cale termică, preluând energia termică a particulelor cu care se ciocnesc (cele mai eficiente fiind electronii) iar distribuția lor (a atomilor) după nivelele de energie se face conform legii de distribuție a lui Boltzmann:

$$N_i = N_0 \frac{g_i}{g_0} \cdot e^{-\frac{E_i}{kT}},$$

unde: N_0 – numărul total de atomi prezenți, g_i , g_0 – ponderile statistice ale stării excitate, respectiv a celei fundamentale, N_i – numărul de atomi aflați în starea de energie E_i . (E_i reprezintă energia de excitare a nivelului i ; pentru starea fundamentală se ia $i=0$, deoarece pentru această stare energia de excitare este nulă, adică $E_0=0$). În aceste condiții intensitatea spectrului emis va fi determinată în principal de temperatură. În cazul plasmei unei descărcări electrice și când se consideră că excitarea se face cu electroni, T reprezintă temperatura electronică, adică aceea ce rezultă din relația: $eU = 3/2 kT$, e fiind sarcina electronului iar U tensiunea de accelerare a acestuia.

Cu totul altă situație avem în cazul excitării cu fotoni. Cuva cu atomi aflați la o anumită temperatură T , mult mai mică decât cea

necesară excitării lor termice, este iradiată cu fotoni (cu radiații electromagnetice). Fotonii ce intră în cuvă, și care în parte sunt absorbiți de atomi excitându-i, practic nu modifică temperatura T , astfel că nu mai putem vorbi de o distribuție Boltzmann. Se spune că avem o distribuție de neechilibru a atomilor excitați după nivelele de energie, în care caz intensitatea spectrului emis nu mai este determinată de temperatură. Emisia atomică în cazul excitării cu fotoni a primit denumirea de fluorescență atomică, ea constituind obiectul unei sub-discipline de sine stătătoare și anume “spectroscopia de fluorescență atomică”. Această disciplină s-a dezvoltat în ultimii 30-35 de ani.

Din considerente istorice, când se vorbește de emisia atomică (sau de spectroscopia de emisie atomică) se înțelege doar emisia din sursele spectrale citate (excluzându-se excitarea cu fotoni), acest procedeu de excitare folosindu-se de mai bine de 100 de ani. În continuare vom prezenta, pe scurt, principalele surse spectrale utilizate în spectroscopia de emisia atomică.

VI.1.1. Flacăra.

Se utilizează flăcările rezultate din următoarele amestecuri de gaze (primul – combustibilul sau carburantul, iar al doilea – comburantul):

Acetilenă – aer	$T = 2500 \text{ K}$
Acetilenă – oxigen	$T = 3400 \text{ K}$
Hidrogen – aer	$T = 2300 \text{ K}$
Metan – aer	$T \approx 2200 \text{ K}$
Propan – aer	$T \approx 2200 \text{ K}$
Butan – aer	$T \approx 2200 \text{ K}$
Cianogen – aer	$T = 2600 \text{ K}$
Cianogen – oxigen	$T = 4600 \text{ K}$

Datorită temperaturii nu prea ridicate ce se obține într-o flăcăra, excitarea în flăcăra își găsește, în analiza spectrală de emisie, un câmp de aplicație strict delimitat și anume la analiza calitativă și cantitativă a metalelor ușor excitabile, în special a celor din primele trei coloane ale

tabloului periodic al elementelor, a metalelor din jurul Fe și a câtorva pământuri rare. Există totuși o serie de elemente a căror spectre nu apar în flacără deși potențialele lor de excitare sunt mici: Al, Ti, V, Zn, Mo, Ta, W, Re, Os, Bi, U, potențialul de excitare fiind sub 3,5 V. Cauza este că aceste elemente dau, sau oxizi greu disociabili, sau greu volatili.

Deoarece în flacără predomină doar liniile de rezonanță înseamnă că spectrele de flacără sunt sărace în linii, ceea ce constituie un avantaj în ceea ce privește separarea liniilor de emisie a diferitelor elemente. Condițiile de excitare și de introducere a substanței în flacără pot fi făcute atât de stabile încât să permită o analiză cantitativă cu o precizie mergând până la 1%.

Sensibilitatea mare a analizei se datorează și faptului că fotoreceptorii (de obicei fotomultiplicatori) nu sunt perturbați de câmpurile electrice exterioare (nu se formează perturbații în schemele de amplificare), cum se întâmplă în cazul arcului electric sau a scânteii electrice. Analizele ce utilizează flacără ca mijloc de excitare se fac de obicei pentru soluțiile în apă distilată ale probelor de cercetat, apa nefiind nici toxică nici inflamabilă (probele insolubile în apă se atacă cu acizi potriviți pentru a obține săruri solubile). Aceste soluții sunt pulverizate apoi în flacără. În acest caz flacără are și rolul de-a atomiza proba, adică de a crea atomi liberi.

Procesele care preced atomizarea într-o flacără sunt următoarele: uscarea (evaporarea solventului), calcinarea, topirea și evaporarea compușilor moleculari prezenți. Atomizarea are loc ca urmare a disocierii acestor compuși. La alegerea unui anumit tip de flacără (a unei anumite perechi carburant-comburant) trebuie de avut în vedere ca procesele pomenite mai sus să se realizeze în condiții optime.

Montajul obișnuit al unei instalații de analiză utilizând flacără (fotometru cu flacără) este prezentat în fig. 1. Tot aici se prezintă și structura unei flăcări (regiunile ei).

Radiațiile proprii ale flăcării (în cazul când gazele utilizate sunt pure) depind de regiunile ei. În conul de reacție (zona în care are loc combustia) întâlnim benzi intense ale C_2 și CN situate în vizibil și ultraviolet, ceea ce împiedică folosirea acestei regiuni în analiza spectrală. În

facă întâlnim radiații slabe ale radicalului OH, ușor excitabil. Excitarea atomilor probei supuse analizei are loc practic în facă, unde se stabilește și echilibrul termodinamic, adică se realizează o anumită temperatură T , constantă, caracteristică tipului de flacără.

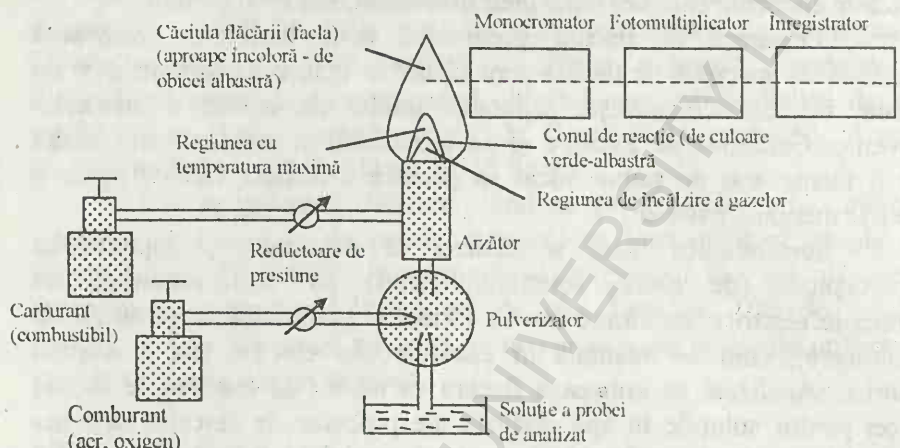


Fig. 1. Schema de principiu a unui fotometru cu flacără.

O serie de dezavantaje ale flăcării obișnuite sunt înlăturate de așa-numita flacără cu plasmă numită și plasmatron. Ea se poate obține la capătul unui tub de cuarț de 15-30 mm în diametru. Acest tub este înfășurat cu o bobină (spiră) legată la un generator de înaltă frecvență, între 4 și 50 MHz, și puteri de la 1 la 5 kW (Fig. 2).

Prin tubul de cuarț "curge" un gaz inert (de obicei argon) care este suportul plasmei și răcitor al tubului. Pentru a se forma plasma este utilizată scânteia de la o bobină Tesla, în vederea realizării "germenilor" de electroni sau ioni în regiunea bobinei. De îndată ce argonul devine conductor plasma se formează în mod spontan, dacă curgerea prin tub este uniformă.

Curentul indus, format din ioni și electroni (care se mișcă pe direcții circulare), încălzește gazul de suport până la temperaturi de ordinul a 9000-10000 K și susține ionizarea necesară pentru a se realiza o

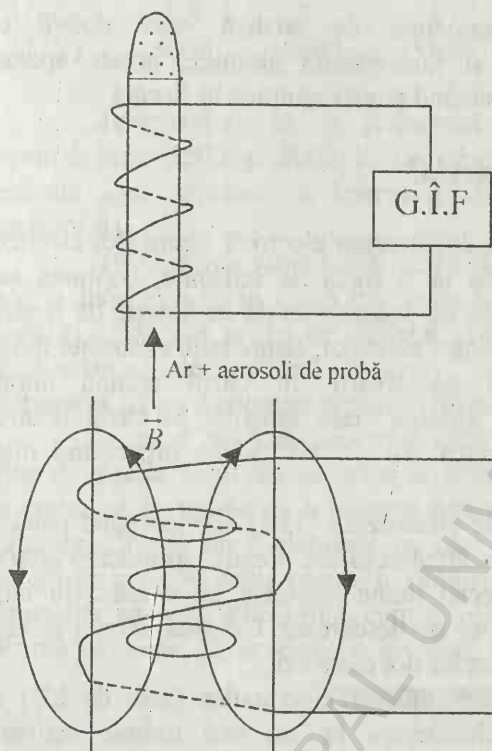


Fig. 2. Flacăra cu plasmă (plasmatronul).

plasmă stabilă. Proba sub formă de aerosoli este introdusă împreună cu argonul, jetul de gaz având și rolul de a împinge plasma spre capătul tubului, plasmă ce iese din acesta sub forma unui jet stabil, lung de 10-15 mm: flacăra cu plasmă.

Avantajele acestei flăcări sunt numeroase – temperatură mare, timp lung de existență, densitate mare de electroni, atomii liberi se formează într-un mediu aproape inert, speciile moleculare sunt absente sau prezente într-un număr foarte mic, nu folosește gaze explozive.

Pentru analizele curente din laboratoarele obișnuite (medicale, alimentare, farmaceutice etc) fotometrul cu flacăra este prevăzut, în locul monocromatorului, cu o serie de filtre pentru liniile de rezonanță ale elementelor ce urmează a fi determinate, iar în loc de fotomultiplicator și înregistrator, cu o celulă fotoelectrică cuplată cu un galvanometru.

În cazul când laboratoarele de analiză sunt dotate cu spectrofotometre de absorbție și fluorescență atomică, aceste aparate permit și efectuarea de analize utilizând emisia atomică în flacără.

VI.1.2. Arcul și scânteia electrică.

Aceste surse utilizează descărcarea electrică dintre doi electrozi situați de obicei în aer și legați la o sursă de tensiune, continuă sau alternativă. Denumirea de arc sau de scânteie se dă în funcție de o serie de factori cum ar fi: tensiunea dintre electrozi, temperatura plasmăi dintre electrozi, durata și caracterul descărcării. În cazul arcului durata descărcării este mai mare iar “arderea” este liniștită; în cazul scânteii durata descărcării este foarte mică: $10^{-7} - 10^{-8}$ s, ea provocând niște “pocnituri” caracteristice.

La tensiuni mici aplicate electrozilor (110, 220 mergând până la câteva mii de volți) întâlnim descărcarea în arc. Pentru aprinderea arcului se recurge la un generator special numit activator ce creează în mod artificial sarcini electrice în spațiul de descărcare. Cel mai simplu se face aprinderea arcului prin atingerea celor doi electrozi.

Pentru tensiuni mai mari aplicate electrozilor (zeci de kV) se realizează scânteia electrică, descărcare ce nu mai trebuie activată. Această deoarece are loc emisia la rece a electronilor din electrodul “negativ”, emisie ce determină străpungerea electrică a intervalului dintre electrozi.

Tensiunea necesară pentru străpungerea stratului de aer dintre electrozi depinde de distanța d dintre ei, de gradul de umiditate al aerului, de forma electrozilor, starea suprafeței lor, natura lor etc, cei mai importanți factori fiind d și forma electrozilor. Pentru electrozii ascuțiți este nevoie de o tensiune mai mică decât pentru cei sferici.

Dăm mai jos câteva tensiuni necesare pentru declanșarea scânteii (a străpungerii) în cazul unor electrozi metalici sferici având diametrul de circa 10 mm (diametru indicat în analizele spectrale), aflați la diferite distanțe d .

d (mm)	1,5	3	4	6	9	24
U (V)	5000	10000	15000	20000	30000	70000

Temperatura ce se realizează într-o descărcare în arc este cuprinsă între 5500 și 8000 K, pe când în cazul scânteii temperaturile realizate sunt cuprinse în intervalul 10000 și 30000 K (temperatură electronică).

Introducerea atomilor în plasa descărcării în arc sau scânteie se face în mod simplu în cazul metalelor și anume confectionând unul din electrozi chiar din proba de analizat. Temperatura mare realizată cât și bombardarea electrodului respectiv cu ioni pozitivi va produce evaporarea lui pe o anumită grosime (distanță).

În cazul analizei unor materiale slab conductoare (roci etc) cu urme de metale, unul din electrozi se confectionează din cărbune și având un crater ce se umple cu o pulbere fină a acelei probe (Fig. 3). În cazul soluțiilor sărurile unor elemente pe care vrem să le punem în evidență (soluții pe care, în unele cazuri, le obținem "atacând" probele de analizat, nemetalice sau sub altă formă, cum ar fi rocile, cu acizi potriviți astfel ca sărurile obținute să se dizolve în apă), unul din electrozi, confectionat

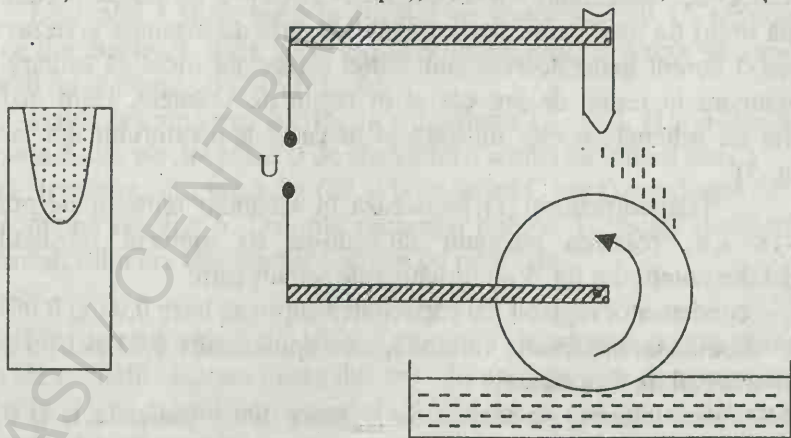


Fig. 3. Electrode scobit pentru pulberi.

Fig. 4. Un mod de a se antrena soluția în spațiul de descărcare.

dintr-un anumit metal se face sub forma unui disc care se rotește trecând printr-un vas ce conține soluția respectivă. Datorită “umezirii” roții soluția va fi “proiectată” puțin câte puțin în spațiul de descărcare (fig.4).

În arc se emit cu precădere linii atomice (numite și linii de arc) pe când în scânteie, datorită temperaturii mai mari, vor apare și linii ionice, emise de atomii simplu sau multiplu ionizați, numite linii de scânteie. În funcție de acestea este mai comod să caracterizăm o descărcare electrică având în vedere și scopul în care se utilizează ea. Vom spune că descărcarea are un caracter de arc când proba emite linii atomice și că ea are un caracter de scânteie când se emit linii ionice.

Se utilizează arcul și scânteia atât în curent continuu cât și în curent alternativ. Descărcările în curent alternativ (la frecvența de 50 Hz), deci descărcări întrerupte, asigură stabilitatea și reproductibilitatea lor, aceasta din cauză că electrozii nu sunt tot timpul fierbinți. Acest lucru este foarte important în analizele cantitative, când trebuie să se înregistreze exact în aceleași condiții (T același) atât spectrele etaloanelor cât și a probei de cercetat.

S-au realizat multe tipuri de generatoare electrice (circuite electrice de “alimentare” a electrozilor) pentru a se putea produce cele două tipuri de descărcări, fiecare având o serie de avantaje și dezavantaje. În mod curent generatoarele sunt astfel proiectate încât să asigure atât o descărcare în regim de arc cât și în regim de scânteie. Dăm mai jos o astfel de schemă ce este utilizată și în cazul generatorului din laborator (Fig. 5).

Transformatorul Tr realizează în secundar tensiuni de ordinul a 12-18 kV, reglarea tensiunii făcându-se cu ajutorul reostatului R. Celelalte notații din fig. 5 au următoarele semnificații:

C – condensator reglabil, cu capacitatea cuprinsă între 0,01 și 0,001 μF ,

L – bobină cu inductanță variabilă, între aproximativ 0,01 și 1 mH,

I – interval de descărcare,

M – motor electric ce realizează legătura dintre punctele E și F, când lama ab vine în dreptul lor,

D – bobine ce protejează transformatorul împotriva pătrunderii curentului de înaltă frecvență de la circuitul de descărcare (B).

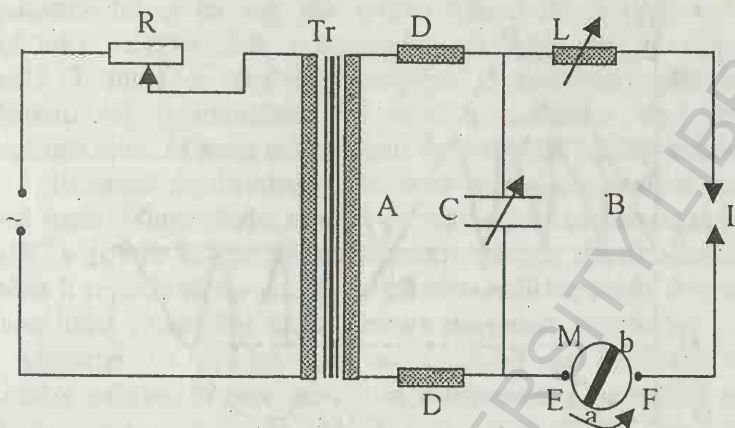


Fig. 5. Schemă de generator pentru alimentarea descărcării în arc sau scânteie.

Pentru început vom discuta mecanismul de funcționare al generatorului în lipsa motorului M și când este realizată legătura electrică între punctele E și F ale circuitului de descărcare.

Intervalul I fiind legat în paralel cu condensatorul C, tensiunea dintre cei doi electrozi, dacă nu ar exista străpungerea, ar trebui să varieze sinusoidal după curba OPQRS (Fig. 6).

Dacă străpungerea are loc la o tensiune $U_S < U_{\max}$ (U_S depinzând de distanța dintre electrozi cât și de alți factori) atunci pe timpul unei perioade, tensiunea din secundar (de la bornele lui C sau I) urmărește curba continuă din fig. 6. Datorită prezenței bobinei L fiecare descărcare a condensatorului are un caracter oscilant cu perioada:

$$T = 2\pi\sqrt{LC},$$

T având în general valori de 10^{-5} s. O singură descărcare poartă numele de tren de oscilații. Durata întregului tren de oscilații este de aproximativ 10^{-4} s (Fig. 7). Oscilațiile se amortizează din cauza rezistenței din circuit iar o parte din energia curentului electric se consumă pentru încălzirea electrozilor.

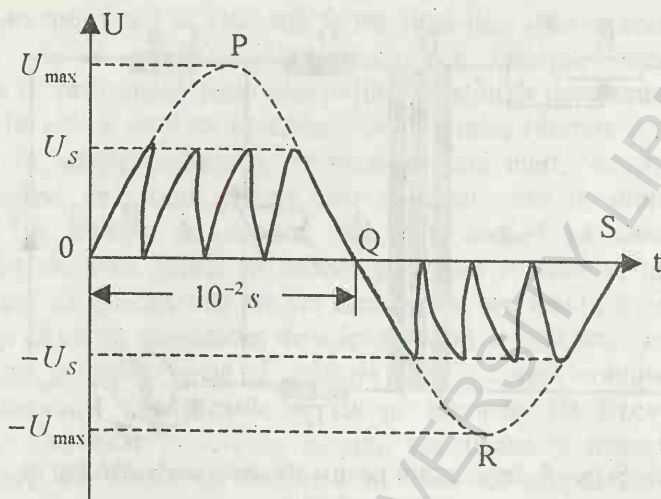


Fig. 6. Variația tensiunii de la bornele condensatorului C (sau dintre electrozi) în timpul descărcării.

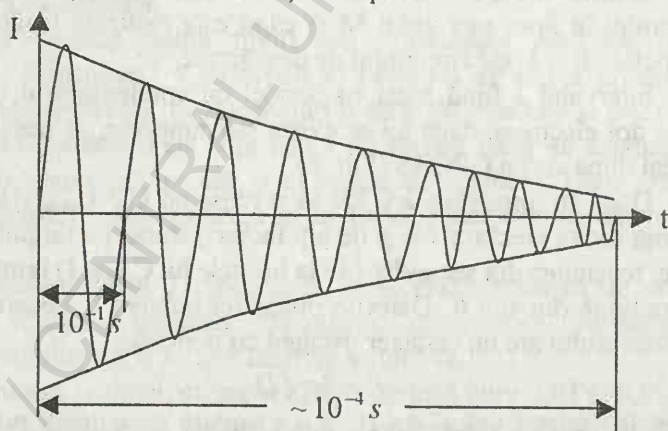


Fig. 7. Forma unui tren de oscilații.

După ce se termină trenul de oscilație condensatorul se încarcă din nou și începe un nou tren de oscilație. Cu cât e mai mare intervalul de descărcare, cu atât va fi nevoie de o tensiune mai mare pentru

străpungerea lui și cu atât mai puține trenuri de oscilații vor trece în timpul unei semiperioade a curentului alternativ. Pe de altă parte, o perioadă T mare a oscilațiilor impune o descărcare mai înceată a condensatorului, o amortizare mai mică a oscilațiilor, deci descărcarea durează mai mult. În acest caz numărul de trenuri de oscilații scade.

Procesul de descărcare, în cazul montajului analizat, se împarte în două stadii. Primul stadiu este cel de străpungere care durează între 10^{-7} – 10^{-8} s și este însoțit de luminescența gazelor din atmosferă. Stadiul al doilea îl reprezintă un arc de curent alternativ de înaltă frecvență și de tensiune joasă (intervalul de descărcare devenind “conductor”, tensiunea între electrozi va scădea). În acest stadiu se formează un canal conducător subțire, în care densitatea instantanee a curentului este foarte mare, ajungând până la $100\text{--}150\text{ A/mm}^2$. În locul atingerii canalului cu suprafața electrozilor, are loc o degajare de scurtă durată a unei cantități mari de energie termică, ceea ce duce la încălzirea bruscă și foarte rapidă a unei porțiuni mici de electrod. Procesul decurge atât de repede (între 10^{-5} – 10^{-6} s) încât căldura nu reușește să se disipeze în electrod și, practic, întreaga energie a descărcării electrice se degajă în locul atingerii canalului cu electrodul. Substanța electrodului este aruncată prin explozie în zona de descărcare. Aceste explozii se observă sub formă de jeturi de vapori luminescenți ai substanței, denumite flame sau făclii. În aceste flame se excită atomii proveniți din electrozi.

Intensitatea momentană I a curentului electric care străbate spațiul descărcării crește cu valoarea capacității C și cu tensiunea U aplicată la armăturile sale (pentru că odată cu ele crește cantitatea de electricitate acumulată în condensator) și scade proporțional cu perioada oscilațiilor ce apar în circuitul oscilant, adică cu \sqrt{LC} . Deci se poate scrie:

$$I \approx U \sqrt{\frac{C}{L}}.$$

Mărirea tensiunii și capacității va determina creșterea lui I (deci a temperaturii), ceea ce duce la intensificarea liniilor de scânteie, crescând de asemenea intensitatea spectrului aerului. Creșterea lui L va

duce la intensificarea liniilor de arc, scăzând și intensitatea liniilor aerului.

În schema analizată, fără motorul M, producerea descărcării este dependentă de distanța dintre electrozi și de starea suprafeței acestora. Acești parametri se modifică continuu ne putându-se asigura reproductibilitatea descărcării. Aceste neajunsuri sunt înlăturate prin intermediul descărcărilor comandate.

S-au imaginat mai multe scheme de comandă a descărcărilor, cea mai simplă și mai eficientă fiind aceea propusă de Feussner. Ea este realizată de un întrerupător mecanic adus în stare de rotație de un motor sincron. Viteza motorului are o astfel de valoare încât contactele mobile a, b se apropie de contactele fixe E, F (Fig. 5) în fiecare semiperioadă a curentului alternativ ce alimentează condensatorul și anume când tensiunea U atinge valoarea maximă, U_{\max} . În acest mod se asigură descărcarea condensatorului C la aceeași tensiune de încărcare, în fiecare semiperioadă. Astfel, fiecare trecere a curentului se face în aceleași condiții ceea ce asigură constanța emisiei spectrale a sursei.

VI.1.3. Surse de excitare cu laseri.

Laserii sunt utilizați de obicei pentru evaporarea probelor prin focalizarea radiației laserului în punctul necesar al probei. În funcție de energia și puterea laserului se evaporă $10^{-8} - 2 \cdot 10^{-6}$ g de substanță dintr-un crater cu diametrul de 20-200 μm . Excitarea se produce printr-o descărcare electrică prin plasma care se formează.

Instalația spectrală ce utilizează ca surse arc, scânteia sau laserul este asemănătoare cu cea prezentată în fig. 1 (fotometrul cu flăcără), în locul flăcării plasându-se sursa respectivă. Instalațiile mai vechi, care se mai întâlnesc prin unele laboratoare, folosesc înregistrarea fotografică a spectrului, în care caz rolul celor trei componente monocromator-fotomultiplicator-înregistraor este preluat de un spectrograf, cu prismă sau cu rețea de difracție.

În instalațiile mai noi, numite cuantometre, detectorii de radiații (fotodiode) sunt plasați exact în locul unde sunt focalizate liniile de

analiză ale elementelor de interes, ca element dispersiv și de focalizare utilizându-se o rețea de difracție curbată. Etalonarea instalației, pentru elementele ce urmează să fie analizate, fiind făcută de firma constructoare, concentrațiile din proba de analizat vor apare afișate pe ecranul aparatului, sau a calculatorului la care este cuplat.

VI.2. Principiile și metodele analizei spectrale de emisie atomică.

Analiza spectrală de emisie atomică se bazează pe următoarele două principii:

a) Fiecare element are un spectru caracteristic format dintr-o succesiune de linii spectrale de lungimi de undă bine determinate (care se găsesc în tabelele de linii spectrale). Acest principiu stă la baza analizei spectrale calitative.

b) Intensitatea fiecărei linii spectrale depinde de concentrația atomilor din proba de analizat după o lege bine determinată. Acest principiu sta la baza analizei spectrale cantitative.

În legătură cu primul principiu lucrurile sunt deja clare, cunoscute de la alte cursuri, de aceea vom face câteva considerații relative la al doilea principiu.

În cazul când se neglijează contribuția emisiei stimulate (neglijare permisă în cazul surselor spectrale obișnuite, ca cele discutate în paragraful anterior) și când nu se ține seama de fenomenele de autoabsorbție și ionizare, intensitatea liniei spectrale de frecvență ν_{ik} (fig. 8) se poate scrie astfel:

$$(1) \quad I_{ik} = N_i A_{ik} h\nu_{ik} = N_0 \frac{g_i}{g_0} e^{-\frac{E_i}{kT}} A_{ik} h\nu_{ik},$$

T fiind temperatura sursei de radiații.

Din relația de mai sus rezultă că cele mai intense linii sunt cele de rezonanță (indicate cu litera R) și care corespund tranziției de pe primul nivel excitat pe nivelul fundamental ($E_0 = 0$).

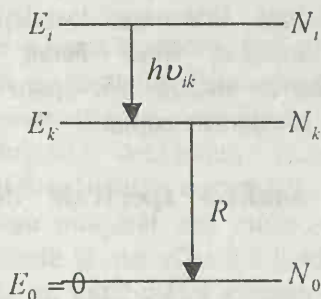


Fig. 8. Emisia liniei de rezonanță R și a unei linii oarecare ν_{ik} .

Deoarece metodele de analiză utilizând drept sursă spectrală arcul sau scânteia (și care se aplică în special probelor solide) diferă întrucâtva de cele ce utilizează flacăra (și care se aplică doar soluțiilor), le vom discuta separat, pe scurt.

VI.2.1. Considerații privind analiza probelor solide.

Dacă se ține seama de faptul că la temperaturile ridicate din sursele spectrale (mai ales din cele de scânteie) are loc și ionizarea unui anumit număr de atomi, atunci trebuie să avem în vedere faptul că concentrația atomilor excitați scade, ceea ce influențează intensitatea liniilor spectrale atomice. Numărul ionilor care se formează în descărcare, în condiții de echilibru termodinamic, este dat de relația:

$$N^* = \frac{N_0}{N_e} \frac{(2\pi m_0)^{3/2} (kT)^{5/2}}{h^3} e^{-\frac{eV}{kT}},$$

unde: N_e – concentrația electronilor, V – potențialul de ionizare al atomilor, N_0 – concentrația atomilor din plasmă.

Dacă se ține seama de gradul de ionizare x , definit ca raportul dintre numărul de ioni N^* și numărul total de atomi N_i , intensitatea unei linii spectrale în lipsa autoabsorbției va fi dată de relația:

$$I_{ik} = (1 - x) N_i \cdot A_{ik} h \nu_{ik}.$$

De aici rezultă că odată cu creșterea temperaturii sursei

intensitatea liniei spectrale la început crește (datorită creșterii lui N_i , pentru $x=0$), atinge un maxim pentru o anumită temperatură optimă, caracteristică fiecărui element, după care scade datorită creșterii gradului de ionizare x . Poziția maximului de intensitate, în scara (I,T), depinde de potențialul de excitare al liniei și de potențialul de ionizare al atomului respectiv. De exemplu liniile spectrale ale atomilor metalelor alcaline, a căror potențiale de excitare sunt de 1-2 eV, au intensitatea maximă la 3000-4000 K.

Luarea în considerare și a autoabsorbției complică lucrurile astfel că în final se obține o formulă destul de complicată, ce conține o serie de constante ce nu pot fi determinate.

Pe de altă parte, datorită proceselor care au loc la electrozi (în cazul probelor solide mai ales), în timpul descărcării compoziția vaporilor nu este identică cu compoziția probei. Procese ca: formarea unui strat de oxid, difuzia prin acest strat, volatilitatea diferită a elementelor sau a combinațiilor lor etc, complică legătura dintre N_0 și concentrația C a unui element din probă. În majoritatea cazurilor, după un timp (numit timp de prescânteie) se stabilește însă un regim regulat (echilibru dinamic), când între concentrațiile elementelor din plasma descărcării și din electrozi există o relație de proporționalitate.

Toate acestea ne arată că din punct de vedere teoretic nu se poate găsi o relație cantitativă dintre intensitatea liniilor spectrale și concentrație, se poate stabili doar o dependență calitativă (cu coeficienți nedeterminați).

Dependența intensității liniilor spectrale de concentrația C se poate exprima prin următoarea formulă empirică:

$$(2) \quad I = aC^b,$$

a și b fiind niște constante ce depind de o serie de factori, constanta „b” depinzând în primul rând de autoabsorbție, iar „a” în primul rând de temperatură.

Logaritmând expresia de mai sus se obține:

$$(3) \quad \lg I = b \lg C + \lg a,$$

dependența numită și “curba de creștere”.

Experiența arată că dependența (2) are forma din fig. 9. Această

alură a curbei se explică prin faptul că coeficientul b nu este constant (autoabsorbția nu este aceeași) ci variază cu concentrația C a elementului.

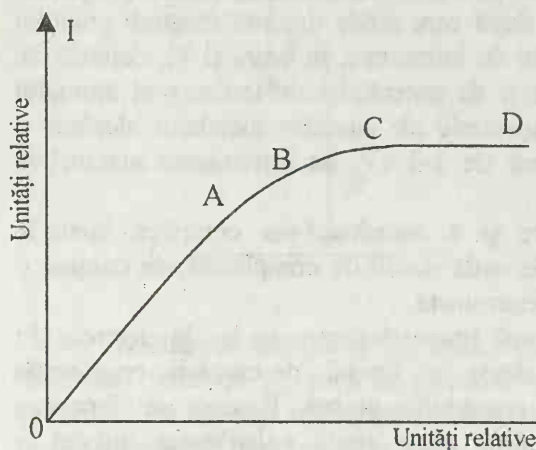


Fig. 9. Dependența intensității unei linii spectrale de concentrația atomilor din probă.

În cazul concentrațiilor mici $b=1$ (porțiunea OA a curbei), iar în cazul măririi lui C , b se micșorează până la anulare. Pentru porțiunea AB: $b=0,8$, pentru BC: $b=0,4$, iar pentru porțiunea CD: $b \approx 0$.

Autoabsorbția se manifestă cel mai puternic la liniile cu potențiale de excitare mici și mai ales la liniile de rezonanță, cele mai intense și mai sensibile; ele se mai numesc și linii ultime, deoarece dispar ultimele din spectru la scăderea concentrației elementului.

Pentru determinarea unui element, în cazul concentrațiilor mici ale acestuia, se alege de obicei o linie de rezonanță; totuși ea nu poate fi folosită la concentrații mai mari, deoarece intensitatea acestei linii încetează să mai depindă de concentrație. Liniile cu potențiale de excitare mai mari nu sunt bune pentru determinarea cantităților mici, deoarece pentru ele se obțin curbe de creștere bruște, datorită absenței autoabsorbției.

În concluzie, pentru fiecare interval de concentrație trebuie aleasă linia potrivită. De obicei intervalul în care se reușește să se folosească una și aceeași linie pentru determinări cantitative nu depășește variația concentrației de 100 ori.

Din cele spuse rezultă că graficul de mai sus nu poate fi obținut pe cale teoretică ci doar pe cale experimentală folosind etaloane cu diverse concentrații C , cunoscute, ale elementului ce urmează să fie determinat. Un astfel de grafic se numește grafic de etalonare. Acesta ne permite, în principiu, determinarea unei concentrații necunoscute. Graficul de etalonare se trasează fie în coordonatele (I , C), când concentrația C este foarte mică, fie în coordonatele ($\log I$, $\log C$), la concentrații mai mari.

Totuși, o serie de factori cum ar fi cei legați de procesele de evaporare a probelor, "jocul" luminii arcului sau scânteii pe suprafața electrozilor, mărimea și forma suprafeței electrozilor, mărimea intervalului dintre electrozi, oscilațiile în regimul electric al sursei, modificări a sensibilității receptorilor de radiații, fac aproape imposibilă reproducerea tuturor condițiilor în care se înregistrează spectrele etaloanelor și a probei de cercetat, perturbând deci dependența intensității liniei de concentrație.

Pentru a înlătura influența acestor factori se alege din probă un element al cărui conținut este invariabil, denumit standard intern. De exemplu, când se analizează conținutul de elemente dintr-o probă de oțel (un aliaj al fierului cu alte metale) ca standard intern se va alege Fe. Aceasta deoarece concentrația lui, de peste 90% în diversele probe de oțel, se poate considera constantă în raport cu celelalte elemente de aliare. Intensitatea liniilor standardului va suferi aceleași variații, din partea tuturor factorilor menționați mai sus, ca și intensitatea liniilor elementului supus determinării. Raportul, R , dintre intensitatea unei linii a elementului ce se determină și intensitatea unei linii a standardului va depinde numai de concentrația aceluia element.

Pe lângă factorii perturbatori pomeniți mai sus, care nu duc la modificări sensibile ale temperaturii arcului sau scânteii, pot interveni și alții care duc la modificarea acestei temperaturi, cum ar fi variațiile și oscilațiile accidentale în regimul electric al sursei. Pentru eliminarea și acestor variații se alege o pereche de linii cu potențialele de excitare egale sau apropiate. O astfel de pereche de linii poartă denumirea de pereche de linii omoloage sau pereche de linii analitice. Pentru o astfel de

pereche vom avea dependențe asemănătoare cu (2) sau (3) și anume:

$$R = aC^b, \quad \lg R = \lg a + b \lg C.$$

VI.2.2. Considerații privind analiza soluțiilor.

Analiza calitativă a soluțiilor se simplifică prin faptul că în flacără se excită un număr mic de linii ale elementelor prezente în probă, în principal a celor de rezonanță, identificarea acestor elemente fiind mai ușoară. În tabelul 1 se dau liniile de emisie cele mai importante utilizate în fotometria cu flacără, pentru elementele care se pot determina calitativ și cantitativ prin această metodă.

Tabelul 1. Liniile de emisie cele mai importante pentru elementele care se pot determina în fotometria de flacără.

Elementul	Lungimi de undă, în nm		
Ag	328,1	338,3	
Ba	553,6	744,0 (O)	873,0 (O)
B	452,0 (O)	548,0 (O)	345,0 (O)
Ca	422,7	554,0 (O)	622,0 (O)
Co	346,6 (M)	353,0	387,4
Cr	360,5	427,5 (M)	425,5
Cs	455,5	852,1	894,3
Cu	324,8	327,4	520,0 (O)
Fe	373,7 (M)	386,0 (M)	385,6 (M)
K	404,7 (D)	766,5 (D)	344,6 (D)
Li	670,8	460,3	323,3
Mg	285,2	371,0 (O)	383,0 (O)
Mn	403,3 (M)	543,3	279,5
Na	330,3 (D)	589,3 (D)	818,3 (D)
Ni	341,5 (M)	352,5 (M)	385,8 (M)
Pb	368,4	405,8	261,4 (D)

Tabel 1, continuare.

Rb.	420,2 (D)	780,0	794,8
Sn	460,7	821,0 (O)	407,8
Ti	377,6	535,0	276,8

S-a notat cu: (O) - benzile de emisie ale oxizilor, (M) - grupe de linii,
(D) - dublete de linii

Analiza cantitativă se poate face, în principiu, trasând câte o curbă de etalonare (intensitatea semnalului obținut pentru linia de emisie în funcție de concentrație) pentru fiecare element de interes din proba de cercetat, bine înțeles doar în cazul elementelor ce se pot excita în flacără.

În acest scop analistul are la dispoziție seturi de etaloane pentru diverse elemente, de concentrații precis determinate, în mod obișnuit de 1g/l, adică 1ml soluție etalon conține 1mg de element. Menținând exact aceleași condiții de lucru la fotometrul cu flacără ca și la trasarea curbelor de etalonare, concentrația necunoscută a unui element din probă s-ar putea determina cu ajutorul curbei de etalonare corespunzătoare.

Lucrurile nu sunt așa de simple cum par la prima vedere. Aceasta din cauza unui ansamblu de fenomene, numite interferențe, întâlnite atât în cazul probelor solide, dar care se manifestă mai pregnant în cazul analizelor probelor sub formă de soluții. Prin interferențe se înțelege totalitatea fenomenelor fizice și chimice care acționează asupra atomilor elementului care se determină, având ca rezultat o modificare a semnalului pe care aceștia l-ar da în lipsa lor.

Interferențele chimice constituie categoria cea mai importantă de interferențe. Orice reacție care duce la scăderea sau la creșterea numărului de atomi liberi constituie cauza unei interferențe chimice. Astfel de reacții se produc în flacără. Din acest motiv trasarea curbei de etalonare trebuie făcută în condiții identice cu acelea impuse de probă, respectiv în fiecare soluție etalon să existe toate elementele componente în probă. Dacă realizarea unor etaloane similare cu proba nu este posibilă, se pot aprecia interferențele prin compararea rezultatelor obținute cu proba cu acelea obținute prin metoda adaosurilor. În situația că nu există nici o interferență, între cele două rezultate nu trebui să apară

deosebiri semnificative.

Pentru a aprecia influența exercitată de un element străin asupra speciei ce se determină, se măsoară semnalul pentru o concentrație medie pe curba de etalonare și semnalul pentru aceeași concentrație după adăugarea unor cantități crescânde din elementul interferent.

Interferențele chimice pot să deranjeze foarte mult, în special când duc la scăderea semnalului analitic, întrucât afectează limita de detecție și nu permit determinarea concentrațiilor mici. În aceste cazuri se poate recurge fie la separarea elementelor ce dau interferențe, lucru de obicei laborios, fie la adăugarea unor substanțe chimice care blochează acțiunea elementului interferent. Un exemplu clasic îl constituie introducerea sărurilor de lantan în soluțiile în care se dozează calciu pentru a înlătura perturbarea produsă de SO_4^{2-} .

VI.2.3. Problemă practică de laborator. Determinarea calciului din apa potabilă prin metoda fotometriei în flacără.

Metoda se pretează cel mai bine pentru determinarea unor cantități mici de calciu (sub 1 ppm) din ape, în prezența unor cantități mari de sulfat, silice și bicarbonat, fără separări chimice prealabile.

Interferențele produse de silice și de ioni Na^+ , K^+ , Al^{3+} , SO_4^{2-} și PO_4^{3-} se elimină prin adăugarea unor săruri de magneziu. În același timp interferența ionului bicarbonic se elimină prin adăugarea de acid percloric. Interferența aluminiului, fierului și titanului se elimină prin precipitarea cu o soluție de $NH_4OH - NH_4Cl$. Interferența anionilor SO_4^{2-} , PO_4^{3-} și CO_3^{2-} se poate elimina cu ajutorul schimbătorului de ioni Dowex 2-X8.

Se recomandă ca fotometrările să fie efectuate pentru linia de rezonanță având $\lambda = 422,7nm$. Curbele de etalonare se vor construi utilizând soluția etalon standard ce conține 1g Ca la 1 l soluție.

Pentru a ști ce concentrații ale Ca avem nevoie pentru construirea curbei de etalonare se ia o cantitate foarte mică din soluția etalon-standard, de exemplu 1 ml și se dizolvă în 9 ml apă bidistilată. Se

compară semnalul obținut la fotometru în cazul acestei soluții, pentru linia $\lambda = 422,7nm$, cu semnalul dat de apa potabilă, la aceeași lungime de undă. Dacă între cele două semnale există diferențe mari se fac diluțiile corespunzătoare ale soluției etalon până se aduc cele două semnale la valori apropiate. În acest fel se poate stabili concentrația medie pentru construirea curbei de etalonare. Celelalte concentrații se recomandă să difere de concentrația medie cu aproximativ $\pm 10 mg/l$.

Pentru orientare dăm mai jos concentrația calciului, exprimată în carbonat de calciu, pentru diverse ape potabile:

- ape dulci: $C < 50 mg/l$.
- ape cu duritate slabă: $C \cong 100 - 150 mg/l$.
- ape cu duritate moderată: $C \cong 150 - 300 mg/l$.
- ape foarte dure: $C > 350 mg/l$.

În încheiere vrem să facem precizarea că necesarul de calciu pentru corpul omenesc este de aproximativ 1000 mg/zi. În afară de consumul de produse lactate, cantitatea de calciu necesară organismului provine din apa potabilă.

Cap. VII. Analiza spectrală utilizând absorbția și fluorescența atomică (ASAA și ASFA).

Deoarece în prezent cele două tipuri de analize spectrale se efectuează cu același aparat spectral (numit Spectrofotometru de absorbție și fluorescență atomică) vom analiza aceste metode în paralel.

VII.1. Principiile metodelor ASAA și ASFA.

Fie o „cuvă” M de grosime l , „umplută” cu atomi liberi aflați în starea fundamentală E_0 (de obicei o flacără sau un cuptor electric): fig.1 a). Fie I_0^ν intensitatea radiațiilor excitatoare, I^ν a celor emergente și I_F^ν a celor de fluorescență, frecvența ν corespunzând tranziției de rezonanță $E_0 \rightarrow E_1$ (Fig.1 b).

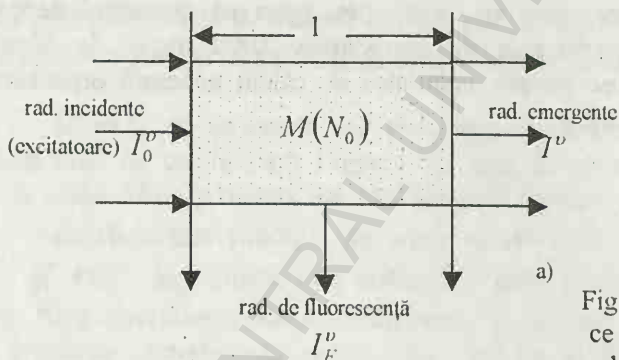
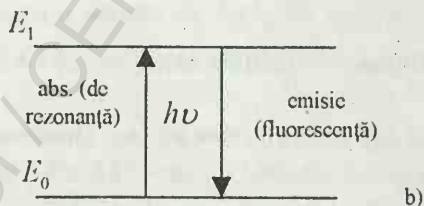


Fig. 1. Sistem atomic ce absoarbe și emite radiația de rezonanță.



Să considerăm că în cuvă se află N_0 atomi, presupuși a fi toți în starea fundamentală, aceasta deoarece la temperaturile ce se realizează într-o flacără popularea termică a nivelului E_1 , cât și a celor superioare, se poate neglija.

VII.1.1. Principiul metodei ASAA.

Intensitatea radiațiilor emergente din cuvă va fi dată de legea Lambert:

$$(1) \quad I^{\nu} = I_0^{\nu} e^{-k_{\nu} l},$$

k_{ν} fiind coeficientul de absorbție al mediului format din atomii respectivi. Mărimea $\frac{I^{\nu}}{I_0^{\nu}} = T^{\nu}$ se numește transmitanță iar:

$$(2) \quad \lg \frac{I_0^{\nu}}{I^{\nu}} = k_{\nu} l \lg e = E^{\nu},$$

se numește extincție (uneori se utilizează denumirea de absorbanță sau densitate optică).

De obicei I^{ν} , I_0^{ν} , T^{ν} și E^{ν} se scriu fără ν deasupra, subînțelegându-se că aceste mărimi depind de fapt de frecvența ν .

Radiația excitatoare de frecvență ν poate fi obținută fie cu o sursă spectrală conținând aceeași atomi ca și cei din "cuvă" (adică cu o sursă cu spectru de linii, de exemplu o lampă cu vapori de Na, în cazul când în M se află atomi de Na), fie cu o sursă având un spectru continuu în combinație cu un monocromator.

În ambele cazuri trebuie să se țină seama că linia excitatoare are un anumit profil, adică o anumită lărgime $\Delta \nu$ (denumire dată de fapt pentru semilărgimea liniei); fig. 2 a). În cazul utilizării unei surse cu spectru de linii (surse atomice) această lărgime este determinată în principal de lărgimea Doppler alături, bineînțeles, de lărgimea naturală. În cazul utilizării unei surse cu spectru continuu, $\Delta \nu$ depinde de lărgimea fantelor monocromatorului cât și de frecvența ν , când monocromatorul este cu prismă. În această situație $\Delta \nu$ poartă denumirea de lărgime a benzii transmise de monocromator (sau a benzii de trecere a monocromatorului).

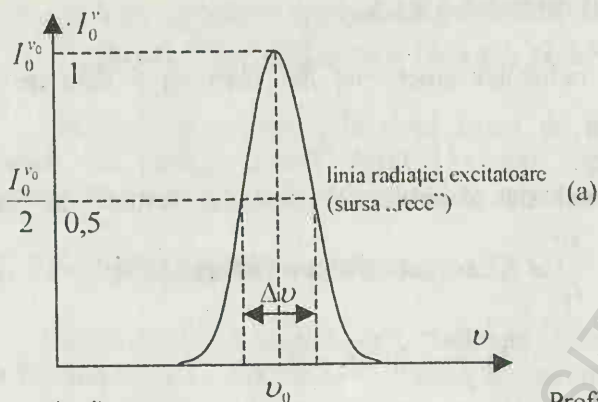
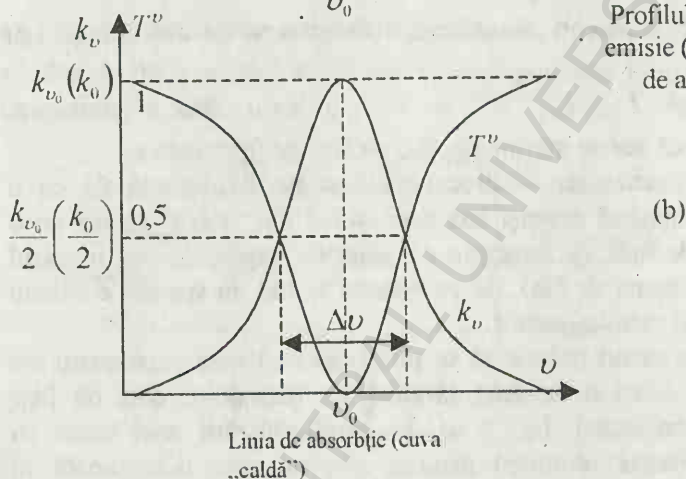


Fig. 2.
Profilul unei „linii” de
emisie (a) și a unei linii
de absorbție (b).



Profilul liniei de absorbție atomică (dependența de ν a lui k_ν , E sau a lui T) este datorat aceluiași cauze ca și profilul liniei de emisie atomice. Având în vedere faptul că temperatura ce se realizează în sursele spectrale atomice utilizate în ASAA și ASFA (vezi mai jos) este mult mai mică decât în cuva M, linia de absorbție va avea o lărgime $\Delta\nu$ mai mare decât cea de emisie (fig. 2 b).

Mărimea $\int_0^\infty k_\nu d\nu$, egală cu aria mărginită de conturul liniei, poartă denumirea de coeficient de absorbție integrală. Teoria arată că,

independent de procesele care determină conturul liniei de absorbție, atât coeficientul de absorbție integrală cât și coeficientul de absorbție k_0 „la centrul liniei” depind direct proporțional cu numărul N_0 a atomilor absorbanți, cele două mărimi fiind exprimate prin relațiile:

$$(3) \quad \int_0^{\infty} k_{\nu} d\nu = \frac{\pi e^2}{m_0 c} N_0 f,$$

$$(4) \quad k_0 = \frac{b}{\Delta\nu} \frac{\pi e^2}{m_0 c} N_0 f,$$

unde e și m_0 sunt respectiv sarcina și masa electronului, c viteza luminii în vid, iar f reprezintă tăria oscilatorului armonic pentru frecvența respectivă, $\Delta\nu$ este semilărgimea liniei spectrale de absorbție iar b este un coeficient constant pentru toate liniile spectrale ale aceluiași element în condițiile experimentale date.

Tăria oscilatorului armonic reprezintă numărul mediu de electroni per atom care pot fi excitați cu o radiație de frecvență ν . Pentru metalele din grupele I și II f este cuprins între 0,7 și 1, iar pentru liniile mai înfese ale celorlalte elemente f are valori între 0,4 și 0,5.

Relațiile de mai sus stau la baza a două metode de ASAA: una bazată pe măsurarea absorbției integrale $\int_0^{\infty} k_{\nu} d\nu$, alta bazată pe măsurarea coeficientului de absorbție k_0 la centrul liniei de absorbție.

Pentru aplicarea primei metode avem nevoie de o sursă ce emite un spectru continuu și de un monocromator de mare putere de rezoluție astfel încât $\Delta\nu$ (sau $\Delta\lambda$) pentru radiația excitatoare să fie mult mai mic decât $\Delta\nu$ (sau $\Delta\lambda$) a liniei de absorbție. Teoria arată că în condițiile create în mod curent pentru transformarea substanței în stare de vapori atomici și anume temperaturi de 2000-4000°C și presiuni de o atmosferă sau mai mici, $\Delta\lambda \approx 0,01 \text{ \AA}$. Astfel, de exemplu, dacă linia utilizată la măsurători are $\lambda = 5000 \text{ \AA}$, pentru trasarea precisă a conturului liniei trebuie să utilizăm un aparat cu puterea de separație $\frac{\lambda}{\Delta\lambda} \approx 500.000$, adică un monocromator

cu mare putere de rezoluție. Astfel de monocromatoare performante, dar și ieftine în același timp, au apărut doar de câțiva ani. Din acest motiv ASAA s-a bazat la început pe cea de-a doua metodă, ce nu necesită

utilizarea unui monocromator de mare putere de rezoluție, în cazul când în calitate de sursă de radiații se folosesc lămpi spectrale capabile să emită radiații monocromatice înguste. Aceste cerințe sunt îndeplinite de lămpile spectrale cu catod cavitărilor, ce vor fi descrise în paragraful următor. Ceea ce se cere de la monocromator în această a doua metodă este doar capacitatea lui de a separa linia de rezonanță, aleasă în calitate de linie analitică, de alte radiații prezente în spectrul sursei de radiații (un număr relativ mic de linii). O situație asemănătoare întâlnim în cazul filtrelor pentru liniile mercurului.

Principiul măsurării lui k_0 (de fapt a unei mărimi proporționale cu extincția E^{V_0}) este ilustrat în fig. 3, unde A este conturul liniei spectrale de absorbție, B - conturul liniei de emisie al lămpii spectrale, Tr - banda de trecere a monocromatorului, D_1, \dots, D_6 - contururile unor linii sau benzi spectrale prezente în spectrul de emisie al lămpii.

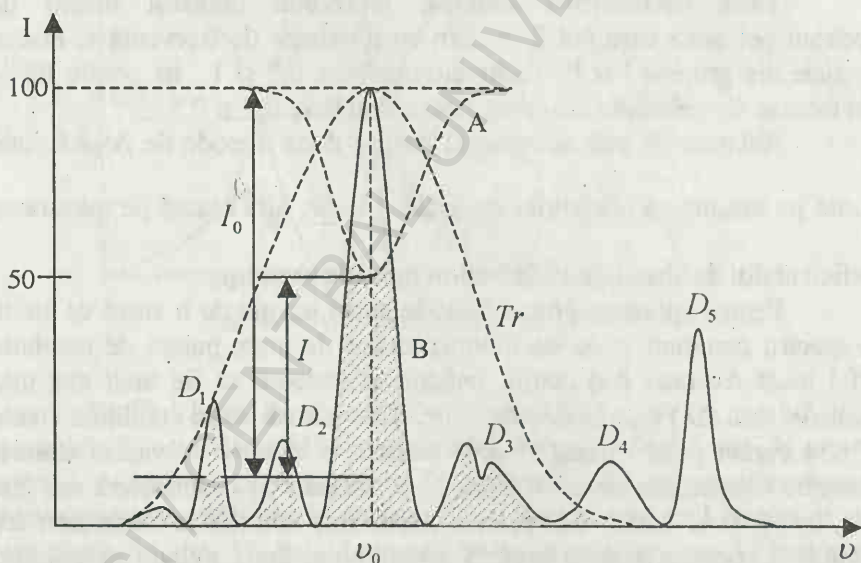


Fig. 3. Principiul măsurării absorbției în centrul liniei de emisie.

Dacă monocromatorul se fixează pe frecvența ν_0 , corespunzătoare centrului liniei de emisie a unei anumite specii de atomi,

pentru aceasta se va obține semnalul maxim (curba B). În cazul când această radiație este absorbită de atomi de aceeași specie, linia de absorbție A (având maximul tot la ν_0) se va „suprapune” pentru linia B ca în figură. Raportul „intensităților” benzilor B și A va fi egal, desigur, cu raportul dintre numărul de atomi ce emit linia ν_0 și numărul de atomi ce o absorb. Extincția măsurată în centrul liniei, $E_c^{\nu_0}$, o mărime proporțională cu E^{ν_0} , este de fapt logaritmul raportului dintre doi termeni - unul dat de suma intensităților tuturor liniilor din interiorul benzii de trecere a monocromatorului (banda Tr) și alt termen mai mic decât primul cu aria „scoasă” din linia B în urma absorbției (zona ne hașurată a liniei B).

Natural că a doua metodă se poate utiliza și în cazul când se folosește o sursă cu spectru continuu cu condiția ca $\Delta\nu$ a benzii transmise de monocromator să fie mai mică decât lărgimea benzii de absorbție.

Se arată că sensibilitatea unei măsurători de absorbție atomică ce utilizează a doua metodă este condiționată de raportul dintre lărgimea liniei de absorbție și lărgimea liniei radiației excitatoare. Sensibilitatea este cu atât mai bună cu cât acest raport este mai mic. Practic se consideră potrivit un raport mai mic de 1/3.

Dacă ținem seama că $E_c^{\nu_0} \sim E^{\nu_0}$ și că N_0 , numărul de atomi absorbanți ai unui anumit element prezenți în „cuva” cu atomi, este proporțional cu concentrația acelui element din proba de analizat, adică $N_0 \sim C$, din relațiile (2) și (4) se obține:

$$(5) \quad E_c^{\nu_0} \sim E^{\nu} = k_0 / \lg e \sim \frac{b\pi^2 f}{\Delta\nu m_0 c} N_0 \sim \frac{b\pi^2 f}{\Delta\nu m_0 c} C.$$

Deoarece în relația care leagă extincția E de concentrația C intervin mărimi care nu pot fi determinate suficient de simplu și precis rezultă că pe baza acestei relații nu se pot face determinări absolute de concentrații (fără etaloane). De aceea sunt necesare seturi de etaloane de concentrații cunoscute, pentru fiecare element de determinat.

Conform formulei (5) există o relație de directă proporționalitate între extincția E măsurată „în centrul liniei” și concentrația C. Experiența arată însă că legătura liniară dintre E și C se păstrează pentru valori ale lui E ce nu depășesc 0,3-0,5 (fig. 4).

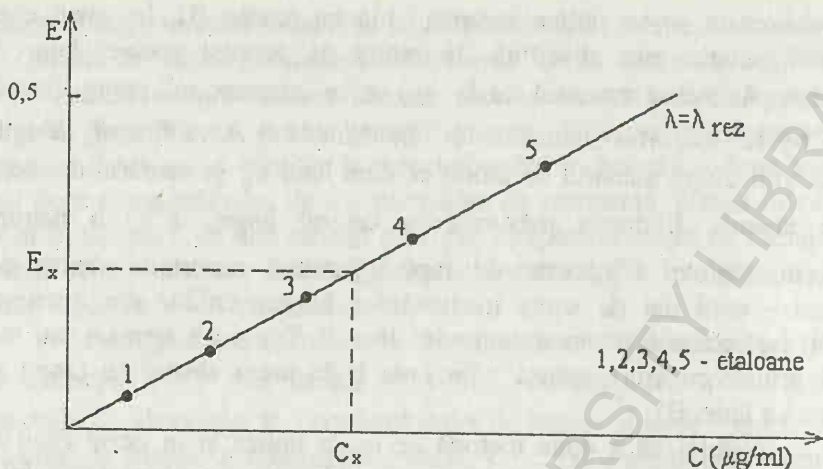


Fig. 4. Forma curbei de etalonare pentru domeniile de concentrație pentru care $E \in (0,3-0,4)$.

Deci dacă, pentru setul de etaloane avut la dispoziție, se trasează o dependență ca în figura 4, concentrația cunoscută C_x se va scoate direct din grafic, măsurând în prealabil extincția E_x .

Se recomandă ca setul de etaloane să fie astfel ales încât concentrația C_x să fie situată în domeniul de concentrație al etaloanelor (între concentrațiile C_1 și C_5). Pentru a se respecta și condiția recomandată pentru E, adică $0,3 < E < 0,5$, soluția probei necunoscute se poate dilua sau concentra într-un raport cunoscut.

Cea mai indicată linie spectrală pentru măsurători va fi desigur cea de rezonanță, ea fiind cea mai intensă linie emisă de atomii probei.

VII.1.2. Principiul metodei ASFA.

Teoria arată că și între intensitatea I_F^ν a radiațiilor de fluorescență și concentrația C a atomilor din "cuvă" (și din probă) există, pentru anumite intervale de concentrații, o relație de directă proporționalitate. Relația teoretică este însă foarte complicată deoarece pentru calculul lui I_F^ν trebuie să se țină seama atât de profilurile liniei

excitatoare și de absorbție cât și de fenomenul de autoabsorbție din cuvă.

În unele situații este util calculul intensității ideale a fluorescenței atomice, făcându-se următoarele presupuneri:

a) o anumită tranziție de fluorescență pe care o luăm în considerare este excitată prin absorbție de radiații „monocromatice” (linia spectrală),

b) toată celula de fluorescență este în interiorul unghiului solid văzut de detector, adică fluorescența este captată de la toți atomii excitați de radiația incidentă,

c) radiația de fluorescență nu este pierdută prin reabsorbție în celulă.

În aceste condiții intensitatea integrală a fluorescenței (a unei anumite linii, de obicei linia de rezonanță, pentru tot conturul ei), în direcție normală la radiația excitatoare, va fi:

$$(6) \quad I_F = I_0 W \frac{\Omega}{4\pi} A_T \phi_F,$$

unde : I_0 este intensitatea radiațiilor excitatoare, pentru toată lărgimea liniei respective (a liniei de emisie a sursei):

$$I_0 = \int_{\text{linie de emisie}} I_0^\nu d\nu,$$

- W este lărgimea fasciculului de radiații excitatoare (vezi fig. 5),
- Ω este unghiul solid din care este captată și măsurată radiația de fluorescență,
- A_T este factorul de absorbție totală pentru linia spectrală ce excită fluorescența:

$$A_T = \frac{\int_{\text{linie de abs}} (I_0^\nu - I_0^\nu e^{-k_\nu \ell}) d\nu}{I_0},$$

- ϕ_F reprezintă randamentul cuantic al fluorescenței, definit ca raportul dintre numărul de fotoni emiși și numărul de fotoni absorbiți de atomii cuvei (sau numărul mediu de fotoni emiși ce revin unui atom în cazul când acesta a absorbit un foton din radiația excitatoare) – această mărime este caracteristică atomilor de o anumită specie.

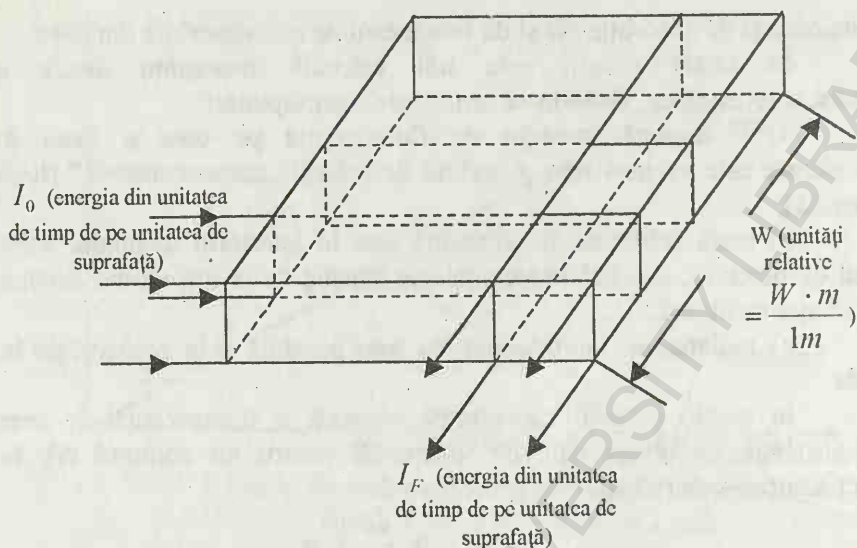


Fig. 5. Explicarea faptului că $I_F \sim W$ (W = lățimea fascicului de radiații excitatoare, exprimată în unități relative).

Calculul lui A_T se face pentru două situații limită și anume când linia radiației excitatoare este mai largă decât linia de absorbție (situație întâlnită când sursa de radiații excitatoare emite un spectru continuu sau o linie foarte lătită prin fenomenul de autoabsorbție și când bineînțeles, nu se utilizează un monocromator de mare putere de rezoluție) și a doua situație, când linia excitatoare este mai îngustă decât linia de absorbție.

Curbele analitice prezise de ecuația (6) sunt date, pentru cele două cazuri, în fig.6.

Se observă că pentru fiecare din cele două cazuri curba analitică are două porțiuni liniare – una pentru concentrații mici și alta pentru concentrații mari.

Relația (6) poate fi aplicată în următoarele două cazuri:

a) Când reabsorbția radiației de fluorescență este neglijabilă, adică la concentrații foarte mici ale atomilor,

b) La orice concentrație, pentru fluorescența directă și uneori pentru alte tipuri de fluorescență nerezonantă, când nivelul inferior al tranziției de fluorescență este îndeajuns de sus față de nivelul fundamental, pentru

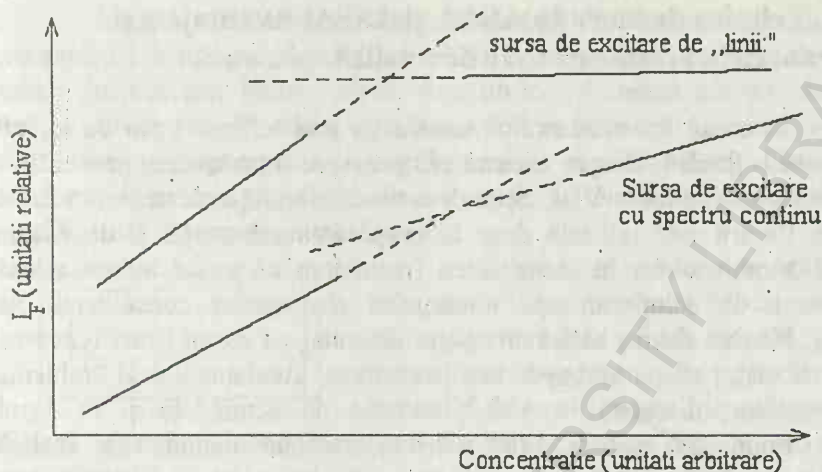


Fig. 6. Curbe analitice (de etalonare).

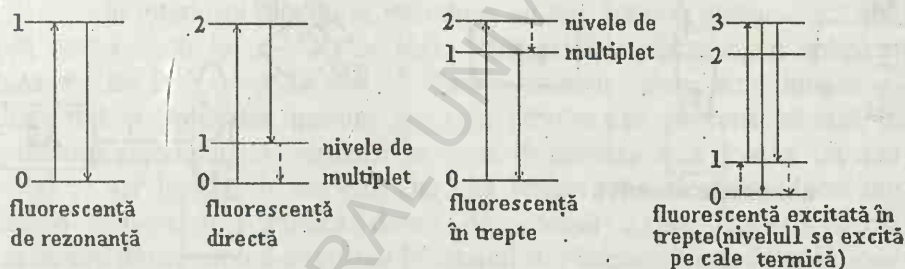


Fig. 7. Tipuri de fluorescență atomică. Indicele 0 se referă la starea fundamentală iar indicii 1, 2, 3, la stările excitate.

ca populația lui de echilibru să fie mică.

Tipurile posibile de fluorescență atomică sunt prezentate în diagramele din fig. 7. Liniile punctate reprezintă tranzițiile neradiative.

Măsurătorile în ASFA sunt mai simple de efectuat decât în ASAA deoarece ele se reduc doar la determinarea intensității I_F a liniei de fluorescență, de obicei o linie de rezonanță. Și în cazul ASFA trebuie utilizate o serie de etaloane de concentrații cunoscute cu ajutorul cărora se trasează o curbă de etalonare. În cazul acesta I_F se va măsura în unități relative (număr de diviziuni la instrumentul detectorului de radiații) căci măsurarea lui I_F în unități absolute (W/m^2) este foarte dificilă.

VII.2. Tehnica de lucru în ASAA și ASFA. Avantajele și dezavantajele acestor metode de analiză spectrală.

În cazul spectrometrelor uzuale (și mai ieftine) cuva cu atomii liberi este o flacără. Despre aceasta cât și despre introducerea probei într-o flacără s-a discutat în VI.1. Spre deosebire de situația de acolo, în cazul de față flacăra este utilizată doar la evaporarea substanței și disocierea termică a moleculelor în atomi liberi (reamintim că proba trebuie adusă sub formă de soluție în apă a sărurilor elementelor constitutive ale probei). Flacăra devine astfel un spațiu delimitat, cu atomi liberi (cuvă cu atomi liberi), aflați aproape toți în starea fundamentală. Problema interferențelor, discutată în V.2.2, rămâne de actualitate și în cazul acestor tipuri de analize. Principiile celor două metode de analiză spectrală rezultă din fig. 8.

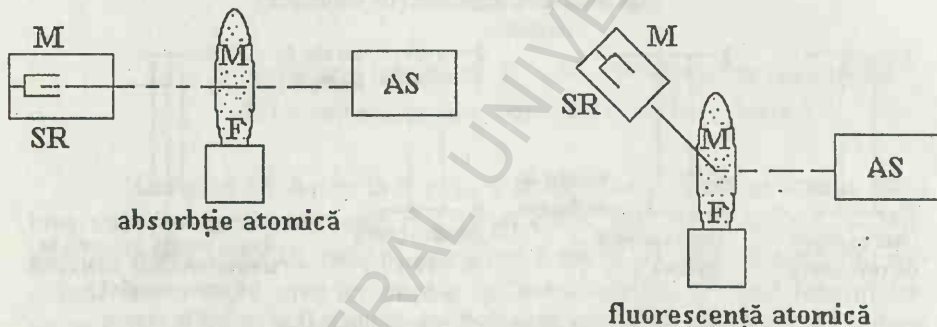
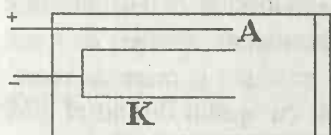


Fig. 8. Principiile metodelor ASAA și ASFA.

- SR = sursă de radiații (lampă cu catod cavită) ce emite radiații provenite de la o anumită specie de atomi M, aceeași pe care vrem să o punem în evidență în flacără, adică în probă.
- AS = aparat spectral – un ansamblu format din monocromator, detector, amplificator și înregistrator.

Sursa de radiații utilizată în ASFA trebuie să fie mai intensă decât cea de la ASAA deoarece trebuie să se excite un număr cât mai mare de atomi astfel încât radiația de fluorescență emisă să poată fi detectată. Din acest motiv spectrometrele de absorbție și fluorescență atomică sunt prevăzute cu două seturi de lămpi – un set pentru ASAA și altul pentru ASFA.

Lampa cu catod cavitat (alimentată în curent continuu) are avantajul că este ușor de realizat și alimentat, având deci costul relativ scăzut. În plus este foarte stabilă. Această lampă constă din doi electrozi închiși într-un tub de sticlă, aceasta având o fereastră de cuarț sau din sticlă pirex (transparentă la radiațiile vizibile și ultraviolete). Catodul K are forma unui mic tub închis la un capăt, iar anodul A constă dintr-o simplă sârmă uneori cu un inel la capăt:



Catodul se confecționează (când este posibil) din elementul M, ce urmează să fie determinat în probă. În cazul că din respectivul element nu se poate prelucra un astfel de catod, atunci se utilizează un

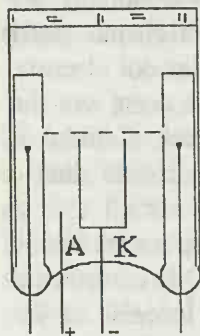
aliaj al acestuia. Uneori elementul de determinat se depune sub forma unei căptușeli în interiorul unui catod fabricat dintr-un material adecvat. Pentru anod se utilizează sârme din wolfram sau nichel.

În interiorul tubului se introduce un gaz nobil la presiune scăzută (de obicei neon la $p \sim 1-2$ mm Hg). Între cei doi electrozi se aplică o tensiune de 200 până la 500 V. Pentru anumite relații între lungimea, diametrul și presiunea gazului din tub, descărcarea se concentrează în interiorul catodului (cilindrului). În urma descărcării apar ioni ai gazului nobil ce vor bombarda catodul. Datorită vitezei mari ale acestor ioni are loc o pulverizare catodică destul de intensă a acestuia. Ciocnirile ulterioare dintre atomii expulzați în spațiul din interiorul catodului și ioni ce se îndreaptă spre acesta vor da naștere la atomii M excitați, care vor emite radiații caracteristice.

Deoarece presiunea dintr-o lampă cu catod cavitat este foarte mică, lărgimea liniilor spectrale este determinată în întregime de efectul Doppler, temperatura din lampă fiind practic egală cu temperatura camerei. În cazul când este nevoie să se obțină linii foarte înguste catodul cavitat se răcește cu azot lichid.

Lampa descrisă mai sus este folosită de obicei în ASAA, intensitatea radiațiilor ce se obțin cu ajutorul ei ne fiind suficientă pentru ASFA.

Pentru mărirea intensității lămpii prezentate mai sus se utilizează electrozi auxiliari, ca în exemplul din figura de mai jos.



Cei doi electrozi auxiliari sunt dispuși în interiorul unor tuburi de sticlă care au câte o deschidere situată la câțiva mm deasupra catodului. Cei doi electrozi sunt acoperiți cu un material ce emite ușor electroni. La trecerea curentului între anod și catod se formează în fața acestuia din urmă un nor de vapori atomici. În acest moment se declanșează o a doua descărcare, la o tensiune mai scăzută, dar de mare intensitate, între cei doi electrozi auxiliari. Aceasta produce o mare densitate de electroni ce se vor ciocni cu atomii din norul aflat în fața catodului. Energia furnizată de descărcarea auxiliară duce la o importantă creștere a intensității liniilor atomice (de precizat că descărcarea primară se efectuează la circa 2-20 mA, pe când descărcarea secundară la 100-300 mA).

Aparatul spectral AS nu trebuie să înregistreze și radiațiile emise de flacără, care pot fi datorate fie unor molecule sau ioni proveniți din carburant, combustibil sau din combinarea acestora, fie speciilor M excitate termic (în special atomii ai unor elemente cu potențial de excitare mic). Prezența acestor radiații “parazite” ar duce la o neliniaritate a curbelor analitice.

Această dificultate se poate înlătura printr-un procedeu de amplificare selectivă propus de A. Walsh, unul dintre întemeietorii ASAA. În acest scop fasciculul de radiații emis de sursa spectrală se modulează în amplitudine cu o anumită frecvență, cu ajutorul unui dispozitiv de modulare mecanic, electric sau optic. Mai nou se utilizează un întrerupător în circuitul de alimentare al lămpii cu catod cavitărilor. După trecerea prin monocromatorul aparatului spectral, fasciculul luminos ajunge pe fotoreceptor, de exemplu catodul fotomultiplicatorului, iar curentul fotoelectric dat de acesta este amplificat cu ajutorul unui amplificator selectiv cu bandă de trecere îngustă, acordat pe frecvența de modulare, apoi este detectat și măsurat. În aceste condiții radiația emisă de flacără, ne fiind modulată, determină un curent fotoelectric continuu care nu este amplificat de către amplificatorul selectiv și astfel este eliminată în mod automat.

Radiația flăcării fiind eliminată măsurătorile de extincție se fac

în felul următor: se fixează la aparatul spectral linia analitică ce urmează să fie înregistrată, de obicei o linie de rezonanță a speciilor M. Se pulverizează în flacără apă distilată (solventul) și se fixează extincția la valoarea zero (corespunzătoare intensității I_0 a radiațiilor incidente pe cuvă).

Se pulverizează apoi soluția în apă distilată a sării elementului M și se citește valoarea extincției în acest caz (corespunzătoare intensității I a radiațiilor ce ies din cuvă; trebuie de precizat că aparatul spectral posedă un circuit electronic ce permite determinarea și afișarea

$$\text{extincției: } E = \log \frac{I_0}{I} = \log I_0 - \log I).$$

În cazul fluorescenței atomice măsurătorile se fac mai simplu deoarece trebuie determinate doar intensități (în unități relative).

Avantajele ASAA sunt următoarele:

a) Variația temperaturii sistemului în care se produc vaporii atomici (flacără sau alte sisteme) nu are un efect însemnat asupra rezultatelor analizei spectrale, cum se întâmplă în cazul emisiei atomice. Aceasta deoarece în ASAA se măsoară absorbția radiațiilor de rezonanță, produse de către atomii din starea fundamentală și a căror concentrație nu variază practic cu temperatura, când aceasta variază în limite suficient de largi.

b) Deoarece se măsoară absorbția radiațiilor de rezonanță de către atomii din starea fundamentală, puternic populată, sensibilitatea metodei pentru determinarea elementelor greu excitabile este aproape la fel de mare ca sensibilitatea ei pentru elementele ușor excitabile.

c) Datorită fineții liniilor spectrale și a fondului continuu foarte slab în radiația emisă de către lămpile folosite în ASAA se asigură o selectare bună a liniilor de rezonanță analitice, chiar cu ajutorul unor aparate spectrale cu o putere de rezoluție relativ mică.

d) În timp ce în spectroscopia de emisie atomică intensitatea radiațiilor nu poate fi mărită mult prin extinderea dimensiunilor sursei de radiații, datorită intensificării fenomenului de autoabsorbție (care duce și la lărgirea liniilor, pe lângă micșorarea intensității în centrul lor), pentru ASAA sensibilitatea măsurătorilor crește proporțional cu lungimea drumului parcurs de fasciculul de radiații prin mediul absorbant. Ținând seama de aceasta, la unele tipuri de spectrometre de absorbție atomică se

utilizează un sistem de oglinzi pentru ca radiația excitatoare să traverseze de mai multe ori flacăra.

e) Utilizarea probelor sub formă lichidă înlătură fenomenul de distilare fracționată care complică mult analiza spectrală prin emisie atomică, introducând erori importante.

Dezavantajele ASAA, în cazul majorității aparatelor existente, sunt următoarele:

a) Pentru fiecare element de analizat este necesară o sursă spectrală construită pentru acel element.

b) Metoda nu poate fi utilizată pentru determinarea unor elemente care au liniile de rezonanță în domeniul spectral sub 2000 Å, ele fiind puternic absorbite în flacăra și aer.

c) Analiza probelor solide nu se poate efectua de obicei decât după dezagregarea și aducerea lor sub formă de soluții.

O serie de avantaje ale ASAA rămân valabile și în cazul ASFA (a, b, d și e). Pe lângă acestea ASFA mai prezintă următoarele avantaje:

a) Sensibilitatea măsurătorilor crește cu creșterea intensității sursei utilizate la excitație.

b) Pot fi folosite și surse de lumină cu spectru continuu sau cu linii destul de largi, fără o scădere pronunțată a sensibilității ca în cazul ASAA.

c) Aparatura utilizată nu este prea complicată, deci nu prea costisitoare.

Dezavantajele ASFA sunt cam aceleași ca și în cazul ASAA.

Dezavantajul a) a fost parțial înlăturat în ultimul timp prin construirea unor lămpi spectrale al căror catod este confecționat dintr-un aliaj al mai multor elemente (cel mult trei), alese în așa fel încât să nu existe "interferențe" între ele: liniile analitice să nu fie foarte apropiate, prezența unui element să nu modifice graficul de etalonare pentru celălalt element etc.

Dezavantajul c) este înlăturat în prezent prin înlocuirea flăcării cu un cuptor de grafit având temperatura strict controlată (și care este foarte scump) iar dezavantajul a) se prevede să fie înlăturat în viitorul apropiat prin utilizarea unor monocromatoare de mare putere de rezoluție, în care caz este suficientă o singură sursă de radiații și anume o sursă ce emite un spectru continuu (de exemplu o lampă cu Xenon).

VI.3. Probleme practice de laborator. Determinarea metalelor în materialele biologice.

a) Determinări de metale în serul sanguin.

Calciu, magneziu, potasiu, sodiu.

Conținutul normal al acestor metale în ser este cuprins între următoarele valori: calciu 9,0-11,0 mg% (4,5-5,5 mEq/l); magneziu 1,8-3,1 mg% (1,5-2,5 mEq/l); sodiu 310-356 mg% (135-155 mEq/l) și potasiu 14,4-22,4 mg% (3,6-5,6 mEq/l). Pentru determinări de calciu, magneziu și potasiu serul se diluează în raport de 1:20 cu o soluție de clorură sau azotat de lantan. Pentru determinarea sodiului serul se diluează numai cu apă distilată în raport de 1:50. Etaloanele se fac cu apă distilată.

Fier. Conținutul fierului în ser variază între 50 $\mu\text{g}\%$ (0,5 ppm) și 150 $\mu\text{g}\%$ (1,5 ppm). În pregătirea probei se precipită proteinele cu acid tricloracetic. Într-o eprubetă de centrifugă se introduce 1 ml de probă care se tratează cu 1 ml soluție 20% de acid tricloracetic și se ține pe o baie de apă la 90°C timp de 15 minute. Se centrifughează și lichidul limpede de deasupra se poate fotometra. În vederea preparării etaloanelor trebuie avut în grijă că diluarea să se facă tot cu soluție de acid tricloracetic.

Litiu. Acest element se dozează în intervalul 0,5-1 mEq/l, fiind suficientă diluarea probei în proporție de 1:9 cu apă distilată.

Cupru și zinc. se găsesc în ser în concentrație de 70-140 $\mu\text{g}\%$ (0,7-1,4 ppm) cupru și 50-120 $\mu\text{g}\%$ (0,5-1,2 ppm) zinc. Pregătirea probei de ser în vederea determinării este foarte simplă și constă în diluarea cu apă distilată în proporție de 1:1 pentru cupru și 1:4 pentru zinc. Etaloanele se separă plecând de la o soluție de 500 ppm cupru, respectiv zinc, care se diluează cu o soluție de glicerol 10% în apă distilată.

Clorul poate fi dozat indirect prin precipitare cu azotat de argint urmată de determinarea excesului de argint. Conținutul normal de clor în ser este cuprins în intervalul 340-390 $\mu\text{g}\%$ (95-110 mEq/l).

Soluțiile etalon se prepară pornind de la o soluție de bază de 1000 mEqCl/l (5,845 g NaCl la 100 ml apă distilată) și o soluție de azotat de argint obținută din 1,000 g azotat de argint dizolvat în apă,

tratat cu 30 ml acid azotic și adus la 1 litru. Din soluția de clorură se prepară un șir de soluții diluate de 90, 100, 110 și 120 mEq/l. O cantitate de 0,5 ml ser se tratează cu 10 ml de soluție de azotat de argint după care se agită și se centrifughează. În lichidul de deasupra se fotometrează argintul, în condițiile de lucru indicate pentru aceasta. Etaloanele se prelucreză în același mod ca și proba.

c) Determinări de metale în urină.

Calciul, magneziul, potasiul și sodiul pot fi determinate fără o prelucrare prealabilă a probei, în afara unei diluări cu apă distilată în următoarele proporții: 1:50 pentru calciu, 1:200 pentru magneziu, 1:2000 pentru potasiu și 1:5000 pentru sodiu. Etaloanele se prepară cu apă distilată.

Litiul se află în urină, în mod normal la concentrații între 2,5 și 15 mEq/l. Pentru determinare, proba se diluează în proporție de 1:99 cu apă distilată.

Plumbul este un component a cărui determinare este importantă pentru prevenirea bolilor profesionale. Întrucât cantitatea de plumb ce se găsește în mod normal în urină (0,01-0,04 ppm) este foarte mică, se procedează la o concentrare prin complexare și extracție. În acest scop, 100 ml urină se tratează cu 1 ml acid clorhidric concentrat, după care 25 ml din proba tratată se aduce la pH 2,5-3,0 cu hidroxid de sodiu 5%. Se trece torul printr-un tub de centrifugă de 50 ml, se adaugă 1 ml soluție proaspăt preparată de pirolindinditiocarbamat de amoniu 2% în apă distilată și apoi 5 ml metilizobutilcetonă, după care se agită și se centrifughează. Faza organică se separă și se fotometrează.

Când nu este posibilă determinarea prin extracție, se poate recurge la coprecipitarea cu ajutorul unei soluții de azotat de bismut 10%. 25 ml probă de urină se aduce într-un tub de centrifugă, preferabil din material plastic, se adaugă 1 ml soluție 10% bismut și apoi se ajustează pH-ul la aproximativ 9, adăugând circa 0,5 ml hidroxid de amoniu, după care se centrifughează timp de 10 minute. Se decantează lichidul de deasupra și se adaugă 2 ml acid clorhidric, trecând precipitatul cantitativ într-o capsulă de teflon sau platină. Se încălzește ușor până când se dizolvă, apoi se transferă soluția într-un balon cotat de 5 ml și se completează la semn. Se realizează astfel o concentrație de 5 ori a

plumbului. Pentru a realiza o concentrare de 10 ori, se pleacă de la proba de urină de 50 ml.

O serie de date necesare efectuării analizelor se prezintă în tabelul 1.

Tabel 1. Date necesare efectuării analizelor de elemente prin metoda de absorbție atomică, utilizând flacăra acetilenă-aer.

Elementul	Linii spectrale recomandate (λ nm)	Sensibilitate (ppm)	Cine produce interferențe. Observații.
Ca	422,67 239,86	0,05	Al, Be, Ti, V, Zn, Si și anionii fosforic, sulfuric și silicic
Cu	324,75 327,40	0,07	Nu are practic interferențe
Fe	248,33 252,28 372,0	0,08	Si, Ca, Sr, Al, Mn și acizii organici. Acizi anorganici nu influențează determinările
Li	670,78 610,36 323,26	0,02	Anionii de orice fel. Deoarece se ionizează ușor este preferabilă emisia atomică
Mg	285,21 279,55 202,58	0,006-0,007	Na, K, Ca, Al, Si, P, Li, Ti, Zn și diverși anioni. Fe, Mn și MO în concentrații mari
Pb	283,31 261,42 217,0	0,12	Anionii și Ni, Cr, Mo, Mn, Si care interferează într-o mică măsură. Interferența anionilor poate fi eliminată prin adaos de EDTA
Zn	213,86 307,59	0,015	Nu are interferențe
Na	589,0 589,59 330,20	0,004	Ca și acizi minerali. Se preferă determinarea prin emisie în flacăra

VII.4. Descrierea spectrofotometrului de absorbție atomică AAS-1 și a modului de lucru la acesta.

Schema optică a spectrofotometrului AAS-1 este prezentată în fig. 9.

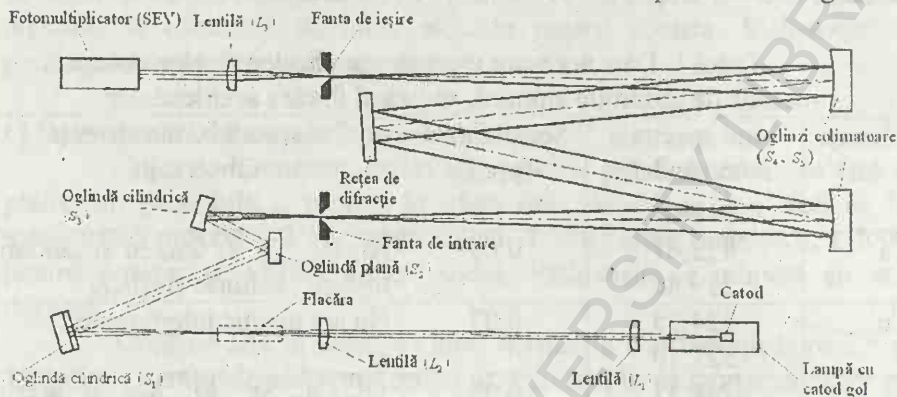


Fig. 9. Schema optică simplificată a spectrofotometrului AAS-1.

Radiația emisă de lampa cu catod gol este focalizată cu ajutorul lentilelor L_1 și L_2 pe flacăra, apoi cu ajutorul oglinzilor S_1 , S_2 și S_3 pe fanta de intrare a monocromatorului, ce are ca element dispersiv o rețea de difracție. Radiația având lungimea de undă ce interesează este focalizată cu ajutorul lentilei L_3 pe fotomultiplicator (SEV).

Schema electrică nu mai este prezentată fiind mai complicată. Rolul diverselor componente electrice se va înțelege (cu aproximație) urmărind principalele reguli de lucru la aparat.

Vederea din față a aparatului, unde se află cele mai importante butoane de reglare sau conectare, sunt prezentate în fig. 10.

Cele mai importante reguli pentru lucrul la spectrofotometrul pentru absorbție și emisie atomică AAS-1.

A. Verificări preliminare.

1. Se verifică dacă robinetele 12 (pentru acetilenă, din dreptul inelului galben) și 16 (pentru aer, din dreptul inelului alb) sunt închise, adică dacă sunt date maximum la dreapta.

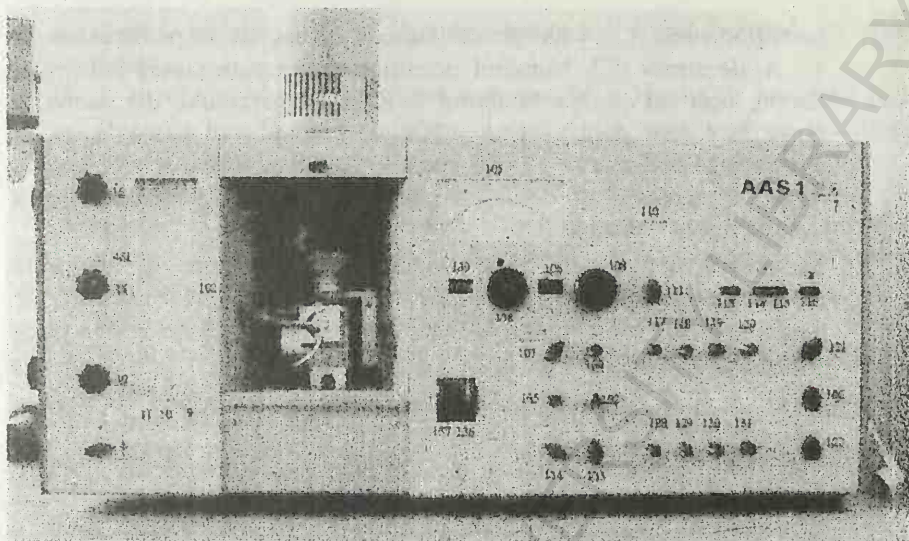


Fig. 10. Vederea din față a spectrofotometrului AAS-1.

2. Se verifică dacă comutatorul 4 este pe cercul galben (acetilenă).
3. Se verifică nivelul apei din vasul de condensare (sticla de jos din spatele aparatului) și dacă tubul de legătură cu aparatul se află în sticlă.
4. Se verifică dacă robinetul de la compresor este închis (dacă e dat maxim în dreapta). Se pune apoi compresorul în priză pentru a se crea în vasul acestuia presiunea necesară pentru lucru.

B. Utilizarea aparatului pentru absorbția atomică.

1. Se rabatează capacul aparatului spre perete apoi se montează lampa necesară într-unul din cele 4 locașuri, rotindu-se tamburul 7 (lateral dreapta, ce are marcate cifrele de la 1 la 4, corespunzând lămpilor din locașurile cu același număr). Lampa dorită trebuie adusă în poziția „dreapta jos”, în dreptul paralelipipedului lung și negru. Dacă lampa s-a montat corect cifra de pe soclul acesteia trebuie să corespundă cu cifra de pe tamburul 7, ce apare în dreptul punctului negru marcat pe fața laterală a aparatului.
2. Se conectează spectrofotometrul apăsând butonul 116.
3. Se alimentează lampa necesară la una din sursele de tensiune 1 sau 2, acționând fie butonul 121, fie butonul 122, rotindu-le până se aprinde lampa.
4. Se reglează curentul de descărcare din lampa cu catod cavită (astfel încât să nu se depășească curentul maxim indicat pe lampă) de la

potențiometrele 1,...,4 ale primei surse, $\odot 1$, sau de la potențiometrele 1,...,4 ale sursei $\odot 2$. Numărul potențiometrului corespunde numărului lămpii, deci cel citit pe tamburul 7. Reglarea curentului din lampă se poate face doar dacă se ține apăsat fie butonul 114 (dacă lampă se alimentează de la sursa $\odot 1$) fie butonul 115, dacă lampă se alimentează de la $\odot 2$. Curentul de descărcare, în mA, se citește pe scala de jos a instrumentului principal 105.

5. Se fixează, aproximativ, lungimea de undă λ a liniei de rezonanță corespunzătoare elementului de determinat (sau a unei alte linii indicate pentru analiză), rotind tamburul 138, λ citindu-se în geamul 139. Dacă $700nm > \lambda > 400nm$ se utilizează filtrul de ordine 1 (cel transparent) ce se introduce într-un locaș de lângă arzător. Dacă $\lambda > 700nm$ se utilizează filtrul de ordine 2 (roșu).
6. Cu ajutorul tamburului 108 se alege o fantă cât mai mică, de exemplu 0,05 mm, valoarea ei citindu-se în geamul 106.
7. Se fixează comutatorul 107 pe treapta 0-100A.
8. Cu ajutorul potențiometrului 126 (SEV) se fixează tensiunea optimă de alimentare a fotomultiplicatorului, aceasta fiind corespunzătoare poziției 4 a comutatorului 126 (dacă este necesar, tensiunea de pe fotomultiplicator poate fi mărită sau micșorată).
9. Cu ajutorul comutatorului 134 se alege o anumită treaptă de amplificare a semnalului, la început una cât mai mică: 1 sau 2.

Obs. Când se efectuează operațiile 8 și 9 trebuie avut grijă ca acul instrumentului 105 să nu iasă din scală.

10. Fixarea exactă a lungimii de undă de analiză se face rotind ușor tamburul 138, în apropierea valorii puse la punctul 6, astfel încât curentul indicat de 105 să fie maxim.

Obs. Valorile indicate de instrumentul 105 pe scala θ (a transmisiilor) pot fi citite și pe ecranul numărătorului universal, conectat la spectrofotometru.

11. Se recomandă ca butonul 133, al constantei de timp, să fie pe treapta 0,5.
12. Se fixează arzătorul pentru analizele de absorbție atomică, respectiv cel cu trei fante lungi.
13. Se deschide robinetul lateral al compresorului (cel de sub manometru) învârtindu-l spre stânga.
14. Se verifică debitul optim al aerului rotind butonul 16 ușor spre stânga. Debitmetrul de aer 11 trebuie să indice diviziunea 481; dacă nu se indică această diviziune se rotește butonul mare (lateral stânga) din

dreptul inelului alb. Se închide apoi aerul rotind butonul 16 spre dreapta.

15. Se deschide robinetul de înaltă presiune de la butelia de acetilenă (cel deasupra buteliei) cât și robinetul mic de la reductorul de presiune, ultimul rotindu-l spre stânga.
16. Se observă câteva secunde manometrul de joasă presiune de la reductorul buteliei, dacă aceasta indică o presiune constantă. În felul acesta am verificat etanșietatea conductelor și a racordurilor prin care este alimentat arzătorul cu acetilenă.
17. Se dă din nou drumul la aer rotind butonul 16 spre stânga.
18. Se dă drumul și la acetilenă rotind butonul 12 ușor spre stânga iar după circa 10 secunde se aprinde flacăra. Debitmetrul de la acetilenă (din dreptul cercului galben) trebuie să indice aproximativ diviziunea 102. Dacă nu se indică această diviziune se acționează butonul mare, lateral stânga, din dreptul cercului galben. Flacăra trebuie să aibă o culoare albastruie în partea de jos.
19. Se pulverizează în flacăra apă bidistilată (solventul) și se aduce acul indicator al instrumentului 105 la diviziunea 0, pe scală E, sau la diviziunea 100, pe scala \mathcal{G} , manevrând butoanele 134 și 108.
20. Rotind tamburul 137 (ce deplasează arzătorul pe verticală) și tamburul 136 (ce deplasează arzătorul pe orizontală) se fixează poziția optimă a arzătorului. Aceasta va corespunde situației când pe scala \mathcal{G} , de exemplu, se obține deviația cea mai mare.
21. Pentru aducerea exactă la diviziunea 0 sau 100 a instrumentului 105 se apasă pe butonul 113 „AUTO”. Instrumentul de măsură 110 ne arată dacă se dispune de energia necesară acestei reglări.
22. Se pulverizează soluția ce conține elementul ce ne interesează (de măsurat) și se citește valoarea lui \mathcal{G} pe scala 105 sau la numărător. Dacă valoarea indicată este între 90-100% (ceea ce înseamnă că elementul de analizat are o concentrație mică, producând deci și o absorbție mică), butonul 107 se va pune în dreptul indicației 90-100, astfel că scala se va multiplica cu factorul 10, crescându-se precizia de citire. Dacă valoarea indicată de instrumentul 105, pe scala \mathcal{G} , este între 80-100%, sau 50-100%, se va pune butonul 107 în dreptul indicațiilor corespunzătoare, multiplicarea scalei făcându-se cu factorul 5, respectiv 2. Dacă concentrația elementului de analizat e prea mare, obținându-se valori mici pentru \mathcal{G} , se va dilua soluția cu apă bidistilată, în rapoarte cunoscute, până când se va obține pentru \mathcal{G} o valoare cuprinsă, de

preferință, între 50% și 30%, în care caz: $0,3 < E < 0,5$.

23. Pentru determinarea concentrației elementului de analizat din probă trebuie construită o curbă de etalonare, utilizându-se o soluție etalon a aceluși element (a cărui concentrație este precis determinată). Se vor face diluții consecutive ale unei cantități mici din soluția etalon stoc ce conține 1g element pe litru soluție (de exemplu 0,2 ml; necesitatea de lichid pentru o măsurare fiind de circa 0,3 ml) până când se obține pentru ρ o valoare apropiată de 50% ($E \approx 0,5$). Plecând de la această ultimă soluție se mai fac două soluții, pentru a se obține pentru ρ , valori apropiate de 40% și 30%, putându-se astfel construi curba de etalonare. În abscisă se va lua concentrația (în mg/l) iar în ordonată transmisia ρ (în procente). În intervalul pomenit pentru ρ curba de etalonare va fi o dreaptă.

Obs. Este bine să avem unele informații asupra concentrației aproximative a elementului de determinat din probă, pentru ca analiza să decurgă mai rapid.

De exemplu concentrația Ca din apa de băut este între circa 20 mg/l (în cazul apei dulci) și circa 120 mg/l în cazul apelor cu o duritate moderată. Concentrația magneziului în cazul unei ape potabile obișnuite este de circa 10 mg/l.

24. La sfârșitul măsurătorilor se închide robinetul de înaltă presiune de la butelia de acetilenă lăsând flacăra să ardă până se consumă acetilena de pe conducte și flacăra se stinge. Se închide apoi și robinetul de la reductorul de presiune.
25. Se închid apoi și robinetele 12 și 16, apoi se închide robinetul de la compresor, după care acesta se scoate din priză.
26. După ce potențioarele acționate de butoanele 126 și 134 se aduc la valoarea minimă se întrerupe alimentarea aparatului de la butonul 116.

C. Utilizarea aparatului pentru emisie atomică (ca fotometru cu flacără).

Unele operații sunt cele de la partea A, de aceea pentru acestea vom indica numărul utilizat acolo.

1'=2, 2'=5, 3'=6

- 4'. Se pune comutatorul 107 în poziția E (emisie). În această poziție a comutatorului trebuie să se audă zgomotul produs de un mic motorăș ce rotește modulatorul mecanic (în regim de absorbție atomică modularea semnalului lămpii se făcea cu un circuit electronic, prin întreruperea tensiunii de alimentare a acesteia).

5'=8, 6'=9, 7'=10, 8'=11

9'. În locul arzătorului cu trei fante lungi se fixează arătorul tubular.

10'=13, 11'=14, 12'=15, 13'=16, 14'=17, 15'=18

16'. Se pulverizează soluția standard având concentrația maximă. Cu ajutorul comutatoarelor 134 și 126 se alege o astfel de treaptă de amplificare, respectiv o astfel de tensiune pe fotomultiplicator, încât acul instrumentului 105 să arate valoarea „100”. Reglajul fin al acestei valori se va face cu ajutorul tamburului 108, prin modificarea lărimii fantei.

Obs. Dacă nu se cunoaște concentrația maximă a soluției etalon ea se poate stabili astfel:

- se pulverizează soluția de măsură și se procedează așa cum s-a specificat la 16', astfel ca acul instrumentului 105 să indice o valoare de mijloc, de exemplu diviziunea 50. Dacă nu se poate face reglajul corespunzător, evitându-se să se lucreze cu fante prea mici (sub 0,05 mm), se diluează soluția într-un raport cunoscut,
- se face operația 17',
- se pulverizează din nou soluția de măsură și cu ajutorul butonului 132 se stabilește din nou diviziunea 50,
- cu o cantitate mică din soluția etalon (de exemplu 0,2 ml) se fac soluții în apă distilată (20 ml) din ce în ce mai diluate până când semnalul obținut cu acestea este de aproximativ 100 diviziuni,
- ultima din soluții se consideră soluția etalon de concentrație maximă,
- se reia reglajul precizat la 16'.

17'. Se pulverizează apă distilată apoi cu ajutorul butonului de „0”, 135, se aduce acul instrumentului 105 la „0”.

18'. Se pulverizează din nou soluția etalon de concentrație maximă și cu ajutorul butonului de „100”, 132, se reglează valoarea „100” pe instrumentul de măsură 105.

19'. Plecând de la soluția etalon de concentrație maximă, prin diluții cu apă bidistilată, se mai fac încă trei soluții etalon având astfel de concentrații încât semnalul obținut să fie de aproximativ 75, 50 și 25 diviziuni.

Obs. După fiecare măsurătoare e bine să se verifice originea scalei (punctul de „0”) pulverizând apă bidistilată.

20'. Se trasează curba de etalonare: diviziuni-concentrație.

21'. Pulverizând din nou soluția de măsură se citește valoarea semnalului pe 105 apoi se scoate din curba de etalonare concentrația elementului de determinat.

Cap. VIII. Analiza bazată pe spectrele moleculare de absorbție din infraroșu (IR).

VIII.1. Frecvențe caracteristice de grup și structura moleculară.

Vibrațiile moleculelor pot fi studiate, precum se știe, și în cadrul teoriei clasice utilizând modele mecanice. Astfel, pentru descrierea mișcărilor de vibrație ale moleculelor poliatomice se folosesc modele mecanice alcătuite din mase sferice (bile) proporționale cu masele atomilor respectivi. Bilele sunt legate între ele prin resorturi a căror lungime și constantă elastică sunt proporționale cu distanțele interatomice și cu forțele legăturilor chimice corespunzătoare. Unghiurile dintre legături sunt aceleași, în model, ca și în molecula reală.

Să ne referim, pentru exemplificare, la modelul mecanic al moleculei plane tetraatomice XYZ_2 , în care diversele arcuri reprezintă atât forțele de legătură chimică cât și celelalte forțe (mult mai slabe) de atracție interatomică (forțe de câmp): fig. 1.

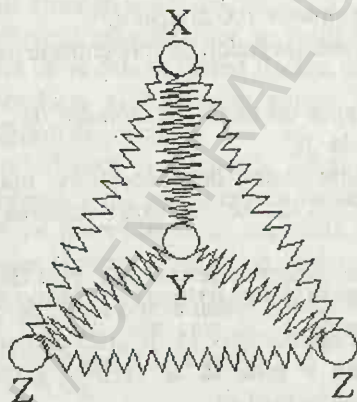
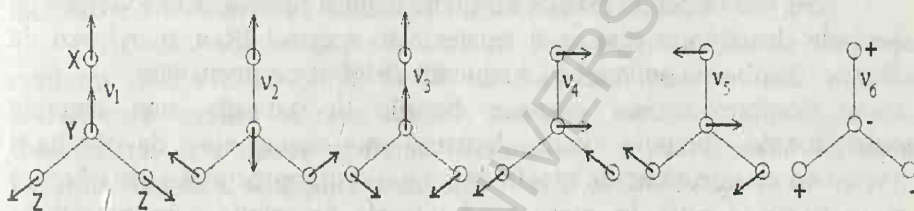


Fig. 1.
Modelul mecanic al
moleculei plane
tetraatomice XYZ_2 .

Utilizând astfel de modele s-a constatat că la orice moleculă poliatomică există anumite moduri de deplasare concomitentă a atomilor (a nucleelor) în urma cărora rezultă vibrații ale întregii molecule, caracterizate prin faptul că fiecare atom execută o mișcare armonică liniară cu aceeași frecvență și în aceeași fază cu ceilalți atomi; amplitudinile acestor oscilații sunt de obicei diferite.

În timpul acestor vibrații centrul de greutate al moleculei nu își modifică poziția iar molecula în ansamblu nu se rotește în jurul centrului de greutate. Astfel de vibrații ale moleculei au fost denumite vibrații normale sau moduri normale de vibrație.

Vom ilustra mai jos modurile normale de vibrație ale moleculei XYZ_2 , așa cum au rezultat din modelul mecanic propus pentru această moleculă. Conform celor spuse mai sus dacă se deplasează cele patru nuclee după direcțiile indicate de săgeți (vezi fig. 2) și se lasă toate deodată să vibreze liber, fiecare va oscila în jurul unei poziții de echilibru cu aceeași frecvență ca și celelalte trei, în așa fel încât după fiecare perioadă de oscilație nucleele vor ocupa pozițiile inițiale.



+ : iese din planul figurii, - : intră în planul figurii.

Fig. 2. Vibrațiile normale ale moleculei XYZ_2 .

Numărul vibrațiilor normale corespunde numărului de grade de libertate de vibrație ale moleculei. Pentru o moleculă neliniară cu N atomi există $3N-6$ grade de libertate de vibrație și tot atâtea moduri de vibrație (3 grade de libertate corespund mișcării de translație și 3 celei de rotație). Astfel pentru molecula XYZ_2 numărul de moduri de vibrație este: $3 \cdot 4 - 6 = 6$. În cazul moleculelor liniare numărul gradelor de libertate de vibrație (deci și al modurilor normale de vibrație) este $3N-5$, deoarece rotația în jurul axei internucleare nu modifică nici una din coordonatele atomilor, astfel că există numai două grade de libertate de rotație.

Aceste moduri diferite de vibrație pot fi puse în evidență experimental iluminând modelul mecanic, pus să vibreze, cu lumina emisă de un stroboscop. În cazul moleculei XYZ_2 , de exemplu, se vor găsi 6 frecvențe diferite ale luminii stroboscopului pentru care bilele vor părea că stau pe loc.

Frecvențele normale de vibrație rezultă și din calcule, prin rezolvarea ecuației seculare, iar forma fiecărui mod de vibrație normală

(mărimea și direcția vectorilor deplasării) se pot determina prin rezolvarea sistemului de ecuații corespunzătoare coordonatelor normale.

Conform teoriei clasice molecula va emite sau va absorbi radiații electromagnetice având frecvențe egale cu cele de vibrație. Conform aceleiași teorii vor fi active în IR (absorb) numai acele moduri normale de vibrație care duc la o variație concomitentă a momentului de dipol electric al moleculei. Deoarece momentul de dipol electric al moleculei nu variază (nu se modifică) pentru toate vibrațiile normale, în spectrul IR de absorbție al unei substanțe se vor putea observa (vor fi active) doar o parte din vibrațiile normale. Vibrațiile ce nu sunt active în IR s-ar putea să fie active în spectrul Raman (despre spectrele Raman vezi cap. X).

Se știe că teoria clasică nu poate explica toate aspectele legate de spectrele de vibrație cum ar fi existența în spectrul IR a unor benzi de vibrație (de obicei continue) cu o anumită distribuție a intensității.

Conform teoriei cuantice benzile de vibrație sunt datorate tranzițiilor de vibrație – rotație, deoarece unui anumit nivel de vibrație îi corespund o succesiune de nivele de rotație (în timp ce molecula vibrează ea se poate și roti). În cazul când nivelele de rotație corespunzătoare diverselor stări (nivele) de vibrație sunt foarte apropiate (dese), situație întâlnită la moleculele poliatomice (molecule cu mulți atomi), la tranziția între două stări de vibrație-rotație va rezulta o bandă continuă. Frecvența normală de vibrație va corespunde, cu aproximație, maximului unei benzi de vibrație – rotație (fig. 3).

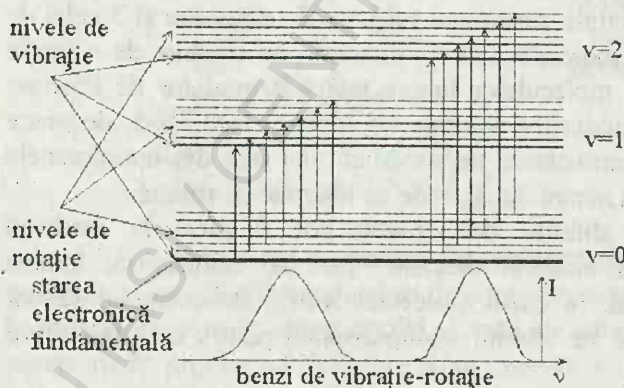


Fig. 3. Tranziții de vibrație-rotație (între nivelele de rotație a două stări de vibrație) care determină apariția benzilor de vibrație-rotație.

Se poate concluziona (precum arată experiența) că în spectrul IR

al oricărei molecule există o serie de benzi fundamentale (datorate tranzițiilor de vibrație – rotație), ale căror frecvențe sunt egale, cu unele restricții, cu frecvențele normale de vibrație. De obicei aceste benzi sunt continue și doar în puține cazuri se evidențiază și structura lor de rotație.

Prin compararea spectrelor IR ale unui număr mare de compuși organici s-a observat că prezența anumitor tipuri de legături (de exemplu $=O - H$, $\equiv N - H$, $\equiv C - H$, $C = C$ etc.) în molecule diferite poate fi corelată cu apariția constantă a unor benzi de absorbție în IR, ale căror poziție se modifică foarte puțin (dar totuși se modifică) de la un compus la altul. S-ar putea presupune deci că grupa de atomi considerată vibrează independent (cu o frecvență proprie). Acest fel de frecvențe sunt cunoscute sub denumirea generală de frecvențe caracteristice de grup.

Această noțiune pare să vină în contradicție cu datele teoretice conform cărora o absorbție în IR se datorează unei vibrații normale active, care implică vibrația tuturor atomilor (nucleelor) din moleculă. Contradicția este numai aparentă. Pentru a clarifica lucrurile să luăm exemplul simplu al vibrațiilor moleculelor HCN și ClCN (fig. 4).

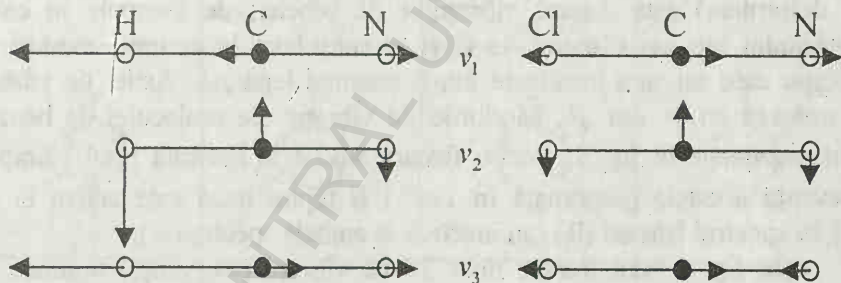


Fig. 4. Modurile de vibrație, din planul figurii, ale moleculelor HCN și ClCN.

Direcția și mărimea vectorilor mișcării, pentru o frecvență dată, sunt determinate de masa atomilor, de constanta de forță și de unghiurile dintre legături. Atomii cei mai ușori vor avea amplitudinile cele mai mari. Astfel modul v_3 pentru HCN se caracterizează prin vibrația aproape exclusivă a atomului H față de grupa CN, practic imobilă. Frecvența unei vibrații de acest fel se poate calcula, cu aproximație, cu formula:

$$\nu = \frac{1}{2\pi} \sqrt{\frac{k}{\mu}}, \text{ deoarece este caracterizată de prezența unei singure forțe}$$

elastice (k = constanta forței elastice, μ = masa redusă a sistemului). Modul ν_3 constituie un exemplu tipic de frecvență caracteristică de grup. Este de așteptat ca în orice compus care conține grupa H - C să existe un mod normal de vibrație caracterizat prin oscilația atomului de hidrogen legat, prin atomul de carbon, de restul moleculei.

Se poate deci considera că vibrația normală ν_3 este localizată pe legătura H - C. La fel se întâmplă și în cazul vibrației ν_1 a moleculei ClCN, unde localizarea vibrației este pe legătura CN.

Vibrațiile ν_1 și ν_3 poartă denumirea de vibrații de valență deoarece oscilațiile au loc numai de-a lungul liniilor de valență. Acest tip de vibrații se notează prescurtat cu litera ν alături de grupa la care se referă: ν_{CH} , ν_{CN} .

Vibrațiile ν_2 pentru ambele molecule, HCN și ClCN, se fac prin modificarea unghiului dintre liniile de valență - ele se numesc de deformare și se notează cu δ : δ_{CH} , δ_{CN} .

Un alt tip de frecvențe caracteristice (pe lângă cele de valență și de deformare) este datorat vibrațiilor de schelet; de exemplu în cazul benzenului toți cei 6 atomi de C și H contribuie la anumite moduri de vibrație care nu sunt localizate într-o anumită legătură. Astfel de vibrații se notează cu γ sau β . Modurile de vibrație ale moleculei de benzen sunt prezentate în fig. 5. Pentru fiecare mod este indicată tipul vibrației, frecvența acesteia (exprimată în cm^{-1}) și faptul dacă este activă în IR (R), în spectrul Raman (R) sau inactivă în ambele spectre (ia).

În fig. 5 sunt trecute doar 20 de vibrații (frecvențe) normale cu toate că molecula de benzen are: $3 \cdot 12 - 5 = 31$ de astfel de vibrații. Aceasta din cauză că unele din acestea sunt degenerate (au aceeași frecvență) și s-a trecut, cum se obișnuiește, doar una din componentele vibrației degenerate.


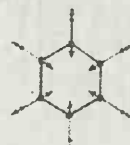
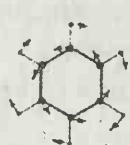
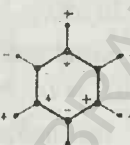
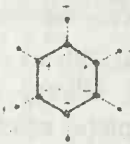
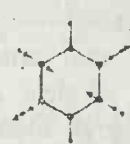
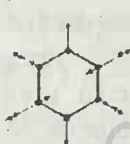


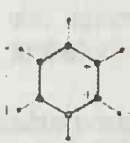

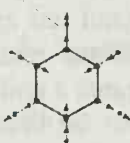
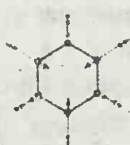

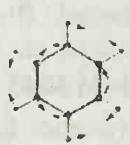


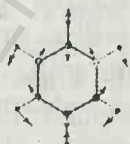


 ν_{CC} 992 (R)	 ν_{CH} 3065 (R)	 β_{CH} 1325 (ir)	 δ_{CC} 703 (ir)
 δ_{CH} 830 (R)	 β_{CC} 690 (R)	 ν_{CH} 3047 (R)	 ν_{CC} 1585 (R)
 β_{CH} 1175 (R)	 δ_{CH} 854 (R)	 δ_{CH} 571 (R)	 β_{CC} 1010 (ir)
 ν_{CH} 3011 (R)	 ν_{CC} 673 (R)	 β_{CH} 1180 (R)	 δ_{CC} 690 (R)
 ν_{CH} 3077 (R)	 β_{CH} 1017 (R)	 ν_{CC} 1480 (R)	 ν_{CH} 3030 (R)

Fig. 5. Modurile de vibrație ale moleculei de benzen.

În spectrele IR ale diversilor compuși mai apar, pe lângă frecvențele (benzile) corespunzătoare vibrațiilor normale, numite și frecvențe fundamentale, și alte frecvențe (benzi) și anume:

- armonice ale frecvențelor fundamentale:

$$2\nu_i, 3\nu_i, \dots, 2\nu_k, 3\nu_k, \dots, 2\nu_l, 3\nu_l, \dots$$

- combinații de frecvențe:

$$2\nu_i + \nu_k, 2\nu_k - \nu_i, \nu_k + \nu_l - \nu_i, \dots$$

- rezonanțe.

În general intensitatea benzilor armonice și de combinație este mult mai mică decât a benzilor fundamentale. Rezonanțele pot avea însă o intensitate mult mai mare decât a primelor.

Explicarea apariției rezonanțelor este următoarea: uneori este posibil ca într-o moleculă poliatomică nivelele a două vibrații (sau combinații de vibrații) diferite să aibă energii foarte apropiate, adică să fie accidental degenerate. Dacă vibrațiile respective sunt de aceeași specie poate avea loc o perturbare reciprocă a celor două nivele astfel încât unul din ele să se deplaseze spre energii mai mari, iar celălalt spre energii mai mici. Acest fenomen poate fi însoțit și de o intensificare importantă a noilor benzi care apar.

Pe baza celor de mai sus se poate concluziona că spectrul IR al unui anumit compus (pur) este destul de dificil de interpretat. Ca exemplu, în fig. 6 se prezintă spectrul IR de absorbție al benzenului, unde se observă că pe lângă benzile (frecvențele) fundamentale mai apar și alte benzi:

Benzile intense de la 3045 și 3099 cm^{-1} , de exemplu, constituie un dublet de rezonanță a vibrației fundamentale ν_{20} ($\nu_{CH} = 3080 \text{ cm}^{-1}$) cu combinația $\nu_8 + \nu_{19}$.

Existența frecvențelor caracteristice de grup constituie baza utilizării spectrelor de vibrație în scopul analizei structurale (adică pentru determinarea structurii moleculei) și pentru analiza spectrală în înțelesul îngust al cuvântului, adică pentru determinarea compoziției amestecurilor.

Aparatele uzuale pentru absorbția moleculară în IR permit înregistrarea spectrelor în intervalul spectral $400\text{-}5000 \text{ cm}^{-1}$. Pentru acest interval există numeroase tabele, monografii și atlase de spectre în care se pot găsi frecvențele caracteristice ale diverselor grupări din molecule și se poate vedea cum variază ele în funcție de restul moleculei (variații mici, evident, ele putând atinge totuși câteva sute de cm^{-1}).

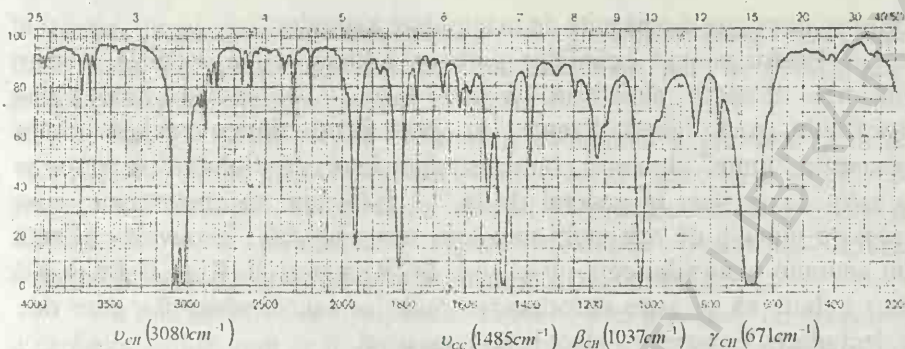


Fig. 6. Spectrul IR de absorbție al benzenului cu precizarea frecvențelor fundamentale.

VIII.2. Prepararea probelor. Alegerea solvenților.

La prepararea probelor trebuie să se țină seama de următoarele principii generale:

- Orice substanță poate fi studiată în IR, cel puțin în una din cele trei stări de agregare. În general cantitatea de probă necesară este foarte mică. De cele mai multe ori substanța poate fi recuperată.
- Starea fizică ideală a probei de analizat este cea gazoasă. În majoritatea cazurilor, însă, substanțele organice nu pot fi aduse în această stare.
- Starea lichidă este practic cea mai adecvată pentru analiza în IR. Lichidele pure sau substanțele dizolvate în solvenți potriviți pot fi manipulate cu ușurință iar rezultatele obținute sunt reproductibile. Datorită faptului că lichidele pure absorb în general foarte intens se preferă analiza lor în soluție. La interpretarea rezultatelor trebuie să se țină seama întotdeauna de efectele dizolvanului (solventului) asupra poziției (frecvenței), formei și intensității benzilor de absorbție.
- Substanțele se analizează în stare solidă numai dacă nu pot fi aduse în soluție, sau pentru a obține informații suplimentare în legătură cu structura moleculară.

Pentru analiza gazelor se utilizează în mod obișnuit cuve cilindrice având o lungime de 50-100 mm. Pentru umplerea cuvelor se

folosesc dispozitive obișnuite de manipulare a gazelor.

Pentru analiza lichidelor pure se folosesc cuve speciale în care grosimea stratului absorbant variază între 0,01 și 0,1 mm. Dacă absorbțiile sunt foarte intense se pot folosi filme capilare – între geamurile “lipite” ale cuvei, fără distanțier între ele. Soluțiile se introduc în cuve cu grosimi în general de la 0,1 la 1 mm. În unele cazuri sunt necesare grosimi de mai mulți mm sau mai mulți cm. În cuvele realizate din anumite materiale (care nu absorb în IR cum ar fi: KBr, CsBr, NaCl etc.) trebuie să se evite introducerea probelor sau dizolvanților care duc la degradarea ferestrelor - alcooli, apă sau acizi.

Analiza substanțelor solide se face de obicei când acestea sunt aduse sub formă de pulbere fină, deoarece este greu de obținut un strat foarte subțire și omogen din substanța solidă, astfel încât să se înregistreze transmisii între 30 și 60% (valori recomandate pentru înregistrarea optimă a spectrelor IR).

Conform teoriei difracției, dacă se trece de la o substanță aflată în strat omogen la pulbere, scăderea transmisiei depinde de produsul $(n-1)r$, în care n este indicele de refracție relativ al particulelor în raport cu mediul în care se află aceasta, iar r – raza particulei. Scăderea transmisiei este mai accentuată spre lungimi de undă mai mici (unde n este mai mare). Acest efect se micșorează dacă pulberea este încorporată într-un mediu cu indicele de refracție cât mai apropiat de al substanței respective și dacă r este foarte mică.

Cele mai răspândite tehnici de încorporare a pulberilor sunt: suspenția în nujol (denumirea obișnuită a uleiului de parafină farmaceutic) și pastilarea în bromură de potasiu. Acest lucru se face după o pulverizare foarte fină în mojar de agat, în vibratoare electromagnetice sau prin alte metode. Tehnica încorporării probei într-o pastilă de bromură de potasiu este următoarea: substanța de analizat, fin pulverizată, se aduce în celula unui vibrator împreună cu bromura de potasiu, pulverizată și uscată în prealabil (proporția este de 1 mg substanță la cca. 300-500 mg KBr). După câteva minute de amestecare pulberea se introduce într-o matriță din oțel inoxidabil și se presează cu o forță de 10^5 - $12 \cdot 10^5$ N/cm² timp de câteva minute. Înainte și în timpul aplicării presiunii se evacuează aerul din matriță pentru a evita apariția fisurilor datorate “exploziilor” aerului comprimat între particule, după

încetarea presiunii. Pastilele trebuie să fie transparente sau puțin translucide. Compensația se face cu o pastilă de bromură de potasiu pură (adică ea se pune în locul cuvei cu solventul).

Trebuie atrasă atenția că analiza cantitativă a probelor pastilate este posibilă numai cu condiția unei standardizări riguroase a tehnicii de preparare. Precauțiile se referă în special la reproductibilitate deoarece fenomenele care influențează reproductibilitatea (reflexiile, difuzia radiațiilor, variațiile grosimii de strat) sunt greu de controlat.

În afara tehnicilor menționate există și alte procedee de preparare a probelor solide cum ar fi: obținerea unor filme solide din soluții sau din topitură, prin presarea materialului sau trecerea prin valț, secționarea la microtom etc.

Să vedem, în continuare, ce condiții trebuie să le îndeplinească solventul, în cazul utilizării soluțiilor substanțelor. Un solvent bun pentru IR trebuie să aibă benzi de absorbție cât mai puține și de intensitate mică și să prezinte interacțiuni minime cu substanța dizolvată. Ultima cerință o îndeplinesc solvenții nepolari și anume cei ce au molecula cât mai simetrică și nepolarizată. Toate aceste condiții le satisfac cu aproximație sulfura de carbon și tetraclorura de carbon. Cu acești solvenți se pot efectua, în bune condiții, înregistrări în aproape tot domeniul spectral în care se fac determinările curente ($400-5000\text{ cm}^{-1}$). Regiunea îngustă în care acești solvenți absorb intens ($1400-1600\text{ cm}^{-1}$) poate fi acoperită de tetracloretilenă.

Insolubilitatea sau solubilitatea insuficientă a multor substanțe în solvenții menționați limitează folosirea acestora. În aceste condiții este necesar să se recurgă la solvenți polari – de exemplu cloroformul. Pentru a se obține un spectru complet se utilizează uneori mai mulți solvenți, fiecare din aceștia având transmisii satisfăcătoare în regiuni unde ceilalți absorb intens.

Practica a arătat că nu există un solvent perfect inert. Vibrațiile moleculelor, cu excepția vibrațiilor de schelet și ale legăturilor nepolare, sunt influențate mai mult sau mai puțin de natura solventului. În general într-un solvent benzile corespunzătoare vibrațiilor de valență sunt deplasate spre frecvențe mai mici iar cele corespunzătoare vibrațiilor de deformare sunt deplasate spre frecvențe mai înalte, față de situația din starea de vapori a substanței (când moleculele acesteia sunt libere). De

obicei au loc și modificări ale intensității și lărgimii benzilor de absorbție.

S-au elaborat o serie de teorii care încearcă să lege aceste modificări de natura solventului, mai exact de caracteristicile sale macroscopice – constanta dielectrică (ϵ) și indicele de refracție (n). Relațiile obținute pentru modificările intensității și lărgimii benzilor sunt foarte complicate – nu le mai dăm aici.

Mai simple sunt relațiile obținute pentru modificările frecvențelor. O relație des utilizată este cea a lui Buckingham:

$$(1) \quad \frac{\Delta\nu}{\nu} = \frac{\nu_{vap} - \nu_{sol}}{\nu_{vap}} = C_1 + \frac{1}{2}C_2\left(\frac{\epsilon-1}{2\epsilon+1}\right) + \frac{1}{2}C_3\left(\frac{\epsilon-1}{2\epsilon+1}\right) = f(\epsilon),$$

aplicabilă solventilor nepolari, și:

$$(2) \quad \frac{\Delta\nu}{\nu} = C_1 + C_2\left(\frac{\epsilon-1}{2\epsilon+1}\right) + C_3\left(\frac{n^2-1}{2n^2-1}\right) = f(\epsilon, n),$$

aplicabilă solventilor polari. Se consideră că $n=n_D$.

Constantele C sunt corelate cu parametrii moleculei de cercetat (momentul de dipol, polarizabilitatea etc.), totuși ele nu pot fi calculate, intervenind prea multe mărimi nemăsurabile, valorile lor rezultând din experiență, cum vom vedea mai jos.

Precizăm că formulele de mai sus au fost deduse cu ajutorul mecanicii cuantice luându-se în considerare interacțiunile de tip Van der Waals dintre moleculele solventului și ale solvitului. Acest tip de interacțiuni se mai cheamă și universale sau de volum deoarece nu prezintă saturație.

Se consideră că formulele se aplică în situația când există o dependență liniară între $\frac{\Delta\nu}{\nu}$ și funcția $f(\epsilon)$ sau $f(\epsilon, n)$, bineînțeles în cazul moleculelor solvitului de un anumit tip (pentru o anumită substanță) și pentru o anumită frecvență de vibrație.

Constantele C_2 și C_3 îndeplinesc rolul de constante de liniarizare, valorile acestora alegându-se în așa fel încât să rezulte o dependență

liniară între $\frac{\Delta\nu}{\nu}$ și $f(\epsilon)$ sau $f(\epsilon, n)$.

În fig. 8 se prezintă două situații fictive de aplicare a formulelor (1) și (2), situații care se pot întâlni și în cazurile reale. Cifrele arabe corespund diverșilor solvenți (ipotetici).

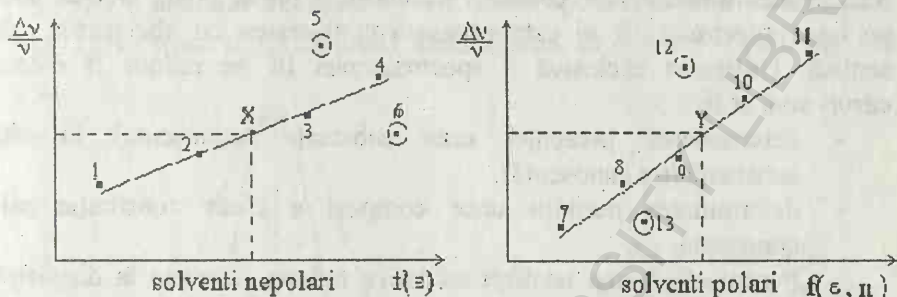


Fig. 8. Forma tipică a dependențelor date de formulele (1) și (2).

Aceste grafice pot fi utilizate pentru determinarea lui $\frac{\Delta v}{v}$ în cazul unor solvenți oarecare X și Y (solvenți folosiți la obținerea spectrului IR) alții decât cei utilizați pentru trasarea graficelor. Astfel de determinări sunt foarte importante în analiza calitativă (analiză ce se face pe baza frecvențelor caracteristice de grup) în situația când spectrul probei de cercetat este realizat într-un anumit solvent iar spectrele de comparație (cele din atlasele de spectre) sunt obținute fie cu un alt solvent fie pentru starea de vapori.

Deci, pentru fiecare substanță avută în vedere în cazul analizelor trebuie trasate grafice ca mai sus, bineînțeles pentru cât mai multe frecvențe caracteristice de grup.

În unele cazuri (în special în cazul legăturilor X – H, X=C, S, N etc.) între moleculele de solvit și cele de solvent pot apărea și interacțiuni specifice prin intermediul unor forțe ce prezintă saturație și care generează compuși moleculari instabili (interacțiuni de tip legătură de hidrogen sau prin transfer de sarcină). Aceste interacțiuni determină abateri de la formula Buckingham, respectiv de la dreptele reprezentate mai sus – este cazul solvenților (ipotetici) încercuiți. Pentru a ține seama și de aceste interacțiuni formulelor de mai sus li se mai adaugă un termen de corecție astfel încât dreapta să “cuprindă” și acești solvenți.

VIII.3. Analiza calitativă și cantitativă utilizând spectrele IR.

Conform celor spuse în VIII.1 (vezi și problema practică din VIII.5) identificarea unor compuși necunoscuți nu se poate efectua doar pe baza spectrelor IR ci este necesară conlucrarea cu alte metode de analiză. Utilizarea exclusivă a spectroscopiei IR se reduce la câteva cazuri cum ar fi:

- determinarea prezenței unei substanțe (cunoscute) în altă substanță (tot cunoscută),
- determinarea purității unor compuși a căror constituție este cunoscută.

Pentru efectuarea analizei calitative trebuie să avem la dispoziție spectrele componentelor în stare pură. În acest scop se apelează la cataloagele de spectre. Este de dorit ca aceste spectre să fie obținute cu același aparat și în aceleași condiții experimentale ca și ale compusului bănuît. Cum acest lucru nu este întotdeauna posibil, după ce s-a stabilit asemănarea dintre spectrul substanței bănuite cu cel al substanței cunoscute, este necesar să se obțină în laborator spectrul acesteia în aceleași condiții, pentru a se evita diferențele de putere de rezoluție, de etalonare în numere de undă (sau în lungimi de undă), de grosimea probei.

La baza analizei cantitative stă legea lui Lambert – Beer, scrisă sub forma:

$$(3) \quad I^{\nu} = I_0^{\nu} 10^{-\varepsilon_{\nu} c l} \quad \text{sau} \quad \log \frac{I_0^{\nu}}{I^{\nu}} = E^{\nu} = \varepsilon_{\nu} c l,$$

unde c este concentrația substanței, exprimată de obicei în moli/litru (M/l) iar l – grosimea stratului absorbant, exprimată de obicei în cm. Coeficientul ε_{ν} poartă denumirea de coeficient molar de extincție, el măsurându-se în l/M.cm.

După cum s-a mai spus, drept frecvență de vibrație (ν) se ia frecvența maximului unei benzi de absorbție.

Trebuie să se țină seama că în unele situații pot apare abateri de la legea lui Lambert – Beer. Astfel de abateri pot fi determinate, de exemplu, de lărgimea (prea mare) a fantelor monocromatorului spectrofotometrului.

Se știe că orice monocromator are o anumită bandă de trecere, de lărgime $\Delta\nu$, lărgime cu atât mai mare cu cât deschiderile (lărgimile) fantelor sale sunt mai mari. Astfel că, în cazul când monocromatorul este "fixat" pe o anumită frecvență ν , detectorul spectrometrului va înregistra drept I_o^ν (în lipsa absorbantului) toată banda de trecere - vezi fig. 9a)

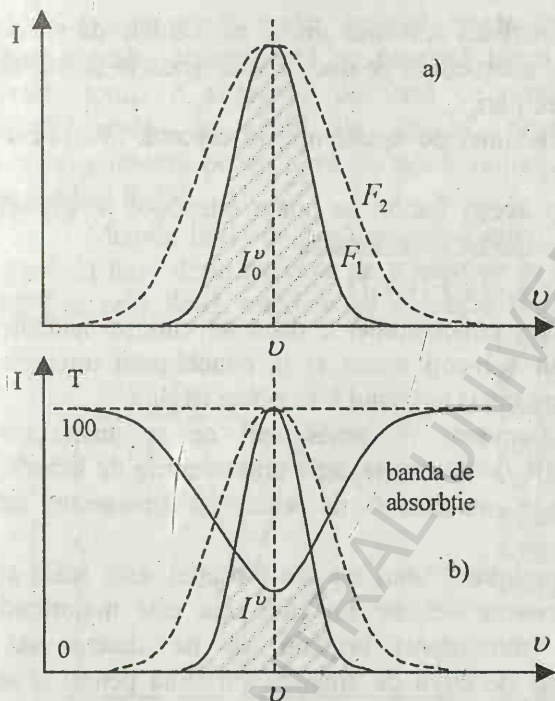


Fig. 9. Distribuția intensității în „linia” de frecvență ν pentru două lărimi F_1 și F_2 ale fantei monocromatorului ($F_2 > F_1$)

- a) înainte ca radiația să fie absorbită
b) după absorbție.

(curba continuă reprezintă banda de trecere pentru o lărgime F_1 a fantelor iar curba punctată reprezintă banda de trecere pentru o lărgime $F_2 > F_1$ a fantelor).

Asemănător se întâmplă și în cazul când fasciculul de radiații ce iese din monocromator trece prin stratul absorbant și când drept I^ν se înregistrează toată banda hașurată, așa cum rezultă din fig. 9b).

În aceste condiții, cu cât fantele monocromatorului sunt mai largi, cu atât raportul $\frac{I_o^\nu}{I^\nu}$ va scădea deci și extincția E^ν va scădea, ceea ce face să nu se mai respecte legea Lambert – Beer.

Abateri de la legea Lambert – Beer mai pot apărea în următoarele situații:

- în urma asocierii moleculelor substanței solvite (lucru ce se întâmplă la concentrații mari ale acesteia) când, datorită formării unor complecși moleculari, se modifică frecvența de vibrație ν ,
- în urma unor interacțiuni specifice dintre moleculele de solvit și cele de solvent, interacțiuni ce duc de asemenea la formarea de complecși moleculari,
- în urma difuziei radiației pe eșantionul de cercetat (în special în cazul pulberilor).

Ținând seama de toți acești factori se poate introduce în (3) un termen de corecție $F(\nu, c, l)$, astfel că se poate scrie :

$$(4) \quad E^{\nu} = \epsilon_{\nu} c l + F(\nu, c, l),$$

relație ce permite determinarea concentrației c dacă se cunosc celelalte mărimi. În cazul soluțiilor în solvenți neutri și la concentrații mici ale substanței solvite (dar nu foarte mici) termenul F se poate neglija.

Situațiile cele mai frecvente de amestecuri ce se analizează cantitativ utilizând spectrele IR de absorbție, sunt amestecurile de lichide, impurități dizolvate în lichide, amestecuri de solide și amestecuri de gaze.

Cel mai simplu caz, pe care îl vom supune discuției, este acela al amestecului de două componente lichide din care una este majoritară (peste 90%) iar cealaltă (minoritară) urmând să fie determinată. Presupunem că nu se dispune de cuvă de grosime variabilă pentru a se putea compensa absorbția datorată componentei majoritare. În această situație se face doar compensarea absorbției produse de geamurile cuvei de măsură cu ajutorul unei cuve identice goale sau mai bine, pentru a evita pierderile de lumină prin reflexie, cu ajutorul unei plăci din materialul ferestrelor, având grosimea egală cu cea a ferestrelor.

Se pot întâlni două situații. Prima ar fi aceea că fiecare din componentele amestecului prezintă una sau mai multe benzi cheie (benzi caracteristice intense utilizate pentru analiză) într-o regiune spectrală în care cealaltă componentă nu absoarbe. Concentrația necunoscută se poate calcula direct din legea Lambert – Beer, măsurând în prealabil extincția pentru una sau mai multe benzi cheie, ϵ_{ν} pentru aceste benzi luându-se

din tabele.

Mai sigur e să se traseze o curbă de etalonare pentru o serie de concentrații cunoscute ale compusului de determinat, luând în ordonată fie transmisia fie extincția iar pe baza acestei curbe să se determine concentrația necunoscută.

În alte situații însă nu este îndeplinită condiția ca în dreptul benzii cheie a unei componente, cealaltă componentă să nu absoarbă. Chiar dacă cealaltă componentă nu prezintă benzi specifice în acel loc poate exista totuși o absorbție de fond ce provine de la sateliții benzilor fundamentale. În astfel de situații, pentru determinarea extincției corespunzătoare benzii cheie se poate utiliza fie metoda liniei de bază fie procedeul Pirloet.

Metoda liniei de bază se aplică atunci când banda de analiză este cuprinsă între două maxime de transmisie ca în fig. 10. Tangenta comună MN la cele două maxime se numește linie de bază. Prin punctul de intersecție P dintre linia de bază și ordonata punctului R, ce corespunde maximului de absorbție (deci unde transmisia va fi minimă), se duce o linie paralelă cu axa absciselor. Extincția E a benzii alese se calculează cu relația:

$$E = K \lg \frac{A}{B}, \text{ unde } K \text{ este o}$$

constantă iar A și B au valorile obținute de pe diagramă. Cu valorile lui E găsite pe baza acestei metode, pentru un șir de

soluții de diverse concentrații ale probei de determinat, se trasează curba de etalonare.

Procedeul Pirloet se aplică în cazul când curba de absorbție este prea abruptă sau când cele două maxime de transmisie adiacente minimului sunt prea puțin pregnante (fig. 11).

De o parte și de alta a frecvenței ν a maximului de absorbție se iau, la distanțe arbitrare, două frecvențe ν_1 și ν_2 . Dreapta dusă prin

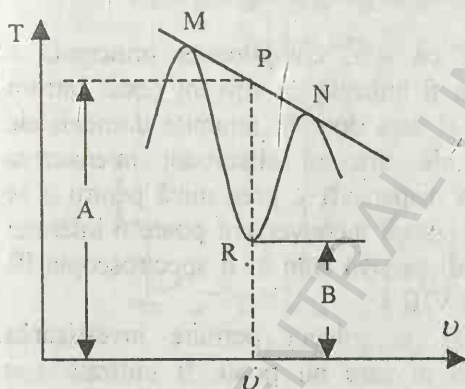


Fig. 10. Aplicarea metodei liniei de bază.

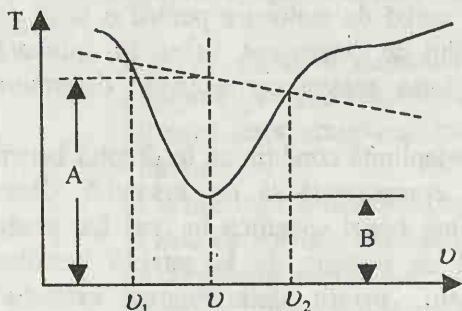


Fig. 11. Aplicarea procedurii Pirlot.

punctele de intersecție ale ordonatelor acestor două frecvențe cu spectrul reprezintă acum linia de bază, cu care se procedează ca și în cazul precedent.

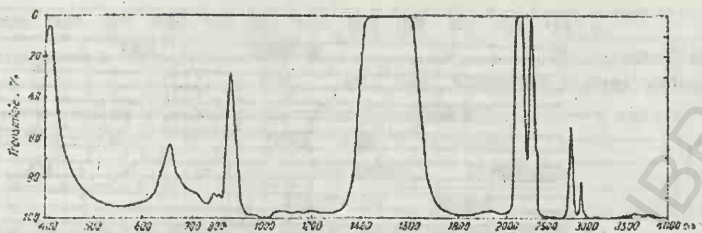
Metoda liniei de bază se folosește și în cazul analizei amestecurilor formate din mai multe componente lichide sau solide. Pentru ultimele este de

preferat să se găsească un solvent potrivit încât să se recurgă la analiza soluțiilor.

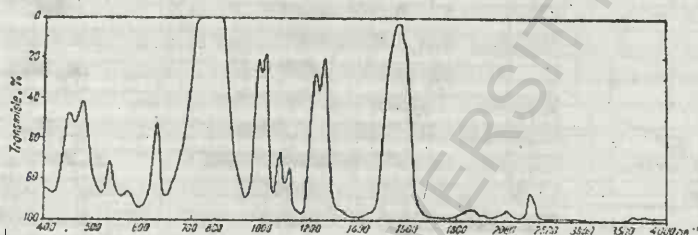
În fig. 12 se prezintă spectrele IR ale celor mai utilizați solvenți, iar în fig. 13 sunt redată schematic zonele în care pot fi utilizați câțiva dintre solvenții folosiți în infraroșu.

Din figura 13 se observă că apa, componenta principală a diverselor medii biologice, nu poate fi utilizată ca solvent decât într-un strat foarte subțire (sub 0,01 mm) și asta doar în anumite domenii ale spectrului. La astfel de grosimi ale stratului absorbant intensitatea semnalului obținut, utilizând metoda dispersivă, e prea mică pentru a se putea obține un spectru interpretabil. Acest inconvenient poate fi înlăturat însă dacă se utilizează o metodă nedispersivă cum ar fi spectroscopia IR cu transformată Fourier (FTIR) - vezi VIII.3.

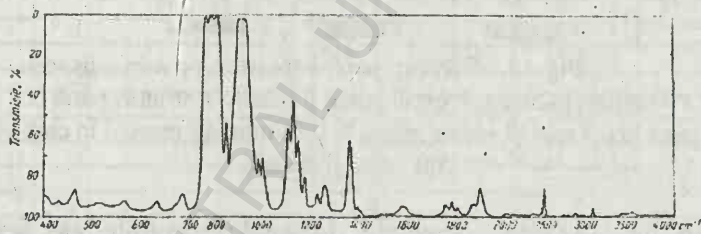
Utilizarea apei grele (D_2O) ca solvent permite investigarea benzilor de absorbție în domeniile în care nu poate fi utilizată apa obișnuită. Ca exemplu ar fi domeniul spectral $1500-1800\text{ cm}^{-1}$ unde sunt prezente benzile de valență (de alungire) ale grupelor $C=O$, $C=N$, $C=C$ și $-CO-NH-$, grupe comune multor tipuri de biomolecule cum ar fi nucleotidele, acizii nucleici, proteinele etc.



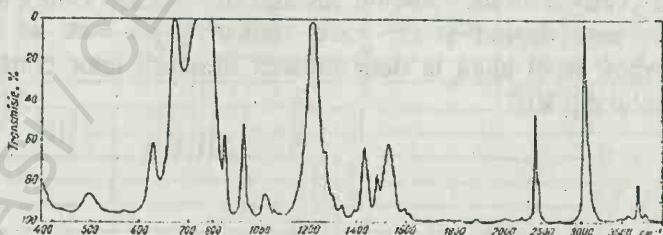
Spectrul infraroșu al sulfurii de carbon (grosimea stratului $l = 0,63$ mm)



Spectrul infraroșu al tetraclorurii de carbon ($l = 0,63$ mm).



Spectrul infraroșu al tetraclor-etilenei ($l = 0,11$ mm).



Spectrul infraroșu al cloroformului ($l = 0,11$ mm).

Fig. 12. Spectrele infraroșii ale celor mai utilizați solvenți.

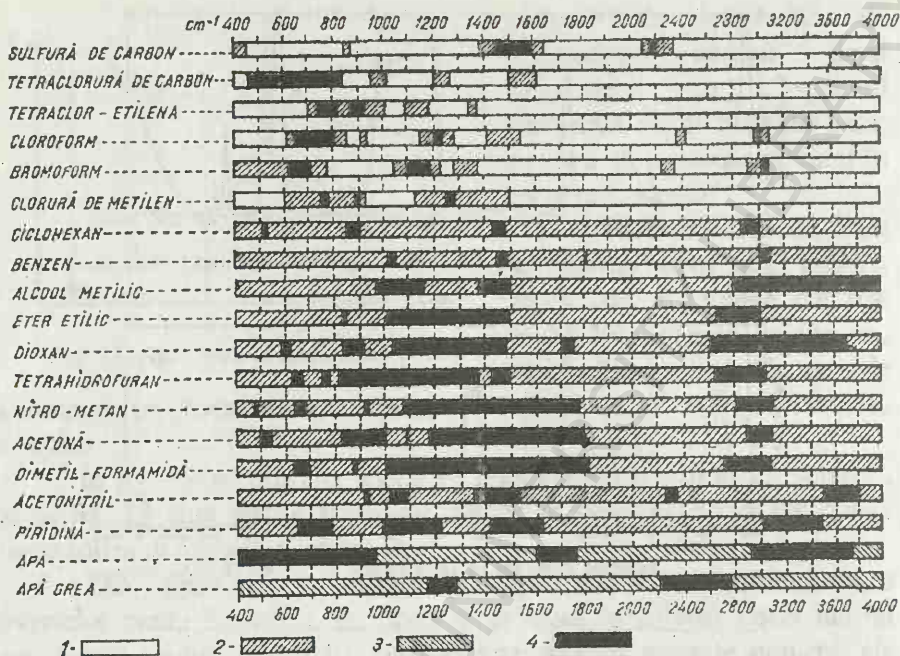


Fig. 13. Solvenți pentru spectroscopia în infraroșu.

1 - regiuni în care solventul poate fi folosit în straturi până la 1 mm; 2 - idem, până la 0,1 mm; 3 - idem, până la 0,01 mm; 4 - regiuni în care solventul nu poate fi folosit.

În fig. 14 sunt prezentate domeniile spectrale ale frecvențelor caracteristice de grup corespunzătoare diversilor radicali organici și anorganici (vorbind de un domeniu spectral fiindcă, așa cum s-a mai spus, aceste frecvențe depind și de restul moleculei cu care se leagă acel radical). Acest tabel ajută la determinarea structurii unor compuși puri - vezi exemplul din VIII.

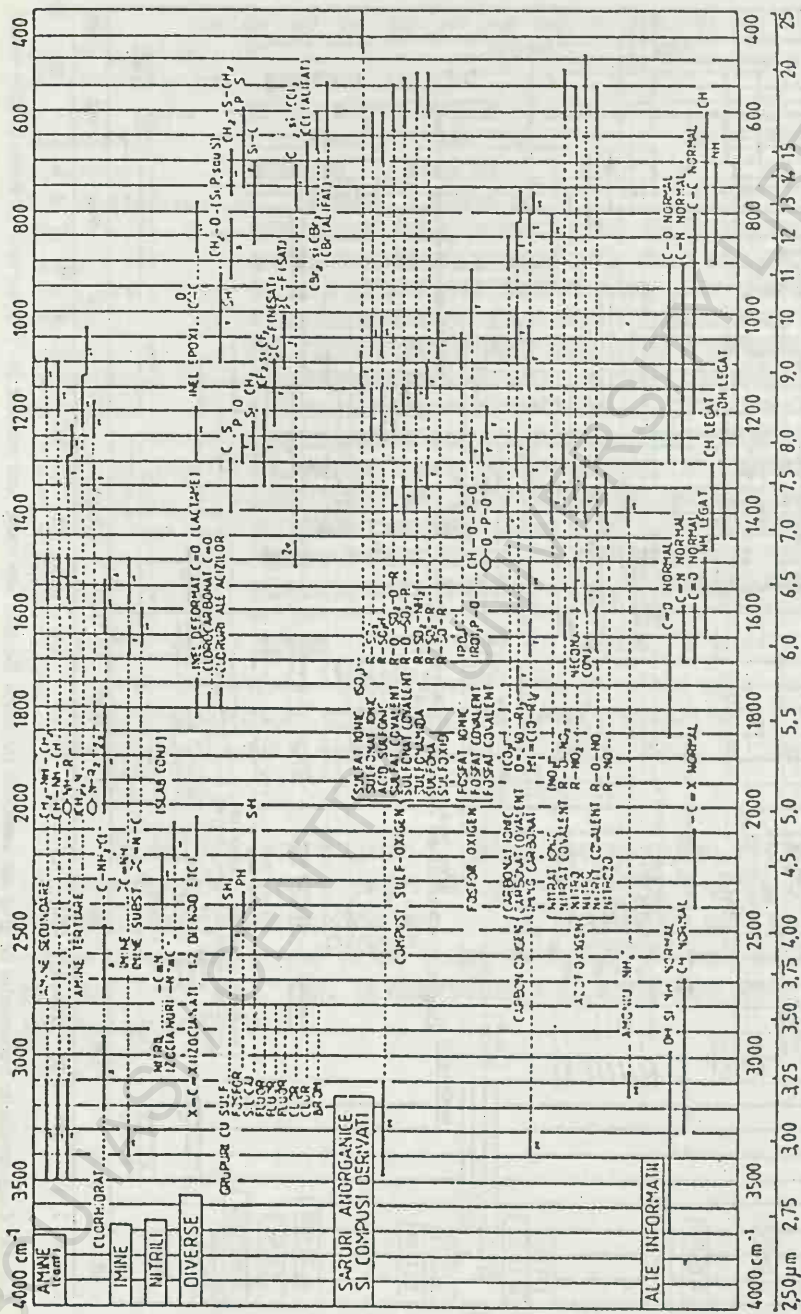


Fig. 14. continuare: Caracteristicile frecvențelor de grup din domeniul infraroșu. Benzile suprapuse sunt marcate 2 ν . T=benzi tari, M=benzi de înfățișare medie, S=benzi slabe

Pentru identificări rapide se poate recurge mai întâi la o listă de control ca aceea prezentată în tabelul 1.

Tabel 1. Listă de control preliminar pentru interpretarea datelor spectrale din infraroșu.

Spectrul		Indicații
1. Absorbție la: Se controlează:	2,5-3,2 μm a. 5,7-6,1 b. 5,9-6,7 c. 7,5-10,0 d. circa 15,0	Compuși O-H, N-H Acizi Amide (uzual două benzi) Compuși -O- Amine primare (spectru larg)
2. Absorbție clară la: Se controlează:	3,2-3,33 μm a. 5,0-6,0 b. 5,96-6,10 c. 6,10-6,90 d. 11,0-15,0	Olefine, aromatice Nuclee benzenoide (slab) Olefine Aromatice (două benzi) Aromatice (câteva benzi foarte tari)
3. Absorbție clară la: Se controlează:	3,35-3,55 μm a. 6,7-7,0 b. 7,1-7,4 c. 13,3-13,9	Alifatic -CH ₂ -, -CH ₃ -CH ₃ -(CH ₂) ₄ -
4. Două benzi slabe la: Se controlează:	3,4-3,7 μm 5,7-6,1	Aldehyde Aldehyde și cetone
5. Absorbția la:	4,0-5,0 μm	Acetilene, nitrili
6. Benzi tari și foarte clare: Se controlează:	5,4-5,8 μm 7,5-10,0	Esteri, halogenuri de acil (1 pic) Anhidride (2 picuri) Compuși -O-
7. Benzi tari și foarte clare la:	5,7-6,11 μm	Aldehyde, cetone și acizi
8. Benzi tari la:	7,5-10,0 μm	Compuși -O- (Notă: se pot confunda cu benzile scheletice)
9. Benzi tari la:	11,0-15,0 μm	Aromatice, cloruri

VIII.4. Tehnica înregistrării spectrelor IR de absorbție: metoda dispersivă.

Pentru a înțelege modul de înregistrare a spectrelor IR de absorbție prin metoda dispersivă vom analiza schema optică simplificată a spectrofotometrului UR20, mai des întâlnit în laboratoare, un aparat cu două fascicule (fig. 7).

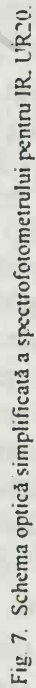
Sursa B de radiații utilizată este cunoscută sub denumirea de Global sau Silit. Ea constă dintr-o vergea de carbură de siliciu; partea centrală, având o lungime de câțiva centimetri și un diametru de 6-8 mm, constituie zona incandescentă, emițătoare de radiații. Între capetele vergelei, care sunt îngroșate și metalizate, se aplică o tensiune de 40 V, realizându-se un curent de 12-14 A, ceea ce duce la o încălzire a părții centrale la circa 1600 K.

Razele de lumină ce provin de la sursa B sunt trimise spre cele două cuve K_1 (cu soluția) și K_2 (cu solventul) cu ajutorul oglinzilor plane $P_1...P_4$ și a oglinzilor concave H_1 și H_2 .

Fasciculele de radiații ce ies din cuvele K_1 și K_2 sunt focalizate cu ajutorul oglinzilor concave H_3 și H_4 și a oglinzilor plane P_5 , P_6 și P_8 pe discul rotitor P_7 , acționat de motorușul M_1 . O jumătate a discului funcționează ca o oglindă (fiind argintată), cealaltă jumătate e transparentă.

Jumătatea „oglină” a discului preia razele ce vin de la cuva K_1 și le trimite, prin intermediul oglinzilor H_5 și P_9 pe diafragma de apertură AB, apoi pe preselectorul V_z , iar apoi lentila L_1 le focalizează pe fanta de intrare S_E a monocromatorului.

Preselectorul de radiație V_z constă dintr-o oglindă plană și două filtre de reflexie ce se interpun în drumul razelor, în funcție de domeniul numerelor de undă pentru care se înregistrează spectrul, și care servesc la micșorarea luminii parazite în domeniul spectral de lungimi de undă mari (numere de undă mici). Razele de lumină albă ce au intrat prin fanta S_E sunt trimise, în urma reflexiei pe oglinda plană P_{10} , pe oglinda colimator H_6 care le dirijează spre una din prismele P_r .



În urma traversării prisme și a dispersiei lor, razele se reflectă de oglinda Littrow P_{11} , trec din nou prin prismă și se reflectă apoi de oglinda concavă H_6 . Cu ajutorul oglinzii P_{12} , oglinda concavă H_6 formează spectrul în planul fantei de ieșire S_A . Fasciculul aproximativ monocromatic ce iese din această fantă cade, prin intermediul oglinzii plane P_{13} și a oglinzii plane P_{14} , pe oglinda concavă H_7 . Aceasta, împreună cu lentila L_2 , focalizează fasciculul pe termoelementul ThE.

Pentru a se putea înregistra absorbția radiațiilor de diferite lungimi de undă, produsă de substanța din cuva K_2 , pe termoelement trebuie să cadă radiații de diferite lungimi de undă. Pentru aceasta oglinda Littrow este rotită în jurul unui ax vertical astfel încât spectrul să defileze prin fața fantei de ieșire a monocromatorului. O mișcare uniformă în timp ar duce la o reprezentare neliniară a numerelor de undă, din cauza faptului că dispersia prismelor nu este constantă. Pentru liniarizare, mișcarea (rotirea) oglinzii Littrow este dirijată de un disc de ghidaj KL. Aceasta constă din trei profile care sunt calculate conform variației, cu lungimea de undă, a dispersiei celor trei prisme.

În timpul parcurgerii spectrului lărgimea fantelor S_E și S_A este modificată simultan de la un disc de ghidaj în așa fel încât, de-a lungul întregului spectru, intensitatea radiațiilor ce urmează să fie măsurată să rămână aproximativ constantă.

Deoarece discul cu oglinda P_7 se rotește mult mai repede decât oglinda Littrow P_{11} , pe termocuplul ThE vor cădea practic la intervale foarte scurte, radiații cu aceeași lungime de undă.; o dată radiații ce vin de la cuva K_1 și altă dată radiații ce vin de la cuva K_2 .

Termocuplul își mărește și își micșorează temperatura în ritmul rotirii oglinzii P_7 : razele ce trec prin solvent vor da o temperatură mai mare iar cele ce trec prin soluție o temperatură mai mică. La bornele termocuplului se obține astfel un semnal electric pulsatoriu, proporțional cu energia radiațiilor ce cad pe el, semnal ce este condus la dispozitivul V: un amplificator cuplat cu o serie de componente electronice de măsură și comandă precum și un detector de fază ce „informează” amplificatorul

de poziția în orice moment a oglinzii P_7 .

Semnalele electrice, proporționale cu I și I_0 (I - intensitatea radiațiilor ce au ieșit din cuva cu soluție, I_0 - intensitatea radiațiilor ce au ieșit din cuva cu solvent) sunt măsurate printr-o metodă de zero utilizându-se un așa numit nul optic, constând dintr-o diafragmă de o formă specială, (Bl_1). În funcție de raportul celor două semnale electrice (și al raportului intensităților $\frac{I}{I_0}$) motorășul reversibil M_4 , comandat de

la blocul V, va modifica lărgimea diafragmei Bl_1 , mișcând simultan și penița înregistratorului. Înscrierea spectrului este posibilă prin faptul că hârtia înregistratoare este deplasată de același motorăș M_5 , care rotește și discul de ghidaj KL.

Mutarea (fixarea) peniței înregistratorului pe linia corespunzătoare unei transmisii $T = 100\%$, se face cu ajutorul diafragmei de corecție Bl_2 , asta în cazul când în calea celor două fascicule sau nu se află nici una din cuve, sau se află cuvele goale (cuve identice).

Deoarece multe din componentele optice ale spectrofotometrului sunt realizate din substanțe higroscopice (prisme, lentilele de proiecție, ferestrele) aparatul este prevăzut cu o instalație de climatizare, cu uscarea și termostatarea aerului, care trebuie să funcționeze tot timpul.

VIII.5. Probleme practice de laborator.

VIII.5.1. Exemplu pentru determinarea structurii unui compus necunoscut (pur) utilizând spectrul IR de absorbție.

Vom analiza următoarea problema practică: „O probă necunoscută nu prezintă absorbție în domeniul ultraviolet (până la 40.000 cm^{-1}) și nici în domeniul vizibil. Spectrul său în infraroșu este prezentat în fig. 15. Ce concluzie se poate trage despre structura substanței necunoscute din aceste informații ?”

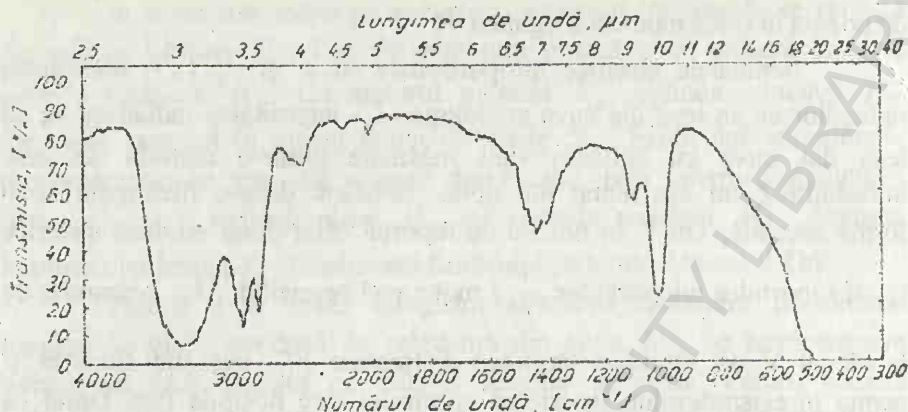


Fig. 15. Spectrul în infraroșu al compusului necunoscut.

În urma consultării listei de control preliminar prezentată în tabelul 1 (VIII.4), datele obținute s-au sintetizat în tabelul 2.

Tabelul 2. Interpretarea preliminară a spectrului din fig. 15.

Spectrul (vezi fig. 15)	Control (μm)	Indicații
1. Bandă largă la $3 \mu\text{m}$ Nu are loc absorbția Nu are loc absorbția $9,8 \mu\text{m}$ $16 \mu\text{m}$	5,7-6,1 5,9-6,7 7,5-10,0	OH sau NH (legătură de hidrogen) Nu este un acid Nu este o amidă Posibil -O- Posibil amină primară (-NH ₂)
2. Nu are loc absorbția	3,2-3,33	Nu este nesaturat Nu este aromatic
3. Banda de $3,4$ și $3,55 \mu\text{m}$ Banda $\sim 7,0 \mu\text{m}$ $7,0 \mu\text{m}$ Nu are loc absorbția	7,1-7,4 13,3-13,9	Alifatic C-H Nu -CH ₂ - sau CH ₃ CH ₃ Nu -(CH ₂) ₄ -

Tabel 2, continuare.

4. Nu sunt benzi slabe la 3,4-3,7 μm Nu are loc absorbția	5,7-6,1	Nu este aldehydă sau cetonă
5. Nu are loc absorbția	4,0-5,0	Nu este acetilenă sau nitril
6. Nu are loc absorbția	5,4-5,8	Nu este ester, nu are grupuri halogenate
7. Nu are loc absorbția	5,7-6,1	Nu aldehide, cetone, acizi
8. Banda 9,8 μm		-O- alcool, eter
9. Nu are loc absorbția	11,0-15,0	Nu aromatice, cloruri

Pe baza datelor din tabelul 2 se poate trage concluzia că specia moleculară conține gruparea CH, probabil sub formă CH_3 și un grup OH sau NH_2 , legat printr-o legătură de hidrogen. Pentru a face diferența între NH și OH, urmărind fig. 15 se observă că NH și OH există în următoarele domenii de lungimi de undă (μm):

NH	O-H (primar)
2,6-3,3	2,6-3,3
5,7-6,3	6,8-7,3
7,7-11,4	7,4-7,8
11,4-14,5	9,5-10

Datele de mai sus ne arată că spectrul obținut se potrivește mai mult cu cel al unui alcool primar decât cu cel al unei amine primare. Se poate trage concluzia că molecula aparține unui alcool primar saturat.

Din păcate, datele de mai sus nu sunt suficiente pentru stabilirea structurii exacte a moleculei, fiind necesare o serie de date adiționale. Se poate recurge la următoarele date relative la compusul necunoscut:

- masa moleculară: 33,03
- punctul de fierbere: $64,7^{\circ}\text{C}$
- starea fizică: lichid clar la temperatura camerei
- analiza chimică a elementelor:

C=37,5%

H=12,6%

O=49,9%

100%

- formula empirică: CH_4O .

Din aceste date adiționale reiese că molecula studiată este o moleculă de metanol.

Obs. În cazul spectrofotometrelor pentru IR moderne „căutările” ca cele de mai sus sunt efectuate de calculatorul anexat aparatului, în memoria căruia sunt introduse, sau mai pot fi introduse, datele necesare identificării structurii compușilor chimici.

VIII.5.2. Determinarea concentrației de alcool etilic (ca „impuritate”) din tetraclorura de carbon.

În spectrele de infraroșii, din domeniul $3100\text{-}3800\text{cm}^{-1}$, ale soluțiilor diluate de alcool etilic în tetraclorura de carbon (de concentrații sub 1M/l), apare atât banda ν_{OH} corespunzătoare monomerului cât și banda ν_{OH} corespunzătoare legării mai multor molecule de alcool prin legături de hidrogen (fig. 16; spectrul a fost înregistrat luându-se în ordonată extincția E). Curba punctată corespunde alcoolului pur.

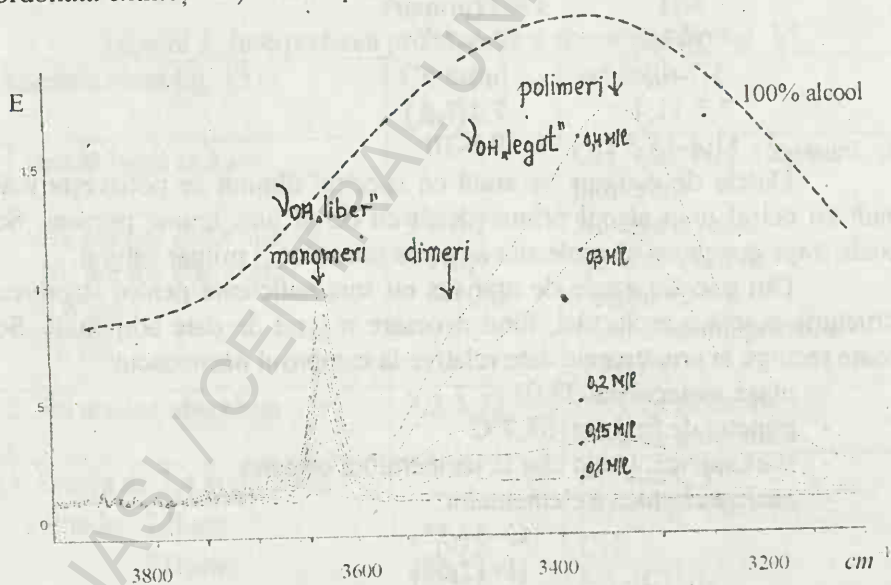


Fig. 16. Spectrele infraroșii, din domeniul $3100\text{-}3800\text{cm}^{-1}$, al soluțiilor de alcool etilic în CCl_4 . Pe curbe s-a trecut concentrația alcoolului.

În fig. 17 se prezintă variația intensității celor două benzi în funcție de concentrații alcoolului: a) în cazul monomerului, b) în cazul

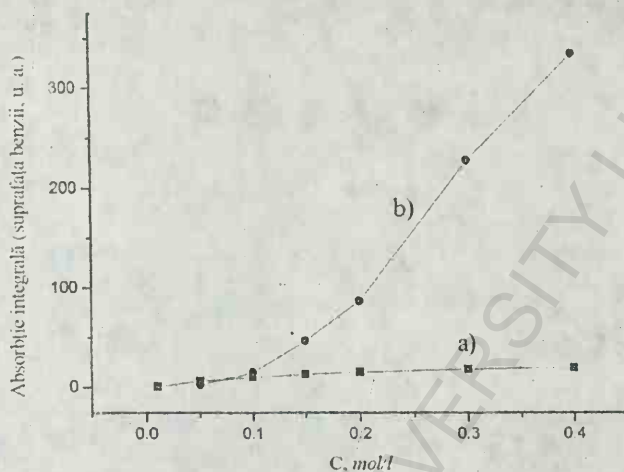


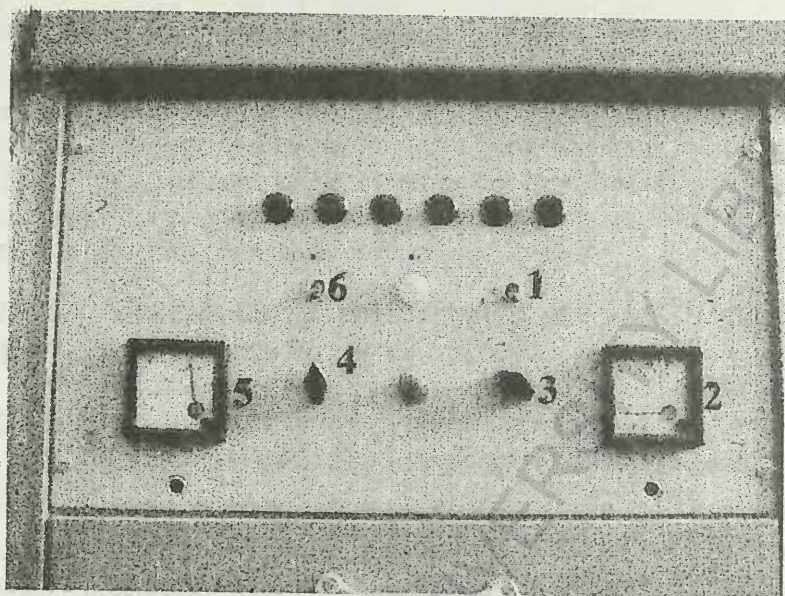
Fig. 17. Intensitatea benzii ν_{OH} (exprimată în unități arbitrare) în funcție de concentrația alcoolului: a) în cazul monomerului, b) în cazul complexului

complexului. Se observă că dependența b), cu toate că nu e liniară, e foarte potrivită pentru determinări de concentrații mici ale alcoolului solvit în tetraclorura de carbon, adică pentru stabilirea purității tetraclorurii de carbon în ce privește urmele de alcool etilic.

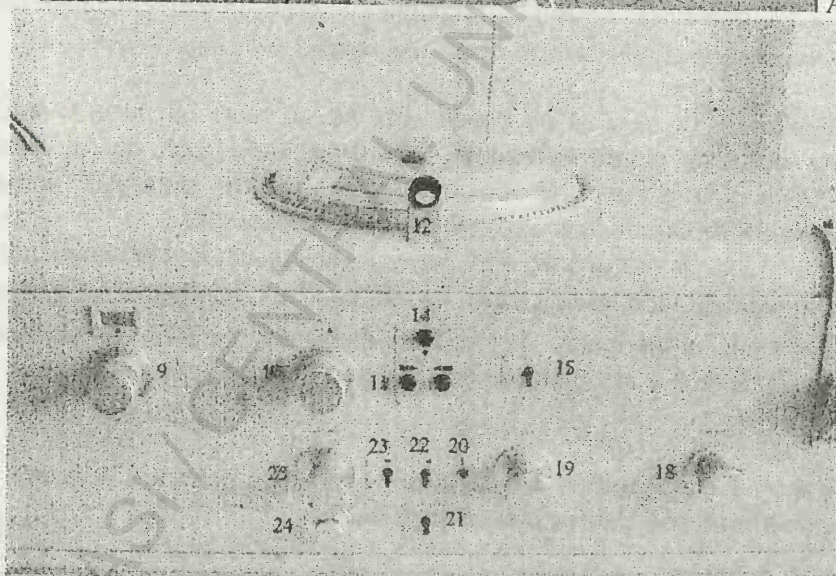
Obs. Și urmele de apă din solvenți ca tetrahidrofuranul pot fi determinate în mod asemănător, banda ν_{OH} a complexului pentru apă fiind situată aproximativ în același domeniu spectral ca și banda corespunzătoare a alcoolului etilic, domeniu în care tetrahidrofuranul nu absoarbe.

VIII.6. Cele mai importante reguli pentru lucrul la spectrofotometrul pentru infraroșu UR-20.

În fig. 15 se prezintă cele trei „panouri” cu comenzile spectrofotometrului UR-20, iar în fig. 16 se prezintă locașul pentru hârtia de înregistrare. S-au numerotat doar comutatoarele (butoanele) ce trebuie acționate.



A)



B)

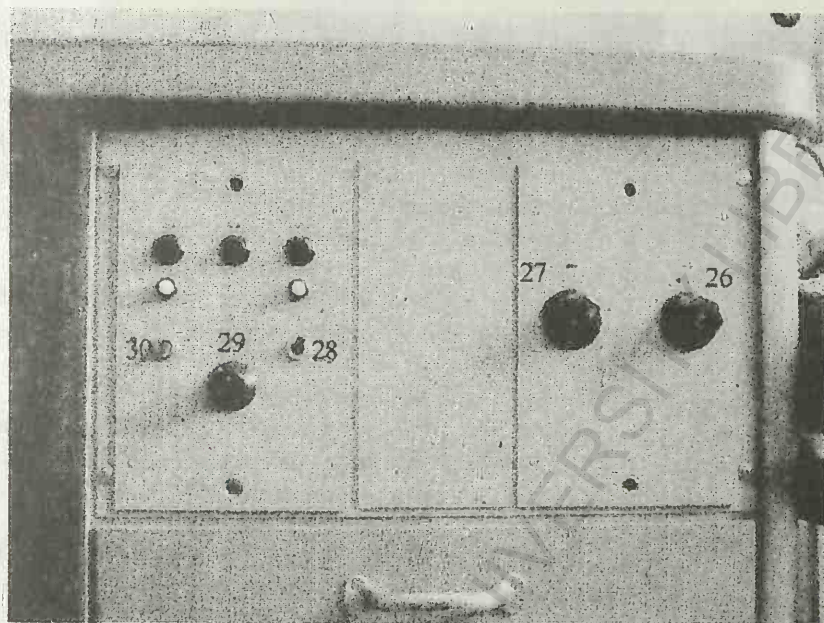


Fig. 15.

1. Se cuplează sistemul de răcire al sursei de radiații.
2. Cu tamburul (9), panou B, se stabilește o anumită lățime a fanțelor, punându-l la început pe diviziunea 8, ce corespunde fanței maxime.
3. Cu tamburul (16), panou B, se aduce mecanic acul inscripțorului în poziția 100 (transmisie 100%)

4. Tamburul (25), al vitezei de parcurgere a spectrului, panou B, se pune pe treapta maximă: $400 \text{ cm}^{-1}/\text{min}$. În total sunt 12 trepte de viteză, între $0,4 \text{ cm}^{-1}/\text{min}$ și $400 \text{ cm}^{-1}/\text{min}$.
5. Comutatorul (23), panou B, ce indică sfârșitul de program să fie trecut în poziția de jos.
6. Comutatorul (20), panou B, ce comandă schimbarea automată a preselectorului de radiație, în

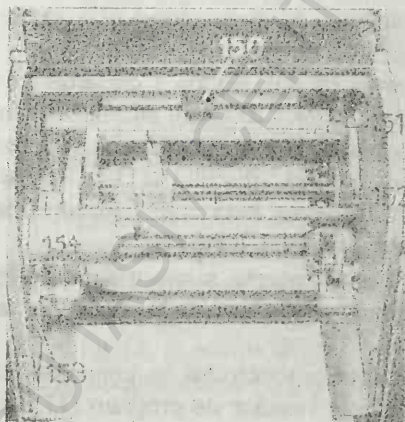



Fig. 16

- funcție de domeniul spectral în care se înregistrează spectrul, să fie trecut pe poziția de sus, = I –
7. Tamburul (18), panou B, ce permite modificarea vitezei de deplasare a hârtiei, se pune pe o treaptă de mijloc (de exemplu 3). Numerele de pe tamburul (18) dau lungimea hârtiei (în mm) necesară pentru înregistrarea unui domeniu spectral de 100 cm^{-1} .
 8. Tamburul (24), panou B, ce permite micșorarea de 10 ori a vitezei de parcurgere a spectrului (în poziția 0,1) se trece pe poziția 1.
 9. Comutatorul (21), panou B, care în poziția de sus poate declanșa efectuarea unor marcaje pe hârtia înregistratoare din 10 în 10 cm^{-1} , se trece în poziția de jos.
 10. Comutatorul (29) al constantei de timp, panou C, se pune pe poziția 1. În acest caz constanta de timp are valoarea cea mai mică, fiind recomandată pentru înregistrări rapide. La înregistrări mai încete, pentru amortizarea „zgomotelor” se va mări constanta de timp (poz. 2 și 3).
 11. Comutatorul (28), panou C, ce cuplează dispozitivul de întârziere, se pune în poziția I (cuplat). Acest dispozitiv micșorează viteza de parcurgere a spectrului când diafragma de măsură și penița nu pot urmări cu suficientă viteză variațiile de transparență ale probei.
 12. Acționând în sus clapele (150) și (152), fig. 16, se ridică penița înregistratoare cât și sistemul de antrenare al hârtiei, apoi acționând în sus și clapa (153), fig. 16, se ridică și tamburul ce permite înregistrarea scării numerelor de undă. Aceste operații se execută pentru a nu se face înregistrări în timpul verificărilor.
 13. Se cuplează spectrometrul cu ajutorul întrerupătorului (15), panou B, punându-l pe poziția , având grijă ca comutatorul (22) să fie în poziția de jos.
 14. Se trece comutatorul (22) în poziția de sus pentru a declanșa rotirea discului (117) (panou B) cu scara numerelor de undă, cu viteza stabilită la punctul 4, pentru a fixa frecvența de început a spectrului (înregistrarea spectrului, deci și rotirea discului (117) cu scara numerelor de undă se face de la frecvențe mici spre frecvențe mari). Pentru citirea frecvenței se utilizează lupa (12), panou B.
 15. Pentru aducerea rapidă a frecvenței de început a spectrului în dreptul reperului lupei se pot utiliza butoanele (11), panou B, de „mers rapid înainte” și „mers rapid înapoi”.
 16. În urma fixării frecvenței de început a spectrului se comută (22) în poziția de jos. Se are grijă ca clemele selector de program (13) de pe

discul (117) să fie trase spre exterior în domeniile spectrale pe care vrem să înregistrăm spectrul. În domeniile spectrale în care clemele sunt introduse în interior aparatul nu va înregistra spectrul, declanșându-se mișcarea rapidă a roții.

17. Se aduce vârful indicator (118), de pe discul (117), la numărul de undă maxim al domeniului spectral în care vrem să facem înregistrarea spectrului și se conectează întrerupătorul basculant „sfârșit de program” (23), panou B.
18. Se conectează alimentarea sursei de radiații IR (bastonașul de silitră) acționând comutatorul 1, panou A, în poziția I, de sus.
19. Cu potențiometrul (3), panou A, se stabilește un curent convenabil de încălzire a bastonașului de silitră, curent citit pe ampermetrul (2). Se recomandă treapta 1 sau 2 a potențiometrului 3.
20. Se conectează instalația de amplificare acționând ștecherul (30), panou C, în poziția I, de sus.
21. Cu ajutorul potențiometrului (27) al amplificării grosiere și al potențiometrului (26) al amplificării fine (panou C) se stabilește valoarea optimă a amplificării - o amplificare ceva mai mică decât aceea ce ar face ca acul indicator al inscriptorului să oscileze (să „vibreze”).
22. În situația când în ambele fascicule de radiații nu este nici o cuvă, cu tamburul (10), panou B, se aduce acul inscriptorului la diviziunea 100 (nu se mai umblă la tamburul (16)).
23. Cu ajutorul tamburului (19), panou B, se stabilește, în funcție de viteza de parcurgere a spectrului (fixată al punctul 4), timpul de deplasare a acului indicator de la diviziunea 0 la diviziunea 100 (transmisă 100%). Valorile posibile ale acestui timp sunt de 4, 16 și 64 s. Pentru viteza maximă de $400 \text{ cm}^{-1}/\text{min}$ se va fixa timpul minim, de 4 s. Timpul maxim, de 64 s, se recomandă la viteza cea mai mică, de $0,4 \text{ cm}^{-1}/\text{min}$. Se recomandă verificarea timpului de 4 s, în situația când nu s-au montat cuvele. Se procedează astfel: se închide diafragma din calea radiaților ce urmează să treacă prin cuva cu soluție, situație în care penița înregistratoare trebuie să „coboare” la diviziunea 0 (transmisie 0 %). Se deschide apoi această diafragmă și se măsoară timpul necesar ajungerii peniței la diviziunea 100.
24. Se pregătește înregistrarea spectrului acționând clapele (153) și (152), fig. 15, în poziția de jos.
25. Înregistrarea spectrului va începe dacă se comută (22) în sus.

26. Înregistrarea spectrului se va întrerupe automat când se ajunge la frecvența maximă, fixată la pct. 17, declanșându-se o sonerie. Pentru oprirea soneriei se acționează întrerupătorul (23), panou B.
27. La terminarea înregistrărilor se închid (15) și (30), apoi (27) se trece pe poziția de zero.
28. Se trece potențimetrul (3) pe poziția 1 și se închide alimentarea sursei, trecând comutatorul (1) în poziția de jos.
29. Se oprește sistemul de răcire al sursei de radiații.

Atenție. Să nu se decupleze niciodată instalația de climatizare, adică comutatorul (6) să rămână în poziția de sus, iar (4) să fie în poziția I, astfel ca voltmetrul (5) să indice tensiunea rețelei (220V).

VIII.7. Spectroscopia IR cu transformată Fourier (FTIR).

Până acum am discutat așa-numita spectroscopie IR dispersivă, cea mai utilizată în prezent în majoritatea laboratoarelor din țara noastră. După cum îi și spune și numele, elementul de bază a unui aparat ce utilizează metoda dispersivă este monocromatorul.

În ultimele decenii s-a dezvoltat o altă tehnică, aplicată în special pentru spectroscopia IR, Raman și RMN, ce nu utilizează monocromatoare, în care se înregistrează simultan toate radiațiile (adică un întreg domeniu de frecvențe), fie cele emise de o sursă, fie cele ce ies dintr-o substanță absorbantă. Se vorbește de o multiplexare Fourier. Termenul de multiplexare vine din teoria comunicațiilor, unde acesta indică faptul că un anumit set de informații este transportat simultan printr-un singur canal.

Numele lui Fourier e pomenit deoarece semnalul obținut necesită o prelucrare matematică complicată, utilizând analiza Fourier (integralele lui Fourier). Din acest motiv spectroscopia FTIR s-a dezvoltat relativ târziu (cu toate că bazele ei teoretice s-au pus încă din secolul XIX), o dată cu perfecționarea mijloacelor de calcul.

O altă caracteristică a acestui tip de spectroscopie este aceea că semnalele (radiațiile electromagnetice) nu sunt înregistrate în scara Intensitate-frecvență (I, ν), ca în spectroscopia tradițională, ci în scara Intensitate-timp (I, t). Pentru a se face astfel de înregistrări (simultan a

tuturor frecvențelor) trebuie să se realizeze o suprapunere a componentelor monocromatice ale semnalelor, adică o interferență a lor. Iar pentru realizarea interferenței, radiațiile (unde) respective trebuie să fie coerente.

Fie două unde coerente având frecvențele apropiate – una din ele de frecvență ν_1 și cealaltă de frecvență ν_2 . În fig. 17(a) se prezintă graficul variației cu timpul a puterii $P(t)$ a radiației, separat pentru fiecare din cele două unde.

Astfel de curbe (spectre) nu pot fi obținute în mod experimental cu radiațiile utilizate în spectroscopie (având frecvențe de ordinul a 10^{15} Hz pentru UV-VIS și de 10^7 Hz în cazul RMN), deoarece nu există receptori care să urmărească variațiile atât de rapide ale puterii P , mărime ce caracterizează intensitatea I a radiației.

În fig. 17 (b) este redată situația când cele două unde acționează împreună iar în figurile 17(c), (d) și (e) se indică reprezentarea spectrelor radiațiilor în scara frecvențelor, așa cum se obișnuiește în spectroscopie.

Trecerea de la spectrul din scara frecvențelor la cel din scara timpului, sau invers, este o problemă matematică complicată ce utilizează analiza Fourier. În cazul simplu al unei radiații ce conține doar două componente monocromatice ν_1 și ν_2 , spectrul de tip b) se poate obține din spectrul e) utilizând relația:

$$P(t) = k(\cos 2\pi\nu_1 t + \cos 2\pi\nu_2 t).$$

Pentru a se obține spectre în funcție de timp este nevoie de o metodă de a converti (sau de a modula) semnalul de frecvență înaltă într-un semnal de frecvență convenabilă, astfel ca el să poată fi măsurat; această ultimă frecvență trebuind evident să fie proporțională cu cea originală.

Se utilizează diverse metode de modulare a semnalelor pentru diferite domenii ale spectrului undelor electromagnetice. În domeniul optic al spectrelor (deci și în IR) este utilizat în special interferometrul Michelson.

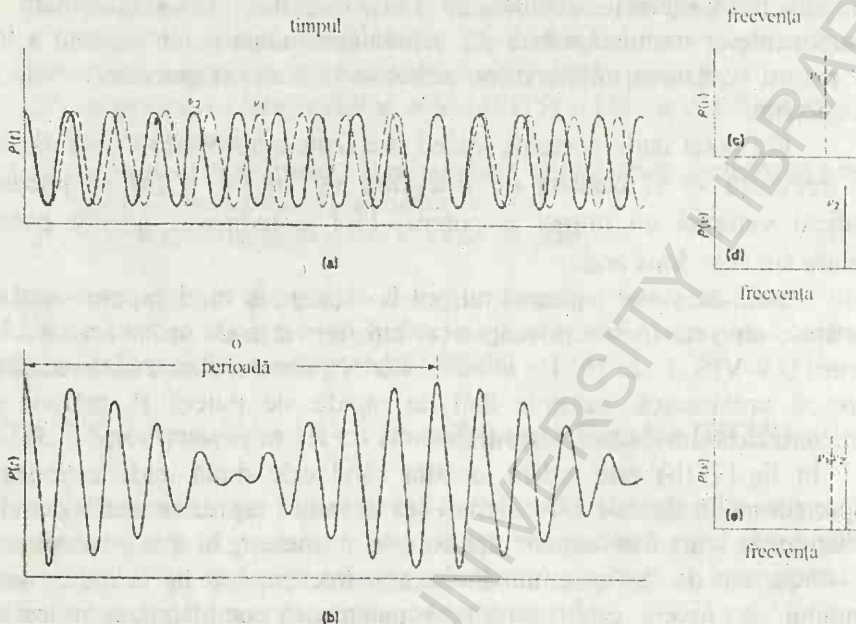


Fig.17. Ilustrarea variației puterii $P(t)$ în funcție de timp : (a), (b) și în funcție de frecvență : (c), (d) și (e).

Să analizăm utilizarea interferometrului Michelson în cazul când sursa emite radiații monocromatice de lungime de undă λ . Schema montajului experimental este prezentată în fig. 18.

În poziția inițială, O, a oglinzii mobile distanța M dintre aceasta și oglinda (semitransparentă) divizoare este egală cu distanța F dintre aceeași oglindă divizoare și oglinda fixă. În acest caz se va obține un maxim de interferență, adică un curent maxim în detector.

Deplasând oglinda O pe o anumită distanță d , paralel cu ea însăși, diferența de drum între fascicule care interferă va fi:

$$\delta = 2(M - F) = 2d.$$

Maximele de intensitate din detector se vor obține când:

$$\delta = n\lambda,$$

iar minimele pentru:

$$\delta = \left(n + \frac{1}{2} \right) \lambda, \quad n = 0, 1, 2, \dots$$

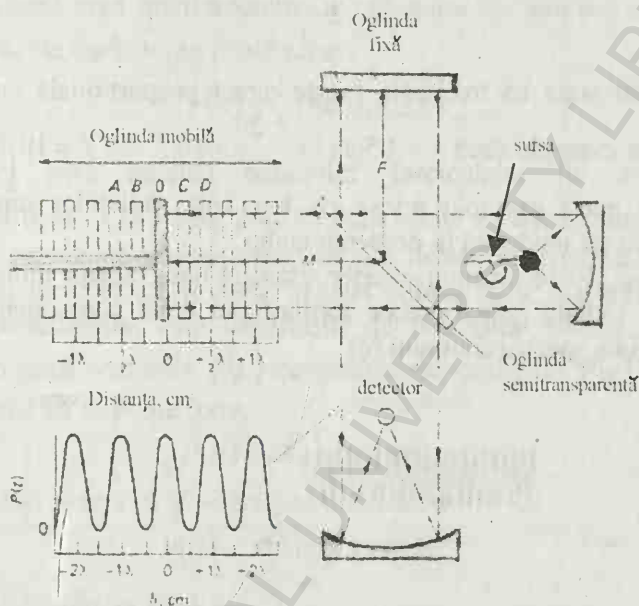


Fig. 18. Reprezentarea schematică a utilizării interferometrului Michelson pentru înregistrarea spectrului unei radiații monocromatice, în coordonate intensitate (putere)-timp.

Dacă oglinda mobilă se deplasează cu o viteză constantă, v , atunci: $d = vt$, adică: $\delta = 2vt$.

Când $\delta = \lambda$, detectorul va semnaliza maximum de interferență de ordinul 1 ($n=1$). Astfel, perioada T a semnalului din detector se va obține din relația: $\delta = \lambda = 2vT$, adică:

$$T = \frac{\lambda}{2v}$$

Frecvența f a semnalului din detector (a interferogramei) va fi:

$$f = \frac{1}{T} = \frac{2v}{\lambda} = 2v\bar{\nu}$$

Ținând seama că $\lambda = \frac{c}{\nu}$, se obține următoarea legătură (relație) dintre frecvența optică a radiațiilor și frecvența f a interferogramei:

$$f = \frac{2\nu}{c} \nu,$$

relație ce ne arată că frecvența f este direct proporțională cu frecvența optică ν . De exemplu dacă $\nu = 1,5 \text{ cm/s}$, $\frac{2\nu}{c} = 10^{-10} \Rightarrow f = 10^{-10} \nu$.

Din acest exemplu reiese că frecvența radiațiilor din domeniul vizibil și IR este modulată în domeniu audio.

În fig. 19 se prezintă interferogramele unei radiații monocromatice (a), a unei radiații policromatice formate din două componente (b) și a unei radiații cu spectru continuu (c).

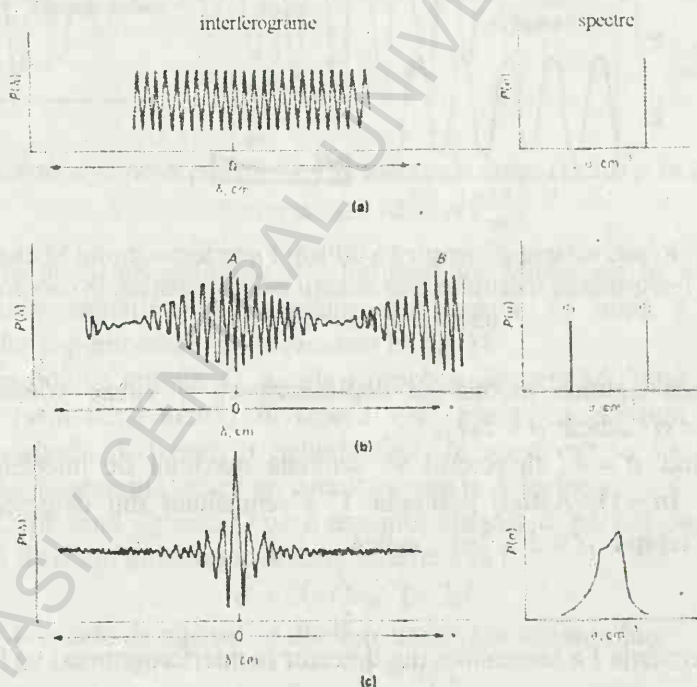


Fig.19. Compararea interferogramelor cu spectrele optice.

Să vedem, în continuare, cum se realizează transformarea Fourier a interferogramelor, adică cum se poate obține spectrul propriu-zis din aceste interferograme.

În cazul unei interferograme a radiațiilor de lungime de undă $\bar{\nu}$, sau de număr de undă $\bar{\nu}$, se poate scrie:

$$P(\delta) = \frac{1}{2} P(\bar{\nu}) \cos 2\pi f t,$$

unde $P(\bar{\nu})$ este puterea radiațiilor fasciculului IR incident pe interferometru iar $P(\delta)$ este puterea semnalului interferogramei. Ecuația de mai sus reprezintă un caz ideal, aceasta deoarece divizorul nu împarte fasciculul incident exact în două; în plus trebuie să se mai țină seama că răspunsul detectorului este dependent de frecvență. Pentru aceasta se introduce o nouă variabilă $B(\bar{\nu})$ ce arată dependența lui $P(\bar{\nu})$ de factorii amintiți, astfel că se poate scrie:

$$P(\delta) = B(\bar{\nu}) \cos 2\pi f t.$$

Ținând seama că $f = 2\nu\bar{\nu}$, se poate scrie:

$$P(\delta) = B(\bar{\nu}) \cos 2\pi 2\nu\bar{\nu} t.$$

Dar: $\nu = \frac{\delta}{2t}$, astfel că se obține:

$$P(\delta) = B(\bar{\nu}) \cos 2\pi\delta\bar{\nu},$$

relație ce ne arată dependența magnitudinii interferogramei de diferența de drum δ (sau de timpul t , ținând seama că $\delta = 2\nu t$) și de frecvența semnalului optic incident.

În cazul interferogramei (b) din fig. 19 putem scrie:

$$P(\delta) = B_1(\bar{\nu}) \cos 2\pi\delta\bar{\nu}_1 + B_2(\bar{\nu}) \cos 2\pi\delta\bar{\nu}_2$$

Pentru o sursă cu spectru continuu, ce dă interferograma (c), vom avea:

$$(1) \quad P(\delta) = \int_{-\infty}^{+\infty} B(\bar{\nu}) \cos 2\pi\delta\bar{\nu} d\bar{\nu}.$$

Să ne referim, în continuare, la interferograma (c). Pentru a se obține din aceasta spectrul optic este nevoie de-a evalua transformata

Fourier a integralei (1), conform relației:

$$(2) \quad P(\bar{\nu}) = \int_{-\infty}^{+\infty} B(\delta) \cos 2\pi \bar{\nu} \delta_{\text{m}} d\delta$$

Astfel, spectroscopia IR cu transformată Fourier constă în înregistrarea mărimii $P(\delta)$ în funcție de δ (ecuația (1)) și transformarea matematică a acestei dependențe pentru a da pe $P(\bar{\nu})$ în funcție de $\bar{\nu}$ (ecuația (2)).

După cum arată relația (2), pentru a obține o reprezentare perfectă a spectrului, interferograma ar trebui înregistrată prin deplasarea oglinzii mobile pe o distanță infinită. În practică, totuși, deplasarea trebuie limitată la o valoare finită, d_{max} , astfel că:

$$P'(\bar{\nu}) = \int_{-d_{\text{max}}}^{+d_{\text{max}}} B(\delta) \cos 2\pi \bar{\nu} \delta_{\text{m}} d\delta \neq P(\bar{\nu})$$

Prin această limitare a deplasării, toate trăsăturile interferogramei care sunt situate în afara intervalului $(-d_{\text{max}}, +d_{\text{max}})$ sunt suprimate. Pentru ca efectul acestei trunchieri a interferogramei asupra spectrului să fie cât mai redus, porțiunea rămasă din interferogramă se corectează printr-un procedeu numit apotizare. Pentru aceasta se înmulțește $B(\delta)$ cu o funcție de retardare (de apotizare) potrivit aleasă.

Trebuie specificat faptul că unul din efectele cele mai importante ale trunchierii interferogramei este înrăutățirea rezoluției, deoarece puterea de rezoluție $\Delta \bar{\nu}$ este dată, cu aproximație, de relația:

$$\Delta \bar{\nu} \cong \frac{1}{d_{\text{max}}}$$

Astfel, pentru a obține o rezoluție de $0,5 \text{ cm}^{-1}$, este suficientă o deplasare maximă de 2 cm, pe când pentru atingerea unei rezoluții înalte, de $0,01 \text{ cm}^{-1}$ de exemplu, oglinda mobilă trebuie deplasată pe o distanță de cel puțin 100 cm, în jurul poziției pentru care $\delta=0$.

Dacă în drumul unuia din cele două fascicule coerente se interpune proba, o substanță care absoarbe anumite componente ale radiației policromatice provenite de la sursa de radiații IR (sursă cu spectru continuu), aspectul interferogramei va fi diferit de acela al

interferogramei obținute în absența substanței. Transformata Fourier a acestei noi interferograme ne va da spectrul de absorbție al substanței. Dacă substanța este dizolvată într-un solvent, din spectrul soluției (substanță+solvent+geamurile cuvei) trebuie să se scadă spectrul solventului și al geamurilor, adică e nevoie să se înregistrează și interferograma: solvent+cuvă.

Cazul discutat ar corespunde unui spectrofotometru cu un singur fascicul. S-au construit și spectrofotometre FTIR cu două fascicule care constau de fapt din două interferometre, având în comun oglinda mobilă.

Să vedem în continuare care sunt principalele avantaje ale utilizării spectrofotometrelor FTIR.

a) Un prim avantaj este creșterea raportului semnal-zgomot, în condițiile în care zgomotul este datorat doar detectorului (care este cuplat și cu un amplificator), în care caz acesta (zgomotul) este un proces aleator. Se știe că pentru a se crește raportul semnal-zgomot, când intervin procese aleatoare, e nevoie să se facă mai multe determinări (n) astfel că vom putea scrie:

$$\frac{S}{Z} = \frac{S_n}{Z_n} \sqrt{n} ,$$

unde S_n și Z_n sunt media semnalului și a zgomotului.

În cazul spectrofotometrelor IR dispersive înregistrarea unui spectru durează destul de mult, un timp de ordinul a mai multor minute, astfel că repetarea măsurătorilor ar dura foarte mult. Înregistrarea unei interferograme cât și prelucrarea ei matematică durează mult mai puțin. Din acest motiv în timpul T , cât se înregistrează un spectru IR prin metoda dispersivă, se pot înregistra N interferograme. Deci pe durata T raportul S/Z e mai mare în cazul utilizării spectrofotometriei FTIR de \sqrt{N} ori. Acest avantaj a primit denumirea de avantajul Fellgett.

b) Se știe că în cazul spectrofotometrelor dispersive prezența fantelor limitează drastic puterea radiantă ce ajunge la detector. Deoarece în spectrofotometrele FTIR nu există fante, puterea radiantă ce ajunge la detector va fi mult mai mare, astfel că se pot utiliza și surse slabe de radiații, cum ar fi de exemplu stelele.

Acest avantaj a primit denumirea de avantajul Jacquinot. El a fost

sesizat pentru prima dată de astronomi, încă din secolul XIX, dar complexitatea (greutatea) prelucrării matematice a interferogramelor a întârziat aplicarea acestei tehnici. Ea a început să se aplice o dată cu crearea calculatoarelor electronice.

c) Deoarece majoritatea spectrofotometrelor FTIR moderne sunt prevăzute cu posibilitatea unui control riguros al poziției oglinzii mobile, utilizând în acest scop un laser, se mărește apreciabil precizia cu care se măsoară numerele de undă. Această facilitate a primit denumirea: „avantajul Connes”.

Tot ce s-a prezentat în acest paragraf se referă doar la o nouă tehnică de înregistrare a spectrelor IR, așa că tot ce s-a expus în paragrafele VIII.2 și VIII.3 relativ la prepararea probelor, alegerea solvenților și efectuarea analizelor rămâne valabil și în cazul utilizării acestei tehnici.

Cap.IX. Analiza spectrală utilizând spectrele electronice moleculare de absorbție și emisie din ultravioletul apropiat și vizibil (UV-VIS).

IX.1. Stările energetice ale moleculelor organice poliatomice.

Ne vom referi doar la compușii organici (formați în principal din atomi de C și H) deoarece aceștia au spectre electronice în domeniile ultraviolet apropiat (mergând până la 2000 Å) și vizibil, domenii în care lucrează majoritatea aparatelor utilizate în scopuri analitice. Dintre compușii organici vom lua în considerare doar pe cei ce au molecule poliatomice (formate dintr-un număr mare de atomi), aceștia fiind mai frecvent întâlniți în diverse analize.

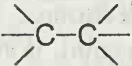
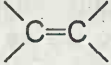
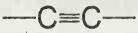
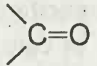
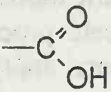
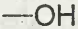
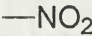
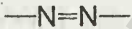

Vom analiza în continuare doar procesele de excitare sub acțiunea unor fluxuri de radiație de intensitate nu prea mare, în care caz molecula absoarbe un singur foton, adică efectuează o singură tranziție. (În cazul iradierii substanței cu un fascicul laser sunt frecvente procesele bi- sau multi-fotonice, când molecula absoarbe doi sau mai mulți fotoni). În cazul acestor procese excitarea moleculei are loc ca urmare a tranziției unui singur electron dintr-o stare energetică în alta (aproximația monoelectronică).

Nu orice electron din moleculă poate efectua o tranziție de absorbție sub acțiunea unor radiații excitatoare din UV-VIS (energia fotonilor respectivi fiind de câțiva eV) ci doar acela pentru care diferența de energie dintre starea electronică excitată, în care poate trece el, și starea electronică pe care se află (aceste stări fiind de fapt nivelele electronice ale moleculei) este egală (sau ceva mai mare) cu energia fotonului excitator.

Gruparea (de atomi) din moleculă ce conține electronul capabil să efectueze tranziția de absorbție în UV-VIS a fost denumită grupare cromoforă sau cromofor. Vom da câteva exemple de cromofori mai des întâlniți precum și maximele benzilor de absorbție λ_{abs}^{max} în cazul când acești cromofori sunt izolați

În cazul compușilor a căror molecule conțin un cromofor de același tip, energiile tranzițiilor electronice vor fi apropiate (ele

depinzând și de natura radicalilor atașați legăturilor libere), adică maximele benzilor de absorbție ale acestora λ_{abs}^{max} vor avea aproximativ aceeași lungime de undă. În plus, pentru toți acești compuși intensitatea absorbției, măsurată de exemplu prin extincția molară pentru λ_{abs}^{max} (ϵ_{max}), are aproximativ aceeași valoare.

Gruparea	λ_{abs}^{max} (nm)
	150
	185
	175, 215
	270
	290
	186
	268,5
	345
	200, 268

Cele două aspecte semnalate mai sus se referă evident la cazul când compușii respectivi sunt fie în stare de vapori, fie dizolvați în același solvent deoarece solventul, ca și în cazul spectrelor IR, poate modifica atât pe λ_{abs}^{max} cât și pe ϵ_{max} .

Sunt destule cazuri când într-o moleculă sunt mai mulți cromofori de același fel sau de tipuri diferite. Dacă cromoforii nu sunt conjugați (adică nu interacționează), de exemplu când sunt separați în moleculă prin două sau mai multe legături simple, atunci spectrul de absorbție obținut va reprezenta o însumare a spectrelor fiecărui cromofor. Când

cromoforii sunt conjugați energia tranziției electronice în general scade adică λ_{abs}^{max} suferă o deplasare batocromă. Astfel, de exemplu, dacă la etilenă și acetilenă $\lambda_{abs}^{max} \cong 180 \text{ nm}$,

la vinilacetilenă : $\lambda_{abs}^{max} \cong 220 \text{ nm}$. Prezența unor sisteme cromofore conjugate în moleculele diversilor compuși va avea același rezultat ca și prezența unor cromofori simpli.

Deci, în principiu, analiza calitativă sau structurală s-ar putea face pe baza datelor (tabelate) privind spectrele de absorbție ale diferitelor grupări cromofore, la fel cum se procedează în spectroscopia IR, unde se utilizează așa-numitele frecvențe caracteristice de grup. Totuși, așa cum vom vedea mai jos, spectrele electronice, spre deosebire de spectrele IR, sunt total nepotrivite pentru astfel de analize (excepție făcând unii compuși mai simpli).

Tranzițiile de absorbție ale electronului ce aparține grupării cromofore sau a unui sistem cromofor conjugat (și care determină de fapt tranzițiile electronice ale moleculei) se notează, pentru simplitate, în funcție de orbitalii moleculari între care are loc tranziția. De exemplu dacă electronul trece de pe orbitalul π (de legătură) pe orbitalul π^* (de antilegătură) atunci tranziția se notează astfel: $\pi \rightarrow \pi^*$ iar starea excitată se notează prin (π, π^*) .

În afară de tranzițiile $\pi \rightarrow \pi^*$, la moleculele organice se mai întâlnesc tranzițiile $n \rightarrow \pi^*$, $n \rightarrow \sigma^*$ și $\sigma \rightarrow \sigma^*$. Ultimele două necesitând o energie mare (benzile de absorbție corespunzătoare acestor tranziții sunt situate la lungimi de undă mai mici de 200 nm), rămân practic de interes în scopuri analitice doar tranzițiile $\pi \rightarrow \pi^*$ și $n \rightarrow \pi^*$.

Pentru a ne reaminti de orbitalii moleculari de legătură (σ și π), de antilegătură (σ^* și π^*) și de cei de nelegătură (n) să figurăm (aproximativ) orbitalii moleculari ai grupării carbonil dintr-o moleculă organică simplă și anume cea de aldehidă fomică: $\text{H}_2\text{C}=\text{O}$ (fig. 1).

Orbitalii de nelegătură (n) sunt orbitalii unor electroni ce nu participă la legătura chimică, de exemplu o parte a electronilor din grupele $\text{C}=\text{O}$, $\text{C}=\text{N}$, $\text{C}=\text{S}$, $\text{N}=\text{N}$ și $\text{N}=\text{O}$ (Se obișnuiește uneori ca electronii neparticipanți la legătură să fie notați cu puncte : $\overset{\text{H}}{\text{H}} > \text{C} = \ddot{\text{O}} :$).

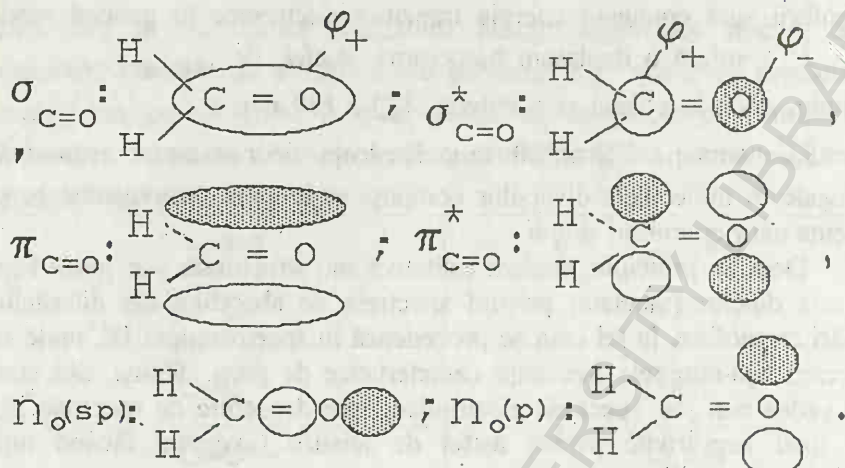


Fig. 1. Orbitalii grupării carbonil din molecula de aldehydă formică.

În cazul moleculei de aldehydă formică întâlnim o tranziție de tip $n \rightarrow \pi^*$ căreia îi corespunde o bandă de absorbție având maximum la circa 280 nm (o tranziție de același tip se observă și la acetona: $\text{H}_3\text{C}-\text{C}(=\text{O})-\text{CH}_3$, cu maximum benzii de absorbție tot la circa 280 nm). Să figurăm această tranziție pe o diagramă a nivelelor corespunzătoare orbitalilor grupării carbonil din moleculă - fig.2 (o diagramă de acest fel este obținută din calcule cuanto-mecanice). Nivelele respective vor fi chiar nivelele electronice ale moleculei.

Starea din care se efectuează tranziția electronului se consideră drept stare electronică fundamentală a moleculei, ea notându-se cu S_0 . În cazul moleculelor organice această stare este o stare de singlet, datorită faptului că toți electronii sunt cuplați, astfel că spinul total S este nul. Starea electronică excitată poate fi sau de singlet, când electronul excitat nu își schimbă orientarea spinului, sau de triplet când electronul excitat își schimbă orientarea spinului.

Nivelele excitate de singlet se notează astfel: S_1, S_2, S_3 , iar cele de triplet: T_1, T_2, \dots (starea T_0 nu există). Nivelul de triplet T_1 este mai coborât (are energia mai mică) decât nivelul de singlet S_1 . La fel se întâmplă și în cazul nivelelor T_2 și S_2 respectiv T_3 și S_3 etc.

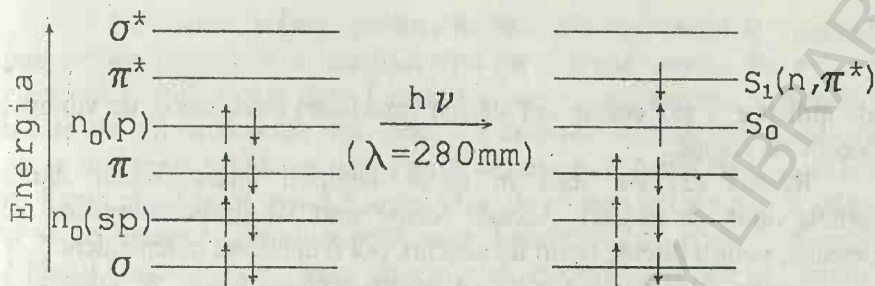


Fig.2. Nivelele electronice ale moleculei de aldehydă formică.

Revenirea moleculei dintr-o stare electronică excitată (stare obținută prin absorbția de radiații UV-VIS) în starea fundamentală se poate face fie neradiativ (fără să se emită radiații) fie prin emisie de radiații. În ultimul caz vorbim de fotoluminescență (fluorescență și fosforescență).

Banda de absorbție corespunzătoare tranzițiilor $n \rightarrow \pi^*$ este de obicei slabă. De asemenea și fluorescența din starea (n, π^*) este puțin intensă, iar randamentul cuantic al fluorescenței este mic. Deci fluorescența moleculelor organice este legată, în principal, de stările (π, π^*) , adică de prezența unor electroni π , nelocalizați, electroni întâlniți la hidrocarburi nesaturate cât și la cele aromatice. Majoritatea compușilor fluorescenți aparțin clasei de hidrocarburi aromatice.

IX.2. Tranzițiile și spectrele electronice ale moleculelor organice poliatomice aflate în soluție.

Să analizăm în continuare procesele de absorbție și emisie (fotoluminescență) utilizând o diagramă completă a nivelelor de energie a moleculei (așa-numita diagramă Jablonski) deoarece, precum se știe, pe lângă energie electronică molecula mai posedă energie de vibrație și energie de rotație.

În aproximația Born-Oppenheimer funcția de undă ψ a unei molecule și energia ei E se pot scrie astfel:

$$(1) \quad \psi = \psi_e \cdot \psi_v \cdot \psi_r,$$

$$(2) \quad E = E_e + E_v + E_r,$$

unde indicii e, v și r corespund stărilor (nivelelor) electronice, de vibrație, respectiv de rotație.

Relația (2) s-a scris în cazul neglijării interacțiunilor dintre diferitele tipuri de mișcări. Această relație arată că stările energetice ale moleculei, pentru diferite tipuri de mișcări, pot fi analizate independent.

Teoria și experiența arată că pentru aceleași valori ale numerelor cuantice ce cuantifică cele trei tipuri de energii, avem următoarele relații:

$$E_e \gg E_v \gg E_r.$$

Vom discuta cazul când substanța se află în soluție (sau cum se mai spune – în faza condensată) deoarece majoritatea analizelor, utilizând spectrele electronice din UV-VIS, se fac în astfel de situații. Concentrațiile utilizate pentru trasarea unui spectru de absorbție sunt de circa 10^{-4} M/l, iar pentru trasarea unui spectru de fluorescență sunt de circa 10^{-5} M/l. În aceste condiții se vor putea neglija interacțiunile dintre moleculele substanței solvite, care ar putea să modifice energia electronică a moleculei, față de cazul când ea ar fi liberă.

Vom neglija de asemenea interacțiunile dintre moleculele solvitului și ale solventului, interacțiuni ce modifică de obicei energia electronică a moleculei solvite. Vom ține seama doar de interacțiunile ce modifică (micșorează) energia de vibrație a moleculei în urma ciocnirilor, fie cu moleculele de același tip (de solvit), fie cu moleculele de solvent.

Trebuie luat în considerare și faptul că în urma ciocnirilor numeroase pe care le suferă molecula de solvit, în special cu moleculele de solvent, nivelele de vibrație cât și cele de rotație se largesc. Această largire e mult mai mare decât în cazul când se înregistrează spectrele IR de absorbție, când se utilizează straturi foarte subțiri de soluție, sub 1 mm (la înregistrarea unui spectru electronic sunt necesare grosimi ale stratului absorbant de la circa 0,5 cm până la câțiva cm).

Lărgirea nivelelor de vibrație și rotație apare și din cauza interacțiunii dintre mișcarea electronică cu cea de vibrație, respectiv cu cea de rotație, interacțiune mai puternică în stările electronice excitate.

Ne vom referi, pentru început la așa-numitele molecule poliatomice complexe la care nivelele de vibrație, pentru fiecare stare electronică, sunt foarte dese formând o succesiune aproape continuă de nivele de vibrație- rotație (nivelele pierzându-și practic individualitatea, nu se mai pune problema unor reguli de selecție). Astfel de molecule nu au formă plană încât există o multitudine de moduri în care pot să vibreze și să se rotească. Pentru simplificarea discuțiilor vom construi diagrama Jablonski luând în considerare doar nivelele electronice și cele de vibrație

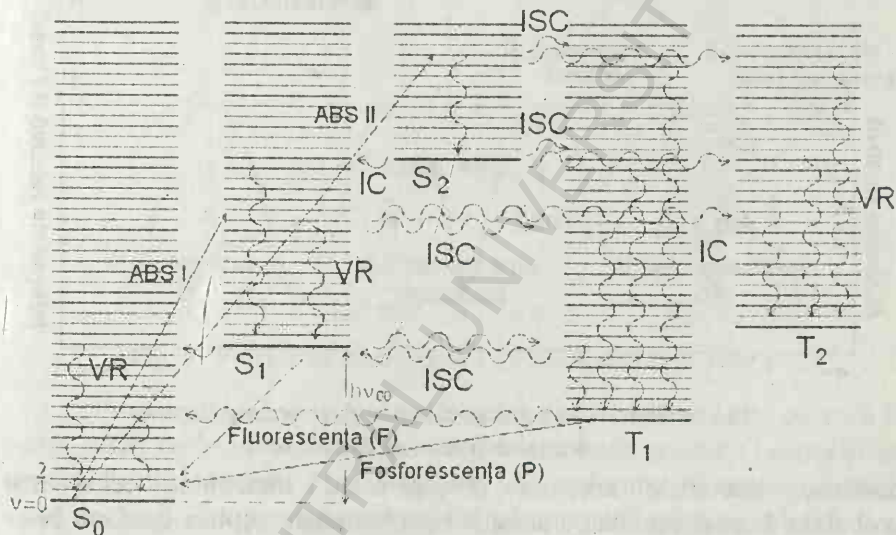


Fig. 3. Diagrama Jablonski și tranzițiile unei molecule aflată în soluție.

Pentru început vom analiza spectrul electronic de absorbție. La temperaturi joase și, cu aproximație, chiar la temperatura camerei putem considera că, în starea electronică fundamentală, molecula se află pe nivelul de vibrație $v=0$ care coincide practic cu nivelul pur electronic S_0 (adică energia de vibrație a moleculei este foarte mică iar cea de rotație neglijabilă).

Iradiind soluția substanței cu radiații de diverse frecvențe-obținute cu ajutorul unui monocromator, utilizând o sursă cu spectru continuu (pentru UV se utilizează o lampă cu deuteriu sau hidrogen molecular iar pentru VIS o lampă cu incandescență), o moleculă a acesteia poate trece

pe unul din nivelele electronice excitate de singlet (S_1 sau S_2), respectiv pe unul din nivelele de vibrație ale acestora, sau altfel spus se realizează tranzițiile $S_0 \rightarrow S_1$, $S_0 \rightarrow S_2$. Tranzițiile $S_0 \rightarrow T_1$, $S_0 \rightarrow T_2$ etc. sunt interzise de regula de selecție asupra spinului. Popularea nivelelor T_1 , T_2 ... are loc ca urmare a unei migrări a energiei din stările de singlet, cum vom vedea mai jos.

Ca rezultat al absorbției se obține prima bandă electronică de absorbție (ABS.I), respectiv a doua bandă (ABS.II) (fig. 4), niște benzi

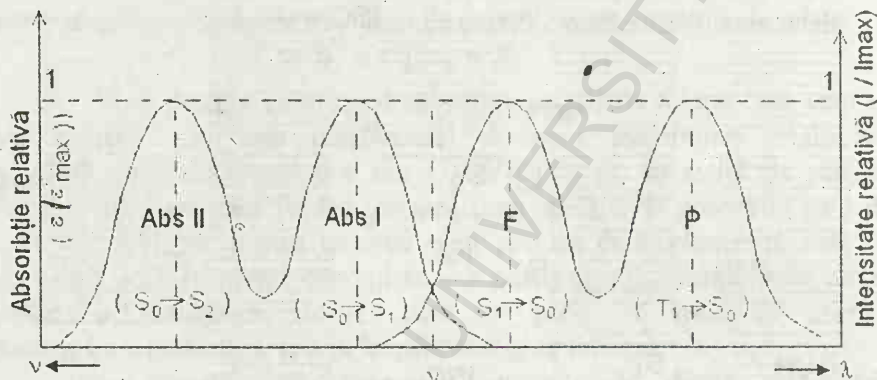


Fig. 4. Benzi electronice (observabile) normate ale unei molecule poliatomice complexe.

continue, maximele acestora corespunzând tranzițiilor celor mai probabile. Forma continuă a acestor benzi se poate explica conform celor discutate privind nivelele de vibrație-rotatie. De obicei benzile de absorbție I și II se suprapun mai mult decât în cazul ipotetic (și ideal) prezentat în fig. 4 (sunt și unele cazuri când ele nu se suprapun). Desigur că intensitățile lor nu sunt aceleași, dar le-am prezentat, cum se obișnuiește uneori, luând pe ordonată ϵ/ϵ_{\max} pentru ambele benzi (benzi „normate”).

Nu s-au luat în considerare tranzițiile $S_0 \rightarrow S_3$, $S_0 \rightarrow S_4$,... deoarece acestea necesită, la aproape toate moleculele organice, radiații excitatoare cu $\lambda < 200$ nm, dintr-un domeniu spectral în care aparatele uzuale utilizate pentru analize spectrale nu lucrează.

Pentru a nu încărca prea mult figura 3 s-a reprezentat o singură tranziție de absorbție, atât pentru $S_0 \rightarrow S_1$, cât și pentru $S_0 \rightarrow S_2$.

Molecula odată ajunsă într-o stare excitată își poate pierde energia de excitare pe mai multe căi, așa cum se vede din fig. 5:

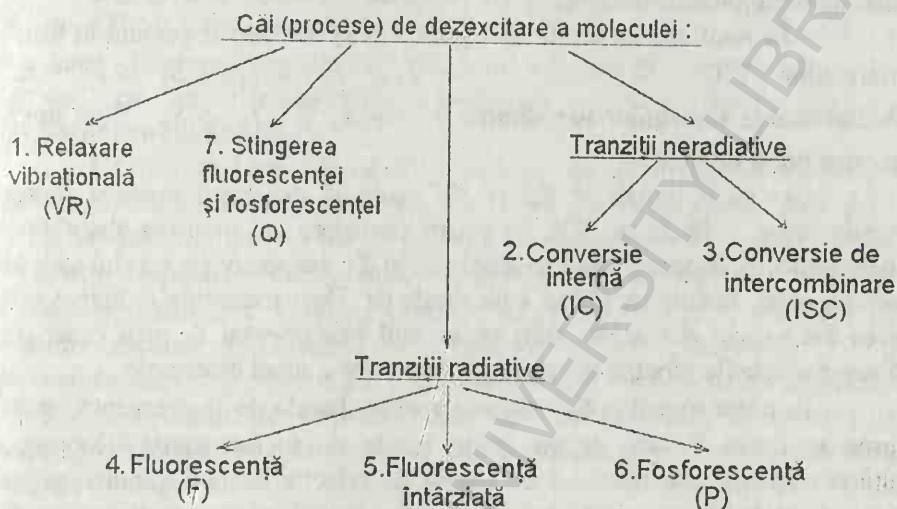


Fig. 5. Procese de dezexcitare a moleculei aflată în soluție.

Procesele 1, 2, 3 și 7 se realizează în urma ciocnirilor pe care le poate suferi molecula excitată cu alte molecule din soluție (1-ciocniri cu moleculele de solvent, 2 și 3-ciocniri cu molecule de aceeași specie, adică de solvit, 7-ciocniri cu molecule de „impurități” aflate în soluție).

Durata acestor ciocniri este de ordinul a 10^{-13} s, deci mult mai mică decât timpul de viață al unei stări excitate, care este de ordinul a 10^{-9} - 10^{-6} s pentru stările de singlet și de ordinul a 10^{-6} - 10^{-6} s pentru stările de triplet.

În urma proceselor de tip 1 molecula își pierde energie de vibrație trecând pe nivelul $v=0$ al stării electronice respective, înainte de a se realiza tranzițiile radiative (tranzițiile VR - fig. 3).

În cazul proceselor 2 și 3 energia de excitare poate să migreze de la o moleculă la alta, între nivele izoenergetice de vibrație- rotație. Deoarece prin aceasta energia totală a sistemului (a ansamblului de molecule) nu se schimbă, nu are loc o emisie de radiație.

În cazul conversiei interne (IC) tranziția neradiativă are loc între

nivelele de aceeași energie și de aceeași multiplicitate, iar în cazul conversiei de intercombinare (ISC) tranziția neradiativă are loc între două stări de multiplicitate diferită.

În felul acesta stările de triplet T_1 , T_2 etc se vor popula în urma tranzițiilor ISC: $S_1 \leadsto T_1$, $S_1 \leadsto T_2$, $S_2 \leadsto T_1$, $S_2 \leadsto T_2$ etc. Probabilitatea tranzițiilor neradiative $S_1 \leadsto S_0$ și $T_1 \leadsto S_0$ fiind mică acestea pot fi neglijate.

Deoarece tranzițiile IC și ISC sunt și ele niște procese foarte rapide, ca și cele de tip VR, se poate considera că, în urma absorbției, toate moleculele ajung rapid în stările S_1 și T_1 , respectiv pe nivelul $v=0$ al acestor stări, înainte ca ele să emită radiație. Deci tranzițiile radiative vor avea loc tocmai din aceste stări pe nivelul fundamental S_0 , mai exact pe diverse nivele de vibrație corespunzătoare acestui nivel electronic.

În urma tranziției $S_1 \rightarrow S_0$ se va emite banda de fluorescență iar în urma tranziției $T_1 \rightarrow S_0$ se va emite banda de fosforescență. Deoarece ultima tranziție este interzisă de regula de selecție asupra spinului ea va avea o probabilitate mică, iar intensitatea benzii corespunzătoare va fi mult mai slabă, în condiții obișnuite, decât a benzii de fluorescență.

Conform celor discutate mai sus relativ la mecanismul emisiei fluorescenței și fosforescenței de către moleculele aflate în faza condensată, pot fi explicate două proprietăți importante ale spectrelor de fotoluminescență:

a) Banda de fluorescență este situată întotdeauna la lungimi de undă mai mari decât banda de absorbție, iar banda de fosforescență la lungimi de undă mai mari decât primele două (de obicei banda de fluorescență se suprapune parțial cu banda I de absorbție iar cea de fosforescență cu cea de fluorescență, așa cum se vede din fig. 4).

b) Pozițiile în spectru ale benzilor de fluorescență și fosforescență nu depind de frecvența radiațiilor excitatoare. Aceasta înseamnă că indiferent cu ce fel de radiații se face excitarea fotoluminescenței, putându-se utiliza chiar radiații având un spectru continuu (cu condiția, bineînțeles, ca aceste radiații să fie absorbite de moleculă, adică să fie „situate” în banda ei de absorbție) spectrul de fluorescență și cel de fosforescență se va obține întotdeauna în același loc. Desigur că intensitatea acestor benzi va depinde de lungimea de undă a radiațiilor

excitatoare (λ_{exc}), ea fiind maximă pentru acele λ_{exc} pentru care absorbția va fi maximă.

Din diverse considerente (unul din ele fiind suprapunerea benzilor F cu ABS.I, altele rezultând din discuțiile ulterioare) se preferă ca excitarea fotoluminescenței să se facă cu radiații „monocromatice” (gradul de monocromaticitate depinzând fie de filtrul, fie de monocromatorul utilizat).

Din proprietatea b) rezultă o metodă simplă de a verifica dacă o substanță fluorescentă conține sau nu impurități fluorescente (sau dacă avem un amestec de mai multe substanțe fluorescente) cât și faptul dacă substanța respectivă suferă unele transformări ireversibile sub acțiunea radiațiilor excitatoare. (Trebuie precizat că pentru obținerea spectrelor de fotoluminescență moleculară se utilizează radiații excitatoare cu o intensitate mult mai mare decât a celor care sunt folosite pentru obținerea spectrelor de absorbție. O primă cauză ar fi concentrațiile foarte mici de substanță necesare în spectroscopia de fluorescență, altele vor fi precizate ulterior).

Dacă substanța (mai exact o anumită cantitate din aceasta) ar suferi transformări ireversibile, adică nu revine la forma inițială după întreruperea excitării, înseamnă că se obține altă substanță și putem vorbi de o reacție fotochimică; desigur că acestea nu sunt de dorit în cazul efectuării analizelor (astfel de reacții pot apare uneori în cazul utilizării anumitor solvenți).

Metoda simplă ce utilizează proprietatea b) constă în compararea spectrelor de fluorescență (și fosforescență) înregistrate pentru mai multe λ_{exc} , spectre care ar trebui să fie identice dacă substanța e pură.

Pe lângă fluorescența obișnuită discutată mai sus (numită și promptă) care este un proces de viață scurtă, se poate emite și o fluorescență de viață lungă, numită fluorescență întârziată. Spectrele (benzile) celor două tipuri de fluorescență coincid.

În apariția fluorescenței întârziate este implicat nivelul de triplet T_1 . Se întâlnesc două situații, adică două tipuri de fluorescență întârziată:

- a) Fluorescența întârziată de tip P. Ea apare în urma conversiei de intercombinare $T_1 \rightarrow S_0$. Pentru a se realiza acest proces, starea T_1 trebuie activată termic (prin ciocniri), cel puțin până la nivelul cu $v=0$ al stării S_1 (fig. 6).

b) Fluorescența întârziată de tip E apare în urma interacțiunii (ciocnirii) a două molecule aflate în stările T_1 , când energia trece de la una la alta (fig. 7).

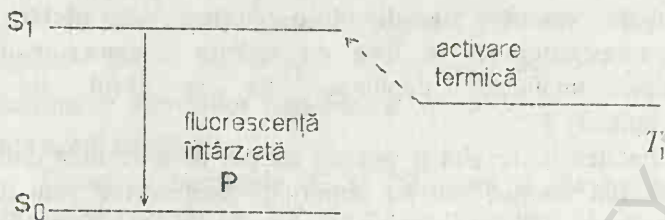


Fig. 6. Mecanismul emisiei fluorescenței întârziate de tip P.



Fig. 7. Mecanismul emisiei fluorescenței întârziate de tip E.

Principalele procese care duc la stingerea (micșorarea) intensității fluorescenței și fosforescenței moleculelor aflate în soluții lichide sunt următoarele:

1. Stingeri fotochimice (prin procese ireversibile):
 - a) formarea unor compuși stabili noi,
 - b) descompunerea moleculelor substanței.
2. Stingeri fotofizice (prin procese reversibile):
 - a) stingerea de concentrație (explicată prin formarea, la concentrații mari ale solvitului, a unor noi compuși de tipul MM^* , numiți excimeri, care fie emit fluorescență într-un alt domeniu spectral decât compusul M, fie nu sunt fluorescenți; M^* = compus M excitat)
 - b) stingerea datorită unor impurități (explicată prin formarea unor compuși de tipul M^*Q , numiți excipleceși, Q fiind impuritatea din soluție).

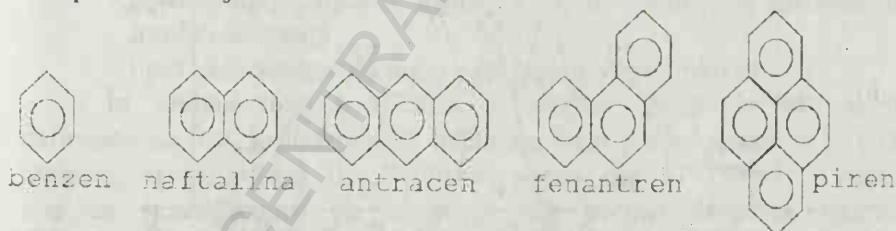
În ambele cazuri de stingeri fotofizice compușii nou formați (compuși de ciocnire) există atât timp cât M este excitat, ei disociindu-se

în urma dezexcitării lui M.

Procesele de stingere a fluorescenței și fosforescenței pot fi diminuate, în cazul analizelor, dacă se iau măsurile corespunzătoare dar nu pot fi niciodată complet eliminate. Deoarece starea T_1 , de pe care se emite fosforescența, are o energie mai mică decât a stării S_1 , ea va fi mult mai „expusă” stingerii. Din acest motiv fosforescența și fluorescența întârziată nu se pot observa, de obicei, la temperatura camerei și în soluții lichide ci doar la temperaturi foarte scăzute, în soluții înghețate, în care caz agitația termică este foarte redusă deci și ciocnirile sunt diminuate.

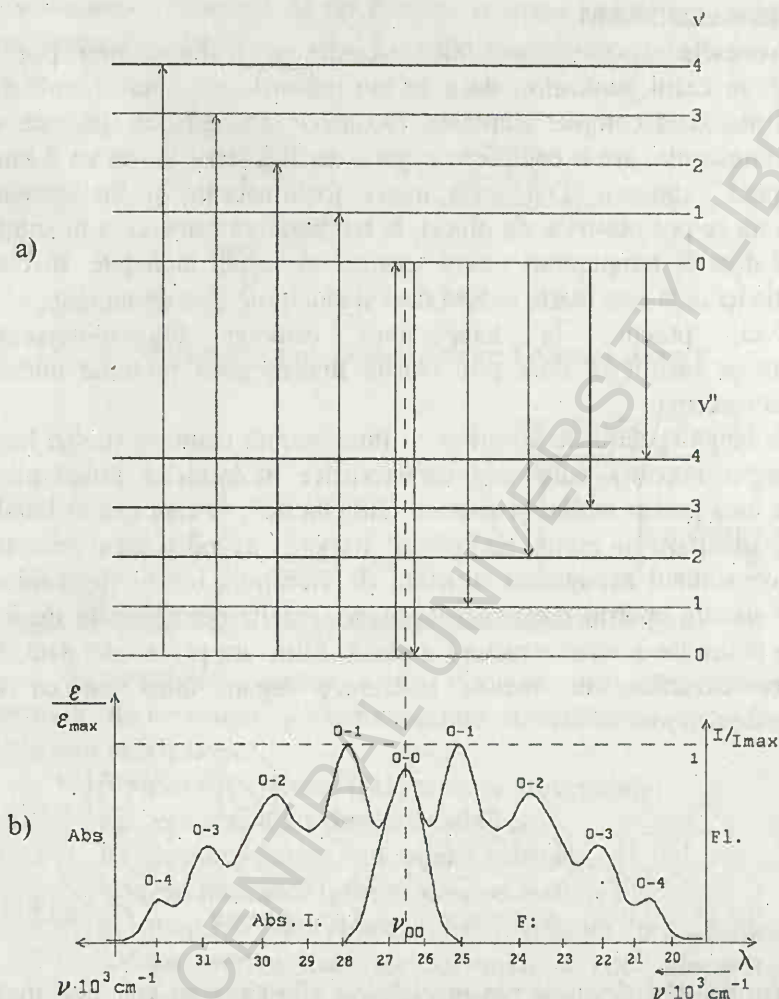
Deci, practic, la temperatura camerei fotoluminescența moleculară se manifestă doar prin emisia fluorescenței prompte numită simplu fluorescență.

Pe lângă spectre de absorbție și fluorescență continue (benzi largi cu un singur maxim), care sunt caracteristice moleculelor poliatomice complexe, mai putem întâlni și spectre „structurate”, în care caz în banda largă se evidențiază un număr de „picuri” (umere), având și ele o anumită lărgime, constituind așa-numita structură de vibrație a benzii electronice. Astfel de spectre aparțin moleculelor poliatomice de complexitate medie, de obicei molecule a căror structură e plană. Structura plană este dată, în majoritatea cazurilor, de inelele benzenice legate între ele ca în exemplele de mai jos:



Pentru astfel de molecule nivelele de vibrație sunt mai rare încât se pot evidenția tranzițiile dintre acestea. În cazul antracenului, de exemplu, benzile F și Abs.I au forma ca în fig. 8 b), în fig. 8 a) prezentându-se și o diagramă a nivelelor de vibrație, fără a lua în considerare lărgimea lor și prezența nivelelor de rotație.

În cazul unui număr mare de molecule poliatomice se constată că există o așa-numită simetrie de oglindă între banda de fluorescență și banda de absorbție de la lungimi de undă mari (banda I), această simetrie



realizându-se în raport cu frecvența tranziției electronice pure ν_{00} : vezi benzile respective din figurile 4 și 8. a), când s-a presupus existența unei astfel de simetrii. Existența acestei simetrii ne ajută în multe cazuri să “extragem” banda I de absorbție dintr-o bandă largă ce se obține prin suprapunerea, într-o mai mică sau într-o mai mare măsură, a benzilor I și

II, cum se întâmplă la foarte multe molecule.

IX.3. Considerații generale privind analiza calitativă utilizând spectrele electronice din UV-VIS.

Metoda de analiză ce se bazează pe spectrele de absorbție din UV-VIS e mult mai utilizată în prezent decât metoda ce se bazează pe spectrele de fotoluminescență (majoritatea laboratoarelor din țară utilizează doar prima metodă), cu toate că sensibilitatea celei de a doua metode e mult mai mare. Acest lucru se datorează în primul rând faptului că nu toți compușii organici ce urmează să fie determinați sunt și fluorescenți, în schimb toți absorb (în ultimul timp acest inconvenient a fost înlăturat prin utilizarea unor reactivi specifici ce transformă compușii nefluorescenți în compuși fluorescenți).

Dintre alte cauze care au determinat rămânerea în urmă (la nivelul anilor '70-'80) a spectroscopiei de fotoluminescență din UV-VIS, față de cea de absorbție, am putea enumera următoarele:

- lipsa unor surse de radiații excitatoare de mare intensitate și foarte stabile;
- lipsa unor receptori foarte sensibili;
- necunoașterea tuturor factorilor ce pot influența spectrele de fotoluminescență;
- lipsa unor sisteme de prelucrare rapidă a spectrelor etc.

În ultimul timp (mai ales în ultimele două decenii) aceste deficiențe au fost, în mare parte, înlăturate încât putem spune că în țările înaintate spectroscopia de fotoluminescență din UV-VIS a "trecut" înaintea spectroscopiei de absorbție din același domeniu spectral. Oricum, aceste două metode de analiză spectrală trebuie utilizate în paralel (în situațiile în care ele pot fi aplicate), deoarece se completează una pe alta.

Pentru efectuarea analizelor calitative pe baza spectrelor de absorbție se pot utiliza următoarele date (sau mărimi caracteristice):

- forma și poziția benzii (în scara numerelor de undă, de exemplu),
- intensitatea acesteia,
- modificările pe care le poate suferi banda de absorbție sub influența diverșilor factori cum ar fi: natura solventului, pH-ul soluției,

temperatura, iradierea etc.

Cu toate că anumitor grupări cromofore din moleculă li se pot atribui benzi de absorbție proprii, totuși poziția acestor benzi în spectru, intensitatea și chiar structura lor pot fi mult influențate de constituția restului moleculei. În plus, două substanțe organice a căror structură diferă puțin una de alta pot prezenta spectre în UV-VIS practic identice. Ținând seama de acestea cât și de faptul că spectrele de absorbție din UV-VIS prezintă de obicei benzi largi, cu puține maxime de absorbție, rezultă că aceste spectre sunt mai puțin caracteristice pentru structura compusului cercetat decât spectrele IR și ca atare se utilizează mai rar drept criteriu de identificare a substanțelor (de stabilire a structurii moleculare).

Analiza calitativă moleculară cu ajutorul spectrelor de absorbție din UV-VIS se poate efectua, în general, numai atunci când pentru un domeniu spectral relativ larg există o singură specie moleculară absorbantă în proba de analizat (cazul, de exemplu, al soluției unui singur component într-un solvent transparent). Identificarea moleculei absorbante se bazează pe compararea curbei de absorbție a probei cu curbele din cataloagele de spectre și are deci un caracter pur empiric.

Identificarea nu este însă certă, conform celor de mai sus. Putem avea certitudine doar dacă, sub acțiunea factorilor pomeniți mai sus, banda de absorbție a substanței studiate suferă aceleași modificări ca și ale substanței bănuite (deci trebuie trasate un șir de spectre de absorbție).

Unele amestecuri de substanțe, a căror spectre de absorbție se suprapun, pot fi analizate dacă se apelează la o serie de metode fizico-chimice de separare cum ar fi: extracția cu solvenți, transformarea chimică a unor componente în substanțe transparente, distilarea fracționată, separarea cromatografică etc.

Pentru efectuarea analizelor calitative pe baza spectrelor de fotoluminescență pe lângă mărimile similare spectrelor de absorbție se mai pot utiliza și mărimile:

- randamentul cuantic al fluorescenței și randamentul cuantic al fosforescenței (pe care le vom defini mai jos),
- timpul de viață al stărilor excitate de singlet și de triplet,
- gradul de polarizare al radiațiilor de fluorescență și fosforescență.

Problemele care se pun la efectuarea analizelor calitative sunt

cam aceleași ca și în cazul utilizării spectrelor de absorbție. Spre deosebire de aceste spectre (care sunt constituite din mai multe benzi) cele de fotoluminescență sunt mai simple, ele fiind constituite dintr-o singură bandă de fluorescență și o singură bandă de fosforescență.

În cazul concentrațiilor foarte mici ale substanței fluorescente de analizat, în locul spectrului de absorbție se poate utiliza spectrul de excitare al fluorescenței (vezi mai jos) care de obicei coincide cu cel de absorbție.

Sensibilitatea analizei utilizând spectrele de fluorescență crește pe măsură ce scade temperatura soluțiilor în care caz crește atât intensitatea fluorescenței (din cauză că se reduce numărul și "intensitatea" ciocnirilor dintre molecule) cât și gradul de structurare al benzilor (dacă ele nu sunt continue) în sensul că benzile de vibrație devin mai înguste și mai clar evidențiate - vezi fig. 9. (Trebuie specificat că la temperatura camerei solvenții polari determină de obicei o "ștergere" a structurii de vibrație pe când cei nepolari determină o evidențiere a acestei structuri)

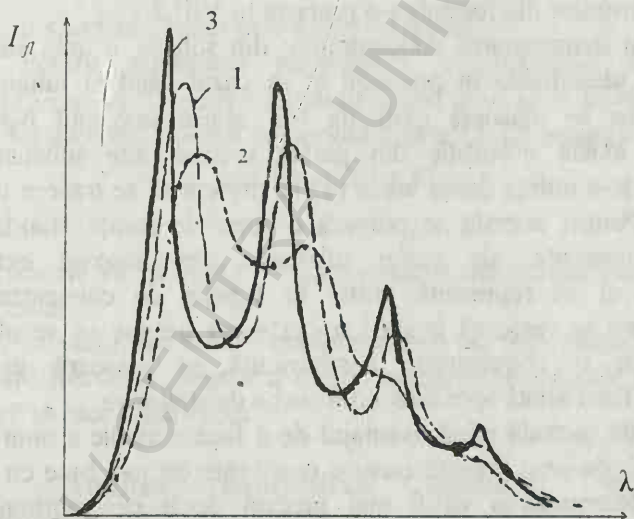


Fig. 9. Forma caracteristică a spectrelor de fluorescență ale unor compuși aromatici plani. 1: solvent nepolar la temperatura camerei, 2: solvent polar la temperatura camerei, 3: solvent nepolar sau solvent polar la temperaturi scăzute, sub -150°C . (Am prezentat cazul general când spectrele suferă și deplasări sub influența solventului și a temperaturii.)

La scăderea temperaturii soluțiilor spectrele de absorbție suferă și ele modificări similare cu a celor de fluorescență, mai mult în ce privește structurarea benzilor și mult mai puțin în ce privește "intensitatea" lor (în ordonată luându-se extincția).

IX.4. Considerații privind analiza cantitativă ce utilizează spectrele electronice din UV-VIS.

IX.4.1. Analiza cantitativă utilizând spectrele de absorbție.

Principiile generale ale analizei cantitative bazate pe spectrele electronice de absorbție din UV-VIS sunt aceleași ca și în cazul utilizării spectrelor IR de absorbție, deoarece în ambele cazuri se folosește legea lui Lambert-Beer:

$$(1) \quad I^{(\nu)} = I_0^{(\nu)} 10^{-\varepsilon_{\nu} c l}; \quad E^{(\nu)} = \varepsilon_{\nu} c l,$$

semnificația mărimilor din formule s-a precizat în VIII.3.

Pentru determinarea concentrației, din soluție, a unei substanțe cunoscute sau identificate în prealabil și în cazul când la lungimea de undă λ la care se măsoară extincția (de obicei maximul benzii de absorbție) nu există absorbție din partea vreunei alte substanțe din soluție, în loc de-a utiliza direct legea (1) se preferă să se traseze o curbă de etalonare. Pentru aceasta se prepară o serie de soluții standard, de concentrații cunoscute, ale acelei substanțe. Se măsoară extincțiile acestor soluții și se reprezintă grafic în funcție de concentrație. În condițiile în care se respectă legea Lambert-Beer trebuie să se obțină o dreaptă. Pentru o concentrație necunoscută se măsoară extincția, concentrația sa fiind aflată apoi direct din curba de etalonare.

Această metodă oferă avantajul de a face o medie a unui număr de valori obținându-se o dreaptă care se potrivește cel mai bine cu datele. În acest fel determinarea va fi mai precisă decât cea obținută prin utilizarea unei singure valori a extincției.

Datorită faptului că extincțiile sunt aditive există adeseori posibilitatea de-a determina cantitatea fiecărui component dintr-un amestec, chiar dacă spectrele lor de absorbție se suprapun (se impune cunoașterea acelor componente, mai exact cunoașterea spectrelor lor de

absorbție).

În fig. 10 sunt prezentate spectrele a și b a doi componenți

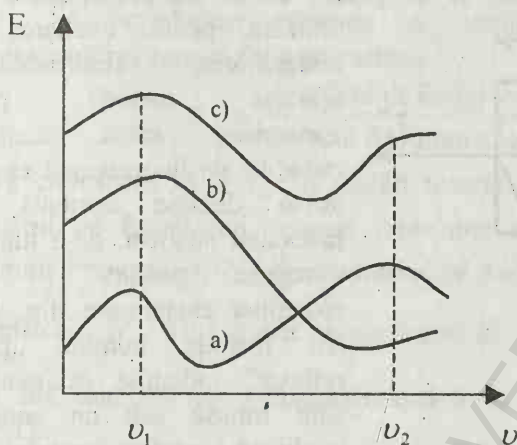


Fig. 10. a), b):
spectrele
electronice ale doi
compuși ipotetici,
c) spectrul
electronic obținut
prin amestecarea lor

ipotetici și spectrul obținut prin amestecarea lor.

Pentru rezolvarea matematică a problemei se aleg două frecvențe ν_1 și ν_2 . Deoarece extincția totală la ν_1 și ν_2 se datorează sumei extincțiilor datorate ambilor componenți se pot scrie ecuațiile:

$$E^{\nu_1} = \varepsilon_{\nu_1}^1 c_1 l + \varepsilon_{\nu_1}^2 c_2 l,$$

$$E^{\nu_2} = \varepsilon_{\nu_2}^1 c_1 l + \varepsilon_{\nu_2}^2 c_2 l.$$

Necunoscutele vor fi c_1 și c_2 , toate celelalte mărimi putând fi determinate experimental.

În cazul mai multor componenți se fac măsurători de extincție la mai multe frecvențe, pentru a obține numărul necesar de ecuații a căror rezolvare se face relativ ușor.

IX.4.2. Analiza cantitativă utilizând spectrele de fotoluminescență.

Analiza cantitativă ce utilizează spectrele de fotoluminescență se bazează pe legătura (dependența) dintre intensitatea fotoluminescenței și concentrația solvitului. Să găsim această dependență în cazul fluorescenței. Să presupunem că excităm fluorescența cu radiații

monocromatice de frecvență ν și de intensitate I_0^ν .

Fie l grosimea cuvei (a stratului de soluție) și să neglijăm absorbția produsă de solvent și de pereții cuvei. Să presupunem că

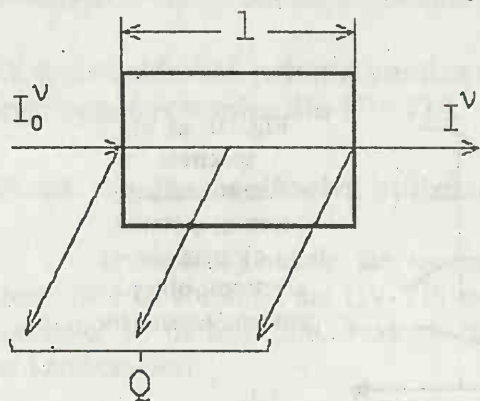


Fig. 11. Obținerea fluorescenței utilizând metoda „prin transmisie”.

utilizăm, pentru excitarea și înregistrarea fluorescenței, așa-zisa metodă prin transmisie, adică captăm radiațiile de fluorescență emise într-o direcție normală la fasciculul incident, de-a lungul întregului parcurs (l) al radiațiilor excitatoare (fig. 11) (În metoda numită „prin reflexie” radiațiile excitatoare sunt trimise sub un anumit unghi pe suprafața stratului de soluție, și sunt captate radiațiile de fluorescență

„reflectate”. Desigur că unghiul „de reflexie” trebuie să difere de cel de incidență pentru a nu se capta și radiațiile excitatoare reflectate de peretele cuvei. Metoda prin reflexie se utilizează, cu unele precauții, mai ales în cazul concentrațiilor mai mari ale solvitului și la temperaturi joase când solventul devine opac prin înghețare).

Conform legii Lambert vom avea:

$$I^\nu = I_0^\nu e^{-k_\nu l},$$

k_ν fiind coeficientul de absorbție.

Intensitatea radiațiilor absorbite va fi:

$$(2) \quad I_a^\nu = I_0^\nu - I^\nu = I_0^\nu (1 - e^{-k_\nu l}).$$

Sub acțiunea acestor radiații (fotoni) se va emite întreg spectrul de fluorescență. Intensitatea totală a radiațiilor de fluorescență, Q , se definește prin relația:

$$Q = \int_0^\infty I_F^\nu d\nu,$$

I_F^ν fiind intensitatea radiațiilor de frecvență ν , din spectrul de

fluorescență. Conform definiției, Q este proporțională cu aria benzii de fluorescență, în cazul când această bandă este trasată în scara frecvențelor.

Să introducem mărimea φ_F , numită randament cuantic al fluorescenței și care se definește astfel:

$$\varphi_F = \frac{\text{numărul de fotoni emiși}}{\text{numărul de fotoni absorbiți}}$$

Dacă exprimăm Q și I_a^v în unități numite einsteini, care ne indică și numărul de fotoni (un einstein reprezintă energia a N_A fotoni de o anumită frecvență ν , N_A fiind numărul lui Avogadro, adică :

1 einstein = $N_A \cdot h\nu$) atunci putem scrie: $\varphi_F = \frac{Q}{I_a^v}$. Mărimea φ_F definită mai sus este de fapt o caracteristică a moleculelor substanței solvite ($\varphi_F < 1$).

Dacă ținem seama de relația (2), Q se poate scrie sub forma:

$$Q = \varphi_F I_a^v = \varphi_F I_0^v (1 - e^{-k_v I})$$

Dezvoltând exponențiala în serie se obține:

$$Q = \varphi_F I_0^v \left[k_v I - \frac{(k_v I)^2}{2} + \frac{(k_v I)^3}{6} - \dots \right]$$

Având în vedere că: $k_v = 2,3\epsilon_v c$ (relație ce exprimă legătura dintre dependența $I^{(v)} = I_0^{(v)} e^{-k_v I}$ și $I^{(v)} = I_0^{(v)} 10^{-\epsilon_v c l}$), se obține:

$$Q = \varphi_F I_0^v 2,3\epsilon_v c l \left[1 - \frac{2,3\epsilon_v c l}{2} + \frac{(2,3\epsilon_v c l)^2}{6} - \dots \right]$$

În cazul soluțiilor diluate, slab absorbante, $\epsilon_v c l$ este mic astfel că se poate scrie:

$$(3) \quad Q = \varphi_F I_0^v (2,3\epsilon_v c l) = 2,3\varphi_F I_0^v E^v$$

Conform ultimei relații intensitatea totală a radiațiilor de fluorescență (sau intensitatea pentru orice frecvență din banda de fluorescență, de exemplu pentru frecvența maximului benzii) este proporțională cu concentrația soluției (cu condiția ca aceasta să fie mică)

și cu intensitatea I_0^V a radiațiilor excitatoare. Ultimul fapt este deosebit de important pentru analiza cantitativă deoarece arată că sensibilitatea analizei crește pe măsură ce crește intensitatea (și puterea) sursei spectrale utilizate la excitare. Din acest motiv s-au creat lămpi cu mercur și xenon de mare putere și intensitate, iar în ultimii ani cele mai utilizate surse de excitare sunt laserii.

Conform relației (3) dacă se iluminează soluția diluată a unei substanțe cu radiații excitatoare de diferite frecvențe ν_1, ν_2, \dots (cuprinse în banda de absorbție) astfel încât $I_0^{\nu_1} = I_0^{\nu_2} = \dots = \text{const.}$, atunci Q va urmări variația extincției E^V . Pentru simplitate în loc de Q se măsoară intensitatea unei radiații de o anumită frecvență din banda de fluorescență, frecvență ce a primit denumirea de frecvență de analiză (ν_a). (Ceea ce se măsoară de fapt nu este I^{ν_a} ci $I^{\nu_a} \Delta \nu^{\nu_a}$, $\Delta \nu^{\nu_a}$ fiind lărgimea benzii de transmisie a monocromatorului de analiză pentru frecvența ν_a - vezi VIII.5).

Dependența intensității fluorescenței, pentru o anumită frecvență de analiză ν_a , de frecvența radiațiilor excitatoare a primit denumirea de spectru de excitare al fluorescenței, el fiind identic, ca formă, cu cel de absorbție. Deosebirea față de acesta constă în faptul că nu se înregistrează extincția ci o mărime proporțională cu ea.

Relația (3) poate fi utilizată și pentru exprimarea intensității totale a radiațiilor de fosforescență (de asemenea în cazul soluțiilor diluate) cu deosebirea că în loc de ϕ_F trebuie luat ϕ_P , randamentul cuantic al fosforescenței.

Concentrația c a unui compus din soluția de analizat (în cazul când banda lui de fluorescență sau fosforescență nu se suprapune cu banda altui compus aflat în soluție) nu se poate determina apelând direct la relația (3). Aceasta deoarece e dificil să se măsoare Q și I_0^V în unități absolute. Din acest motiv se trasează în prealabil un grafic de etalonare luând în ordonată sau Q sau intensitatea fluorescenței pentru o anumită frecvență, în unități relative, iar în abscisă concentrația.

În cazul efectuării analizelor cantitative utilizând spectrele de fluorescență (sau, mai rar, cele de fosforescență) trebuie avut în vedere și procesele ce duc la „stingerea” (micșorarea intensității) acestor spectre.

Efectele „stingătoare” pot avea în primul rând diverse impurități din solvent, dacă acesta nu este de un înalt grad de impuritate, condiție ce trebuie să o îndeplinească un solvent pentru spectroscopia de fluorescență moleculară.

Dacă se dispune de un solvent având un grad de puritate mai scăzut (pur, purissim, p.a. etc) acesta trebuie obligatoriu distilat și să i se controleze absorbția și fluorescența. Chiar dacă aceste controale nu indică impurități „observabile” se recomandă să se utilizeze același solvent (din aceeași sticlă) atât pentru trasarea dreptei de etalonare cât și pentru dizolvarea probei de analizat.

Efecte stingătoare pot avea uneori chiar solvenții puri, mai ales cei ce conțin atomi de halogen (cum ar fi cloroformul), de asemenea și oxigenul dizolvat în solvent. Oxigenul dizolvat stinge mai ales fosforescența.

O metodă simplă de-a îndepărta oxigenul din soluție constă în barbotarea acesteia cu argon sau azot. Nu se barbotează solventul înainte de a face soluția căci, în timpul turnării acestuia, „captează” oxigen din aer.

Datorită faptului că și intensitățile fotoluminescenței (a fluorescenței, dacă se lucrează la temperatura camerei) sunt aditive se pot efectua, cu anumite precauții, analize cantitative “multicomponent” după principiul descris în cazul utilizării spectrelor de absorbție. Precauțiile trebuie să țină în primul rând seama de faptul că diverse impurități din soluție, printre care și oxigenul dizolvat în solvent, de multe ori chiar solventul, pot avea efecte “stingătoare” (de micșorare a intensității fluorescenței) diferite, în funcție de natura solvitului. Pe de altă parte și diversele substanțe ale probei de analizat pot avea, una asupra alteia, anumite efecte stingătoare (interferențe). Toate aceste efecte trebuie cunoscute înainte de efectuarea analizei.

IX.5. Analiza unor substanțe plecând de la complexii acestora cu diverși reactivi.

IX.5.1. Analiza unor ioni metalici.

Determinarea ionilor metalici aflați în diverse soluții (apă, ser etc), chiar și în cantități infime, se bazează pe faptul că prin combinarea acestora cu un reactiv (ligand) adecvat pot rezulta complecși (chelati) ce prezintă, în domeniul UV-VIS, o absorbție puternică, uneori și o fluorescență intensă. Liganții fiind compuși organici vorbim de complecși organo-metalici.

Prezența benzilor electronice intense la complecși organo-metalici se explică prin transferul de sarcină între ligand și ionul metalic. În mod normal tranziția are loc atunci când ionul metalic este redus și ligandul este oxidat. Se poate observa însă și fenomenul invers, atunci când un ion metalic aflat într-o stare de oxidare scăzută este complexat cu un ligand având o mare afinitate pentru electroni cum ar fi complexul Fe (II) - fenantrolină.

Agentul de complexare trebuie să îndeplinească următoarele condiții:

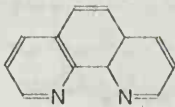
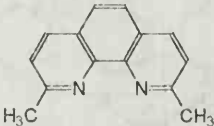
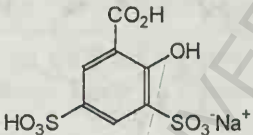
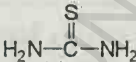
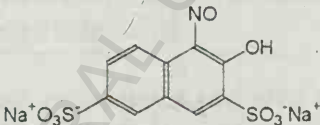
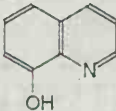
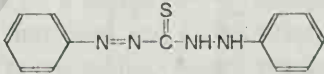
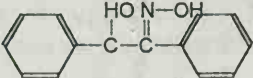
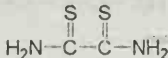
- reacția de complexare trebuie să fie completă și stoechiometrică,
- complexul trebuie să fie stabil,
- complexul trebuie să absoarbă în domeniul ultraviolet sau vizibil,
- spectrul de absorbție și de fluorescență al complexului să nu se suprapună cu spectrele similare ale ligandului.

Prin convertirea unui ion metalic într-un complex mai rezultă două avantaje importante pentru analiză. Un anumit agent de chelatizare va reacționa numai cu câțiva ioni metalici, ceea ce conferă selectivitate. Pe de altă parte, chiar dacă unii ioni metalici formează complecși cu același reactiv, caracteristicile de absorbție și fluorescență pot diferi destul de mult, pentru a permite determinarea unui anumit ion metalic în prezența altora.

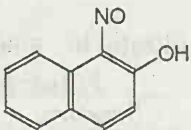
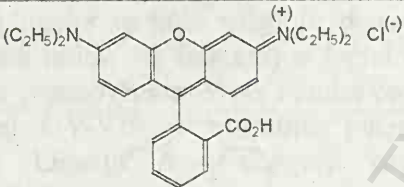
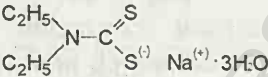
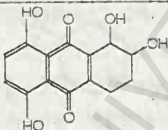
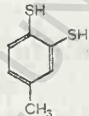
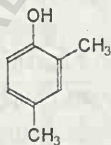
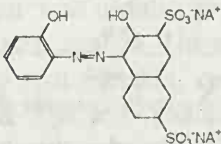
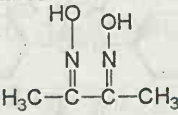
În tabelul 1 se prezintă unii din agenții de complexare care sunt utilizați în analiza spectrofotometrică a ionilor metalici. Dintre acești reactivi pot fi utilizați pentru analize fluorimetrice doar aceia ale căror

molecule conțin două sau mai multe inele benzenice.

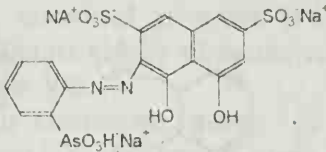
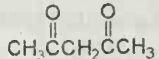
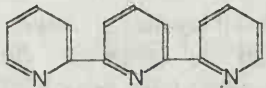
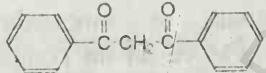
Tabel 1. Reactivi tipici utilizați în analizele spectrofotometrice și fluorometrice.

Reactivul	Structura	Ionul analizat ^{a)}
1,10-Fenantrolină		Fe (II)
2,9-Dimetil-1,10-fenantrolină		Cu (I)
Acid sulfosalicilic		Al (III), Ti (IV)
Tiouree		Bi (III), Os
Sare nitrozo R		Co (II)
8-Hidroxichinolină		Zn (II), Al (III), Ce (III), Ga (III), In (III), Mg (II), Sc (III) și alții
Ditizonă		Pb (II), Hg (II), Zn (II), Bi (III)
Benzoin α-oximă		Cu (II), Mo (V)
Ditiooxamidă		Ni (II), Co (II), Cu (II), Bi (III)

Tabel 1, continuare.

1-Nitrozo-2-naftol		Co (II)
Rodamină B		Sb (V)
Dietilditiocarbamat de sodiu		Cu (II)
Chinalizarină		B
Toluen-3, 4-ditiol		Sn (IV), Mo (V), W (VI)
2,4-Xilenol		NO ₃
Toron		Th (IV), Zr (IV)
Dimetilglioximă		Ni (II)

Tabel 1, continuare.

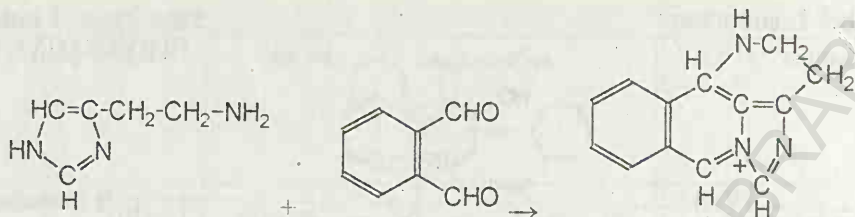
Arsenazo		Hf(IV), Zr(IV)
Acetilacetonă		Be(III)
2,2',2''-Terpirină		Co(II)
Dibenzoilmetan		UO ₂ (II)

^{b)} Ioni analizați mai frecvent cu reactivul respectiv. Dacă este înregistrat numai un ion trebuie luat în considerare faptul că reactivul este specific numai pentru acest ion.

IX.5.2. Analiza unor compuși ce nu prezintă benzi de absorbție și fluorescență în domeniul vizibil și ultraviolet apropiat, sau aceste benzi au o intensitate mică.

Este des utilizată proprietatea chelaților de a avea o absorbție și fluorescență intensă în UV-VIS. Pentru aceasta compusul de analizat este transformat într-un chelat, în urma reacției cu o sare a unui anumit metal. Ca exemple se pot da chelații: proteine - Cu(II) (vezi X.6.1.) și anhidrotetraciclina - Al(III) (vezi X.6.3.).

O altă metodă de a transforma un compus organic nefluorescent (sau slab fluorescent) într-unul cu o fluorescență intensă este de a-l combina cu un reactiv potrivit ales. Astfel, pentru determinarea histidinei și a imidazolilor înrudiți se utilizează ca reactiv de complexare o-ftalaldehida. Reacția histaminei cu acest reactiv este următoarea:



Pe baza fluorescenței compusului obținut (vezi și IX.6.4.) se poate determina histamina din țesuturi și sânge.

Pentru determinări de urme de sânge (în criminalistică, de exemplu) se utilizează frecvent două metode. Una din ele se bazează pe reacția dintre hemoglobină și hidrazida acidului 3-amoniifalic (luminolul), în prezența H_2O_2 , ce dă un compus puternic fluorescent. O altă metodă se bazează pe obținerea hematoporfirinei, având o fluorescență intensă, dacă urmele de sânge sunt tratate cu acid sulfuric concentrat.

Determinarea diglucozidei-malvodiza (malvina) din vinuri (compusul respectiv există în vinurile hibride) se face tratând mostra de vin cu acid azotic rezultând malvona care, dizolvată în amoniac, prezintă fluorescență. Pe baza acestei fluorescențe se poate controla faptul dacă vinurile nobile sunt amestecate cu vin hibrid.

Deoarece complexul format între substanța de determinat și ligant reprezintă de fapt o singură specie care absoarbe sau emite, toate considerațiile privind analiza calitativă și cantitativă făcute în IX.3. și IX.4. sunt valabile și în acest caz.

IX.6. Obținerea și înregistrarea spectrelor electronice din domeniul ultraviolet și vizibil (UV-VIS).

Dispozitivele pentru obținerea și înregistrarea spectrelor de absorbție se numesc spectrofotometre, cele pentru spectrele de fluorescență se numesc spectrofluorimetre iar cele pentru spectrele de fosforescență și fluorescență întârziată se numesc spectrofosforimetre.

Un spectrofotometru pentru UV-VIS are același principiu de funcționare ca și un spectrofotometru pentru IR (vezi VIII.4).

Diferențele dintre cele două tipuri de aparate se referă în principal la:

- optica utilizată; materialul prismelor și a diferitelor piese optice prin care trece lumina trebuie să fie din cuarț, care este transparent atât în UV cât și în VIS,
- sursa de radiații excitatoare; pentru UV-VIS se utilizează două surse – una pentru UV, de obicei o lampă cu deuteriu sau hidrogen, și alta pentru VIS – o lampă cu incandescență obișnuită (bec),
- receptorul de radiații; se utilizează fie celule fotoelectrice fie fotomultiplicatori,
- măsurarea intensității radiațiilor, I respectiv I_0 , se face tot printr-o metodă de zero însă în loc de "nulul" optic se utilizează "nulul" electric.

În fig.14 se prezintă schema optică a spectrofotometrului VSU-1, cu un singur fascicul, utilizat mai ales pentru efectuări de analize cantitative, când citirile extincțiilor se fac la anumite lungimi de undă.

Un spectrofluorimetru obișnuit (și mai ieftin) e mai simplu decât un spectrofotometru, schema lui de principiu fiind cea din fig. 12, unde:

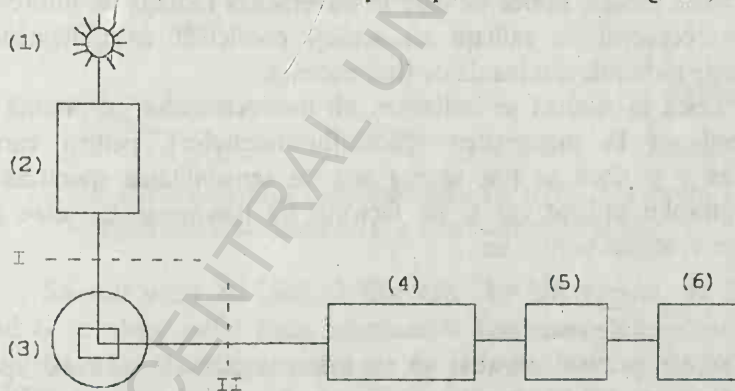


Fig 12. Schema de principiu a unui spectrofluorimetru - fără componentele I și II (prin adăugarea acestora instalația devine un spectrofosforimetru - vezi mai jos).

- (1): sursă de excitare-lampă cu xenon,(2): monocromator de excitare,
 (3): cuva cu soluție plasată într-un criostat,(4): monocromator de analiză,
 (5): fotodetector (fotomultiplicator, fotodiode etc.),(6): înregistrator,
 cuplat de obicei cu un amplificator de curent continuu (pentru curentul dat de fotomultiplicator).

Spectrul obținut cu o astfel de instalație simplă (cum avem și în laborator) nu este cel real. Precizăm că spectrul de fluorescență real este dependența mărimii I_F^ν de frecvența radiațiilor (sau a mărimii I_F^λ de lungimea de undă). Această mărime se definește astfel:

$$I_F^\nu = \frac{dQ}{d\nu} = \frac{\Delta Q}{\Delta \nu},$$

semnificația lui Q s-a precizat în IX.4.1.

Experimental se măsoară și se înregistrează ΔQ pentru diferite frecvențe (sau lungimi de undă) obținându-se așa numitul spectru măsurat (ΔQ exprimându-se în unități relative). Spectrul de fluorescență măsurat ar coincide cu cel real doar în următoarele situații:

- receptorul de radiații este neutru, în care caz semnalul obținut de la acesta depinde doar de energia radiațiilor nu și de frecvența lor,
- monocromatorul de analiză are, ca sistem dispersiv, o rețea de difracție, pentru care $\Delta \nu$ (semilărgimea benzii transmise) nu depinde de frecvență, adică $\Delta \nu = \text{const.}$,
- toate piesele optice pe care le traversează radiația de fluorescență până la receptorul de radiații au același coeficient de transmisie (L) pentru toate radiațiile din banda de fluorescență.

Dacă la analiză se utilizează un monocromator cu prismă (cum se procedează la majoritatea spectrofluorimetrelor), pentru care $\Delta \nu$ variază cu ν și dacă se ține seama atât de sensibilitatea spectrală P_ν a fotoreceptorului utilizat cât și de factorul de transmisie L_ν , care și ele variază cu ν , atunci vom avea:

$$\Delta Q \approx I_F^\nu \cdot \Delta \nu \cdot P_\nu \cdot L_\nu = I_F^\nu \cdot S_\nu,$$

unde: S_ν = factor de corecție.

Adică spectrul măsurat nu va mai coincide cu cel real. Spectrul real de fluorescență se va obține corectând spectrul măsurat, împărțind diversele valori ΔQ la factorul de corecție S_ν .

Nici spectrul de excitație al fluorescenței, obținut cu o instalație ca cea de mai sus, nu va fi cel real deoarece intensitățile: $I_0^{\nu_1}, I_0^{\nu_2}, I_0^{\nu_3}, \dots$ ale radiațiilor cu care se excită fluorescența diferă între ele din două motive:

- lampa utilizată la excitație are de obicei un astfel de spectru (continuu) încât intensitatea variază cu frecvența,

- coeficientul de transmisie L_v al monocromatorului de excitație variază și el cu v .

Spectrofluorimetrele moderne permit corectarea automată a ambelor tipuri de spectre.

Un spectrofosforimetru obișnuit are în plus, față de spectrofluorimetrul descris, un dispozitiv format din două întrerupătoare (obturatoare) mecanice sau optice (utilizând, de exemplu, efectul Keer), ce acționează periodic, având rolul de modatoare de intensitate.

Unul din obturatoare (I, fig. 12) modulează intensitatea radiației excitatoare, lăsând-o să cadă pe probă doar în intervalele de timp t_1 și o obturează pe intervalele de timp t_2 (fig. 13a).

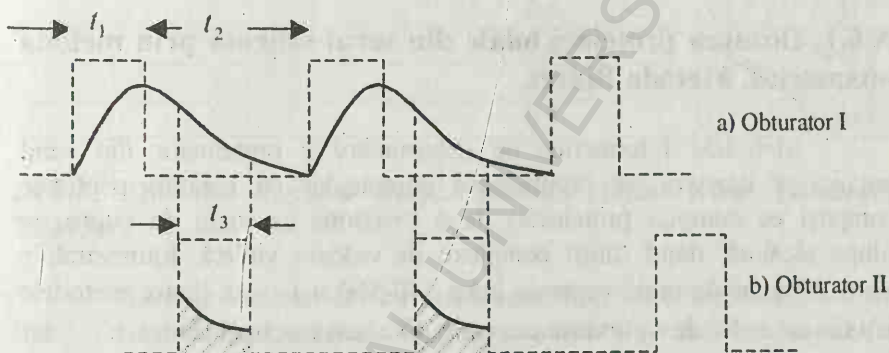


Fig. 13. Explicarea rolului obturatorilor I și II (fig. 12) pentru înregistrarea fosforescenței și a fluorescenței întârziate.

Se utilizează de obicei frecvența de întrerupere de 800 Hz. Timpul t_1 se alege astfel încât intensitatea fosforescenței să ajungă la o valoare staționară. Curba punctată din fig. 13 a) arată variația periodică a intensității luminii excitatoare ce cade pe probă. Această curbă va caracteriza de asemenea și variația intensității fluorescenței obișnuite (prompte) cu timpul. (Față de mărimea intervalului t_1 , de ordinul a 10^{-3} s, intensitatea maximă a fluorescenței prompte se atinge practic instantaneu la deschiderea obturatorului I și se stinge la fel de repede la "închiderea" lui). Curba continuă din fig. 13 a) arată creșterea și stingerea (descreșterea) fotoluminescenței de viață lungă în timpul cât I este deschis și închis.

Cel de al doilea obturator, II (fig 12), modulează intensitatea radiației de luminescență ce cade pe fotodetector; de obicei intervalul de timp t_3 , când acest obturator este deschis, se ia ceva mai mare decât t_1 , frecvența de modulare fiind aceeași ca la întrerupătorul I. În fig. 13 b) se prezintă situația când obturatorul II este defazat față de obturatorul I. În acest caz pe fotodetector cad numai radiații corespunzătoare fotoluminescenței de viață lungă, respectiv cele de fluorescență întârziată și fosforescență. Intensitatea totală a acestor radiații, pe durata t_3 , va fi aria hașurată.

IX.6. Probleme practice de laborator.

IX.6.1. Dozarea proteinei totale din serul sanguin prin metoda fotometrică. Metoda Biuret.

Metodele fotometrice de determinare a proteinelor din serul sanguin se bazează pe proprietățile compușilor cu legături peptidice (compuși ce compun proteinele) de a reacționa cu ionul de cupru, în soluție alcalină, dând săruri complexe de culoare violetă, fotometrabile pentru lungimi de undă cuprinse între 540-560 $m\mu$. Una dintre metodele de a obține astfel de săruri este cea care utilizează reactivul Biuret.

Reactivul Biuret se poate prepara din următorii compuși:

- sulfat de cupru.....1,5 g (dizolvate în 500 ml H_2O)
- tartat dublu de sodiu și potasiu (sare Seignette)....6 g (dizolvate în 200 ml H_2O)
- hidroxid de sodiu..... 30g (dizolvate în 300ml H_2O)
- iodură de potasiu1 g
- apă până la..... 1000 ml.

Modul de lucru : se pipetează în două eprubete:

	Soluția probă	Soluția martor
- probă (cu 1-10 mg proteină)	1 ml	
- apă	-	1 ml
- reactiv Biuret	4 ml	4 ml

Se agită și se lasă 30' la temperatura camerei. Se citește apoi

extincția la $\lambda = 546 \text{ nm}$, în cuva de 1cm. Concentrația de proteine din probă se va citi din curba de etalonare obținută cu proteină pură (albumină cristalizată). Datele necesare pentru trasarea curbei de etalonare sunt prezentate în tabelul de mai jos. Aceste date au fost obținute plecând la o soluție stoc ce conține 10 mg proteină pură pe 1ml, măsurătorile făcându-se tot pentru $\lambda = 546 \text{ nm}$, utilizând cuva de 1cm.

Concentrația albuminei, în mg/ml	ml din soluția stoc	ml H ₂ O	E (extincția)
10	1	-	0,515
8	0,8	0,2	0,410
6	0,6	0,4	0,315
4	0,4	0,6	0,215
2	0,2	0,8	0,110
1	0,1	0,9	0,055

IX.6.2. Dozarea fierului seric. Metoda fotometrică Helmeier-Plaetner.

Sărurile feroase dau cu ortofenantrolina un complex roșu foarte stabil, format din trei molecule de ortofenantrolină pentru un atom de fier feros (Fe^{++} , Fe (II)).

Reactivi necesari:

- acid clorhidric 6N,
- acid tricloracetic 20%,
- paranitrofenol 1% în alcool de 96^o,
- amoniac 20%,
- acid sulfuric 0,5N,
- hidrochinonă 2% (se face în ziua întrebuințării),
- clorhidrat de ortofenantrolină 1% în apă distilată, acidulată cu 2-3 picături de acid sulfuric,
- soluție stoc: alaun feriamoniacal 0,0863g, $[\text{FeNH}_4(\text{SO}_4)_2 \cdot 12\text{H}_2\text{O}]$ dizolvat în 500 ml HCl 6N

Din soluția stoc se face o diluție 1%: 1ml=2 μg Fe. Soluția servește la construirea curbei etalon, care se efectuează cu cel puțin 3

diluții ale acestei soluții.

Modul de lucru:

	Probă	Martor
Ser	2 ml	-
Acid clorhidric 6N	1 ml	-
Agitarea, 10 minute repaus		
Acid tricloracetic 20%	2 ml	-
Agitare, 10 minute repaus. Filtrare sau centrifugare		
Filtrat	2,5 ml	-
Apă	-	2,5 ml
p-nitrofenol	0,05 ml	0,05 ml
Amoniac până la neutralizare=culoarea galbenă		
Acid sulfuric 0,5N până la dispariția culorii galbene		
Hidrochinonă	0,5 ml	0,5 ml
Ortofenetrolină	0,5 ml	0,5 ml
Apă până la 5 ml volum final		

După 10 minute se citește extincția probei față de martor la $\lambda = 510 \mu\text{m}$ apoi concentrația fierului din probă se scoate din curba de etalonare.

Valori normale pentru concentrația fierului din ser sunt :

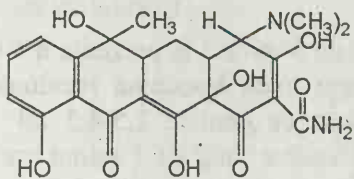
- pentru femei: 90-100 μg Fe la 100 ml ser,
- pentru bărbați 130-140 μg Fe la 100 ml ser.

IX.6.3. Determinarea tetraciclinei din serul sanguin prin metoda fluorometrică.

Tetraciclina (I), un antibiotic des utilizat, poate fi determinată prin metode fluorometrice după ce este transformată în anhidrotetracilină (II) și apoi complexată cu aluminiul.

Procedeul de lucru este următorul. Din sistemul metabolic se extrag 0,2 ml de ser, se adaugă 9 ml de apă și 1ml acid tricloracetic 30%, apoi soluția se amestecă și se centrifughează. Se iau 8 ml filtrat, se adaugă 1ml acid clorhidric 5M și fierbe soluția timp de 30 minute. După ce soluția este neutralizată cu o soluție de hidroxid de sodiu, se ajustează pH-ul cu ajutorul unei soluții tampon, la valoarea de 4,5 și se adaugă apoi

2 ml de cloroform.



I



II

Se ia 1ml din această soluție și se amestecă cu 1ml de $\text{AlCl}_3 \cdot 6\text{H}_2\text{O}$ 0,1% în alcool etilic absolut, lăsându-se apoi soluția liniștită timp de cel puțin o oră pentru a permite formarea complexului.

Concentrația necunoscută urmează să fie determinată din dreapta de etalonare, construită pentru o serie de standarde date. Dependența liniară între intensitatea fluorescenței (măsurată în unități relative) și concentrația tetraciclinei se obține pentru domeniul de concentrații 0,1-20 μg tetraciclină/ml probă.

Obs. Anhidrotetraciclina prezintă și ea fluorescență dar randamentul cuantic al acesteia este de circa 30 de ori mai mic decât al complexului cu aluminiu. Astfel, formarea complexului oferă analizei o sensibilitate mult mai mare.

X.6.4. Determinarea fluorometrică a histaminei din țesut prin metoda Shore.

În metoda Shore de determinare fluorometrică a histaminei se utilizează reacția de complexare a acesteia cu o-ftalaldehida, din care rezultă un compus având o fluorescență intensă (vezi X.5). Această metodă permite detectarea unor cantități foarte mici de histamină – de ordinul a 10^{-3} μg /ml.

Un volum determinat de țesut este omogenizat în 9 volume de acid percloric 0,4N, utilizând un dispozitiv de omogenizare. Omogenatul este lăsat în repaus un timp de 10 minute apoi este centrifugat. Se toarnă apoi o cantitate de 4 ml de lichid supernatant într-un balon cotat de 25ml, în care se găsesc 0,5 ml NaOH 5N, 1,5g NaCl și 10 ml de n-butanol. Balonul este agitat timp de 10 minute pentru extragerea histaminei de

către m-butanol iar după centrifugare faza apoasă este recoltată prin aspirare.

Faza organică este agitată timp de 5 minute în prezența a 5 ml de NaOH 0,1N. Prin aceasta se va extrage toată histamina reziduală. Se transferă 8 ml de soluție într-o eprubetă ce conține 2,5-4,5 ml acid clorhidric 1N și 15 ml n-heptan. După agitare timp de 1 minut eprubeta este centrifugată și histamina în faza apoasă va servi la determinările fluorometrice. Pentru a putea face astfel de determinări extractul de histamină trebuie condensat cu 0-ftalaldehidă într-o soluție puternic alcalină pentru a se obține complexul fluorescent.

Determinarea cantitativă a histaminei se va face pregătind în prealabil soluțiile etalon conținând între 0,05 și 0,5 μg /ml histamină, de exemplu 4 soluții etalon. Pentru fiecare din aceste soluții trebuie obținut complexul cu o-ftalaldehida. Pentru aceasta se iau 2 ml soluție etalon și se transferă într-o eprubetă în care se adaugă 0,4 ml de NaOH 1N și 0,1 ml de 0-ftalaldehidă. După 4 minute se mai adaugă 0,2 HCl 3N. Soluția este stabilă cel puțin jumătate de oră, timp în care se poate măsura intensitatea fluorescenței în unități relative, fie pe maxim ($\lambda_{\text{max}}^f = 4500 \text{ nm}$, $\lambda_{\text{exc}} = 360 \text{ nm}$) fie integrând banda de fluorescență.

Pentru concentrațiile de histamină între 0,05 și 0,5 μg /ml intensitatea fluorescenței complexului depinde liniar de concentrația histaminei.

Măsurând în final și intensitatea fluorescenței probei, în aceleași condiții în care s-au făcut măsurătorile pentru etaloane, concentrația necunoscută se va scoate din graficul de etalonare.

X.7. Schema optică a spectrofotometrului VSU-2P și cele mai importante reguli pentru lucrul la aparat.

Pentru măsurători de extincție la anumite lungimi de undă, măsurători necesare analizelor cantitative, se preferă utilizarea unui spectrofotometru cu un singur fascicul, cum este VSU-2P, precizia de citire a extincției fiind mai mare decât la aparatele similare cu două fascicule.

Schema optică simplificată a spectrofotometrului VSU-2P este prezentată în figura 14.

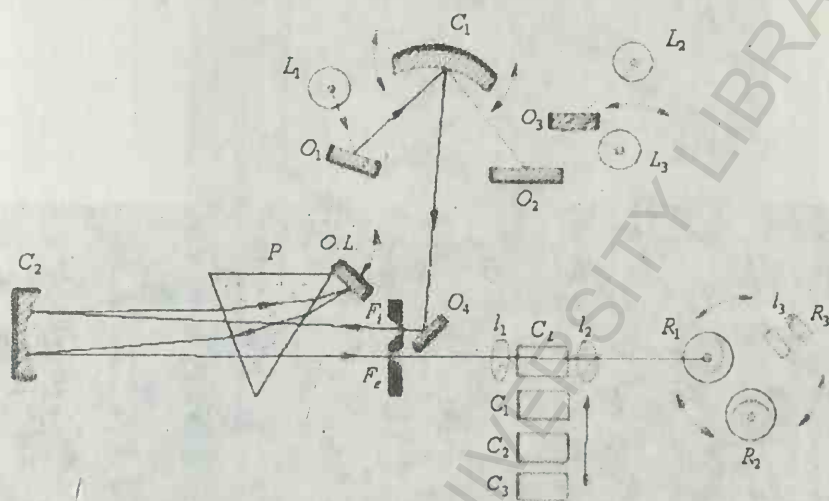


Fig. 14. Schema optică a spectrofotometrului VSU-2P.

L_1 : lampă cu deuteriu, pentru domeniul spectral 200-380 nm,

L_2 : lampă cu incandescență pentru domeniul 320-2700 nm,

L_3 : lampă cu vapori de mercur pentru verificarea etalonării scalei lungimilor de undă,

$O_1...O_4$ - oglinzi plane,

C_1, C_2 - oglinzi concave, C_1 - oglindă colimatoare; C_2 - oglindă de focalizare,

P - prismă, OL - oglinda Littrow,

F_1 - fantă de intrare, F_2 - fantă de ieșire,

l_1, l_2, l_3 - lentile de focalizare,

C_L - locaș cuvă pentru solvent,

$C_1...C_3$ - locașuri pentru cuvele cu soluții; R_1, R_2 : fotocelule,

R_3 : fotorezistență.

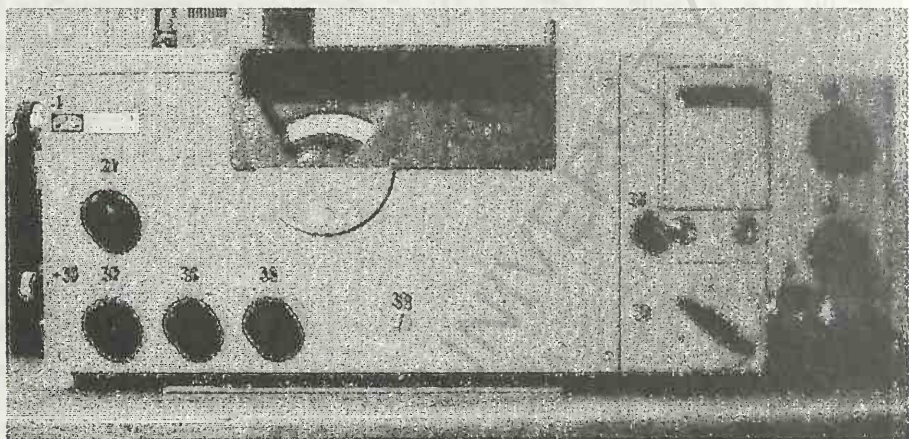


Fig. 15. Vederea din față a blocului cu componentele optice ale spectrofotometrului VSU-2P.

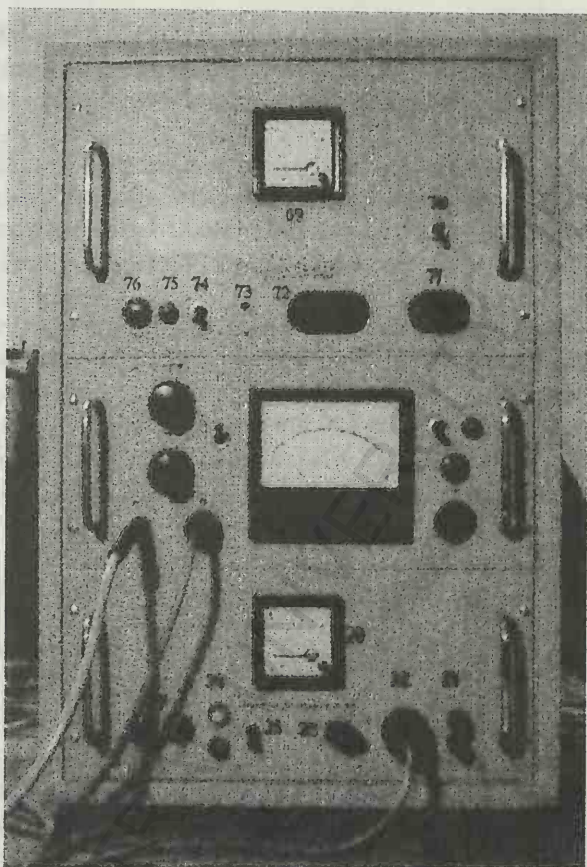


Fig. 16. Vederea din față a blocului cu circuitele electrice și electronice ale spectrofotometrului VSU-2P.

Rezumat al celor mai importante reguli de manipulare pentru utilizarea spectrofotometrului VSU-2P.

1. Pregătirea măsurătorii.

1.1. Declanșarea dispozitivului:

- a) Comutatorul domeniilor de măsură (36) se pune pe poziția zero.
- b) Rozeta gradată pentru reglarea fantei (1) se pune la zero.
- c) Se închide comutatorul (74) pentru alimentarea de la rețea: poziția (1). Se așteaptă până se aprinde becul roșu (75) iar tabloul (69) să indice 300 mA (în dreptul punctului marcat cu roșu).

- d) Lampa cu deuteriu (pentru domeniul spectral 200-380 nm) se cuplează cu comutatorul (70). Se așteaptă 15 minute până când lampa cu deuteriu intră în regim normal. Schimbătorul lămpilor (31) se aduce în dreptul punctului albastru.
- e) Lampa cu incandescență (pentru domeniul spectral 320 nm până în IR) se cuplează cu comutatorul (25) la stabilizatorul de tensiune 6V, 30W. Se așteaptă până când se aprind becurile (26) iar curentul de la tabloul (20) să indice 5A. Schimbătorul lămpilor (31) se aduce în dreptul punctului roșu.
- f) Pentru ambele lămpi se folosește fotocelula corespunzătoare cercului albastru - tambur (12), permițând lucrul în domeniul spectral 200-650 nm.

1.2. Reglarea punctului de zero al amplificatorului.

- a) Schimbătorul de probe (30) se pune pe D, M_1 , M_2 sau M_3 .
- b) Comutatorul domeniilor de măsură (36) se pune pe I.
- c) Cu reglorul punctului de zero (28) grosier se reglează spotul galvanometrului între firele scalei.
- d) Comutatorul domeniilor de măsură se pune pe IV și se reface cu butonul fin.

1.3. Reglarea punctului de zero al galvanometrului.

- a) Schimbătorul de probe se pune pe poziția L.
- b) Deviația eventuală a galvanometrului ce apare la a) se compensează prin deplasarea șaibei de poziție (5) a punctului de zero. La deviații mari se reface 1.2. Aparatul fiind reglat se evită manipularea șaibei.

2. Procedeu de măsurare.

2.1. Introducerea probelor în cutia cuvelor.

- a) Schimbătorul probelor se pune pe D.
- b) Se scoate afară măsuța cuvelor. Proba martor (solventul) se așează în locașul notat cu L iar probele de măsurat în locașurile notate cu M_1 , M_2 , M_3 . Atenție la curățirea, umplerea și manipularea cuvelor: să nu se zgârie sau să se spargă, în special în cazul cuvelor din cuarț.
- c) Măsuța cuvelor se introduce în cutia cuvelor și aceasta se închide.

2.2. Egalizarea curentului de întineric

- a) Schimbătorul probelor (30) se pune pe D.
- b) Schimbătorul domeniilor de măsură (36) se pune pe IV sau pe domeniul de măsură utilizat.
- c) Se apasă butonul de măsură (29) iar deviația spotului galvanometrului

se compensează cu compensatorul curentului de întineric (21).

2.3. Egalizarea valorilor de gol.

- Se stabilește lungimea de undă de măsură pe scala lungimilor de undă (7) cu rozeta lungimilor de undă (38).
- Schimbătorul probelor se pune pe L (valoarea de gol).
- Cu potențiometrul valorii de gol, grosier (37), buton mic, se reglează o anumită valoare de zero (7 diviziuni pe scală). O valoare mare de gol duce la o bună reproductibilitate a măsurătorilor însă duce și la o lărgire de bandă spectrală.
- Se apasă butonul de măsură (29) și deviația galvanometrului se compensează grosier cu rozeta fantei (1). Dacă spotul galvanometrului este mult în dreapta se micșorează fanta iar la deviații mari în stânga se mărește fanta. Pentru domeniul spectral 250-380 nm (lampa cu deuteriu) se lucrează cu fante având deschiderile cuprinse între 0,6 și 0,3. Astfel dacă se pornește de la 250 nm cu deschiderea fantei în jur de 0,6, pe măsura creșterii lungimii de undă se micșorează fanta. Pentru domeniul spectral 370-600 nm (lampa cu incandescență) se lucrează cu deschideri ale fantei cuprinse între 0,06 și 0,01.

Compensarea exactă a deviației galvanometrului se face cu potențiometrul valorii de gol fin (37), butonul mare.

2.4. Egalizarea valorilor de măsură.

- Schimbătorul probelor se pune pe proba cercetată: M_1 , M_2 sau M_3 .
- Se apasă butonul de măsură (29) și deviația galvanometrului se compensează cu potențiometrul de măsură (35). După caz domeniul de măsură se schimbă (cu comutatorul domeniilor de măsură (36)). Pe scala roșie se citește extincția iar pe scala neagră transmisia.

De exemplu dacă se citește extincția (scala roșie), o deplasare a spotului în dreapta denotă că diviziunea respectivă pe scală este prea mare, iar o deplasare a spotului în stânga arată că diviziunea aleasă pe scală este prea mică.

Cap.X. Analiza spectrală utilizând spectrele Raman de vibrație ale moleculelor.

X.1. Noțiuni generale despre spectrele Raman de vibrație ale moleculelor.

X.1.1. Efectul Raman normal.

Acest efect apare în cazul când soluția unei anumite substanțe este iradiată cu o radiație monocromatică (ν_0) din afara benzii electronice de absorbție a moleculelor acelei substanțe. Analizându-se, cu ajutorul unui aparat spectral, spectrul radiației difuzate (de obicei la 90° față de direcția radiațiilor incidente, excitatoare) se constată că acesta conține alături de linia ν_0 și alte linii de diverse frecvențe ν_i , mai mari sau mai mici decât ν_0 . Dacă rezoluția aparatului spectral nu este prea mare, radiațiile de frecvență ν_i apar ca niște „linii” relativ înguste, asemănătoare cu liniile din spectrele infraroșii.

Liniile de frecvență ν_i au fost denumite linii Raman (sau sateliți Raman), ele formând spectrul Raman al substanței și anume spectrul Raman de vibrație - justificarea o vom da mai jos.

Linia de frecvență ν_0 , ca și a radiației excitatoare, a fost denumită linie Rayleigh, deoarece apare prin așa numita difuzie Rayleigh - o împrăștiere (difuzie) pe neomogenitățile provocate de fluctuațiile de densitate ale mediului.

Intensitatea spectrului Raman este foarte mică acestuia revenindu-i circa 0,1-0,2% din intensitatea radiației incidente (ν_0), restul de 99,9% revenindu-i liniei Rayleigh. Din acest motiv, în condiții obișnuite, liniile Raman nu pot fi observate.

Pentru a se putea înregistra spectrele Raman se utilizează ca surse spectrale fie lămpi cu vapori de mercur de mare putere, fie laseri, iar ca detectori fie plăci fotografice, fie multiplicatori sau alte tipuri de detectoare de mare sensibilitate.

Se poate vorbi de fapt de două spectre Raman identice, unul

format din liniile Stokes (pentru care $\nu_i < \nu_0$), iar celălalt, simetric cu primul față de linia ν_0 , format din liniile anti-Stokes (având $\nu_i > \nu_0$). Spectrul anti-Stokes are o intensitate mult mai mică decât spectrul Stokes, cam de 2-3 ori mai mică. Aproape 0,07% din intensitatea liniei ν_0 revine liniilor Stokes și doar 0,03% liniilor anti-Stokes.

Se obișnuiește ca spectrele Raman să se reprezinte nu în funcție de frecvența ν ci în funcție de diferența $\Delta\nu_R = \nu_i - \nu_0$, diferență numită deplasare Raman.

Pentru exemplificarea celor de mai sus, în fig. 1 se prezintă spectrul Raman al tetraclorurii de carbon (CCl_4), excitat cu radiația laser având $\nu_0 = 20492 \text{ cm}^{-1}$ ($\lambda_0 = 488 \text{ nm}$).

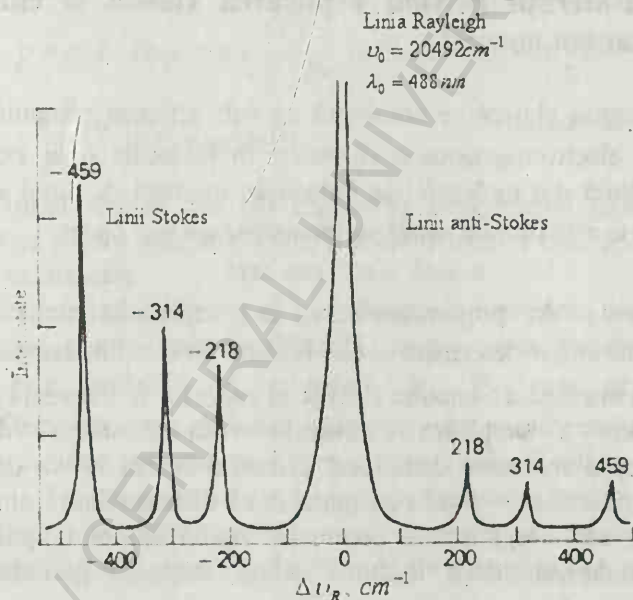


Fig. 1. O porțiune din spectrul Raman al CCl_4 .

Trebuie de notat că spectrul Raman al CCl_4 mai are încă două perechi de linii, la $\pm 762 \text{ cm}^{-1}$ și la $\pm 790 \text{ cm}^{-1}$.

S-au pus în evidență următoarele caracteristici importante ale

spectrelor Raman (ale efectului Raman):

- a) Liniile Raman, caracterizate prin deplasarea $\Delta\nu_R$, coincid cu o serie de linii (frecvențe) de vibrație ale moleculelor, unele din aceste linii întâlnindu-se și în spectrul IR al moleculelor respective,
- b) Liniile Raman, spre deosebire de liniile din spectrul IR, sunt polarizate (în cazul când radiația excitatoare nu e polarizată), gradul de polarizare depinzând de structura moleculelor,
- c) Spectrul Raman (mai exact mărimile deplasărilor Raman) nu depinde de frecvența, sau lungimea de undă, a radiației excitatoare.

X.1.2. Considerații privind explicarea clasică și cuantică a efectului Raman normal.

În teoria clasică se consideră că sub acțiunea câmpului electric \vec{E} al undei electromagnetice excitatoare, în moleculă (mai exact într-o anumită legătură din moleculă) se induce un moment de dipol electric \vec{p} , a cărui mărime este proporțională cu intensitatea aceluia câmp:

$$(1) \quad p = \alpha E = \alpha E_0 \cos 2\pi \nu t,$$

unde constanta de proporționalitate, α , reprezintă polarizabilitatea legăturii, o măsură a deformării acelei legături în câmpul electric; E_0 este amplitudinea maximă a câmpului electric al undei iar ν frecvența ei.

Pentru a simplifica explicațiile vom considera vibrația de întindere a unei molecule diatomice. Polarizabilitatea α va depinde de distanța interatomică, r , fiind mai mare când distanța dintre atomi crește și mai mică când legătura se contractă. Astfel că, în timpul vibrației moleculei, polarizabilitatea legăturii suferă fluctuații periodice, cu o

viteză dată de: $\frac{\partial \alpha}{\partial r}$. Polarizabilitatea la un anumit moment de timp va putea fi scrisă astfel:

$$(2) \quad \alpha = \alpha_0 + \left(\frac{\partial \alpha}{\partial r} \right) r_0 \cos 2\pi \nu_m t,$$

unde r_0 este distanța de echilibru dintre atomi, α_0 este polarizabilitatea legăturii la această distanță, iar ν_m este frecvența de vibrație a moleculei.

Înlocuind (2) în (1) se obține:

$$(3) \quad p = \left[\alpha_0 + \left(\frac{\partial \alpha}{\partial r} \right) r_0 \cos 2\pi \nu_m t \right] E_0 \cos 2\pi \nu t = \alpha_0 E_0 \cos 2\pi \nu t + \\ + \left(\frac{\partial \alpha}{\partial r} \right) r_0 E_0 \cos 2\pi \nu_m t \cos 2\pi \nu t.$$

Ținând seama de relația trigonometrică:

$$\cos x \cos y = \frac{1}{2} [\cos(x+y) + \cos(x-y)],$$

ecuația (3) devine:

$$(4) \quad p = \alpha_0 E_0 \cos 2\pi \nu t + \frac{1}{2} \left(\frac{\partial \alpha}{\partial r} \right) r_0 E_0 \cos 2\pi (\nu + \nu_m) t + \\ + \frac{1}{2} \left(\frac{\partial \alpha}{\partial r} \right) r_0 E_0 \cos 2\pi (\nu - \nu_m) t.$$

Primul termen din (4) reprezintă componenta momentului de dipol electric pentru linia Rayleigh, a cărei frecvență este egală cu aceea a radiației excitatoare.

Termenii al doilea și al treilea din (4) reprezintă momentele de dipol electric pentru radiația difuzată, pentru care frecvența radiației incidente este modulată de termenul $\pm \nu_m$, frecvența de vibrație a legăturii. Deci frecvența radiației incidente este modificată de frecvența vibrației moleculare, ceea ce duce la apariția sateliților Raman.

Este important de notat faptul că existența liniilor Raman implică ca polarizabilitatea legăturii să varieze în funcție de distanța interatomică. Astfel, pentru ca legătura să fie Raman activă, trebuie ca:

$$\frac{\partial \alpha}{\partial r} \neq 0.$$

Teoria clasică nu a putut explica (printre altele) o caracteristică importantă a spectrelor Raman și anume aceea că liniile anti-Stokes au o intensitate mult mai mică decât a celor Stokes.

În teoria cuantică difuzia Raman normală se explică prin

interacțiunea ("ciocnirea") neelastică dintre fotonii fascicului incident și moleculele mediului, aflate în diverse stări de vibrație (se poate neglija energia de rotație deoarece, în cazul utilizării unor aparate spectrale nu foarte performante, nu mai poate fi pusă în evidență și structura de rotație a diverselor "linii" de vibrație).

Să considerăm un șir de nivele de vibrație ale moleculei pentru starea ei electronică fundamentală: fig. 2.

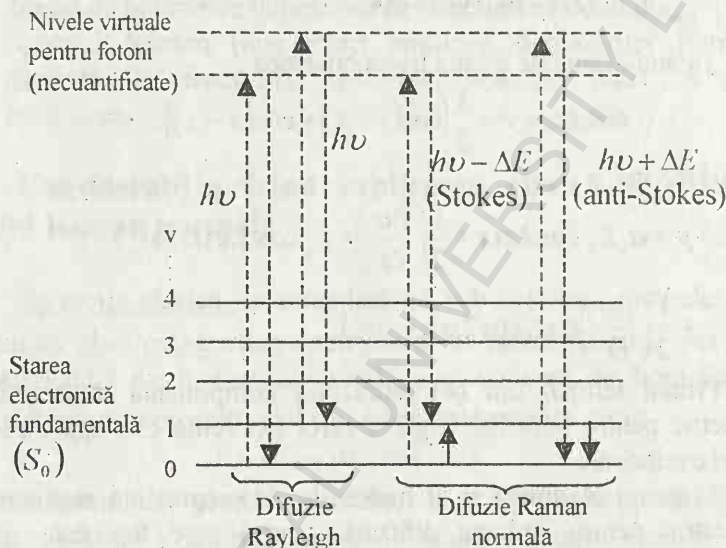


Fig. 2. Explicarea cuantică a difuziei Raman normale.

Pentru a explica calitativ difuzia Raman normală vom considera un foton de energie $h\nu$, oarecare, care se ciocnește (interacționează) cu o moleculă. Tranzițiile moleculei le vom figura cu linii pline iar "tranzițiile" corespunzătoare fotonilor incidenti și difuzați le vom figura cu linii întrerupte – săgeata cu vârful în sus indicând fotonul incident iar săgeata cu vârful în jos fotonul difuzat. Natural că e vorba de tranziții între nivele de energie imagineare (virtuale). Aceste nivele virtuale s-au introdus pentru a ușura explicarea fenomenului Raman.

În stânga diagramei am figurat difuzia Rayleigh, difuzie explicată considerând că are loc o ciocnire elastică dintre fotonul incident

și moleculă, aflată fie pe nivelul de vibrație cel mai coborât al stării electronice fundamentale (de obicei nivelul cu $v = 0$), fie pe alte nivele de vibrație, nivele ce sunt populate conform legii lui Boltzmann (deci în funcție de temperatura mediului). Molecula având o masă foarte mare în raport cu fotonul, energia acesteia nu se va modifica iar fotonul difuzat va avea aceeași energie $h\nu$ ca și cel incident.

În cazul ciocnirii neelastice a fotonului incident cu o moleculă aflată pe nivelul cu $v=0$, acesta poate ceda o parte din energia sa (ΔE) moleculei pentru a o trece pe un nivel de vibrație superior, cu $v=1,2,3,\dots$. Fotonii difuzați în acest fel vor avea diverse frecvențe $\nu' < \nu$ (linii Stokes), cuantele liniilor Raman coincizând cu cuantele corespunzătoare tranzițiilor din starea cu $v=0$ pe nivele de vibrație superioare ale stării electronice fundamentale.

În cazul ciocnirii neelastice a fotonului incident cu o moleculă aflată pe un anumit nivel de vibrație având $v \neq 0$, de exemplu pe nivelul cu $v=1$ (nivel evident, mai puțin populat decât cel cu $v=0$), fotonul difuzat poate prelua surplusul de energie de vibrație ΔE al moleculei (surplus numit și rezervă de energie de vibrație) astfel încât energia lui să devină: $h\nu + \Delta E = h\nu'$. În acest fel se explică calitativ atât apariția liniilor anti-Stokes cât și faptul că acestea au o intensitate mult mai mică decât cele Stokes.

Se observă că în cazul difuziei Raman normale fotonul incident poate avea orice energie $h\nu$, cu condiția ca frecvența ν să nu aparțină vreunei benzi electronice de absorbție a moleculei, adică nivelele virtuale nu sunt cuantificate. Deoarece intensitatea radiațiilor împrăștiate este proporțională cu $\frac{1}{\lambda^4}$, ca și în cazul difuziei Rayleigh (legitate ce explică culoarea albastră a cerului, de exemplu), ar fi recomandabilă utilizarea unor radiații excitatoare având lungimea de undă cât mai mică. Acest lucru nu e întotdeauna avantajos, cum vom vedea mai jos.

X.1.3. Efectul Raman de rezonanță.

În cazul difuziei Raman de rezonanță, fotonul incident are o energie egală cu aceea a unui nivel de vibrație dintr-o stare electronică

Din fig. 3 se observă că difuzia Raman a diferitelor radiații excitatoare din ultravioletul ceva mai îndepărtat (cazul a)), din ultravioletul apropiat și vizibil (cazul b)) sau din vizibil și infraroșu apropiat (cazul c)) produce aceeași variație a energiei de vibrație a moleculei. Prin umare radiația excitatoare se poate alege astfel încât să se elimine suprapunerea spectrului Raman cu cel din fluorescență.

Dacă se studiază mediile biologice, care conțin multe molecule fluorescente, se observă că în cazul b) frecvențele radiațiilor de fluorescență sunt apropiate de cele Raman, ceea ce determină un fond de fluorescență intens. În cazurile a) și c), deoarece frecvențele liniilor Raman diferă mult de cele de fluorescență, fondul de fluorescență din spectrul Raman este eliminat.

Spre deosebire de spectrele obținute în cazul efectului Raman normal, spectre ce pot avea un număr relativ mare de linii (vezi fig. 4 și 7) spectrele Raman de rezonanță sunt mult mai simple deoarece numai câteva moduri de vibrație contribuie la împrăștiere.

X.1.4. Comparație între spectrele IR și cele Raman cât și în ce privește aplicațiile lor.

Din cele arătate din paragrafele anterioare rezultă că ambele tipuri de spectre sunt datorate tranzițiilor moleculei între diferitele nivele de vibrație ale stării electronice fundamentale. Din acest motiv s-ar părea că cele două tipuri de spectre ar trebui să coincidă. Totuși, spectrul Raman al unei substanțe nu este identic cu spectrul IR: vezi fig. 4.

Necoincidența celor două tipuri de spectre se datorează faptului că în spectrul IR sunt active (absorb) doar acele vibrații ce determină variația momentului de dipol al moleculei, pe când în spectrul Raman sunt active acele vibrații ce determină o variație a polarizabilității moleculei. Dacă, în urma excitării unor vibrații normale, variază atât momentul de dipol cât și polarizabilitatea, atunci acele moduri de vibrație vor fi active în ambele tipuri de spectre.

Conform celor de mai sus, cele două tipuri de spectre sunt într-o oarecare măsură complementare deoarece fiecare dintre ele este asociat cu un anumit set de moduri de vibrație ale moleculei. Deci o cercetare

completă a substanței necesită utilizarea ambelor tipuri de spectre.

Un avantaj important al utilizării spectrelor Raman în analize biomedicale, și nu numai, este legat de faptul că pe de o parte apa nu prezintă un spectru Raman în domeniile spectrale de interes pentru aceste analize, pe de altă parte spectrul Raman al apei este puțin intens.

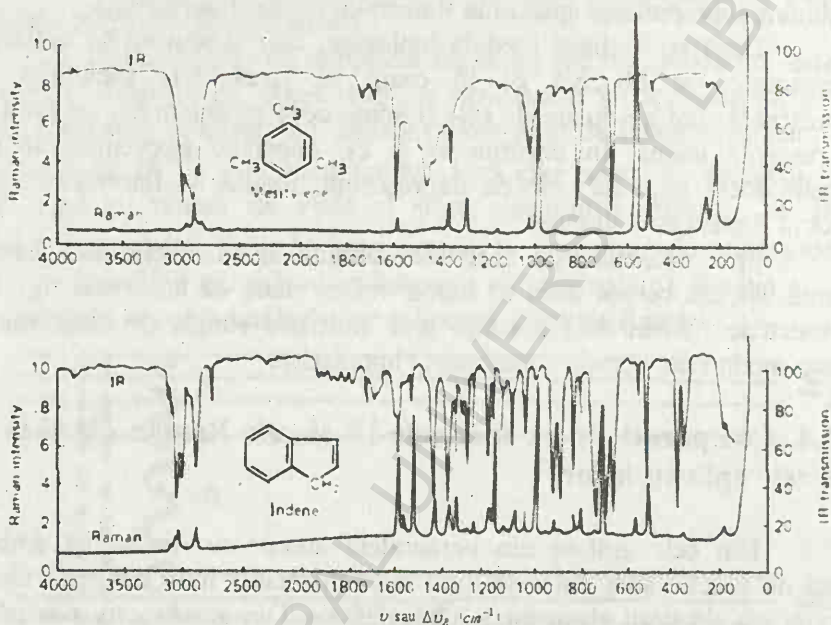


Fig. 4. Comparație între spectrele Raman și cele IR.

În fig. 5 și 6 se prezintă, pentru comparație spectrele IR ale lichidelor H_2O și D_2O , respectiv cele Raman. (Obs. Spre deosebire de spectrele moleculelor individuale, care sunt formate din "linii" relativ înguste, spectrele lichidelor cum ar fi apa, alcoolii etc., ale căror molecule se leagă prin punți de hidrogen, sunt alcătuite din benzi largi).

Deși spectroscopia Raman este utilizată pentru analize chimice și moleculare de mai mulți ani, aplicarea ei în biologie și medicină este relativ recentă. Studiile Raman ale țesuturilor biologice au fost inițiate abia în ultimii 10-15 ani, datorită dezvoltării unor tehnologii avansate, în particular în domeniul laserilor și al detectorilor. În momentul de față,

dintre metodele optice și spectrale ce se aplică în biologie și medicină pentru studiul compoziției chimice a țesuturilor, spectroscopia Raman oferă cele mai detaliate informații, fiind una din metodele cel mai puțin dăunătoare pentru aceste țesuturi.

Întrucât evoluția unei boli este însoțită de modificări chimice, spectroscopia Raman poate oferi medicului o serie de date prețioase

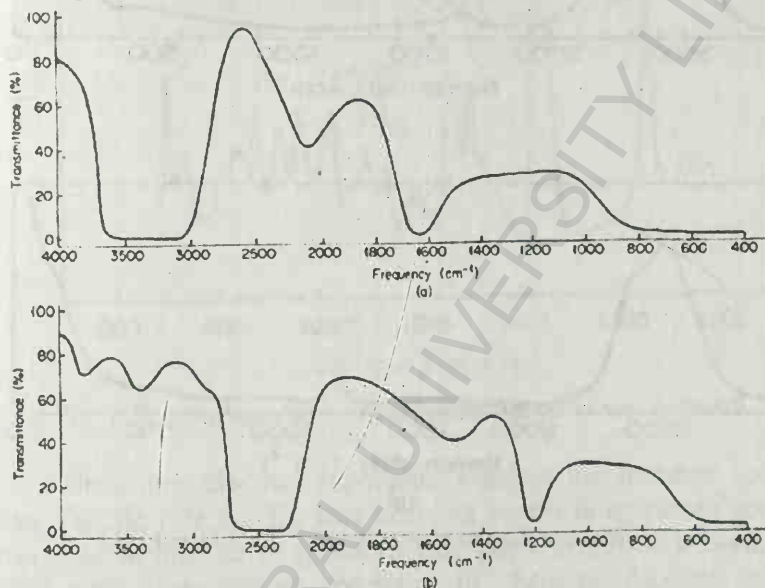
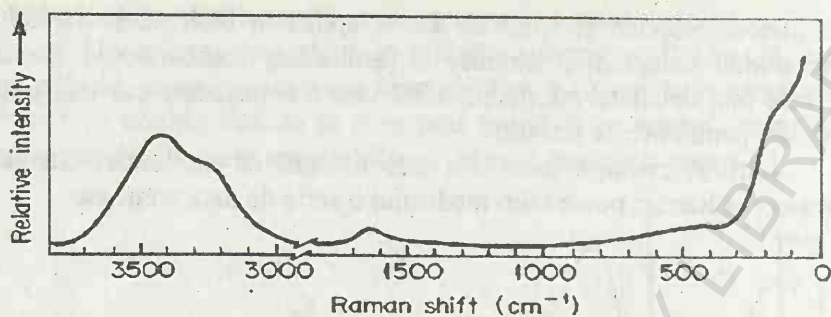


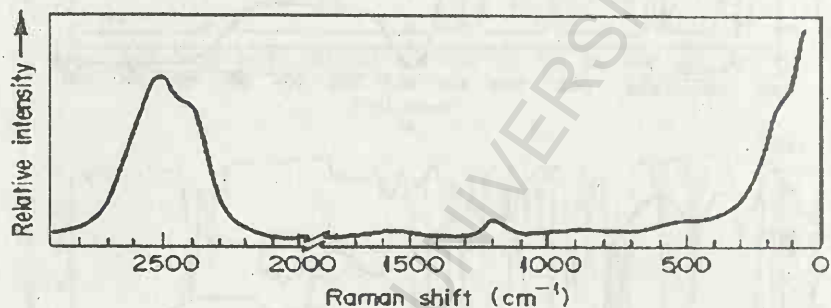
Fig.5. Spectrul infraroșu de absorbție al apei lichide din regiunea $4000\text{--}400\text{cm}^{-1}$. Grosimea stratului = $25\text{ }\mu\text{m}$. (a) H_2O ; (b) D_2O .

pentru diagnosticarea bolii.

Spectroscopia Raman poate fi aplicată și „in vivo”, dând informații necesare într-un timp scurt, aceasta deoarece lumina poate fi trimisă și colectată rapid prin fibre optice care pot fi incorporate în endoscoape sau în alte dispozitive similare. În prezent puține tehnici sunt capabile de a face o analiză biochimică a țesuturilor „in vivo”.



(a)



(b)

Fig. 6. Spectrul Raman al apei lichide: (a) H_2O ; (b) D_2O .

Spectrele Raman ale țesuturilor biologice sunt constituite, în general, din benzi relativ înguste, având lățimea tipică de $10\text{-}20\text{ cm}^{-1}$, benzi caracteristice biomoleculelor prezente în acele țesuturi. De exemplu, dacă proba de țesut conține colesterol, liniile (picurile) Raman corespunzătoare acestei substanțe vor fi prezente și în spectrul Raman al acelei probe. Spectrul Raman al colesterolului este prezentat în fig. 7, indicându-se și tipurile vibrațiilor corespunzătoare.

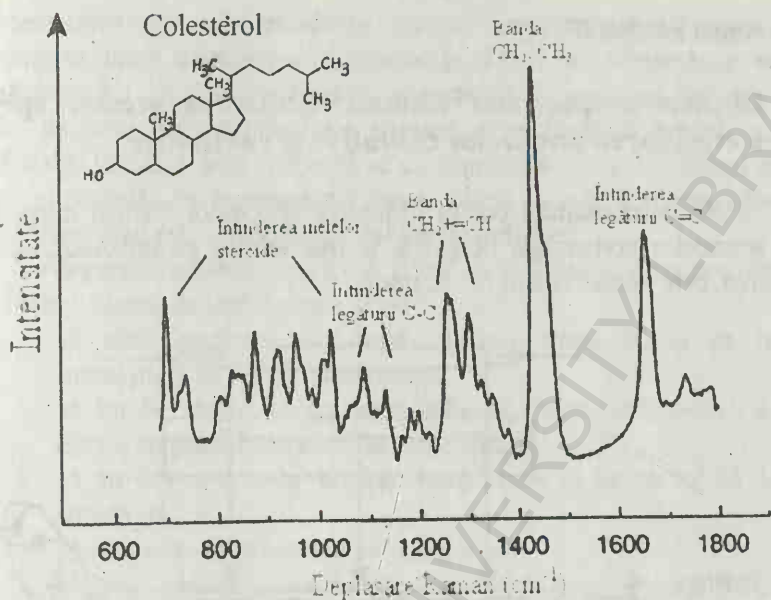


Fig. 7. Spectrul Raman al colesterolului din infraroșul apropiat.

Unul din cele mai importante avantaje ale utilizării spectrelor Raman, față de cele din IR, este acela că pentru înregistrarea spectrelor Raman este nevoie de o aparatură mai puțin costisitoare decât aceea utilizată pentru înregistrarea spectrelor IR. Aceasta, deoarece spectrele Raman sunt situate, în funcție de frecvența radiației excitatoare, fie în domeniile ultraviolet și vizibil, fie în domeniul IR apropiat, domenii pentru care se poate utiliza sticla obișnuită sau cuarțul, atât pentru componentele optice ale aparatului cât și pentru cuvele cu soluție, materiale mai ieftine și mai puțin pretențioase (fiind nehigroscopice) decât cele utilizate pentru domeniul 4000-400 cm⁻¹ (25000-250000 Å), domenii în care se înregistrează spectrele IR.

Avantaje sunt și în ce privește receptorii de radiații, cei utilizați pentru înregistrarea spectrelor Raman fiind mult mai ieftini și mai eficienți, decât cei utilizați pentru înregistrarea spectrelor IR. Din acest motiv, pentru înregistrarea spectrelor Raman se poate utiliza și metode dispersivă, alături și de cea nedispersivă (mai costisitoare), ce utilizează

transformata Fourier (FTR).

X.2. Obținerea spectrelor Raman. Utilizarea acestor spectre pentru efectuarea analizelor calitative și cantitative.

Schema montajului pentru obținerea spectrelor Raman normale în cazul aparatelor comerciale obișnuite și mai ieftine, ce utilizează metoda dispersivă, este prezentată în fig. 8, unde:

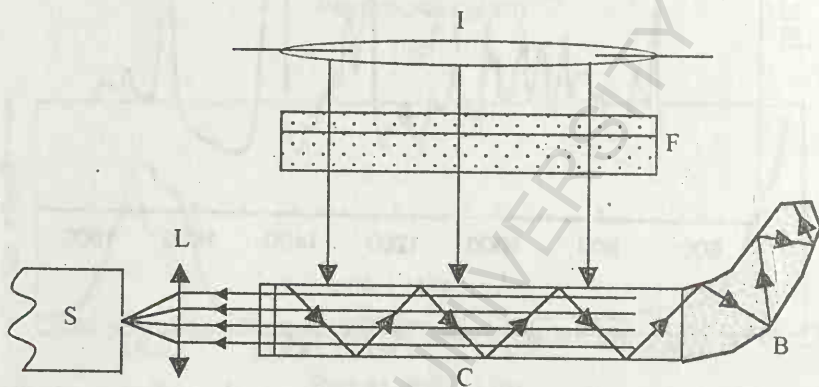


Fig. 8. Schema simplificată a unei instalații pentru înregistrarea spectrului Raman.

I: sursa de radiații excitatoare, o lampă cu vapori de mercur sau un laser.

F: filtru dublu (sticlă și apă), utilizat în cazul folosirii la excitare a unei lămpi cu vapori de mercur, având atât rolul de-a transmite radiații monocromatice cât și pentru a absorbi radiațiile IR emise de sursă, pentru a evita încălzirea probei.

C: cuva cu substanța de cercetat (în stare de gaz, de lichid sau pulbere cristalină ; de obicei se utilizează fie starea lichidă, fie soluțiile probei de analizat), cuva se termină cu un fel de corn înnegrit, zonă în care se absorb (parțial) radiațiile excitatoare care se reflectă de pereții cuvei.

S: instrumentul spectral pe fanta căruia este concentrată radiația difuzată, cu ajutorul lentilei L.

Deoarece intensitatea radiațiilor împrăștiate este proporțională

că intensitatea radiațiilor incidente, acestea sunt concentrate asupra cuvei cu ajutorul unor dispozitive convenabile. Dacă se folosește o singură lampă liniară (ca cea din figură), aceasta se dispune pe una din axele focale ale unei oglinzi cilindrice eliptice, cuva fiind în lungul celeilalte axe focale. În cazul altor dispozitive de iluminare sursa de radiații este de formă elicoidală, ea înconjurând cuva, filtrul F având formă cilindrică. Întreg ansamblul este introdus într-un înveliș reflector.

Alegerea radiației incidente (deci și a filtrului corespunzător) se face ținând seama de următoarele criterii:

- să aibă lungimea de undă cât mai mică, astfel ca radiația împrăștiată să fie cât mai intensă,
- să nu fie absorbită de către substanța cercetată, pentru a nu fi oprită de primele straturi de substanță,
- să nu dea naștere la radiație Raman care să fie absorbită de acea substanță,
- să nu excite fluorescența substanței,
- să nu cauzeze descompunere fotochimică a substanței de cercetat.

Radiațiile ultraviolete, deși au lungimea de undă mai mică decât a celor din domeniul vizibil, sunt folosite mai rar, ne îndeplinind celelalte condiții. Dintre radiațiile mercurului cele mai folosite sunt, în ordinea importanței, cele cu: $\lambda = 4358 \text{ \AA}$, 4047 \AA , 5461 \AA și 3650 \AA (UV).

Cuvele folosite pentru lichide sunt, de regulă, de formă cilindrică cu diametrul de 1-2 cm și lungimea de 10-15 cm, conținând $50-100 \text{ cm}^3$ lichid. În unele montaje se folosesc și cuve cu capacitatea de $0,1-1 \text{ cm}^3$, uneori chiar mai mică.

Înregistrarea spectrelor Raman se face cu aparate spectrale ce lucrează în UV-VIS, ne fiind nevoie de o optică specială ca și în cazul spectrofotometrelor pentru IR. Optica este de obicei din sticlă pirex ce este transparentă atât în domeniul UV- apropiat cât și în IR-apropiat. Nu este nevoie ca puterea de rezoluție a aparatelor spectrale să fie prea mare, fiind suficientă, de exemplu, o putere de rezoluție de ordinul lui 5000, în domeniul spectral din jurul lui 4500 \AA .

Ca receptori de radiații se folosesc fie plăci fotografice, acestea permițând înregistrarea și a unor linii Raman foarte slabe mărindu-se timpul de expunere, fie fotomultiplicatori sau fotodiode.

În cazul înregistrării fotografice a spectrelor, determinarea lungimii de undă a liniilor Raman (prima etapă a analizei calitative) se face cu ajutorul unui spectru de comparație care are un număr mare de linii standard, a căror lungimi de undă este cunoscută, spectru ce se înregistrează alături de spectrul de analizat. Astfel, dacă excitarea probei se face cu o lampă cu mercur sau cu un laser cu argon, drept spectru de referință poate fi ales spectrul în arc al fierului. Dacă excitarea probelor se face cu un laser cu He - Ne, atunci drept spectru de referință se folosește spectrul neonului. Măsurătorile în vederea determinărilor de lungimi de undă se fac cu ajutorul microscopului comparator Abbé (vezi laborator).

Schema unei instalații Raman moderne, utilizată în medicină pentru efectuarea unor analize „in vivo” este prezentată în fig. 9.

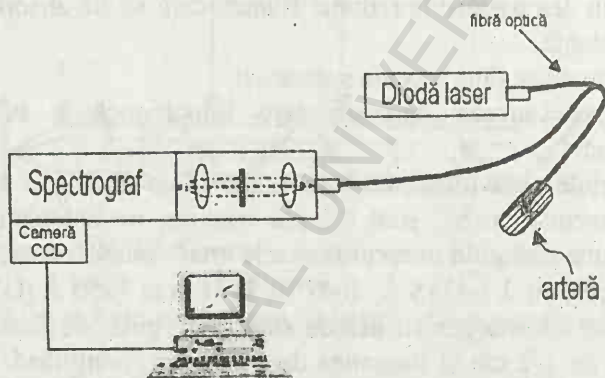


Fig. 9. Instalație Raman pentru diagnostic „in vivo”.

Pentru analizele „in vivo” se utilizează de obicei, ca surse de radiații excitatoare, laserii ce emit în infraroșu apropiat pentru că, pe de o parte, se reduce fondul datorat fluorescenței diferitelor biomolecule prezente în țesuturi, iar pe de altă parte, lumina din IR apropiat poate penetra țesutul, la adâncimi de ordinul milimetrilor.

Analizele calitative și de structură bazate pe spectrele Raman se fac în mod asemănător cu cel efectuate pe baza spectrelor IR. Existența a prea multor compuși în proba de analizat ar face ca analiza să fie practic imposibil de realizat din cauză că unele linii Raman s-ar suprapune. Din

acest motiv se obișnuiește ca în cazul unor amestecuri de lichide (cum este de exemplu țițeiul –amestecul unui număr mare de hidrocarburi) să se analizeze diverse fracții de distilare (în cazul țițeiului se recomandă ca, pentru aceste fracții, temperatura de distilare să varieze cu cel mult 10-15°C). În cazul amestecului de mai mulți compuși solizi s-ar putea utiliza procedeul extracției cu solvenți.

Analiza cantitativă, folosind spectrele Raman, se bazează pe faptul că în cazul unei probe, ce conține mai mulți componenți, intensitatea liniilor spectrale corespunzătoare fiecărui component este de obicei proporțională cu concentrația componentului respectiv, în limite de concentrații destul de largi. Astfel că, pentru efectuarea analizei cantitative mai întâi trebuie să se măsoare experimental intensitățile relative a liniilor diverselor componente existente în amestec, identificate în prealabil prin analiza calitativă (Practic se utilizează 3-4 linii pentru fiecare componentă). Aceste intensități se compară apoi cu cele ale componentelor pure din tabele. Este necesar ca determinarea experimentală a intensităților folosite în analiza cantitativă să fie făcută

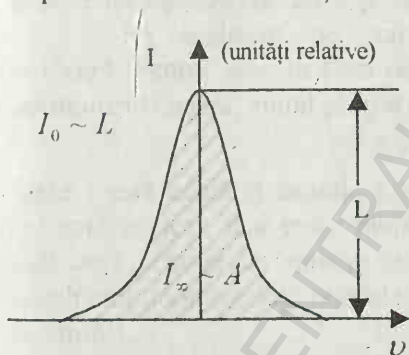


Fig.5. Aspectul unei linii Raman.

în aceleași condiții (deschiderea fantei, viteza de înregistrare etc.) în care s-au obținut și intensitățile din tabele. De obicei se utilizează fie intensitatea la maximumul liniei, I_0 , fie intensitatea integrală, I_r (Fig. 5).

Măsurarea acestor mărimi se face prin compararea cu intensitățile unor linii standard. Drept linie standard se utilizează de obicei linia $\Delta\nu_R = 802 \text{ cm}^{-1}$ a ciclohexanului, pentru care intensitatea la maximum

se ia egală cu 250 unități, iar intensitatea integrală este luată egală cu 500 unități.

Drept standard se mai folosesc și alte linii cum ar fi linia 459 cm^{-1} a tetraclorurii de carbon, linia 992 cm^{-1} a benzenului etc.

Pentru a măsura cele două tipuri de intensități se înregistrează cele două spectre (a probei și a standardului extern) în aceleași condiții (fotografic sau fotoelectric) și pentru aceeași cantitate de substanță.

(aceeași cuvă). În această situație I_0 și I_∞ vor fi date de formulele de mai jos:

$$I_0 = 250 \frac{L}{L_{802}} \frac{n^2}{n_{cicl}^2} \frac{S}{S_{802}} ; \quad I_\infty = 500 \frac{A}{A_{802}} \frac{n^2}{n_{cicl}^2} \frac{S}{S_{802}},$$

unde:

L = valoarea maximă a ordonatei conturului liniei spectrale analizate (în unități relative – diviziuni),

n = indicele de refracție al substanței,

S = sensibilitatea spectrală a plăcii fotografice sau a fotomultiplicatorului,

A = aria delimitată de conturul liniei date (măsurată, de exemplu, cu planimetrul),

L_{802} , n_{cicl} , S_{802} și A_{802} sunt mărimile analoage pentru ciclohexan.

Cap. XI. Spectroscopia de rezonanță magnetică nucleară.

XI.1. Principiile spectroscopiei de rezonanță magnetică nucleară.

Spectroscopia de rezonanță magnetică nucleară (RMN) a devenit în ultimele decenii una din cele mai eficace și mai larg utilizate metode fizice aplicate în studiul structurii moleculare. Se pot obține atât informații de natură "statică" (în cazul moleculelor care nu-și modifică structura în timp) cât și informații de natură dinamică care să indice modificarea structurii la diferite momente de timp, cum se întâmplă de exemplu în cazul reacțiilor chimice în cazul unor molecule cu structură fluctuantă etc.

Pe lângă aplicațiile privind structura moleculară, spectroscopia RMN este utilizată frecvent în multe domenii în scopul efectuării unor analize moleculare calitative și cantitative.

Să analizăm pe scurt fenomenul de rezonanță magnetică nucleară. Pentru aceasta vom reaminti faptul că nucleele atomilor posedă un moment cinetic, numit și spin nuclear, al cărui modul e dat de relația:

$$P_I = \hbar \sqrt{I(I+1)},$$

unde I este numărul cuantic total, sau intern al nucleului, el numindu-se tot spin nuclear, mai exact număr cuantic de spin al nucleului; I poate fi atât zero, cât și un număr întreg sau semiîntreg. Spinul nuclear este rezultanta momentelor orbitale și de spin ale nucleonilor (protoni și neutroni).

Momentului \vec{P}_I i se asociază un moment magnetic efectiv $\vec{\mu}_I$, numit moment magnetic de spin, al cărui modul se cuantifică conform relației:

$$\mu_I = g_I \mu_N \sqrt{I(I+1)},$$

unde : g_I este factorul giromagnetic nuclear (factorul Landé nuclear),
 μ_N reprezintă magnetonul nuclear, el având valoarea :

$$\mu_N = \frac{eh}{4\pi m_p} \cong 5 \cdot 10^{-27} \text{ A} \cdot \text{m}^2 \cong \frac{\mu_B}{1836},$$

$$\mu_B = \text{magnetonul Bohr-Procopiu: } \mu_B = \frac{eh}{4\pi m_0} \cong 9,3 \cdot 10^{-24} \text{ A} \cdot \text{m}^2,$$

m_p și m_0 fiind masa de repaus a protonului, respectiv a electronului.

Raportul dintre momentul magnetic și momentul cinetic corespunzător se numește raport giromagnetic (γ). În cazul nucleului raportul giromagnetic este:

$$\gamma = \frac{\mu_I}{P_I} = \frac{g_I \mu_N}{\hbar} = g_I \frac{e}{2m_p}$$

Informații privind spinul nuclear I , pentru starea fundamentală a nucleelor, se pot obține din următoarele reguli empirice:

- Nucleul cu un număr par de protoni și un număr par de neutroni are $I=0$ (deci și $P_I = 0$ și $\mu_I = 0$). Exemple: ${}^{12}_6\text{C}$, ${}^{16}_8\text{O}$, ${}^{32}_{16}\text{S}$ etc.
- Dacă nucleul conține un număr impar dintr-unul din tipurile de particule (protoni sau neutroni) I este semiîntreg (număr impar de $\frac{1}{2}$).
Exemple: ${}^1_1\text{H}$, ${}^{13}_6\text{C}$, ${}^{15}_7\text{N}$: $I = 1/2$, ${}^{11}_5\text{B}$: $I = 3/2$, ${}^{17}_8\text{O}$: $I = 5/2$
- Dacă ambele tipuri de particule sunt în număr impar, valoarea lui I este un număr par de $\frac{1}{2}$ (deci un număr întreg de 1, 2, 3...). Exemple: ${}^2_1\text{H}$: $I = 1$, ${}^{10}_5\text{B}$: $I = 3$, ${}^{14}_7\text{N}$: $I = 1$.

Regulile a) și b) pot fi explicate dacă se apelează la modelul în pături al nucleului, schema Mayer-Jensen, precum și la regulile de cuplaj Mayer-Jensen-Schmidt. Aceste probleme sunt tratate în cursurile de fizică nucleară. Vom reaminti doar regulile de cuplaj.

Regula I. Stările fundamentale ale nucleelor pare-pare au un moment cinetic total nul. Conform acestor reguli momentul cinetic total al neutronilor și al protonilor este nul fiecare în parte. Ca o consecință a acestui fapt, în nucleele cu Z par și N impar proprietățile stării fundamentale sunt determinate numai de configurațiile neutronice, iar în nucleele cu Z impar și N par proprietățile amintite sunt determinate numai de configurațiile protonice.

Regula II. Într-un nucleu cu A impar, nucleonii de aceeași specie existenți în număr par își cuplează momentele lor cinetice în așa

fel încât, în general, spinul nuclear este identic cu momentul cinetic (cu spinul) al ultimului nucleon rămas necuplat (situat pe ultimul nivel nuclear parțial ocupat numit nivel activ). Nucleonul de pe nivelul activ poate fi considerat un fel de „nucleon de valență”.

- Deci în cazul nucleelor ${}^1_1\text{H}$, ${}^{13}_6\text{C}$ și ${}^{15}_7\text{N}$, de exemplu, spinul I se datorează unui nucleon necuplat, pentru care spinul este $1/2$:
- unui proton aflat în starea $1s_{1/2}$, în cazul ${}^1_1\text{H}$,
 - unui neutron aflat în starea $1p_{1/2}$, în cazul ${}^{13}_6\text{C}$,
 - unui proton aflat în starea $1p_{1/2}$, în cazul ${}^{15}_7\text{N}$.

Dacă nucleul, mai exact atomul căruia îi aparține nucleul (ne referim pentru început la un atom izolat), este plasat într-un câmp magnetic "intens pentru structura hiperfină", având inducția \vec{B} de o astfel de valoare încât desface cuplajul dintre momentele $\vec{\mu}_I$ și $\vec{\mu}_J$ ($\vec{\mu}_J$ fiind momentul magnetic creat la atom de către învelișul electronic) atunci, datorită interacțiunii lui $\vec{\mu}_I$ cu \vec{B} , acel nucleu va căpăta o energie suplimentară dată de relația:

$$E_{m_I} = -(\vec{\mu}_I \cdot \vec{B}) = -g_I \mu_N B \cdot m_I,$$

unde m_I este numărul cuantic magnetic nuclear. Acest număr cuantifică proiecțiile lui $\vec{\mu}_I$ pe direcția lui \vec{B} , el putând lua valorile:

$$m_I = I, I-1, \dots, -I,$$

adică $2I+1$ valori.

Datorită acestei energii suplimentare, nivelul nuclear corespunzător stării fundamentale a nucleului (deci unei anumite valori a lui I , precizate mai sus) se va despică (desface) în $2I+1$ nivele (despicare Zeeman). Exemple:

$I=0$: nu avem despicare Zeeman, $I = \frac{1}{2}$: fig. 1 a), $I = \frac{3}{2}$: fig. 1 b).

Nivelele Zeeman ale protonului liber (${}^1_1\text{H}$), respectiv stările energetice ale acestuia în câmpul magnetic extern, se notează cu α , pentru $m_I = \frac{1}{2}$ și β , pentru $m_I = -\frac{1}{2}$.

Deci starea α va corespunde cazului când spinul este paralel cu \vec{B} iar starea β cazului când spinul este antiparalel cu \vec{B} .

Notațiile α și β se mai utilizează uneori și pentru nivelele

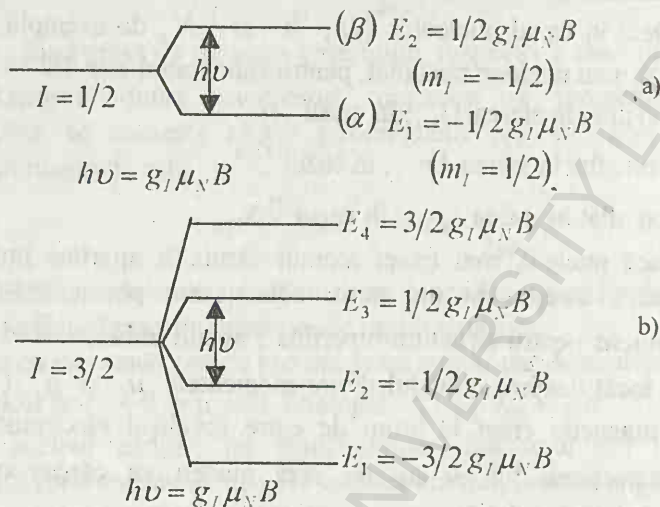


Fig. 1. Despicarea Zeeman a nivelelor nucleare într-un câmp magnetic intens pentru structura hiperfină :

a) $I = 1/2$, b) $I = 3/2$.

Zeeman ale nucleelor pentru care nucleonul de valență are spinul $1/2$.

Diferențele de energie între nivelele Zeeman (de exemplu diferența $h\nu$ între două nivele vecine) ale nucleului sunt foarte mici, astfel că populațiile acestor nivele nu vor diferi prea mult, totuși ele descresc pe măsură ce energia lor crește, conform formulei lui Boltzmann. Astfel vor exista mai multe stări α decât β etc.

Dacă nucleele (izolate), aflate în câmpul magnetic B , sunt iradiate cu radiații electromagnetice de frecvență $\nu = \frac{g_I \mu_N B}{h}$ (și dacă sunt satisfăcute și alte condiții pe care le vom preciza mai jos) atunci se pot realiza atât tranziții de absorbție (de tipul $E_1 \rightarrow E_2$) cât și de emisie stimulată ($E_2 \rightarrow E_1$), primele totuși fiind mai numeroase, astfel încât, în final, are loc o absorbție de energie (absorbție slabă). Acest fenomen a

primit denumirea de rezonanță magnetică nucleară (RMN). Frecvența ν , numită frecvența de rezonanță, este de ordinul a 10^6 Hz (radiofrecvență), ea depinzând atât de tipul nucleului cât și de B . De exemplu pentru protoni, la un câmp $B=12\text{T}$ (limita superioară a câmpurilor ce se pot realiza astăzi), $\nu=500\text{ MHz}$.

Se observă că în cazul protonului, de exemplu, în urma fenomenului RMN spinul nuclear (mai exact \vec{P}_I) își schimbă orientarea, din cea "paralelă" cu câmpul ($m_I=1/2$) în cea "antiparalelă" ($m_I=-1/2$), fig. 1 a).

Fenomenul RMN poate fi studiat apelându-se și la teoria clasică (electrodinamica clasică), teorie care poate preciza mai bine unele aspecte ale acestui fenomen. (De altfel conform principiului de corespondență a lui Bohr fizica cuantică tinde la fizica clasică în cazul numerelor cuantice mari, respectiv în cazul când nivelele energetice sunt foarte apropiate).

Conform teoriei clasice dacă un nucleu este plasat într-un câmp magnetic \vec{B} , momentul magnetic al acestuia $\vec{\mu}_I$ va executa o mișcare de precesie în jurul lui \vec{B} cu o frecvență Larmor:

$$\nu_L = \gamma\beta/2\pi = g_I \mu_N B/h,$$

adică cu o frecvență egală tocmai cu frecvența de rezonanță ν . Tot în această teorie se mai arată că dacă se mai aplică un câmp electromagnetic suplimentar, de frecvență ν_L , având inducția $\vec{B}_1 \perp \vec{B}$, și care este polarizat circular, atunci are loc o absorbție de energie de la acest câmp (are loc o "rezonanță"), rezultatul acestei absorbții fiind schimbarea orientării momentului $\vec{\mu}_I$ din cea "paralelă" cu câmpul în cea "antiparalelă" (fig.2).

În practică se utilizează câmpuri B_1 oscilante (polarizate liniar) și nu rotatorii, ultimele fiind mai complicat de obținut. Înlocuirea acestora se bazează pe faptul că un câmp oscilant, polarizat liniar, poate fi descompus în două câmpuri polarizate circular și care se rotesc în sensuri opuse cu aceeași frecvență ν ca și a câmpului oscilant.

Dispozitivele (aparatele) cu ajutorul cărora se poate obține, detecta și înregistra fenomenul RMN au primit denumirea de spectrometre RMN.

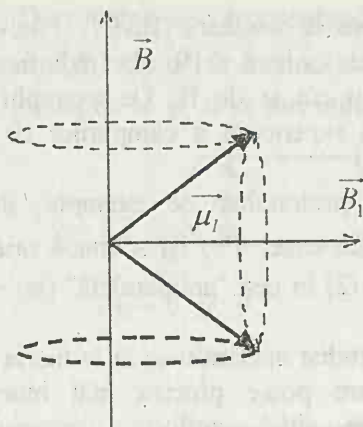


Fig. 2. Explicarea acțiunii, asupra nucleului, a câmpurilor \vec{B} și \vec{B}_1 , apelându-se la teoria clasică.

Deoarece rezonanța se poate obține variind fie B fie ν s-au creat două tipuri de spectrometre RMN – unele având ν constant și B variabil iar altele cu B constant și ν variabil.

Prezentăm în fig. 3 schema de principiu a unui spectrometru de primul tip și care folosește pentru detectarea semnalului RMN așa-numita metodă a absorbției.

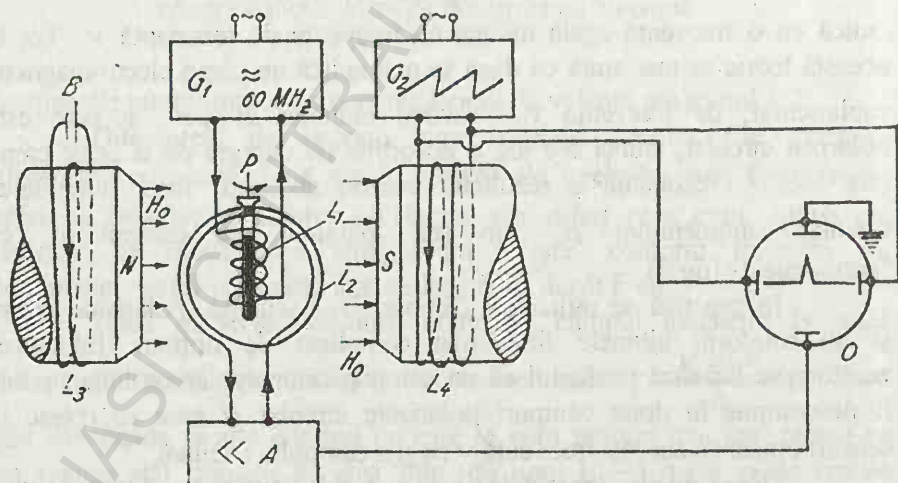


Fig. 3. Schema de principiu a unui spectrometru RMN, de tip frecvență constantă-câmp magnetic variabil utilizând, pentru detecție, metoda absorbției.

Eprubeta P cu proba (sub formă lichidă) se așează în interiorul bobinei L_1 a generatorului de radiofrecvență G_1 , care creează câmpul \vec{B}_1 . Acesta oscilează cu o frecvență fixă ν ; în mod curent se folosesc generatoare de 60, 100 și mai recent de 200 sau chiar 500 MHz.

Bobina L_1 , cu proba, este plasată într-un câmp magnetic puternic creat de un electromagnet, astfel ca axa bobinei să fie perpendiculară pe inducția \vec{B} a câmpului. În scopul îndepărtării unor efecte legate de neomogenitatea câmpului B eprubeta se rotește ca în figură, astfel ca toate nucleele magnetice să fie supuse la același câmp mediu.

Deoarece ν este constant trebuie să se varieze B pentru a se obține rezonanța. Varierea lui B se face cu ajutorul unui generator de curent G_2 "în dinți de fierăstrău", legat la bobina L_3 , care este montată pe unul din polii electromagnetului. Generatorul G_2 creează și baza de timp a osciloscopului.

Când se îndeplinește condiția de rezonanță are loc o absorbție de energie din circuitul bobinei L_1 . Absorbția este detectată de o a doua bobină L_2 , perpendiculară pe prima (ca să nu fie cuplate), în care se induce un curent foarte slab prin fenomenul de inducție magnetică nucleară, ce are loc în urma "rotirii" lui $\vec{\mu}_I$ din poziția „paralelă cu câmpul” în poziția „antiparalelă”. Curentul din L_2 este amplificat de amplificatorul A și se aplică apoi pe plăcile "verticale" ale osciloscopului. Pe ecranul acestuia va apare semnalul RMN sub forma unui pic (sau mai multe picuri). În loc de osciloscop se poate utiliza un înregistrator în care caz semnalul RMN va apare înscris pe o hârtie.

În prezent se studiază o mare varietate de nuclee prin fenomenul RMN cum ar fi protonii, nucleele ^{19}F (care au momente magnetice relativ mari) și în special ^{13}C și ^{31}P . Aplicațiile fenomenului RMN la aceste nuclee se bazează pe faptul că poziția semnalului RMN (în scara B, de exemplu) depinde de combinația chimică în care se află acel nucleu, adică de norul electronic care îl înconjoară. Acest nor are o acțiune de ecranare (de modificare) a câmpului magnetic aplicat. Din această cauză are loc o așa-numită deplasare chimică a semnalului RMN, față de semnalul nucleului liber, în funcție de atomii cu care se leagă. Pe

de altă parte înălțimea semnalului RMN ("înălțimea" picului) este proporțională cu concentrația acelor nuclee din probă. Aceste date sunt utile atât la efectuarea unor analize calitative cât și a unora cantitative, cum vom vedea mai jos.

XI. 2. Deplasarea chimică și structura moleculară.

În general ecranarea unui nucleu poate fi redată printr-un parametru σ care exprimă modificarea câmpului exterior B : $\delta B = -\sigma B$, σ purtând denumirea de constantă de ecranare. S-a luat semnul $(-)$ deoarece câmpul exterior este de obicei micșorat, astfel încât asupra nucleului va acționa de fapt un câmp local (sau efectiv) egal cu:

$$B_{loc} = B + \delta B = (1 - \sigma)B.$$

În acest caz frecvența Larmor va fi:

$$\nu_L = \frac{\gamma B_{loc}}{2\pi} = (1 - \sigma) \frac{\gamma B}{2\pi}.$$

Această frecvență este diferită pentru nuclee situate în diferite vecinătăți, cum se întâmplă într-o moleculă. Deci diferite nuclee, chiar ale aceluiași element (de aceeași natură) intră în rezonanță la frecvențe diferite (presupunând B constant). Dacă se menține însă ν constant, ca și în cazul spectrometrului discutat anterior, se vor obține diferite picuri pentru aceste nuclee (de același fel) în funcție de σ . Deci în acest fel se manifestă deplasarea chimică. Pentru exemplificare, în fig. 4 se prezintă spectrul 1H -RMN al alcoolului etilic.

Deoarece deplasarea chimică nu poate fi, practic, măsurată raportându-ne la nucleele libere, aceasta se măsoară în raport cu poziția semnalului RMN al unui compus standard, care poate fi introdus în prealabil în aparat (standard extern) sau dizolvat în probă (standard intern).

Deplasarea chimică se exprimă cantitativ prin parametrul adimensional δ , definit prin oricare din următoarele expresii:

$$\delta(ppm) = (\sigma_{ref} - \sigma) \cdot 10^6,$$

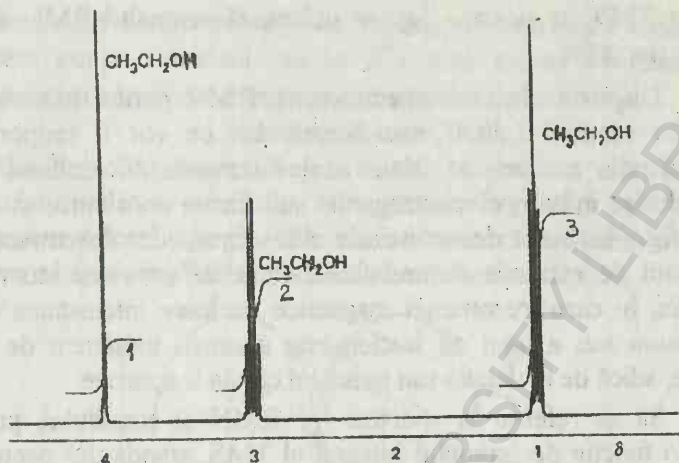


Fig. 4. Spectrul ^1H -RMN al alcoolului etilic. Literele îngroșate desemnează protonii care conduc la maximumul de rezonanță, iar curba cu inflexiune este semnalul integrat.

în funcție de constanta de ecranare,

$$\delta(\text{ppm}) = \frac{\nu - \nu_{\text{ref}}}{\nu_{\text{ref}}} \cdot 10^6,$$

când se utilizează câmpul B constant, și :

$$\delta(\text{ppm}) = \frac{B_{\text{ref}} - B}{B_{\text{ref}}} \cdot 10^6,$$

când spectrul RMN se obține la frecvența constantă ν_0 a câmpului oscilant B_1 .

Exprimarea lui δ se face în părți pe milion (ppm) deoarece s-a introdus factorul 10^6 , altfel ar fi rezultat niște mărimi foarte mici.

Valoarea lui δ este independentă de câmpul magnetic, respectiv de frecvență și chiar de aparatul folosit.

Standardul pentru protoni este molecula de tetrametilsilan: $\text{Si}(\text{CH}_3)_4$ (TMS), mai exact protonii din această moleculă care dau toți un singur semnal (adică ei sunt echivalenți, cum vom vedea mai jos). Pentru nucleul ^{13}C ca semnal de referință se utilizează acela al nucleului

^{13}C din TMS iar pentru ^{31}P se utilizează semnalul RMN al ^{31}P din H_3PO_4 (aq. 85%).

Dispozitivele unui spectrometru RMN permit măsurarea ariilor diverselor semnale („linii” sau benzi), arii ce vor fi proporționale cu numărul de nuclee ce dau acele semnale. Rezultatul integrării semnalelor se indică pe spectrogramă sub forma unor curbe cu inflexiuni, ca în fig. 4. Spre deosebire de alte tipuri de spectroscopii, unde coeficienții de extincție depind foarte mult de structura atomului sau a moleculei, în cazul rezonanței magnetice nucleare intensitatea semnalului unui proton sau a unui alt nucleu este aceeași, indiferent de gradul de ecranare, adică de molecula sau radicalul căruia îi aparține.

Să ne referim la spectrul ^1H -RMN al etanolului, prezentat în fig. 4. În funcție de semnalul integrat al TMS, standardul pentru protoni, ce are 12 protoni echivalenți, se poate stabili pentru fiecare din cele trei semnale (de la $\delta = 1,3$ și 4) numărul de protoni implicați. Acest număr s-a trecut, pe fig. 4, în dreptul semnalului integrat.

În felul acesta se poate evalua numărul total de protoni ai unei molecule căreia i se cunoaște masa molară (vezi și XI.5), fapt ce are o deosebită valoare analitică, întrucât permite identificarea unui compus prezent într-o probă.

Pentru protoni marea majoritate a semnalelor RMN au valori δ pozitive indicând că valorile σ sunt inferioare celor ale TMS; ele se situează de regulă în domeniul 0–10 ppm. Pentru alte nuclee domeniul de variație a deplasărilor chimice uzuale este mai larg: 0–500 ppm pentru ^{19}F , 0–900 ppm pentru ^{15}N ; 0–400 ppm pentru ^{13}C . Aceasta indică o dependență pronunțată a deplasărilor chimice de structura moleculară, ceea ce sporește valoarea analitică a metodei.

În continuare vom analiza, pe scurt, originea constantelor de ecranare. Calculul acestor constante este o problemă foarte dificilă deoarece necesită informații detaliate asupra distribuției densității electronice în starea fundamentală și excitată a moleculei precum și asupra energiilor de excitare.

Din volumul mare de date empirice acumulate s-a tras concluzia că σ poate fi scrisă ca suma a trei contribuții:

$$\sigma = \sigma(\text{loc}) + \sigma(\text{moleculă}) + \sigma(\text{solvent}).$$

Contribuția locală $\sigma(\text{loc})$ este în esență contribuția electronilor atomului care conține nucleul studiat. Ea este suma unei contribuții diamagnetice σ_d și a unei contribuții paramagnetice σ_p :

$$\sigma(\text{loc}) = \sigma_d(\text{loc}) + \sigma_p(\text{loc}).$$

Contribuția diamagnetică provine din distribuția electronică în starea fundamentală a atomului. Circulația electronilor și precesia Larmor a momentelor magnetice electronice creează un câmp magnetic care se opune câmpului aplicat și deci ecranează nucleul (fig. 5).

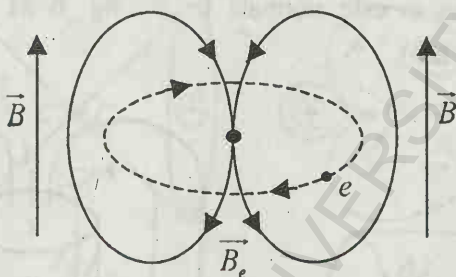


Fig. 5. Ecranarea nucleului datorită „circulației” electronului în jurul nucleului ($B_{loc} = B - B_e$).

Contribuția diamagnetică este singura contribuție în atomii liberi cu înveliș închis. Ea este de asemenea singura contribuție la ecranarea locală pe distribuții de sarcină care au simetrie sferică sau cilindrică. Contribuția diamagnetică este practic proporțională cu densitatea electronică a atomului ce conține nucleul de interes. Rezultă că ecranarea scade dacă densitatea electronică pe atom se reduce ca urmare a influenței unui atom electronegativ din apropiere.

Contribuția paramagnetică σ_p (având valoare negativă) provine din capacitatea câmpului aplicat de-a forța electronii să circule prin moleculă folosind orbitalii neocupați în starea fundamentală. Ea este zero în atomii liberi și în jurul axelor moleculelor liniare (ca $\text{HC}\equiv\text{CH}$) unde electronii pot circula liberi, iar un câmp aplicat în jurul axei internucleare este incapabil să-i deplaseze pe alți orbitali.

Mărimea contribuției paramagnetice depinde de ușurința cu care câmpul aplicat poate promova electroni în orbitali neocupați. Deci ea este invers proporțională cu separarea de energie dintre cel mai înalt orbital

ocupat al moleculei și orbitalul vacant cel mai coborât. S-a găsit că pentru alți atomi, afară de hidrogen, contribuția paramagnetică este contribuția locală dominantă.

Contribuția moleculară (sau a grupelor învecinate acelui nucleu) provine din curenții induși de B în grupele vecine atomilor. Efectul oricărui fel de curent (diamagnetic sau paramagnetic) este de-a ecrana sau dezecrana nucleul, în funcție de poziția relativă a nucleului față de grupele învecinate. Să luăm ca exemplu molecula de acetilenă în două situații – când axa ei este normală la \vec{B} , fig. 6 a), și când axa este paralelă cu \vec{B} , fig. 6 b).

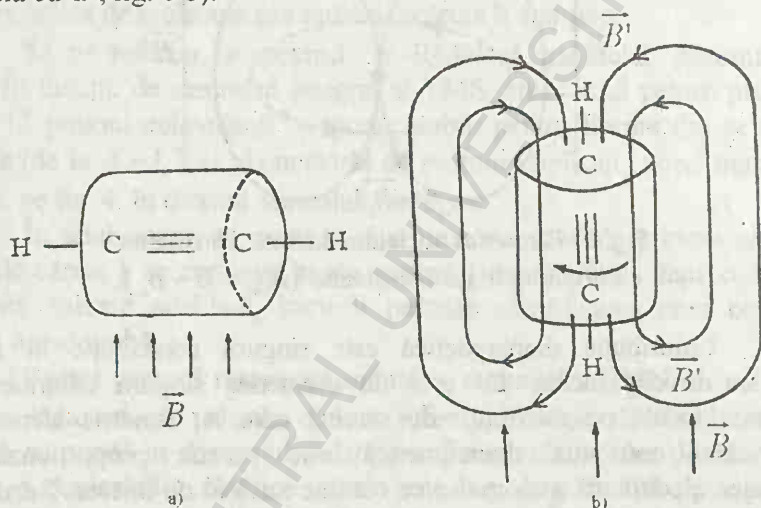


Fig. 6. Moleculă de acetilenă plasată într-un câmp magnetic a) axa moleculei este normală la \vec{B} ; b) axa moleculei este paralelă cu \vec{B} .

Dacă în orientarea a) nu apare nici o circulație diamagnetică electronică și deci nici un efect asupra ecranării protonilor, în orientarea b) circulația diamagnetică electronică are ca efect apariția câmpului magnetic local \vec{B}' care, în regiunea celor 2 protoni ai moleculei, se opune câmpului magnetic exterior, producând o ecranare semnificativă. Întrucât în probă moleculele își schimbă rapid orientarea, spre exterior se percepe un efect pozitiv de ecranare, mediat după cele două orientări posibile

($\delta=2,36$).

Studiul diferitelor grupe de atomi, efectuat atât teoretic prin metode cuantice cât și experimental prin cercetarea diferitelor spectre RMN, a permis tragerea unor concluzii asupra efectelor de ecranare a diferitelor grupe cercetate. Astfel în cazul legăturii triple $C\equiv C$ s-a arătat că un efect de ecranare (notat cu +) apare la protonii situați în conurile având axa identică cu axa legăturii iar un efect de dezecranare (-) la protonii din afara acestora (fig. 7 a)).

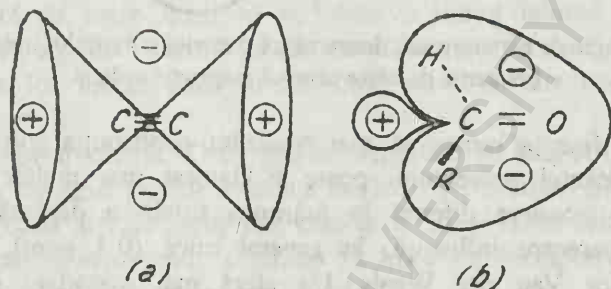


Fig. 7. Zone de ecranare (+) și dezecranare (-) produse de diferite grupe de funcționale: tripla legătură (a); gruparea carbonil (b).

Situația în cazul grupeii carbonil este prezentată în fig. 7b.

Un caz special de efect al unei grupe învecinate se întâlnește la compușii aromatici. Anizotropia puternică a susceptibilității magnetice a inelului benzenic este atribuită capacității câmpului de a induce un curent prin inel, deci o circulație a electronilor în jurul inelului, când \vec{B} este perpendicular pe planul moleculei. Datorită câmpului magnetic creat de acest curent protonii din planul ce conține inelul vor fi dezecrași, dar orice grupări situate deasupra sau dedesubtul planului (cum sunt substituenții inelului) vor fi ecranate.

Grupele învecinate pot avea și un efect electric indirect asupra deplasării chimice pentru că o grupă polară dintr-o moleculă poate conduce la un câmp electric care deformează distribuția electronică în apropierea unui nucleu.

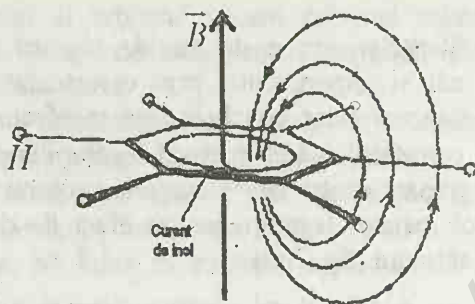


Fig. 8. Efecte de ecranare sau dezecranare datorită curentului indus în inelul benzenic de către câmpul magnetic aplicat.

În fine, a rămas să mai analizăm contribuția solventului. S-a arătat că efectul solventului poate fi datorat mai multor factori, ce intervin cu pondere diferită în mărimea totală a deplasării chimice. Astfel, o oarecare influență, în general mică (0,1 ppm), se atribuie interacțiunilor Van der Waals. Un efect mai important poate apărea datorită anizotropiei diamagnetice a solventului. De exemplu moleculele de benzen (folosit drept solvent) având formă de disc vor îndrepta spre solvit în special regiunea mare de deasupra și dedesubtul inelului și numai în mică măsură planul inelului, astfel că curentul de inel va produce ecranarea considerabilă a protonilor situați deasupra și dedesubtul său.

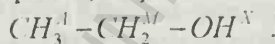
Un alt factor, de cea mai mare importanță în influențarea deplasărilor chimice, este posibilitatea formării unor complecși sau asociații moleculare prin interacțiuni specifice dintre moleculele de solvent și cele de solvit (legături de hidrogen sau interacțiuni prin transfer de sarcină). În practica de laborator sunt importante legăturile de hidrogen în cazul compușilor ce conțin grupe OH și COOH. În general când un proton este inclus în legături de hidrogen, deplasarea sa chimică se manifestă la un câmp mai mic (δ mai mare) decât la protonii nelegați.

Utilizarea unui solvent ce dă legătură de H cu o anumită grupare a moleculei va face ca semnalul RMN al protonului din acea grupare să sufere o deplasare mai mare, decât în lipsa legăturii. Acest lucru poate ajuta la interpretarea spectrului RMN, mai ales în cazul când semnalele diversilor protoni sunt foarte apropiate.

XI. 3. Structura fină a spectrelor RMN.

Analiza spectrelor RMN de înaltă rezoluție (la câmpuri B, respectiv frecvențe ν , mari) arată că semnalul unor nuclee echivalente chimic (definirea acestora este dată mai jos) nu este o simplă linie ci un grup de semnale (linii), adică un multiplet. În fig. 4 se observă acest lucru în cazul etanolului. (Trebuie de precizat faptul că rezoluția spectrometrului RMN la care a fost înregistrat spectrul alcoolului nu a fost suficient de mare încât să se observe întreg tabloul de linii de structură fină, așa cum rezultă el din considerațiile de mai jos). Această scindare are loc numai dacă în moleculă există și alte nuclee diferite chimic de primele.

În spectrometria RMN literele depărtate în alfabet (de exemplu A și X) se folosesc pentru a indica nuclee cu deplasări chimice foarte diferite, pe când literele apropiate, cum ar fi A și B, se folosesc pentru nuclee cu deplasări chimice similare. Să luăm ca exemplu molecula de alcool etilic, având protoni de tipul A, M și X :



Aceasta înseamnă că protonii grupei CH_3 vor prezenta deplasări chimice mult diferite față de protonul grupei OH, diferența fiind mai mică pentru protonii grupei CH_2 .

Explicarea scindării unuia din semnale, de exemplu cel al protonului hidroxil (notat cu X) poate fi generalizată și pentru celelalte (sau alte) semnale. Se poate spune că protonul X simte în realitate un câmp magnetic datorat nu numai câmpului \vec{B} (static) și ecranării electronice, ci și câmpurilor magnetice create de celelalte nuclee magnetice din moleculă, în primul rând de cei doi protoni metilen (notați cu M).

Într-o primă versiune explicativă se poate considera că, în raport cu câmpul magnetic static, spinii celor doi protoni M au trei stări posibile: starea în care ambii spini sunt paraleli cu \vec{B} , deci suma numerelor cuantice magnetice este : $\sum m_M = 1$; starea în care un spin este paralel iar celălalt antiparalel cu \vec{B} , deci : $\sum m_M = 0$ și starea în

care ambii spini sunt antiparaleli cu B, deci : $\sum m_M = -1$.

Aceste stări se notează cu $\alpha\alpha, \alpha\beta + \beta\alpha$ și $\beta\beta$. Dacă considerăm ponderea relativă a stărilor $\alpha\alpha$ și $\beta\beta$ egală cu unitatea (1), ponderea relativă a stării $\alpha\beta + \beta\alpha$ va fi egală cu 2.

Dacă b_M este câmpul magnetic creat la nucleul X de către unul din nucleele M, în cazul când acesta se află în starea α , valorile posibile ale câmpului magnetic simțit de nucleul X vor fi: $2b_M, 0$ și $-2b_M$, fiecare corespunzând stărilor posibile ale spinilor M. Aceasta înseamnă că fiecare din cele două nivele Zeeman ale nucleului X se va scinda în trei subnivele, se vorbește de o scindare datorită cuplajului spin – spin (Evident că se neglijează câmpul creat de nucleele A în locul unde se află nucleele X).

Se arată că energia suplimentară a nucleului X datorită cuplajului spin – spin cu alte nuclee echivalente (de exemplu de tip M) este:

$$\Delta E = -hJ_{XM}m_X \sum m_M,$$

unde : $J_{XM} = \left| \frac{2b_M\gamma}{2\pi} \right|$ se numește constantă de cuplaj, mărimea ei nu depinde de intensitatea câmpului magnetic static.

Dacă se mai ține seama și de regula de selecție $\Delta M_I = \pm 1$, M_I fiind numărul cuantic magnetic total (datorat atât nucleului X cât și celor două nuclee M) vor rezulta trei tranziții ca în fig. 9.

Frecvențele celor trei linii RMN ale nucleului X vor fi:

$$\nu_X^1 = \nu_X^0 - J_{XM}, \quad \nu_X^2 = \nu_X^0, \quad \nu_X^3 = \nu_X^0 + J_{XM},$$

iar intensitățile relative ale acestor linii vor fi proporționale cu ponderile stărilor $m_M m_M$, adică vor fi în raportul 1:2:1.

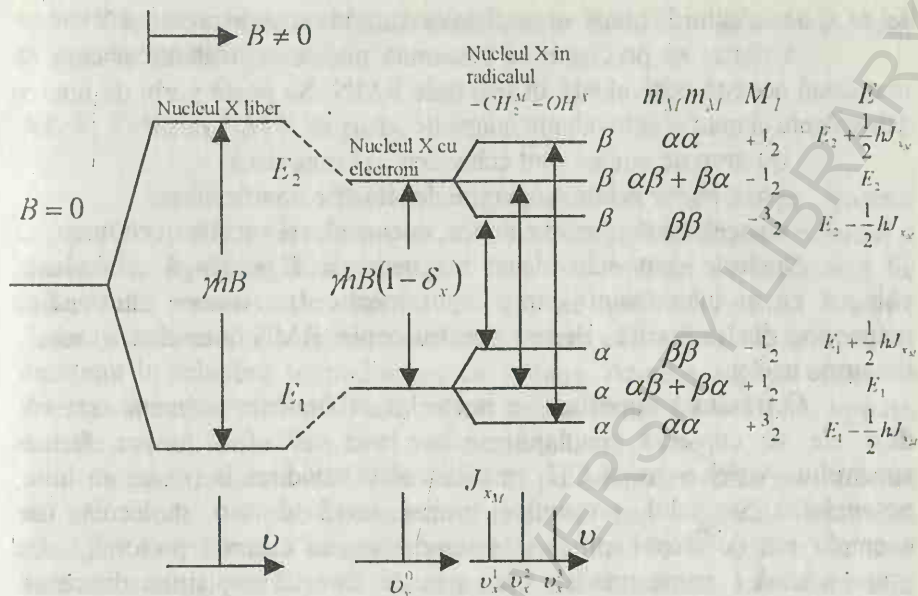


Fig. 9. Explicarea structurii fine a liniei corespunzătoare protonului X al radicalului -OH al alcoolului etilic.

Pe o cale similară se poate arăta că datorită nucleului X, semnalul nucleelor M se scindează într-un dublet cu linii egale și separate prin $J_{MX} = J_{XM}$, întrucât $|b_X| = |b_M|$. Semnalul M apare însă format din 8 linii deoarece fiecare din aceste două linii se scindează în 4 linii datorită celor patru valori posibile ale câmpului magnetic creat de cei trei protoni de tip A (vezi tabelul de mai jos).

Număr de nuclee	Valorile posibile ale lui $\sum m$	Notăția stării respective	Ponderea relativă a stării
3	+3/2	$\alpha\alpha\alpha$	1
	+1/2	$\alpha\alpha\beta + \alpha\beta\alpha + \beta\alpha\alpha$	3
	-1/2	$\alpha\beta\beta + \beta\alpha\beta + \beta\beta\alpha$	3
	-3/2	$\beta\beta\beta$	1

În fine, semnalul nucleelor A se va scinda în trei componente, la

fel ca și a nucleului X (dacă se neglijează câmpul creat de protonul X).

A rămas să precizăm ce înseamnă nuclee echivalente și cum se manifestă această echivalență în spectrele RMN. Se poate vorbi de nuclee echivalente chimic și echivalente magnetic.

Un grup de nuclee sunt echivalente chimic dacă:

- sunt legate printr-o operație de simetrie a moleculei,
- au aceleași deplasări chimice, deci aceleași vecinătăți chimice.

Nucleele sunt echivalente magnetic dacă pe lângă echivalența chimică au și interacțiuni spin – spin identice cu oricare alte nuclee magnetice din moleculă. Pentru spectroscopia RMN interesează aceste din urmă nuclee.

O trăsătură importantă a nucleelor echivalente magnetic este că, deși ele se cuplează, cuplajul nu are nici un efect asupra formei spectrului. Astfel o grupă CH_3 (metil) izolată conduce la o singură linie, nescindată. Semnalul protonilor grupei metil dintr-o moleculă (de exemplu cea de alcool etilic) este scindat numai datorită protonilor din grupa vecină (grupa metilen CH_2) nu și datorită cuplajului dintre ei. Motivul pentru această nesesizare a cuplajului este că toate tranzițiile permise ale spinilor nucleari sunt reorientări colective ale grupelor de spini nucleari echivalenți, care nu modifică orientările relative ale spinilor în cadrul grupei. Ca exemplu vom da tot grupa metil (fig. 10).

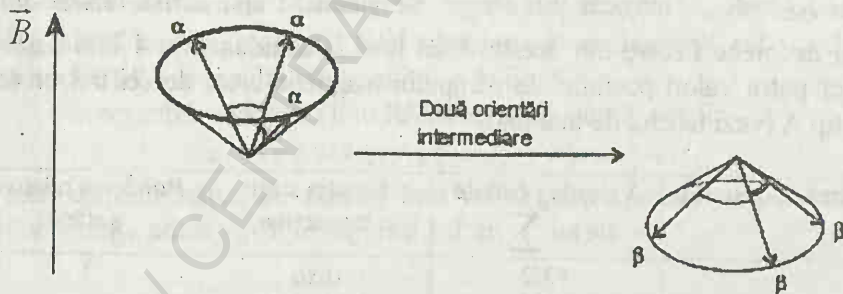


Fig. 10. Acțiunea câmpului magnetic asupra unei grupe cu trei nuclee echivalente.

Această grupă se orientează în câmpul \vec{B} fără variația unghiului dintre spini, când are loc o absorbție de rezonanță. Întrucât ea se

comportă ca un singur nucleu, cuplajul spin – spin între spinii individuali ai grupei este nedetectabil.

XI. 4. Tehnici RMN în puls.

Spectrometria RMN de tip clasic se bazează pe iradiere continuă cu unde radio a probei. De exemplu, prin variația uniformă a frecvenței, la câmp B constant, se face ca condiția de rezonanță fie îndeplinită succesiv de diferite nuclee ale probei. Această variație (baleiaj) trebuie să fie suficient de lentă pentru ca sistemul de spini să fie menținut în echilibru termodinamic cu rețeaua. Aceasta implică viteze de baleiaj de ordinul 0.1–10 Hz/s, adică durată de obținere a unui spectru este de ordinul $10^2 - 10^3$ s, deci o eficiență scăzută.

Spectrometria RMN modernă în pulsuri se bazează pe iradierea cu unde radio în pulsuri scurte și intense, care determină realizarea condiției de rezonanță simultan pentru toate tipurile de nuclee ale unui anumit izotop. Acest mod de operare este cunoscut sub denumirea prescurtată PFT (puls și transformată Fourier – vezi mai jos).

Fiecare din aceste pulsuri este o undă dreptunghiulară care poate fi considerată ca o suprapunere de oscilații sinusoidale de frecvențe și amplitudini diferite. Ca urmare, pulsurile scurte, obținute prin cuplarea și

decuplarea periodică a unui oscilator radio având frecvența ν_0 , echivalează cu o undă conținând toate frecvențele din domeniul $\nu_0 \pm \Delta\nu$, $\Delta\nu$ fiind intervalul de frecvențe al oscilațiilor care compun unda dreptunghiulară și care este legat de durată, t_p , a pulsurilor prin relația:

$$t_p = \frac{1}{\Delta\nu}.$$

O astfel de iradiere a probei face ca toate tipurile de nuclee ale probei să găsească în componenta pulsului frecvența pentru care este îndeplinită condiția de rezonanță (cu condiția ca t_p să fie potrivit ales).

Înainte de-a vedea ce se întâmplă cu spinii nucleari după aplicarea pulsului să mai analizăm o serie de mărimi caracteristice fenomenului RMN. Pentru simplificarea discuțiilor ne vom referi în continuare la un ansamblu de protoni (adică la fenomenul ^1H - RMN).

În absența câmpului magnetic, momentele $\vec{\mu}$ ale protonilor

(având $I=1/2$) vor avea orientări aleatorii iar populațiile celor două nivele de energie (cu $m_I=1/2$ și $m_I=-1/2$) vor fi egale. Introducerea unui astfel de ansamblu de spini într-un câmp magnetic \vec{B} va produce o distribuție inegală a spinilor între cele două stări. Dacă notăm cu N_2 și N_1 populațiile nivelului pentru care $m_I=+1/2$ (de energie înaltă), respectiv a celui pentru care $m_I=-1/2$ (de energie joasă) atunci, la echilibru, raportul lor se va stabili în conformitate cu legea de distribuție Maxwell - Boltzmann:

$$\frac{N_2}{N_1} = e^{-\frac{\Delta E}{kT}}, \quad \Delta E = 2\mu B,$$

adică :

$$\frac{N_2}{N_1} = e^{-\frac{2\mu B}{kT}} \cong 1 - \frac{2\mu B}{kT}.$$

Astfel, în starea favorizată energetic apare un exces de populație egal cu $\frac{2\mu B}{kT}$ al cărui efect este apariția unei magnetizări microscopice

\vec{M} ; \vec{M} = vector de magnetizare, rezultanta compunerii vectorilor elementari $\vec{\mu}$ el fiind este orientat pe direcția lui \vec{B} - fig. 11 a).

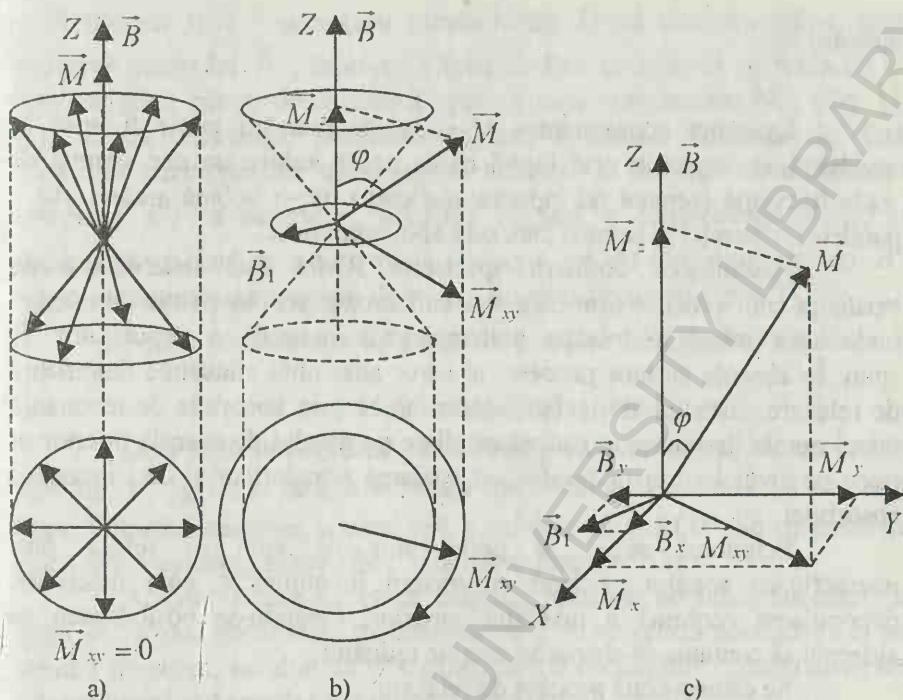


Fig. 11. a) Ansamblu de protoni plasați într-un câmp magnetic \vec{B} ; b) acțiunea simultană, asupra protonilor, a câmpurilor \vec{B} și \vec{B}_1 ($\vec{B}_1 \perp \vec{B}$); c) orientarea reciprocă a vectorilor \vec{B} , \vec{B}_1 și \vec{M} , la un anumit moment de timp.

Aplicarea câmpului perturbator \vec{B}_1 , de frecvență ν , are două efecte:

- unele din nuclee, orientate în sensul câmpului, vor absorbi energie și își vor schimba orientarea, scăzând excesul de populație al stării favorizate,
- nucleele (spinii) vor fi obligate să precesioneze în fază, odată cu vectorul \vec{B}_1 , ceea ce are drept consecință apariția unei componente \vec{M}_{xy} a magnetizării care se rotește în planul xy : fig. 11 b).

Vectorul \vec{M} încetează de-a mai fi colinar cu \vec{B} fiind rotit în afara axei z cu un unghi ϕ , care depinde de mărimea lui \vec{B}_1 și de durata t_p a

aplicării lui:

$$\varphi = \gamma B_1 t_F.$$

Existența componentei \overline{M}_{xy} a magnetizării poate fi pusă în evidență, de exemplu prin faptul că ea poate induce un mic semnal de radiofrecvență (semnal de inducție nucleară) într-o bobină a cărei axă e paralelă cu direcția y, semnal care este apoi amplificat.

Posibilitatea obținerii spectrelor RMN este determinată de existența unor procese prin care sistemul excitat prin absorbție de energie tinde să-și refacă distribuția boltzmanniană normală a populațiilor de spini. În absența acestor procese, al căror ansamblu constituie fenomenul de relaxare, sistemul ar deveni saturat, adică prin absorbția de rezonanță micul număr de nuclee excedentare aflate pe nivelul de energie inferior ar trece pe nivelul superior producând egalarea populațiilor și deci încetarea absorbției.

Echilibrul inițial al populațiilor de spin se refacă prin interacțiunea spinilor nucleari cu mediul înconjurător, care determină depopularea continuă a nivelului superior, creându-se posibilitatea ca sistemul să continue să absoarbă energie radiantă.

Se disting două procese de relaxare:

a) Relaxarea spin - rețea (sau longitudinală) care constă în revenirea la valoarea inițială a componentei \overline{M}_z a magnetizării microscopice \overline{M} , adică restabilirea orientării inițiale a spinilor (în câmpul \overline{B}) pe care câmpul \overline{B}_1 i-a obligat să-și schimbe sensul. Legea de variație a lui M_z cu timpul este de forma:

$$M_z(t) - M_0 \approx e^{-\frac{t}{T_1}},$$

unde : M_0 = valoarea de echilibru a magnetizării după direcția lui \overline{B} iar T_1 = timpul de relaxare spin - rețea.

În mecanismul relaxării longitudinale intervine interacțiunea spinilor nucleari cu câmpurile magnetice fluctuante produse de mișcările termice ale nucleelor învecinate: vibrațiile rețelei în solide sau mișcarea moleculară în lichide și gaze. Atunci când aceste câmpuri au componente a căror frecvență este egală cu cea a precesiei nucleelor considerate, are loc un transfer de energie între spini și mediu.

b) Relaxarea spin – spin (sau transversală). După cum s-a arătat, prin aplicarea câmpului \bar{B}_1 , dipolii nucleari au fost obligați să se rotească în fază cu acest câmp, determinând apariția unei componente M_{xy} (fig. 11 c)). După rezonanță, pierderea treptată a acestei coerențe de fază (datorită interacțiunilor dintre spinii nucleari și datorită neomogenității câmpului \bar{B}) va determina scăderea treptată a componentei \bar{M}_{xy} , în consecință unghiul ϕ scade treptat la zero, iar \bar{M} ajung coliniar cu \bar{B} . Acest proces este caracterizat de timpul de relaxare transversală T_2 .

Pentru componenta \bar{M}_y a lui \bar{M}_{xy} există următoarea legitate:

$$M_y(t) = M_0 \cos(2\pi\nu_L t) e^{-\frac{t}{T_2}}$$

Deci semnalul detectat pe direcția y va avea o scădere oscilantă : vezi fig. 12 ; $g(t)$, de pe axa verticală fiind semnalul de inducție nucleară într-o bobină detectoare, a cărei axă e paralelă cu axa OY. Se vorbește de o scădere a inducției libere (free induction decay = FID).

Aceasta înseamnă că la sfârșitul aplicării pulsului, sistemul de spini se va găsi într-o stare de neechilibru și se va relaxa conducând la un semnal tranzient, rezultat ca o suprapunere a oscilațiilor caracteristice ale tuturor tipurilor de nuclee ale probei (semnalul FID total).

După cum s-a văzut mai sus, în cazul când există un singur tip de nuclee (deci când există o singură frecvență de rezonanță), FID are forma unei oscilații sinusoidale amortizate. Dacă spectrul conține mai multe frecvențe, semnalul FID apare foarte complicat. Decodificarea acestuia, adică transformarea sa din forma $g(t)$ într-o funcție de frecvență $g(\nu)$, forma uzuală de prezentare a spectrelor RMN, se face folosind transformata Fourier.

S-a dovedit că FID și spectrul RMN sunt una transformata Fourier a celeilalte. Forma semnalului $g(t)$ este de tipul:

$$g(t) = k \int_{-\infty}^{+\infty} g(\nu) e^{2\pi i \nu t} d\nu = k \int_{-\infty}^{+\infty} g(\nu) [\cos(2\pi \nu t) + i \sin(2\pi \nu t)] d\nu$$

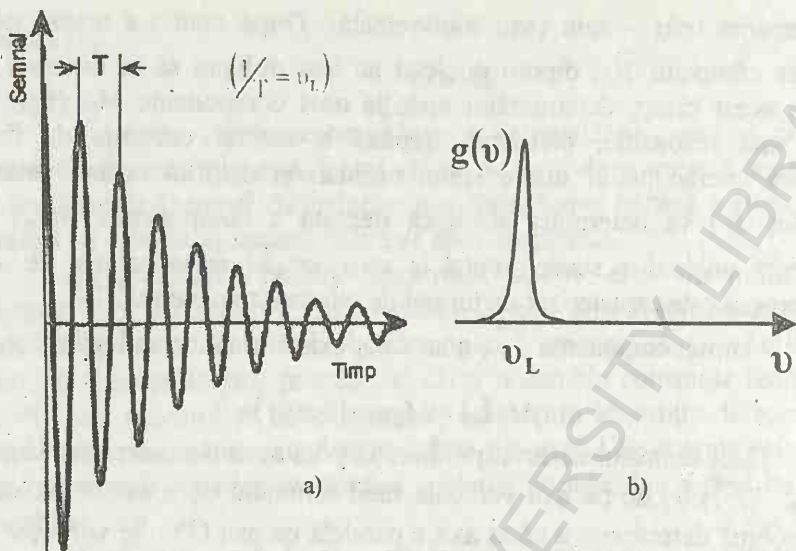


Fig. 12. a) Scăderea liberă a inducției unei probe de spini cu o singură frecvență de rezonanță, b) Spectrul RMN corespunzător.

Transformata Fourier a lui $g(t)$ conține și spectrul de absorbție și cel de dispersie, componenta de absorbție fiind:

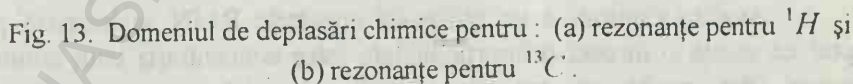
$$g(\nu)_{abs} = k \int_0^{\infty} g(t) \cos(2\pi \nu t) dt.$$

Operația de decodificare, adică “extragerea” frecvențelor de rezonanță din FID, se face cu ajutorul unui calculator atașat spectrometrului RMN.

XI.5. Analiza calitativă și cantitativă utilizând spectrele RMN.

Spectrele RMN singure, la fel ca cele IR, Raman sau cele moleculare din UV-VIS, nu permit determinarea certă a structurii chimice a unui anumit compus. Pentru astfel de determinări trebuie corelate datele obținute prin înregistrarea diferitelor tipuri de spectre, fiind necesară, de asemenea, cunoașterea unor constante fizico-chimice

Pentru a se obține informații rapide despre posibilă structură moleculară a compusului cercetat se apelează la date cum sunt cel prezentate în fig. 13 a) și 13 b), unde se dau câteva deplasări chimice tipice pentru proton (1H) și nucleul ^{13}C , în funcție de radicalul molecular din care fac parte aceste nuclee.



235

spectrul ^1H -RMN al unui compus necunoscut, și anume spectrul prezentat în fig. 14, pentru a vedea ce informații se pot obține dintr-un astfel de spectru.

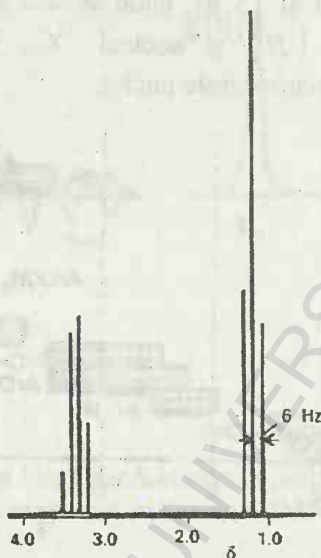


Fig. 14. Spectrul ^1H -RMN al unui compus supus analizei.

Conform datelor din fig. 13 a rezonanța (semnalul) de la $\delta = 3,4$ corespunde grupării CH_2 dintr-un eter, iar cea de la $\delta = 1,2$ corespunde grupării CH_3 din CH_3CH_2 . Structura fină a grupei CH_2 (un cvartet 1:3:3:1) este caracteristică scindării produse de CH_3 . Structura fină a rezonanței CH_3 (un triplet) este caracteristică scindării produse de CH_2 . Constanta de cuplaj este $J = \pm 6\text{Hz}$, aceeași pentru fiecare grupă.

Conform datelor de mai sus compusul probabil este $(\text{CH}_3\text{CH}_2)_2\text{O}$.

Analiza cantitativă ce utilizează spectrele RMN se bazează pe faptul că există o directă proporționalitate între concentrația unui anumit compus din probă și mărimea (aria) semnalelor corespunzătoare nucleelor ce dau acele semnale. (^1H , ^{13}C , ^{15}N etc).

Pentru determinarea cantității unui anumit compus dintr-o probă, cu structură chimică cunoscută (G_{comp}) se introduce în acea probă a cantitate cunoscută (G_{etalon}) a unei substanțe pure, ce dă un semnal RMN caracteristic (etalon intern). Din spectrul RMN al acestui amestec se determină ariile corespunzătoare unui anumit semnal al compusului de determinat (A_{comp}) și unui anumit semnal al etalonului (A_{etalon}). Dacă se înregistrează spectrul 1H -RMN se va utiliza relația:

$$G_{comp} = G_{etalon} \frac{M_{comp}}{M_{etalon}} \frac{n_{H\ etalon}}{n_{H\ compus}} \frac{A_{comp}}{A_{etalon}},$$

unde M_{comp} și M_{etalon} reprezintă masele moleculare corespunzătoare, iar $n_{H\ etalon}$ și $n_{H\ compus}$ - numărul de protoni responsabili de semnalul RMN studiat - la etalon și la probă.

Anexa I. Date relative la compoziția normală a unor lichide biologice.

Tabelul 1. Valori normale ale sângelui „Exprimare curentă”.

Densitatea sângelui total	1,056-1,064 g/ml
Densitatea plasmei	1,024-1,028 g/ml
Volumul procentual al hematiilor	38-46%
Hemoglobina	13-18 g/100ml

Substanțe organice (mg%).

Glucoza	70-120 mg/100ml
Corpi cetonici	0,3-0,9
Acid oxibutiric	0,5-3,0 mg/100ml
Acid piruvic	0,5-1,20 mg/100ml
Acid lactic	10-15 mg/100ml
Alcool	0,5 mg/100ml
Proteine totale	6,8-8,7 g/100ml
Albumine totale	4,2-5,6 g/100ml
Globuline totale	1,5-3,00 g/100ml
α – globuline	0,30-0,60 g/100ml
β – globuline	0,55-1,10 g/100ml
γ – globuline	0,65-1,30 g/100ml
Albumine/globuline	1,6-2,5
Fibrinogen	200-600 mg/100ml
α_1 – lipoproteină	290-770 mg%
α_1 – antitripsină	200-400 mg%
β – lipoproteină	290-950 mg%
Ceruloplasmină	20-45 mg%
Haptoglobină	50-220 mg%
α_2 – macroglobulină	150-350 mg%
C_3 – complement	80-140 mg%
Transferina	200-400 mg%
IgG	800-1800 mg%

Substanțe organice, continuare.

IgA	90-450 mg%
IgM	60-250 mg%
Azot total	30-37 mg/100ml
Azot neproteic total	20-40 mg/100ml
Azot rezidual	10-16 mg/100ml
Azot aminic	3-6 mg/100ml
Azot polipeptidic	4-6 mg/100ml
Uree	20-40 mg/100ml
Acid uric	2-5 mg/100ml
Creatinină	1,5-2 mg/100ml
Creatină+creatinină	3-5 mg/100ml
Indican	0,026-0,085 mg/100ml
Bilirubina totală	0,04-1 mg/100ml
Bilirubina directă	0-0,25 mg/100ml
Bilirubina indirectă	0,75 mg/100ml
Colesterol total	220-300 mg/100ml

Substanțe anorganice (mg%).

Cloruri (NaCl) în ser	570-620 mg/100ml
Cloruri (NaCl) în globule	290-330 mg/100ml
Cloruri (NaCl) în plasmă	450-510 mg/100ml
Clor globular/clor plasmatic	0,50-0,55
Fosfor total în ser	7-15 mg/100ml
Fosfor total în sânge total	30-50 mg/100ml
Sodiu în sânge total	170-220 mg/100ml
Sodiu în plasmă sau ser	310-340 mg/100ml
Sodiu în eritrocite	40-130 mg/100ml
Potasiu în ser	18-20 mg/100ml
Potasiu în sânge total	170 mg/100ml
Calciu în sânge total	4,5-6 mg/100ml
Calciu în ser	9-11 mg/100ml
Calciu în eritrocite	0,6-5,9 mg/100ml
Fier seric	70-140 µg/100ml la bărbați 85-100 µg/100ml la femei

Tabelul 2. Valorile normale ale lipidelor și ale unor produși rezultați din metabolismul lipidic.

Lipide totale	50-700 mg%
Colesterol total	220-300 mg%
Colesterol liber	20-30 mg%
Gliceride	50-150 mg%
Fosfolipide din care:	150-220 mg% (5-10 mg% fosfor liposolubil)
lecitină	66% din totalul de fosfolipide
sfingomielină	22% din totalul de fosfolipide
lizolecitină	9% din totalul de fosfolipide
cefalină	3% din totalul de fosfolipide
Acizi grași totali (din esterii de colesterol, din fosfolipide și din trigliceride)	150-350 mg% (aproximativ 12mEq/l)
Acizi grași liberi	12-16 mg% (aproximativ 0,5mEq/l)
Glicerol	0,6-1,6 mg%
Corpi cetonic	0,3-0,9 mg%

Alimentele cele mai bogate în colesterol (element structural esențial al membranelor celulare) sunt de origine animală și în special sunt următoarele:

	Grăsime porc	Ficat	Unt	Rinichi	Gălbenuș de ou	Creier
mg. Colesterol %g alimente	100	250	300	350	1700	3000

Tabelul 3. Valorile normale ale urinei.

Densitatea:	1,016-1,025
Indice de refracție:	1,3367-1,3465
PH:	5,0-5,8
Clor (exprimat în NaCl):	10-12 g/24 ore
Acid fosforic (P_2O_5):	2-5 g/24 ore
Calciu:	0,07-0,03 g/24 ore
Sulf:	0,5 g/24 ore
Azot:	10-15 g/24 ore
Amoniac:	0,6-0,8 g/24 ore
Uree:	25-35 g/24 ore
Acid uric:	0,7 g/24 ore
Indican:	4-5 mg/24 ore după regim mixt 15-20 mg/24 ore după regim carnat
Creatinină:	1,5 g/24 ore
Corpi cetonici:	50 mg/24 ore

Tabelul 4. Valori comparative ale principalelor componente din LCR și plasmă.

	Plasmă mg%	LCR mg%
Proteine	6300-8500	16-38
Aminoacizi	4,5-9	1,5-3
Creatinină	0,7-2	0,4-2
Acid uric	2,9-6,9	0,5-2,8
Colesterol	100-150	absent
Uree	20-42	5-39
Glucoză	70-120	45-80
Cloruri (ClNa)	560-630	720-750
Fosfat anorganic	2-5	1-2
pH	7,3-7,4	7,3-7,4
Sodiu	325	325
Potasiu	20	12-17
Magneziu	1-3	3-3,6
Calciu	9-11	4-7,6
Acid lactic	10-32	8-27

Bibliografie.

1. L. Ababei, "Biochimie medicală. Lucrări practice", Institutul de Medicină și Farmacie Iași, Iași, 1975.
2. P. W. Atkins, C. A. Trap, „Tratat de chimie fizică” (traducere din limba engleză), Ed. Tehnică București, 1989.
3. N. Avram, „Introducere în spectroscopia Raman”, Ed. Facla, Timișoara, 1982.
4. J. Brandmüller, H. Moser, „Einführung in die Ramanspektroskopie”, Darmstadt, 1962.
5. A. Butucelea, „Tehnici noi în spectroscopie”, Ed. Științifică și Enciclopedică, București, 1984.
6. D. Bărcă-Gălățeanu, M. Giurgea, I. Iova, V. Sahini, A. Truția, R. Țițeica, „Introducere în spectroscopia instrumentală”, Ed. Tehnica, București, 1966.
7. R. J. H. Clark, R. E. Hester (editori), „Biomedical Applications of Spectroscopy”, Advances in Spectroscopy, Volume 25, John Wiley & Sons, Chichester, New York, 1996.
8. E. Cordos, C. Manoliu, „Spectrometria de absorbție și fluorescență atomică”, Ed. Academiei R.S.R., București, 1984.
9. I. F. Dumitru, „Biochimie”, Ed. Didactică și Pedagogică, București, 1980.
10. M. A. Eliașevici, „Spectroscopia atomică și moleculară”, Ed. Academiei RSR, București, 1966.
11. S. Herman, „Aparatura medicală. Principiile fizice ale aparaturii medicale moderne”, Ed. Teora, 2000.
12. I. Iova, I. I. Popescu, E. Toader, „Bazele spectroscopiei plasmiei”, Ed. Științifică și Enciclopedică, București, 1987.
13. V. G. Iyengar, „Elemental analysis of biological systems”, Academic Press, New York, London, 1994.
14. I. I. Laserna (editor), „Modern techniques in Raman spectroscopy”, John Wiley & Sons, Chichester, New York, 1996.
15. E. Luca, V. Bărboiu, M. Strat, „Analiza structurală prin metode fizice”, vol. I și II, Ed. Academiei RSR, București, 1984.
16. I. S. Lealikov, „Metode fizico-chimice de analiză”, Ed. Didactică și Pedagogică, București, 1963.

17. N. Mitrică-Kondi, „Laboratorul clinic. Biochimie”, Ed. Medicală, București, 1981.
18. I. G. Murgulescu, V. En. Sabini, „Introducere în chimia fizică, vol.I,2, Studiul și proprietățile moleculelor”, Ed. Academiei RSR, București, 1978.
19. G. C. Moisil, E. Curatu, „Optică. Teorie și aplicații”, Ed. Tehnică București. 1986.
20. Al. Nicula, „Rezonanța magnetică”, Ed. Didactică și Pedagogică, București, 1980.
21. G. Oster, „Physical techniques in biological research” ed. 2-a, Academic Press, New York-London, 1971.
22. R. Otinescu, M. Greabu, „Chemiluminescența și bioluminescența”, Ed. Tehnică, București, 1987.
23. Donald I. Pietrzyk, C. W. Frank, „Chimie analitică” (traducere din limba engleză), Ed. Tehnică, București, 1989.
24. I. Pogany, M. Banciu, „Metode fizice în chimia organică”, Ed. Științifică București, 1972.
25. C. Pătroescu, I. Gănescu, „Analiza apelor”, Ed. Scrisul românesc, Craiova, 1980.
26. I. I. Popescu, F. S. Uliu, „Bazele fizice ale opticii”, Ed. Universitaria, Craiova, 1998.
27. V. Pop, „Optică și Spectroscopie”, notițe de curs, Ed. Universității „Al. I. Cuza” Iași, 1974.
28. Douglas A. Skoog, „Principles of Instrumental Analysis”, Elsevier Science, 1994.
29. M. Strat, V. Spulber, „Introducere în spectroscopia mediilor condensate”, Ed. Tehnică, București, 1981.
30. Sidney Udenfried, „Fluorescence Assay in Biology and Medicine”, Academic Press, New York-London, 1969.
31. I. D. Winefordner (editor), „Spectrochemical Methods of Analysis”, Wiley Interscience, New York-London, 1970.
32. A. N. Zaidel, G. V. Ostrovskaia, I. I. Ostrovski, „Tehnica și practica spectroscopiei”, Ed. Științifică și Enciclopedică, București, 1984.

TIPARUL EXECUTAT LA
IMPRIMERIA EDITURII UNIVERSITĂȚII
„ALEXANDRU IOAN CUZA” DIN IAȘI

6600 Iași, Păcurari 9, tel./fax. (0232) 314.947

e-mail: editura_uaic@mail.com

Format: 61×86/16

Coli tipo: 15,25

Apărut: 2002

Comanda: 1.336



